

Министерство образования Республики Беларусь  
Учреждение образования  
БЕЛОРУССКИЙ ГОСУДАРСТВЕННЫЙ УНИВЕРСИТЕТ  
ИНФОРМАТИКИ И РАДИОЭЛЕКТРОНИКИ  
Кафедра высшей математики

***СБОРНИК ЗАДАЧ ПО ВЫСШЕЙ МАТЕМАТИКЕ***

В 10-ти частях

**А. А. Карпук, В. В. Цегельник, Е. А. Баркова**

**Часть 7**

***ИНТЕГРАЛЬНОЕ ИСЧИСЛЕНИЕ  
ФУНКЦИЙ МНОГИХ ПЕРЕМЕННЫХ***

*Допущено Министерством образования Республики Беларусь  
в качестве учебного пособия для студентов учреждений,  
обеспечивающих получение высшего образования  
по техническим специальностям*

Минск БГУИР 2007

УДК 517 (075.8)

ББК 22.1. я 73

К 26

**Р е ц е н з е н т ы:**

кафедра математики Минского высшего радиотехнического колледжа;  
профессор кафедры высшей математики Белорусского  
государственного аграрного технического университета,  
доктор физико-математических наук, профессор А. П. Рябушко

**Карпук, А. А.**

К 26            Сборник задач по высшей математике. В 10 ч. Ч. 7: Интегральное  
исчисление функций многих переменных : учеб. пособие / А. А. Карпук,  
В. В. Цегельник, Е. А. Баркова. – Минск : БГУИР, 2007. – 119 с.: ил.  
ISBN 978-985-488-148-5 (ч.7)

В части 7 сборника приводятся задачи по интегральному исчислению функций  
многих переменных.

**УДК 517 (075.8)**  
**ББК 22.1. я 73**

Ч.1: Сборник задач по высшей математике: учеб. пособие. В 10 ч. Ч.1: Аналитическая  
геометрия / А.А.Карпук, Р.М.Жевняк. – Мн.: БГУИР, 2002. – 112 с.: ил.; 2-е изд. – 2003, 3-е  
изд. – 2004.

Ч.2: Сборник задач по высшей математике. В 10 ч. Ч.2: Линейная алгебра (с решениями  
и комментариями) / А.А.Карпук, Р.М.Жевняк, В.В.Цегельник. – Мн.: БГУИР, 2004. – 154 с.

Ч.3: Сборник задач по высшей математике. Ч.3: Введение в анализ / Н.Н.Третьякова,  
Т.М.Пушкарева, О.Н.Мальшева. – Мн.: БГУИР, 2005. – 116 с.

Ч.4: Сборник задач по высшей математике. В 10 ч. Ч.4 : Дифференциальное  
исчисление функций одной переменной / А.А. Карпук [и др.]. – Мн.: БГУИР, 2006. – 107 с.

Ч.5: Сборник задач по высшей математике. В 10 ч. Ч. 5 : Функции многих переменных  
/ А.А. Карпук [и др.]. – Мн.: БГУИР, 2004. – 64 с.

Ч.6: Сборник задач по высшей математике. В 10 ч. Ч. 6 : Интегральное исчисление  
функций одной переменной / А. А. Карпук [и др.]. – Минск : БГУИР, 2006. – 148 с.

**ISBN 978-985-488-148-5 (ч.7)**

**ISBN 978-985-444-727-8**

**ISBN 985-444-727-8**

© Карпук А. А., Цегельник В. В.,  
Баркова Е. А., 2007

© УО «Белорусский государственный  
университет информатики  
и радиоэлектроники», 2007

## ВВЕДЕНИЕ

Настоящее издание является 7-й частью «Сборника задач по высшей математике» в 10-ти частях и посвящено интегральному исчислению функций многих переменных. В него вошли разделы «Кратные интегралы», «Криволинейные интегралы», «Поверхностные интегралы», «Элементы векторного анализа». Структура 7-й части, как и предыдущих 6-ти частей, следующая. Сначала приводятся теоретические сведения по рассматриваемому вопросу, затем решения наиболее характерных задач этого типа и, наконец, приводятся задачи и упражнения для практических занятий в аудитории и для домашних заданий. Начало решения примера отмечено знаком  $\Delta$ , конец решения – знаком  $\blacktriangle$ .

Книга будет полезной не только для студентов вузов, но и для преподавателей, ведущих практические занятия со студентами.

# 1. Кратные интегралы

## 1.1. Двойные интегралы

**Определение двойного интеграла и его свойства. Вычисление двойных интегралов в прямоугольной декартовой системе координат. Замена переменных в двойных интегралах. Двойной интеграл в прямоугольной системе координат и обобщенной прямоугольной системе координат.**

Пусть в области  $D$  с границей  $\Gamma$  задана непрерывная функция  $f(x, y)$ . Разобьем область  $D$  произвольным образом на  $n$  частичных областей  $D_i$  (рис. 1.1), площади которых равны  $\Delta S_i$ ,

$i = \overline{1, n}$ . В каждой частичной области выберем произвольную точку  $P_i = (x_i, h_i)$  и

составим сумму  $S_n = \sum_{i=1}^n f(x_i, h_i) \Delta S_i$ ,

называемую *интегральной суммой Римана* для функции  $f(x, y)$  по области  $D$ . Пусть  $\Delta$  – наибольший из диаметров областей  $D_i$  и назовем его *диаметром разбиения* области  $D$ .

Если существует предел  $\lim_{\Delta \rightarrow 0} \sum_{i=1}^n f(x_i, h_i) \Delta S_i$ , не зависящий ни от способа разбиения  $D$  на части  $D_i$ , ни от

выбора точек  $P_i = (x_i, h_i) \in D_i$ , то говорят, что функция  $f(x, y)$  *интегрируема по Риману в области  $D$* , а сам предел называют *двойным интегралом от функции  $f(x, y)$  по области  $D$*  и обозначают  $\iint_D f(x, y) dx dy$ .

Итак, по определению

$$\iint_D f(x, y) dx dy = \lim_{\Delta \rightarrow 0} \sum_{i=1}^n f(x_i, h_i) \Delta S_i. \quad (1.1)$$

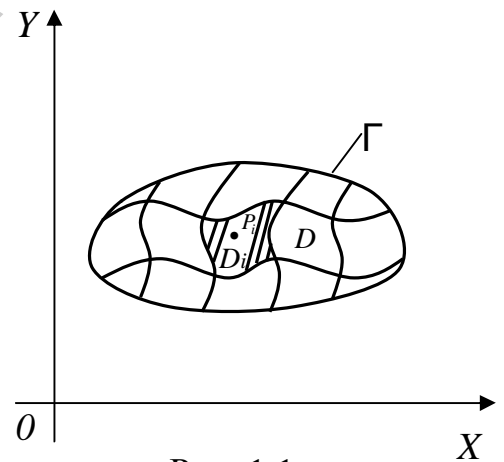


Рис. 1.1

Геометрически двойной интеграл (1.1) выражает собой объем  $v$  криволинейного цилиндра  $v$  – тела, ограниченного сверху поверхностью  $S$  с уравнением  $z = f(x, y) \geq 0$ , снизу – областью  $D$ , являющейся проекцией  $S$  на плоскость  $XU$  (границей служит замкнутая кривая  $\Gamma$ ) и образующими, параллельными оси  $Z$ .

Итак,

$$v = \iint_D f(x, y) dx dy. \quad (1.2)$$

При  $f(x, y) \equiv 1, \forall (x, y) \in D$  двойной интеграл

$$S = \iint_D dx dy \quad (1.3)$$

есть площадь области  $D$ .

Если  $D$  – плоская пластинка, по поверхности которой непрерывно распределена масса с плотностью  $m(x, y)$ , то масса  $m$  такой пластинки выражается интегралом:

$$m = \iint_D m(x, y) dx dy. \quad (1.4)$$

Пусть  $f(x, y)$  непрерывна в замкнутой области  $D$  (а значит, и интегрируема в ней). Справедливы следующие свойства двойных интегралов (функция  $g(x, y)$  также интегрируема в  $D$ ).

1°. (Линейность). Для любых  $a$  и  $b$  из  $R$

$$\begin{aligned} & \iint_D (af(x, y) + bg(x, y)) dx dy = \\ & = a \iint_D f(x, y) dx dy + b \iint_D g(x, y) dx dy. \end{aligned}$$

2°. (Аддитивность). Если  $D = D_1 \cup D_2$  и  $D_1$  и  $D_2$  не имеют общих внутренних точек, то

$$\begin{aligned} & \iint_D f(x, y) dx dy = \\ & = \iint_{D_1} f(x, y) dx dy + \iint_{D_2} f(x, y) dx dy. \end{aligned}$$

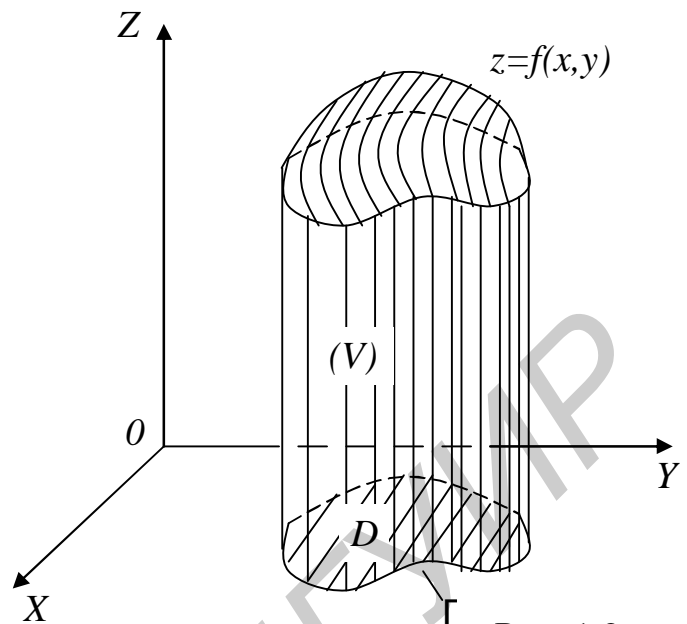


Рис. 1.2

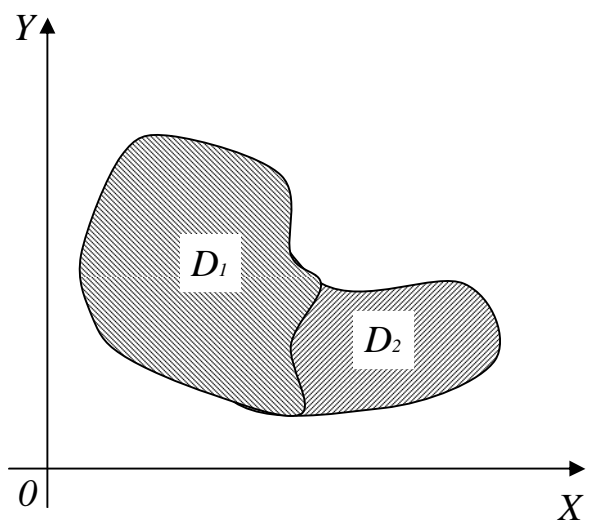


Рис. 1.3

3°. Если  $f(x, y) \geq 0, \forall (x, y) \in D$ , то  $\iint_D f(x, y) dx dy \geq 0$ .

4°. Если  $f(x, y) \geq g(x, y), \forall (x, y) \in D$ , то  $\iint_D f(x, y) dx dy \geq \iint_D g(x, y) dx dy$ .

5°. (Оценка модуля интеграла).

$$\left| \iint_D f(x, y) dx dy \right| \leq \iint_D |f(x, y)| dx dy. \quad (1.5)$$

6°. (Оценка интеграла).

Пусть  $M = \max_{(x, y) \in D} f(x, y), m = \min_{(x, y) \in D} f(x, y)$ . Тогда

$$mS \leq \iint_D f(x, y) dx dy \leq MS, \quad (1.6)$$

где  $S$  – площадь области  $D$ .

7°. Пусть  $D$  – прямоугольник  $\{a \leq x \leq b, c \leq y \leq d\}$  и  $f(x, y) = j(x)g(y)$ . Тогда

$$\iint_D j(x)g(y) dx dy = \int_a^b j(x) dx \cdot \int_c^d g(y) dy.$$

8°. (Теорема о среднем). Пусть  $f(x, y)$  – функция, непрерывная в ограниченной замкнутой связной области  $D$ . Тогда существует точка  $(x, h) \in D$  такая, что

$$\iint_D f(x, y) dx dy = f(x, h) \cdot S, \quad (1.7)$$

где  $S$  – площадь области  $D$ .

Величина

$$f(x, h) = \frac{1}{S} \iint_D f(x, y) dx dy \quad (1.8)$$

называется средним значением функции  $f(x, y)$  в области  $D$ .

Вычисление двойных интегралов сводится к последовательному вычислению однократных интегралов.

На плоскости  $XY$  множество  $D$  вида

$$D = \{(x, y) | a \leq x \leq b, j_1(x) \leq y \leq j_2(x), \forall x \in [a, b]\} \quad (1.9)$$

называют элементарным относительно оси  $Y$  (рис. 1.4). Здесь функции  $j_1(x)$  и  $j_2(x)$  непрерывны на  $[a, b]$ .

Аналогично определяется множество  $D$ , элементарное относительно оси  $X$  (рис. 1.5).

**Теорема 1.1.** Если функция  $f$  интегрируема на множестве  $Y$  вида (1.9), элементарном относительно оси  $Y$ , то

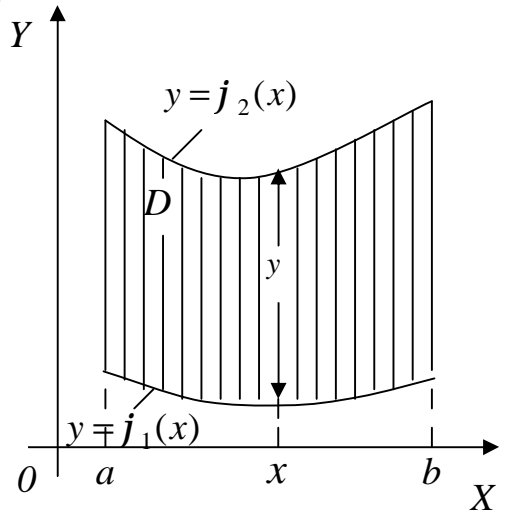


Рис. 1.4

$$\iint_D f(x, y) dx dy = \int_a^b dx \int_{j_1(x)}^{j_2(x)} f(x, y) dy. \quad (1.10)$$

Правая часть в (1.10) является *повторным интегралом*, т.е. результатом последовательного вычисления сначала интеграла по  $y$  (внутреннего интеграла) при фиксированном  $x$ , а затем интеграла по  $x$  от получившейся функции.

Если множество  $D$  элементарно относительно оси  $X$  (рис. 1.5), то для интегрируемой по  $x$  функции  $f(x, y)$  верно равенство

$$\iint_D f(x, y) dx dy = \int_c^d dy \int_{g_1(y)}^{g_2(y)} f(x, y) dx. \quad (1.11)$$

Множество  $D$ , элементарное относительно каждой из осей  $X$  и  $Y$ , называется *элементарным*. Для него верно каждое из равенств (1.10) и (1.11), в частности,

$$\int_a^b dx \int_{j_1(x)}^{j_2(x)} f(x, y) dy = \int_c^d dy \int_{g_1(y)}^{g_2(y)} f(x, y) dx. \quad (1.12)$$

Равенство (1.12) используется для *перемены порядка интегрирования в повторном интеграле*.

**1.1.** Вычислить интеграл  $I_j = \iint_{D_j} f_j(x, y) dx dy$ , если

1)  $f_1(x, y) = (1 + x + y)^{-2}$ ,  $D_1$  – треугольник, ограниченный прямыми  $x = 2y$ ,  $y = 2x$ ,  $x + y = 6$ ;

2)  $f_2(x, y) = y^2$ , область  $D_2$  ограничена линиями  $x = y^2$ ,  $y = x - 2$ ;

3\*)  $f_3(x, y) = x$ ,  $D_3 = \{2rx \leq x^2 + y^2 \leq R^2, 0 < 2r < R\}$

**г** 1) Треугольник  $D_1$  изображен на рис. 1.6. Отрезком  $AB$  разделим  $D_1$  на два треугольника  $\Delta_1$  и  $\Delta_2$ . Тогда в силу свойства аддитивности

$$I_1 = \iint_{D_1} f_1(x, y) dx dy = \iint_{\Delta_1} f_1(x, y) dx dy + \iint_{\Delta_2} f_1(x, y) dx dy.$$

По формуле (1.10) имеем:

$$\begin{aligned} \iint_{\Delta_1} f_1(x, y) dx dy &= \int_0^2 dx \int_{x/2}^{2x} \frac{dy}{(1 + x + y)^2} = \\ &= \int_0^2 \left( -\frac{1}{1 + x + y} \Big|_{y=x/2}^{y=2x} \right) dx = \end{aligned}$$

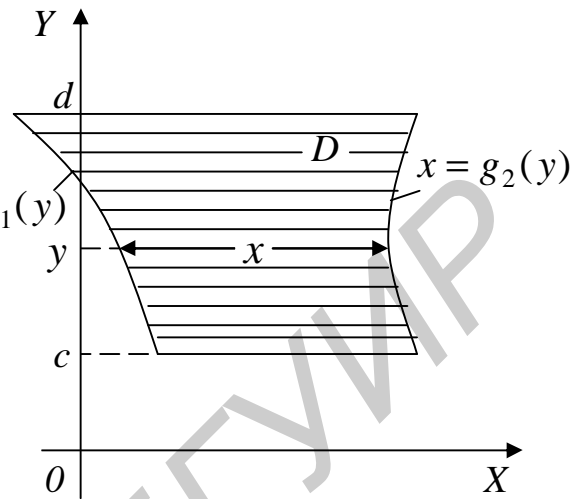


Рис. 1.5

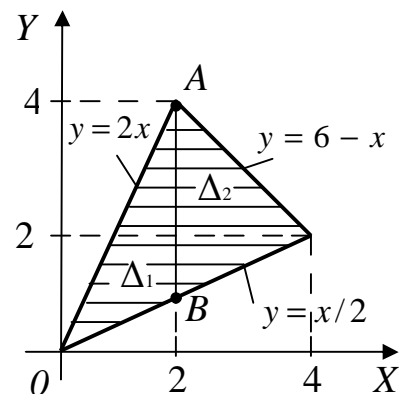


Рис. 1.6

$$= \int_0^2 \left( -\frac{1}{1+3x} + \frac{1}{1+3x/2} \right) dx = -\frac{1}{3} \ln 7 + \frac{2}{3} \ln 4,$$

$$\iint_{\Delta_2} f_1(x, y) dx dy = \int_2^4 dx \int_{x/2}^{6-x} \frac{dy}{(1+x+y)^2} = \int_2^4 \left( -\frac{1}{7} + \frac{1}{1+3x/2} \right) dx = -\frac{2}{7} + \frac{2}{3} \ln \frac{7}{4};$$

следовательно,  $I_1 = \frac{1}{3} \ln 7 - \frac{2}{7}$ .

2) Множество  $D_2$  изображено на рис. 1.7. Оно элементарно относительно оси  $X$ :

$$D_2 = \left\{ (x, y) \mid -1 \leq y \leq 2, y^2 \leq x \leq y+2 \right\}$$

Интеграл  $I_2$  вычисляем по формуле (1.11):

$$I_2 = \int_{-1}^2 dy \int_{y^2}^{y+2} y^2 dx = \int_{-1}^2 y^2 \left( x \Big|_{y^2}^{y+2} \right) dy =$$

$$= \int_{-1}^2 (y^3 + 2y^2 - y^4) dy = \frac{63}{20}.$$

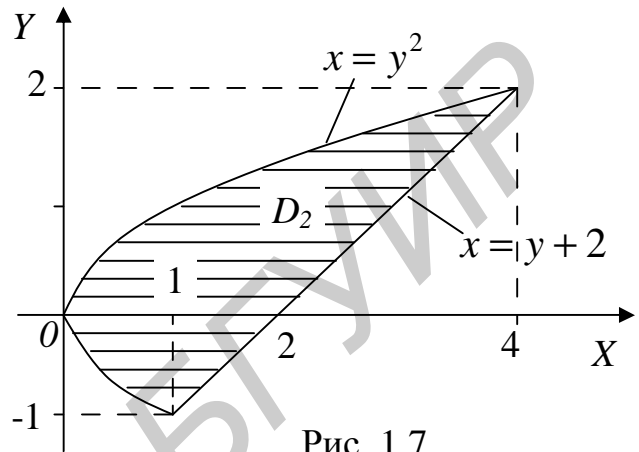


Рис. 1.7

3) Неконцентричное кольцо  $D_3$  изображено на рис. 1.8 и заштриховано вертикальными линиями. Вычисление интеграла  $I_3$  производим следующим образом. Обозначим  $K_1$  – круг  $x^2 + y^2 \leq R^2$ ,  $K_2$  – круг  $x^2 + y^2 \leq 2rx$ . Откуда  $D_3 = K_1 \setminus K_2$ . Тогда по свойству аддитивности двойного интеграла будем иметь

$$I_3 = \iint_{K_1} x dx dy - \iint_{K_2} x dx dy,$$

первый интеграл здесь обозначим  $J_1$ , второй –  $J_2$ . Круги  $K_1$  и  $K_2$  зададим в виде

$$K_1 = \left\{ -R \leq y \leq R, -\sqrt{R^2 - y^2} \leq x \leq \sqrt{R^2 - y^2} \right\},$$

$$K_2 = \left\{ -r \leq y \leq r, r - \sqrt{r^2 - y^2} \leq x \leq r + \sqrt{r^2 - y^2} \right\}.$$

По формуле (1.11) находим

$$J_1 = \int_{-R}^R dy \int_{-\sqrt{R^2 - y^2}}^{\sqrt{R^2 - y^2}} x dx = 0,$$

так как функция  $x$  во внутреннем интеграле нечетна, то

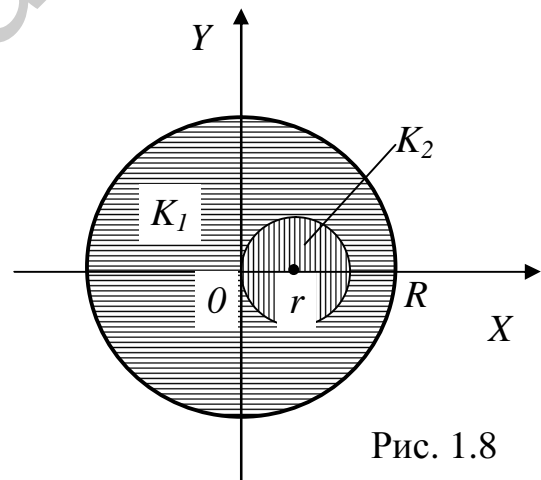


Рис. 1.8

$$J_2 = \int_{-r}^r dy \int_{r-\sqrt{r^2-y^2}}^{r+\sqrt{r^2-y^2}} x dx = 2r \int_{-r}^r \sqrt{r^2-y^2} dy = pr^3.$$

Следовательно,  $I_3 = J_1 - J_2 = -pr^3$ . **Р**

**1.2.** Изменить порядок интегрирования в интеграле

$$I = \int_0^1 dx \int_{x^2/9}^x f(x, y) dy + \int_1^3 dx \int_{x^2/9}^1 f(x, y) dy. \quad (1.13)$$

**г** Восстановим область интегрирования  $D$ . В первом повторном интеграле область в правой части равенства (1.13) определяется следующим образом:

$$D_1 = \left\{ 0 \leq x \leq 1, \frac{x^2}{9} \leq y \leq x \right\},$$

а область  $D_2$  во втором повторном интеграле выражается так:

$$D_2 = \left\{ 1 \leq x \leq 3, \frac{x^2}{9} \leq y \leq 1 \right\}.$$

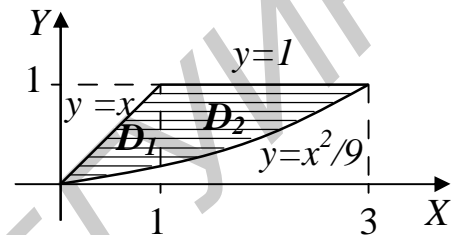


Рис. 1.9

Так как область  $D = D_1 \cup D_2$  элементарна по  $X$ , то по формуле (1.11) получаем

$$I = \int_0^1 dy \int_y^{3\sqrt{y}} f(x, y) dx.$$

Корень берем с положительным знаком потому, что все точки области  $D$  имеют неотрицательные абсциссы. **Р**

**1.3.** Оценить интеграл  $I = \iint_D \sin \frac{x^2 - y + 1}{x^2 + y^2 + 1} dx dy$ , где  $D$  – круг  $x^2 + y^2 \leq 9$ .

**г** Воспользуемся оценкой интеграла (1.6). В нашем случае  $S = pr^2 = 9p$ . Так как  $|\sin t| \leq 1, \forall t$ , то в качестве границ подынтегральной функции можно взять  $m = -1, M = 1$ . Тогда, согласно (1.6),  $-9p \leq I \leq 9p$ . **Р**

**1.4.** Вычислить двойные интегралы:

1)  $\iint_D (x \sin y + y \cos x) dx dy, D = \{0 \leq x \leq p/2, 0 \leq y \leq p/2\}$ .

2)  $\iint_D \frac{y}{x^2} dx dy, D = \{0 < x, x^3 \leq y \leq x^2\}$ .

3)  $\iint_D x^2 y^2 dx dy, D$  ограничена линиями  $x = y^2, x = 1$ .

4)  $\iint_D xy^2 dx dy, D = \{x^2 + y^2 \leq a^2, x \geq 0\}$ .

5)  $\iint_D (x^3 + y^3) dx dy, D = \{x^2 + y^2 \leq R^2, y \geq 0\}$ .

- 6)  $\iint_D (x+2y) dx dy$ ,  $D$  – ограничена прямыми  $y = x$ ,  $y = 2x$ ,  $x = 2$ ,  $x = 3$ .
- 7)  $\iint_D (x^2 + y^2) dx dy$ ,  $D$  – ограничена прямыми  $y = x$ ,  $y = x + a$ ,  $y = a$ ,  $y = 3a$ .
- 8)  $\iint_D \sqrt{x-y} dx dy$ ,  $D = \left\{ \frac{4}{5}x \leq y \leq x, 1 \leq y \leq 4 \right\}$ .
- 9)  $\iint_D \sin p(x-y) dx dy$ ,  $D$  – треугольник с вершинами  $(-4,1), (-1,1), (7/2, 17/2)$ .
- 10)  $\iint_D y dx dy$ ,  $D = \{0 \leq y \leq 6, x < 6, xy > 3, y - x < 2\}$ .

**Отв.:** 1)  $p^2/4$ ; 2)  $1/15$ ; 3)  $4/27$ ; 4)  $2a^5/15$ ; 5)  $4R^5/15$ ; 6)  $76/3$ ;  
 7)  $14a^4$ ; 8)  $31/30$ ; 9)  $(10 - 45p)/6p^2$ ; 10)  $255/4$ .

**1.5\*.** Доказать, что при  $|a| \neq 1$ :  $\int_0^p \ln(a^2 + 1 - 2a \cos j) dj = \begin{cases} 2p \ln|a|, & |a| > 1, \\ 0, & |a| < 1. \end{cases}$

**1.6.** Изменить порядок интегрирования в повторных интегралах:

- 1)  $\int_{-6}^2 dx \int_{x^2/4-1}^{2-x} f(x, y) dy$ ; 2)  $\int_0^1 dx \int_0^x f(x, y) dy$ ; 3)  $\int_0^p dx \int_0^{\sin x} f(x, y) dy$ ;
- 4)  $\int_0^1 dx \int_{x^2}^{2-x} f(x, y) dy$ ; 5)  $\int_0^1 dy \int_{-\sqrt{1-y^2}}^{1-y} f(x, y) dx$ ; 6)  $\int_{-2}^6 dx \int_{-3-\sqrt{12+4x-x^2}}^{-3+\sqrt{12+4x-x^2}} f(x, y) dy$ .

**Отв.:** 1)  $\int_{-1}^0 dy \int_{-2\sqrt{1+y}}^{2\sqrt{1+y}} f(x, y) dx + \int_0^8 dy \int_{-2\sqrt{1+y}}^{2-y} f(x, y) dx$ ; 2)  $\int_0^1 dy \int_y^1 f(x, y) dx$ ;

- 3)  $\int_0^1 dy \int_{\arcsin y}^{p-\arcsin y} f(x, y) dx$ ; 4)  $\int_0^1 dy \int_0^{\sqrt{y}} f(x, y) dx + \int_1^2 dy \int_0^{2-y} f(x, y) dx$ ;
- 5)  $\int_{-1}^0 dx \int_0^{\sqrt{1-x^2}} f(x, y) dy + \int_0^1 dx \int_0^{1-x} f(x, y) dy$ ; 6)  $\int_{-7}^1 dy \int_{2-\sqrt{7-6y-y^2}}^{2+\sqrt{7-6y-y^2}} f(x, y) dx$ .

**1.7.** Оценить интегралы:

- 1)  $I = \iint_D (x^2 - y^2) dx dy$ ,  $D = \{x^2 + y^2 - 2x \leq 0\}$ ;
- 2)  $I = \iint_D (4 + \cos xy) dx dy$ ,  $D = \{x^2 + y^2 \leq 4\}$ ;
- 3)  $I = \iint_D (1 + x + y) dx dy$ ,  $D = \{0 \leq x \leq 1, 0 \leq y \leq 2\}$ ;
- 4)  $I = \iint_D (x^2 + y^2 - 4x - 4y + 10) dx dy$ ,  $D = \{x^2 + 4y^2 - 2x - 16y + 13 \leq 0\}$ .

**Отв.:** 1)  $-p/2 < I < 4p$ ; 2)  $12p < I < 20p$ ; 3)  $2 < I < 8$ ; 4)  $4p < I < 22p$ .

**1.8.** Найти средние значения заданных функций в указанных областях:

1)  $f(x, y) = \sin^2 x \sin^2 y$  в квадрате  $\{0 \leq x \leq p, 0 \leq y \leq p\}$ ;

2)  $f(x, y) = x^2 + xy + 2y^2$  в треугольнике, ограниченном осями координат и прямой  $x + y = 1$ ;

3)  $f(x, y) = \cos(x + y)$  в области, ограниченной прямыми  $x = 0, y = p, y = x$ ;

4)  $f(x, y) = xy$  в области, ограниченной осью  $X$  и верхней полуокружностью  $(x - 2)^2 + y^2 = 1$ ;

5)  $f(x, y) = \sqrt{R^2 - x^2 - y^2}$  в круге  $x^2 + y^2 \leq R^2$ .

**Отв.:** 1)  $1/4$ ; 2)  $7/12$ ; 3)  $-4/p^2$ ; 4)  $4/3p$ ; 5)  $2R/3$ .

**1.9.** Найти площадь области, ограниченной кривыми:

1)  $x^2 + y^2 = 2ax, y = 2ax, x = a$  (первый квадрант);

2)  $4y = x^2 - 4x, x = y + 3$ ;

3)  $y^2 = 10x + 25, y^2 = 9 - 6x$ ;

4)  $y^2 = 2px + p^2, y^2 = q^2 - 2qx, p > 0, q > 0$ ;

5)  $x^2 + y^2 = 4, y^2 = 4 - 4x, x < 1$ ;

6)  $y^2 = 2x, y^2 = 4x - x^2, 2x < y^2$ ;

7)  $y = \cos x, y = \cos 2x, 0 \leq x \leq 2p/3$ ;

8)  $2x^2 + 2y^2 = 2x + 1, x^2 + y^2 \geq 1$ ;

9)\*  $\sqrt{x} + \sqrt{y} = \sqrt{a}, x + y = a$ ;

10)\*  $(x + y)^2 + x^2 = a^2$ .

**Отв.:** 1)  $8a^2/3 - pa^2/2$ ; 2)  $8/3$ ; 3)  $16\sqrt{15}/3$ ; 4)  $(p + q)\sqrt{pq}/3$ ;

5)  $(6p + 8)/3$ ; 6)  $(6p - 16)/3$ ; 7)  $3\sqrt{3}/4$ ; 8)  $(p + 6\sqrt{3})/24$ ;

9)  $a^2/3$ ; 10)  $pa^2$ .

Пусть функции

$$x = x(u, v), y = y(u, v) \quad (1.14)$$

осуществляют взаимно однозначное непрерывно дифференцируемое отображение области  $D$  плоскости  $UV$  на область  $G$  плоскости  $XU$ . Это означает, что существует обратное непрерывно дифференцируемое отображение  $u = u(x, y), v = v(x, y)$  области  $G$  на область  $D$  и в области  $D$  якобиан преобразования, т.е.

$$J(u, v) = \begin{vmatrix} \frac{\partial x}{\partial u} & \frac{\partial x}{\partial v} \\ \frac{\partial y}{\partial u} & \frac{\partial y}{\partial v} \end{vmatrix} \neq 0, \forall (u, v) \in D.$$

Величины  $u$  и  $v$  можно рассматривать как прямоугольные координаты точек области  $D$  и в то же время как *криволинейные координаты* точек области  $G$ .

Если в двойном интеграле  $\iint_G f(x, y) dx dy$  произвести замену по формулам (1.14), то областью интегрирования полученного интеграла будет уже область  $D$ , которая при надлежащем выборе функций  $x(u, v), y(u, v)$  может оказаться проще области  $G$ , и имеет место формула

$$\iint_G f(x, y) dx dy = \iint_D f(x(u, v), y(u, v)) |J(u, v)| du dv. \quad (1.15)$$

**1.10.** Вычислить  $I = \iint_G \sqrt{xy} dx dy$ , если область  $G$  ограничена кривыми  $y^2 = ax, y^2 = bx, xy = p, xy = q$  ( $0 < a < b, 0 < p < q$ ).

**р.** Перейдем к новым переменным  $u$  и  $v$  по формулам  $y^2 = ux, xy = v$ . Тогда  $x = u^{-1/3} v^{2/3}, y = u^{1/3} v^{1/3}$ ,

$$\frac{\partial x}{\partial u} = -\frac{1}{3} u^{-4/3} v^{2/3}, \frac{\partial x}{\partial v} = \frac{2}{3} u^{-1/3} v^{-1/3}, \frac{\partial y}{\partial u} = \frac{1}{3} u^{-2/3} v^{2/3}, \frac{\partial y}{\partial v} = \frac{1}{3} u^{1/3} v^{-2/3},$$

$$J(u, v) = \begin{vmatrix} -\frac{1}{3} u^{-4/3} v^{2/3} & \frac{2}{3} u^{-1/3} v^{-1/3} \\ \frac{1}{3} u^{-2/3} v^{2/3} & \frac{1}{3} u^{1/3} v^{-2/3} \end{vmatrix} = -\frac{1}{3u} \Rightarrow |J(u, v)| = \frac{1}{3u}$$

при  $u > 0$ .

Уравнения линий принимают вид  $u = a, u = b, v = p, v = q$ . Область  $G$  плоскости  $XU$  преобразуется в прямоугольник  $D$  плоскости  $UV$  (рис. 1.10).

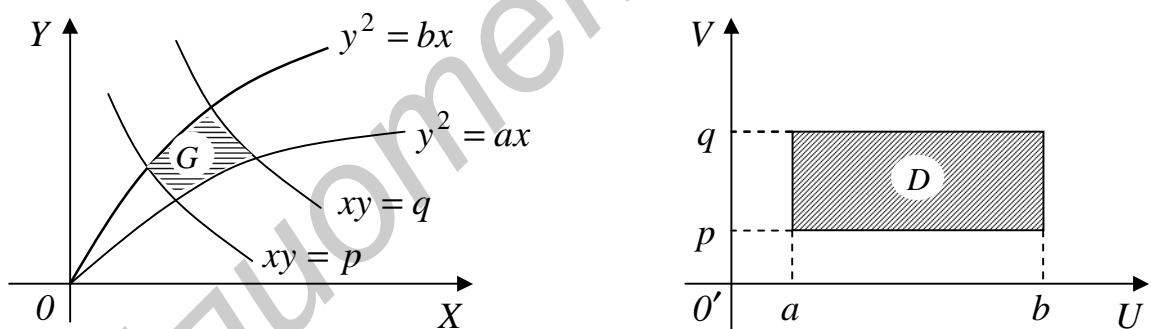


Рис. 1.10

Применив формулу (1.15), получим

$$I = \iint_D \sqrt{v} \frac{du dv}{3u} = \frac{1}{3} \int_a^b \frac{du}{u} \int_p^q \sqrt{v} dv = \frac{2}{9} (q^{3/2} - p^{3/2}) \ln \frac{b}{a}. \quad \text{р}$$

Наиболее употребительными из криволинейных координат являются полярные координаты (полярная система координат (ПСК)):

$$x = r \cos j, \quad y = r \sin j,$$

для которых

$$J(r, j) = \begin{vmatrix} \cos j & -r \sin j \\ \sin j & r \cos j \end{vmatrix} = r,$$

и формула (1.15) записывается в виде

$$\iint_G f(x, y) dx dy = \iint_D f(r \cos j, r \sin j) r dr dj. \quad (1.16)$$

**1.11.** Вычислить  $I = \iint_D \ln(x^2 + y^2) dx dy$ , если  $G$  – кольцо между окружностями  $x^2 + y^2 = e^2$ ,  $x^2 + y^2 = e^4$ .

**г** Перейдем к полярным координатам

$$I = \iint_D \ln r^2 \cdot r dr dj = 2 \iint_D r \ln r dr dj = 2 \int_0^{2\pi} dj \int_e^{e^2} r \ln r dr.$$

Взяв внутренний интеграл по частям, получим  $I = \pi e^2 (3e^2 - 1)$ . **р**

Другой распространенной системой координат на плоскости является *обобщенная полярная система координат (обобщенная ПСК)*. В ней обобщенные полярные координаты вводятся по формулам

$$\frac{x}{a} = r \cos j, \quad \frac{y}{b} = r \sin j, \quad r \geq 0, \quad 0 \leq j \leq 2\pi. \quad (1.17)$$

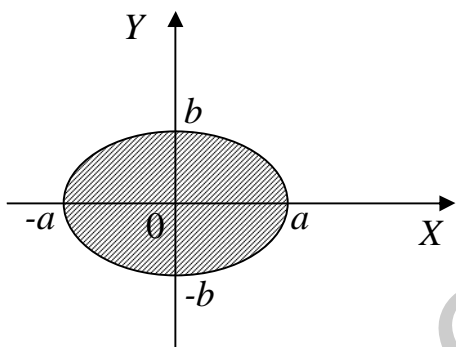


Рис. 1.11

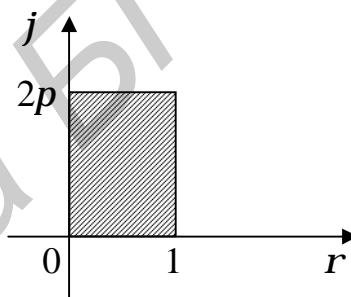


Рис. 1.12

Согласно (1.17) для эллипса  $x^2/a^2 + y^2/b^2 = 1$  в обобщенной ПСК получаем уравнение  $r = 1$ , т.е. обобщенные полярные координаты отображают эллипс с полуосями  $a$  и  $b$  (рис. 1.11) на прямоугольник  $\{0 \leq r \leq 1, 0 \leq j \leq 2\pi\}$  (рис. 1.12).

Для обобщенных полярных координат  $J = abr$ , так что формула замены переменных в обобщенной ПСК имеет вид

$$\iint_G f(x, y) dx dy = ab \iint_D f(ar \cos j, br \sin j) r dr dj. \quad (1.18)$$

Для конкретной области  $G$  пределы изменения обобщенных полярных координат  $r$  и  $j$  находят из уравнений линий, ограничивающих эту область.

**1.12.** Найти массу пластины  $G$ , заданной неравенствами

$1 \leq x^2/4 + y^2/9 \leq 36, x \geq 0, y \geq 3x/2$ , имеющей поверхностную плотность  $m = 9x/y^3$ .

**г** Вводим обобщенные полярные координаты  $r$  и  $j$  по формулам  $x = 2r \cos j, y = 3r \sin j \Rightarrow J = abr = 6r$ . Из неравенств  $1 \leq x^2/4 + y^2/9 \leq 36$  имеем  $1 \leq r^2 \leq 36 \Rightarrow 1 \leq r \leq 6$ . Из неравенства  $x \geq 0$  вытекает, что

$2r \cos j \geq 0 \Rightarrow -\frac{p}{2} \leq j \leq \frac{p}{2}$ , а из неравенства  $y \geq 3x/2$  следует, что

$$\operatorname{tg} j \geq 1 \Rightarrow \left( \frac{p}{4} \leq j \leq \frac{p}{2} \right) \cup \left( \frac{5p}{4} \leq j \leq \frac{3p}{2} \right).$$

Значит,  $\frac{p}{4} \leq j \leq \frac{p}{2}$ . В таком случае масса пластинки (эллиптическое кольцо)

$$m = \iint_G \frac{9x}{y^3} dx dy = 4 \iint_D \frac{\cos j}{\sin^3 j} \cdot \frac{1}{r} dr dj = 4 \int_{p/4}^{p/2} \frac{\cos j}{\sin^3 j} dj \int_1^6 \frac{dr}{r} = 2 \ln 6. \quad p$$

**1.13.** Произвести указанную замену переменных и вычислить интеграл:

1)  $\iint_D (2x - y) dx dy$ , где  $D$  – параллелограмм, ограниченный прямыми  $x + y = 1$ ,  $x + y = 2$ ,  $2x - y = 1$ ,  $2x - y = 3$ . Замена:  $x + y = u$ ,  $2x - y = v$ ;

2)  $\iint_D (x^2 + y^2) dx dy$ , где  $D$  – область, ограниченная окружностями

$$x^2 + y^2 + 2x - 10 = 0, \quad x^2 + y^2 + 2x = 0. \text{ Замена: } x + 1 = r \cos j, \quad y = r \sin j;$$

3)  $\iint_D xy dx dy$ , где  $D$  – область, ограниченная линиями  $xy = 1$ ,  $x + y = \frac{5}{2}$ .

Замена:  $x + y = u$ ,  $xy = v$ ;

4)  $\iint_D e^{k(x+y)^2} dx dy$ , где область  $D$  определяется неравенствами  $x \geq 0$ ,  $x + y \leq 1$ . Замена:  $x = u - uv$ ,  $y = uv$ ;

5)\*  $\iint_D x^2 y dx dy$ , где  $D$  – область, ограниченная гиперболами  $xy = p$ ,  $xy = q$  ( $0 < p < q$ ),  $y = ax$ ,  $y = bx$  ( $0 < a < b$ ). Замена:  $x = \sqrt{u/v}$ ,  $y = \sqrt{uv}$ .

**Отв.:** 1)  $\frac{4}{3}$ ; 2)  $70p$ ; 3)  $\frac{165}{128} - \ln 2$ ; 4)  $(e^k - 1)/2k$ ;

$$5) \frac{2}{5} \cdot \frac{\sqrt{b} - \sqrt{a}}{\sqrt{ab}} (\sqrt{q^5} - \sqrt{p^5}).$$

**1.14.** Вычислить интегралы, перейдя к полярным координатам:

1)  $\iint_D x dx dy$ ,  $D = \{2x \leq x^2 + y^2 \leq 6x, y \leq x\}$ ;

2)  $\iint_D \frac{dx dy}{x^2 + y^2 - 1}$ ,  $D = \{9 \leq x^2 + y^2 \leq 25\}$ ;

3)  $\iint_D xy^2 dx dy$ ,  $D = \{x^2 + y^2 \leq a^2, x \geq 0\}$ ;

4)  $\iint_D (ax + by) dx dy$ ,  $D = \{x^2 + y^2 \leq R^2, x \leq y\}$ ;

5)  $\iint_D y dx dy$ ,  $D = \{x^2 + y^2 \leq 2x, x > y\}$ ;

$$6) \iint_D x dx dy, \quad D = \{ax \leq x^2 + y^2 \leq 2ax, y \geq 0\}, \quad a > 0;$$

$$7)^* \iint_D \frac{dx dy}{(x^2 + y^2)^2}, \quad D \text{ ограничена линиями } x^2 - y^2 = 6, x = 3;$$

$$8)^* \iint_D y dx dy, \quad D = \{0 \leq x \leq (x^2 + y^2)^{3/2} \leq 1, y \geq 0\}.$$

$$\text{Отв.: 1) } \frac{13(9p+8)}{6}; \quad 2) p \ln 3; \quad 3) \frac{2a^5}{15}; \quad 4) \frac{\sqrt{2}(b-a)R^3}{3};$$

$$5) -\frac{1}{6}; \quad 6) \frac{pa^2}{16}; \quad 7) \frac{(3\sqrt{3}-p)}{108}; \quad 8) \frac{1}{5}.$$

Согласно формулам (1.3) и (1.16), площадь плоской фигуры  $G$  в ПСК выражается интегралом

$$S = \iint_D r dr dj, \quad (1.19)$$

где  $D$  – образ фигуры  $G$  при отображении  $x = r \cos j, y = r \sin j$ .

**1.15.** Найти площадь области, ограниченной кривыми:

$$1) x^2 + y^2 = 2ax, x^2 + y^2 = 2bx, y = x, y = 0, b > a > 0;$$

$$2) (x^2 + y^2)^2 = 2a^2(x^2 - y^2), x^2 + y^2 = a^2(\sqrt{x^2 + y^2} \geq a > 0);$$

3)\*  $(x^2 + y^2 - ax) = a^2(x^2 + y^2), x^2 + y^2 = a\sqrt{3}y$  (область вне кардиоиды, но внутри окружности);

$$4)^* (x^2 + y^2)^2 = a^2x^2 - b^2y^2;$$

$$5) (x^2 + y^2)^3 = a(x^3 + y^3).$$

$$\text{Отв.: 1) } (p+2)(b^2 - a^2)/4; \quad 2) (3\sqrt{3}-p)a^2/3; \quad 3) 3a^2\sqrt{3}/4;$$

$$4) ab + (a^2 - b^2) \operatorname{arctg}(a/b); \quad 5) 5pa^2/16.$$

Масса плоской пластинки  $G$  с поверхностной плотностью  $m(x, y)$ , согласно формулам (1.4) и (1.16), выражается формулой

$$m = \iint_D m(a \cos j, b \sin j) ab r dr dj, \quad (1.20)$$

где  $D$  – образ пластинки  $G$  при отображении (1.18).

**1.16.** Найти массу пластинки  $G$ , заданной неравенствами, если  $m$  – поверхностная плотность:

$$1) G: x^2 + y^2/4 \leq 1; m = y^2.$$

$$\text{Отв.: } 2p;$$

$$2) G: 1 \leq x^2/4 + y^2/16 \leq 5, x \geq 0, y \geq 2x; m = x/y.$$

Отв.:  $4 \ln 2$ ;

$$3) G: 1 \leq x^2/9 + y^2/4 \leq 5, x \geq 0, y \geq 2x/3; m = x/y.$$

Отв.:  $9 \ln 2$ ;

$$4) G: x^2/4 + y^2/9 \leq 1, x \geq 0, y \geq 0; m = x^5 y.$$

Отв.: 12.

## 1.2. Тройные интегралы

**Определение тройного интеграла и его свойства. Вычисление тройных интегралов в ПДСК. Замена переменных интегрирования в тройных интегралах. Тройной интеграл в цилиндрической системе координат (ЦСК) и в сферической системе координат (ССК).**

Пусть функция  $f(x, y, z)$  ограничена и непрерывна в замкнутой ограниченной области  $V \subset R^3$  с границей  $\Gamma$ . Разобьем область  $V$  с помощью конечного числа гладких поверхностей на частичные области (ячейки)  $V_i, i = \overline{1, n}$ , объем каждой из которых равен  $\Delta v_i$ . В ячейке  $V_i$  выберем произвольно точку  $(x_i, h_i, z_i)$  и построим *интегральную сумму Римана*:

$$s_n = \sum_{i=1}^n f(x_i, h_i, z_i) \Delta v_i. \quad (1.21)$$

Пусть  $\Delta = \max_{1 \leq i \leq n} \text{diam} V_i$ . Если существует предел интегральных сумм

(1.21) при  $\Delta \rightarrow 0$ , не зависящий ни от способа разбиения области  $V$  на  $V_i$ , ни от выбора точек  $(x_i, h_i, z_i) \in V_i$ , то его называют *тройным интегралом* от функции  $f(x, y, z)$  по области  $V$  и обозначают  $\iiint_V f(x, y, z) dx dy dz$  или

$\iiint_V f(x, y, z) dv$ . Функция  $f$  при этом называется *интегрируемой по Риману* в области  $V$ .

Основные свойства тройных интегралов аналогичны свойствам двойных интегралов.

В случае *прямоугольной области*  $V = \{a \leq x \leq b, c \leq y \leq d, p \leq z \leq q\}$  вычисление тройного интеграла сводится к вычислению *повторных интегралов* по формулам:

$$\iiint_V f(x, y, z) dx dy dz = \int_a^b dx \int_c^d dy \int_p^q f dz = \int_c^d dy \int_a^b dx \int_p^q f dz = \int_p^q dz \int_a^b dx \int_c^d f dy \text{ и т.д.}$$

(всего имеется 6 возможностей).

**1.17.** Вычислить тройные интегралы:

$$1) \iiint_V (x + y + z) dv, \quad V = \{0 \leq x \leq a, 0 \leq y \leq b, 0 \leq z \leq c\};$$

$$2) \iiint_V xy dv, \quad V = \left\{ 1 \leq x \leq 2, -2 \leq y \leq -1, 0 \leq z \leq \frac{1}{2} \right\};$$

$$3) \iiint_V r \sin q dr dj dq, \quad V = \left\{ 0 \leq j \leq \frac{p}{2}, 0 \leq r \leq 2, 0 \leq q \leq \frac{p}{2} \right\};$$

$$4) \iiint_V \frac{dv}{(x+y+z)^3}, \quad V = \{1 \leq x \leq 2, 1 \leq y \leq 2, 1 \leq z \leq 2\}.$$

**Отв.:** 1)  $\frac{abc}{2}(a+b+c)$ ; 2)  $-\frac{9}{8}$ ; 3)  $p$ ; 4)  $\frac{1}{2} \ln \frac{128}{125}$ .

В случае криволинейной области

$V = \{a \leq x \leq b, j_1(x) \leq y \leq j_2(x), q_1(x, y) \leq z \leq q_2(x, y)\}$  имеет место следующая формула вычисления тройного интеграла:

$$\iiint_V f(x, y, z) dv = \int_a^b dx \int_{j_1(x)}^{j_2(x)} dy \int_{q_1(x, y)}^{q_2(x, y)} f(x, y, z) dz. \quad (1.22)$$

Это означает, что сначала функция  $f(x, y, z)$  интегрируется по  $z$  при фиксированных  $x$  и  $y$ , затем результат интегрируется по  $y$  при фиксированном  $x$  и, наконец, интегрирование производится по  $x$  в постоянных пределах от  $a$  до  $b$ .

Тройной интеграл

$$v = \iiint_V dx dy dz \quad (1.23)$$

выражает собой объем  $v$  области (тела)  $V$ . Если подынтегральная функция  $f(x, y, z)$  задает плотность  $m(x, y, z)$  тела, занимающего область  $V$ , то тройной интеграл выражает массу  $m$  этого тела:

$$m = \iiint_V m(x, y, z) dx dy dz. \quad (1.24)$$

**1.18.** Вычислить интеграл

$$I = \iiint_V (x + y + z) dv, \quad \text{где область } V$$

ограничена плоскостями  $x = 0, y = 0,$

$$z = 0, x + y + z = 1.$$

г Множество  $V$  – тетраэдр, который можно задать в виде

$$V = \{0 \leq x \leq 1, 0 \leq y \leq 1 - x, 0 \leq z \leq 1 - x - y\}$$

(рис. 1.13).

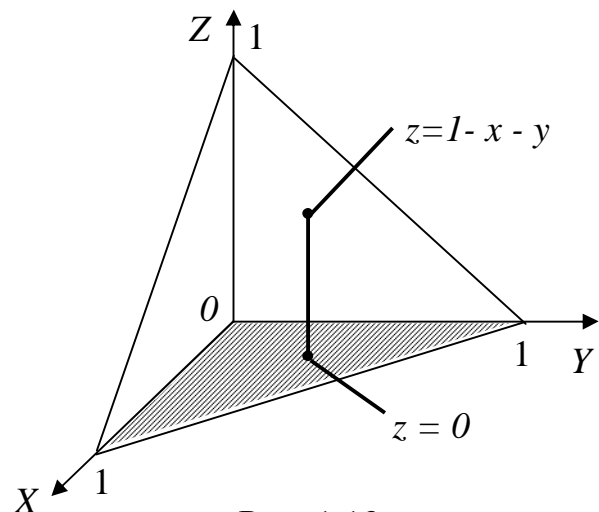


Рис. 1.13

По формуле (1.22) имеем

$$\begin{aligned} I &= \int_0^1 dx \int_0^{1-x} dy \int_0^{1-x-y} (x+y+z) dz = \int_0^1 dx \int_0^{1-x} \frac{1}{2} (x+y+z)^2 \Big|_{z=0}^{z=1-x-y} dy = \frac{1}{2} \int_0^1 dx \int_0^{1-x} (1-(x+y)^2) dy = \\ &= \frac{1}{2} \int_0^1 \left( y - \frac{1}{3} (x+y)^3 \right) \Big|_{y=0}^{y=1-x} dx = \frac{1}{2} \int_0^1 \left( y - \frac{1}{3} (1-x^3) - x \right) dx = \frac{1}{8}. \quad \blacktriangle \end{aligned}$$

**1.19.** Вычислить тройные интегралы по областям, ограниченным указанными поверхностями:

$$1) \iiint_V yz \, dv; \quad x^2 + y^2 + z^2 = R^2, z \geq 0;$$

$$2) \iiint_V xyz \, dv; \quad x^2 + y^2 + z^2 = R^2, x^2 + y^2 + z^2 = 2Rz; x \geq 0, y \geq 0; \text{ (общая часть)}$$

$$3) \iiint_V (x^2 + y^2 + z^2) \, dv; \quad y^2 + z^2 = x^2, x^2 + y^2 + z^2 = R^2, x \geq 0; \text{ (общая часть)}$$

$$4) \iiint_V xyz \, dv; \quad y = x^2, x = y^2, z = xy, z = 0;$$

$$5) \iiint_V (x^2 + y^2) \, dv; \quad z = y^2 - x^2, z = 0, y = 1.$$

**Отв.:** 1) 0; 2)  $53R^6/3840$ ; 3)  $(2 - \sqrt{2})pR^5/5$ ; 4)  $1/96$ ; 5)  $4/15$ .

**1.20.** Вычислить с помощью тройного интеграла объемы тел, ограниченных указанными поверхностями:

$$1) x^2 + y^2 + 4z^2 = 1;$$

$$2) z = x^2 + y^2, z = 2x^2 + 2y^2, y = x, y = x^2;$$

$$3) az = x^2 + y^2, z = \sqrt{x^2 + y^2} (a > 0);$$

$$4) x + y + z = a, x + y + z = 2a, x + y = z, x + y = 2z, x \geq 0, y \geq 0, z \geq 0;$$

$$5) y^2 = 4a^2 - 3ax, y^2 = ax, z = \pm h;$$

$$6) y^2/b^2 + z^2/c^2 = 2x/a, x = a.$$

**Отв.:** 1)  $2p/3$ ; 2)  $3/35$ ; 3)  $pa^3/6$ ; 4)  $49a^3/864$ ; 5)  $32a^2h/9$ ; 6)  $pac$ .

Пусть переход от переменных  $x, y, z$  к новым переменным  $u, v, w$  осуществляется по формулам  $x = x(u, v, w)$ ,  $y = y(u, v, w)$ ,  $z = z(u, v, w)$ , где функции  $x(u, v, w)$ ,  $y(u, v, w)$ ,  $z(u, v, w)$  непрерывны вместе со своими частными производными первого порядка и устанавливают взаимно однозначное и в обе стороны непрерывное соответствие между точками области  $V$  пространства  $XYZ$  и точками некоторой области  $V'$  пространства  $UVW$ . Пусть далее якобиан  $J$  в области  $V'$  не обращается в нуль:

$$J = \begin{vmatrix} x'_u & x'_v & x'_w \\ y'_u & y'_v & y'_w \\ z'_u & z'_v & z'_w \end{vmatrix} \neq 0. \quad (1.25)$$

Тогда пользуются формулой

$$\iiint_V f(x, y, z) dx dy dz = \iiint_{V'} f[x(u, v, w), y(u, v, w), z(u, v, w)] |J| du dv dw. \quad (1.26)$$

В частности, при переходе от декартовых координат к *цилиндрическим координатам*  $r, j, z$  (ЦСК) (рис. 1.14), связанным с  $x, y, z$  соотношениями

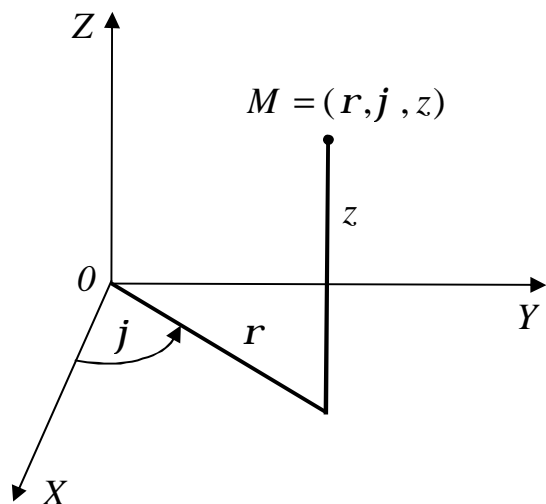


Рис. 1.14

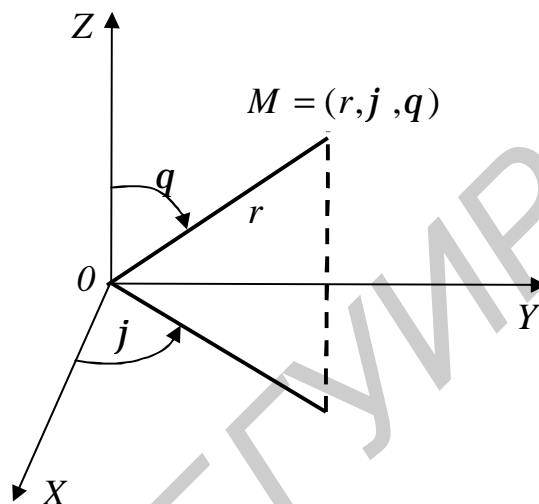


Рис. 1.15

$$x = r \cos j, \quad y = r \sin j, \quad z = z, \quad (1.27)$$

( $0 \leq r < +\infty, 0 \leq j < 2\pi$  или  $-\pi \leq j < \pi, |z| < \infty$ ), якобиан  $J$  преобразования (1.27), согласно формуле (1.25) ( $u = r, v = j, w = z$ ), равен  $J = r$ . Тогда, согласно (1.26), формула преобразования тройного интеграла к цилиндрическим координатам имеет вид

$$\iiint_V f(x, y, z) dx dy dz = \iiint_{V'} f(r \cos j, r \sin j, z) r dr dj dz. \quad (1.28)$$

Заметим, что в ЦСК  $x^2 + y^2 = r^2$ . Далее, согласно (1.28), формулы (1.23) и (1.24) для объема тела  $V$  и его массы с плотностью  $m(x, y, z)$  в ЦСК принимают вид соответственно:

$$v = \iiint_{V'} r dr dj dz, \quad (1.29)$$

$$m = \iiint_{V'} m(r \cos j, r \sin j, z) r dr dj dz, \quad (1.30)$$

где  $V'$  – образ области  $V$  при преобразовании (1.28).

При переходе от декартовых координат  $x, y, z$  к *сферическим координатам*  $r, j, q$  (ССК), связанным с  $x, y, z$  соотношениями

$$x = r \sin q \cos j, \quad y = r \sin q \sin j, \quad z = r \cos q, \quad (1.31)$$

( $0 \leq r \leq +\infty, 0 \leq j < 2\pi$ ) или ( $-\pi \leq j < \pi, 0 \leq q \leq \pi$ ), модуль якобиана  $J$  преобразования (1.31), согласно формуле (1.25) ( $u = r, v = j, w = q$ ),  $|J| = r^2 \sin q$ . Тогда, согласно (1.26), формула преобразования тройного интеграла к сферическим координатам имеет вид

$$\iiint_V f(x, y, z) dx dy dz = \iiint_{V'} f(r \sin q \cos j, r \sin q \sin j, r \cos q) r^2 \sin q dr dj dq, \quad (1.32)$$

где  $V'$  – образ области  $V$  при преобразовании (1.31).

В ССК  $x^2 + y^2 + z^2 = r^2$ . Далее, согласно (1.28), формулы (1.23) и (1.24) для объема тела  $V$  и его массы с плотностью  $m(x, y, z)$  в ССК принимают вид соответственно:

$$v = \iiint_{V'} r^2 \sin q dr dq dj, \quad (1.33)$$

$$m = \iiint_{V'} m(r \sin q \cos j, r \sin q \sin j, r \cos q) r^2 \sin q dr dq dj, \quad (1.34)$$

где, по-прежнему,  $V'$  – образ области  $V$  при преобразовании (1.31).

**1.21.** Расставить пределы интегрирования в тройном интеграле

$$I = \iiint_V f(x, y, z) dx dy dz:$$

а) в ПДСК; б) в ЦСК; в) в ССК, если  $V$  – цилиндр, ограниченный поверхностями  $x^2 + y^2 = a^2, z = 0, z = H$  (рис. 1.16).

г) а) В ПДСК задача решается наиболее просто:

$$I = \int_{-a}^a dx \int_{-\sqrt{a^2-x^2}}^{\sqrt{a^2-x^2}} dy \int_0^H f(x, y, z) dz;$$

б) В ЦСК угловая координата  $j$  изменяется, очевидно, от  $0$  до  $2\pi$ , полярная координата  $r$  в круге  $x^2 + y^2 \leq a^2$  изменяется от  $r=0$  до  $r=a$ . Координата  $z$  в ЦСК имеет тот же смысл, что и в ПДСК. Поэтому в данном цилиндре  $z$  изменяется от  $0$  до  $H$ . Таким образом, в ЦСК, в силу формулы (1.30),

$$I = \int_0^{2\pi} dj \int_0^a r dr \int_0^H f(r \cos j, r \sin j, z) dz;$$

в) В ССК одним тройным интегралом не удастся обойтись, ибо луч  $OL$  на поверхности цилиндра разделяет точки  $B$ , лежащие на поверхности  $z = H$ , от точек  $A$ , лежащих на боковой поверхности цилиндра. Уравнение поверхности  $z = H$  в ССК, согласно (1.31), имеет вид  $H = r \cos q \Rightarrow r = H / \cos q$ . Уравнение боковой поверхности цилиндра  $x^2 + y^2 = a^2$  в ССК, согласно (1.31), принимает вид

$$r^2 \sin^2 q \cos^2 j + r^2 \sin^2 q \sin^2 j = a^2 \Rightarrow r^2 \sin^2 q = a^2 \Rightarrow r = a / \sin q.$$

Для точек поверхности  $z = H$  угол  $q$  очевидно изменяется в пределах от

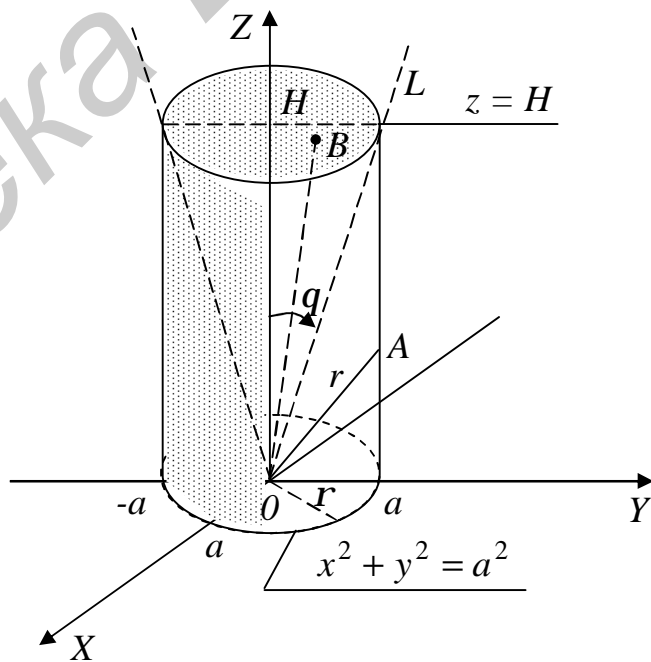


Рис. 1.16

$q = 0$  до  $q = q_1 = \text{arctg}(a/H)$ , а для точек боковой поверхности  $x^2 + y^2 = a^2$  координата  $q$  изменяется от  $q = \text{arctg}(a/H)$  до  $q = \frac{p}{2}$ . Координата  $j$  в обоих случаях изменяется от  $0$  до  $2p$ .

Таким образом, согласно (1.32), имеем

$$I = \int_0^{2p} dj \int_0^{\text{arctg}(a/H)} \sin q dq \int_0^{H/\cos q} r^2 f(r \sin q \cos j, r \sin q \sin j, r \cos q) dr + \\ + \int_0^{2p} dj \int_{\text{arctg}(a/H)}^{\frac{p}{2}} \sin q dq \int_0^{a/\sin q} r^2 f(r \sin q \cos j, r \sin q \sin j, r \cos q) dr. \quad \text{Р}$$

**1.22.** Вычислить интеграл

а)  $I_1 = \iiint_V \frac{(x^2 + y^2) dv}{\sqrt{x^2 + y^2 + z^2}}, \quad V = \{\sqrt{x^2 + y^2} \leq z \leq a\};$

б)\*  $I_2 = \iiint_V dx dy dz, \quad V = \{(x^2 + y^2 + z^2)^2 \leq 4xyz, x \geq 0, y \geq 0\}.$

г а) Перейдем к цилиндрическим координатам  $x = r \cos j, y = r \sin j, z = z$ . Область интегрирования  $V$  – конус в ПДСК (рис. 1.17).

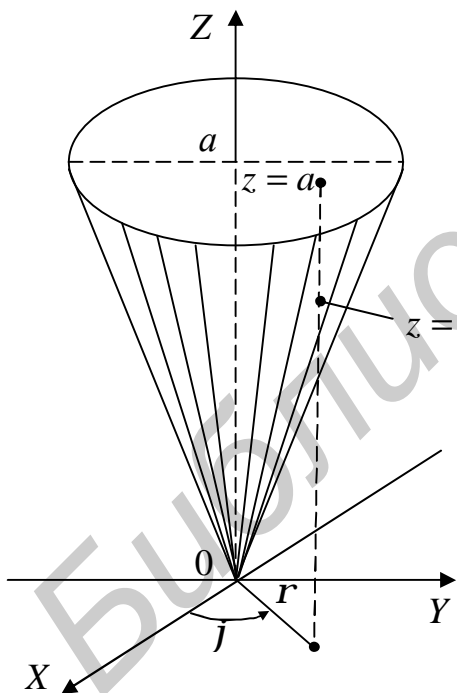


Рис. 1.17

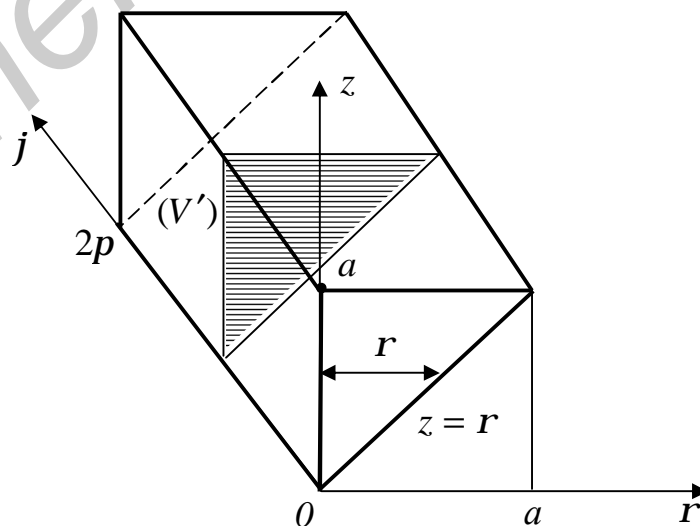


Рис. 1.18

$V' = \{0 \leq j \leq 2p, 0 \leq r \leq z \leq a\}$ , т.е. является призмой (рис. 1.18).

Вычисляем интеграл:

$$I_1 = \iiint_{V'} \frac{r^2}{\sqrt{r^2 + z^2}} r dr dj dz = \int_0^{2p} dj \int_0^a dz \int_0^z \frac{r^3 dr}{\sqrt{r^2 + z^2}} = 2p \int_0^a \frac{2 - \sqrt{2}}{3} z^3 dz = \frac{p}{6} (2 - \sqrt{2}) a^4.$$

б\*) Перейдем к сферическим координатам

$$x = r \cos j \cos q, \quad y = r \cos j \sin q, \quad z = r \sin q, \quad (1.31')$$

где  $r \geq 0$ ,  $0 \leq j \leq 2p$ ,  $-\frac{p}{2} \leq q \leq \frac{p}{2}$ . Подстановка в заданные неравенства дает

$$\begin{cases} r^4 \leq 4r^3 \cos j \sin j \cos^2 q \sin q, \\ r \cos j \cos q \geq 0, r \sin j \cos q \geq 0. \end{cases}$$

Так как  $r \geq 0, \cos q \geq 0$ , то эта система равносильна следующей:

$$\begin{cases} r \leq 2 \sin 2j \cos^2 q \sin q, \\ \cos j \geq 0, \sin j \geq 0 \Rightarrow 0 \leq j \leq \frac{p}{2}. \end{cases}$$

Первое неравенство системы имеет место тогда и только тогда, когда  $\sin q \geq 0$ , т. е.  $0 \leq q \leq \frac{p}{2}$ . Следовательно, образ  $V'$  области  $V$  при преобразовании декартовых координат в сферические по формулам (1.31') имеет вид

$$V' = \left\{ 0 \leq r \leq 2 \sin 2j \cos^2 q \sin q, 0 \leq j \leq \frac{p}{2}, 0 \leq q \leq \frac{p}{2} \right\}.$$

Совершаем замену в интеграле  $I_2$  и вычисляем его (в этом случае  $J = r^2 \cos q$ )

$$\begin{aligned} I_2 &= \iiint_{V'} r^2 \cos q \, dr dq dj = \int_0^{2p} dj \int_0^{\frac{p}{2}} \cos q \, dq \int_0^{2 \sin 2j \cos^2 q \sin q} r^2 dr = \\ &= \frac{8}{3} \int_0^{\frac{p}{2}} \sin^3 2j \, dj \int_0^{\frac{p}{2}} \cos^7 q \sin^3 q \, dq. \end{aligned}$$

Первый интеграл вычисляется с помощью замены  $\cos 2j = t$ , второй – замены  $\cos q = J$ . В результате получим  $I_2 = \frac{2}{45}$ . Р

**1.23.** Вычислить интегралы, перейдя к цилиндрическим координатам:

1)  $\iiint_V y dx dy dz$ , где  $V$  ограничена поверхностями  $x^2 + y^2 = a^2, z = 0, z = h$ ;

2)  $\iiint_V z dx dy dz$ , где  $V$  ограничена поверхностями  $x^2 + y^2 = z^2, z = a$ ;

3)  $\int_0^{\sqrt{3}} dx \int_0^{\sqrt{3-x^2}} dy \int_0^{\sqrt{4-x^2-y^2}} dz$  ;  
 $(x^2+y^2)/3$

4)  $\int_0^{a/\sqrt{2}} dy \int_y^{\sqrt{a^2-y^2}} dx \int_0^{(x^2-y^2)/a} \sqrt{x^2+y^2} dz$ .

**Отв.:** 1)  $-4a^3h/3$ ; 2)  $pa^4/2$ ; 3)  $19p/24$ ; 4)  $a^4/10$ .

**1.24.** Вычислить интегралы, перейдя к сферическим координатам по областям, ограниченными указанными поверхностями:

$$1) \iiint_V yz dx dy dz, \quad x^2 + y^2 + z^2 = 1, z \geq 0;$$

$$2) \iiint_V \frac{z \ln(x^2 + y^2 + z^2 + 1) dx dy dz}{x^2 + y^2 + z^2 + 1}, \quad x^2 + y^2 + z^2 = 1;$$

$$3) \iiint_V xyz dx dy dz, \quad x^2 + y^2 + z^2 = R^2, \quad x^2 + y^2 + z^2 = 2Rz \quad (\text{общая часть}),$$

$$x \geq 0, y \geq 0;$$

$$4) \iiint_V (x^2 + y^2 + z^2) dx dy dz, \quad y^2 + z^2 = x^2, \quad x^2 + y^2 + z^2 = R^2, \quad x \geq 0$$

(общая часть);

$$5^*) \iiint_V dx dy dz, \quad (x^2 + y^2 + z^2)^2 = a^3 x.$$

Отв.: 1) 0; 2) 0; 3)  $53R^6/3840$ ; 4)  $pR^5(2-\sqrt{2})/5$ ; 5)  $pa^2/2$ .

### 1.3. Приложения кратных интегралов

**Геометрические и механические приложения двойных интегралов:** площадь поверхности, объем криволинейного цилиндра, центр масс пластинки, статические моменты и моменты инерции пластинки. **Геометрические и механические приложения тройных интегралов:** объем тела, центр масс тела. Статические моменты и моменты инерции тела.

Кратные интегралы широко применяются при решении многих геометрических и физических задач. Двойные интегралы используются для вычисления объема криволинейного цилиндра (1.2), площади плоской фигуры (1.3), массы плоской пластинки с заданной поверхностной плотностью (1.4).

Примеры вычисления площади и массы плоской пластинки приведены выше. Вычислим некоторые объемы.

**1.25.** Вычислить объем тела, ограниченного поверхностями  $z = 1 - x^2 - y^2$ ,  $y = x$ ,  $y = x\sqrt{3}$ ,  $z = 0$  и расположенного в 1-м октанте.

г Данное тело ограничено сверху параболоидом  $z = 1 - x^2 - y^2$  и плоскостями

$y = x, y = x\sqrt{3}, z = 0$  (рис.1.19). Область интегрирования  $D$  – круговой сектор  $OAB$ , ограниченный линией пересечения параболоида  $z = 1 - x^2 - y^2$  с плоскостью  $z = 0$  и прямыми  $y = x\sqrt{3}, z = 0$  и  $y = x, z = 0$ . Следовательно,  $v = \iint_D (1 - x^2 - y^2) dx dy$ . Перейдя в этом интеграле к полярным координатам  $r$  и  $j$ , получим

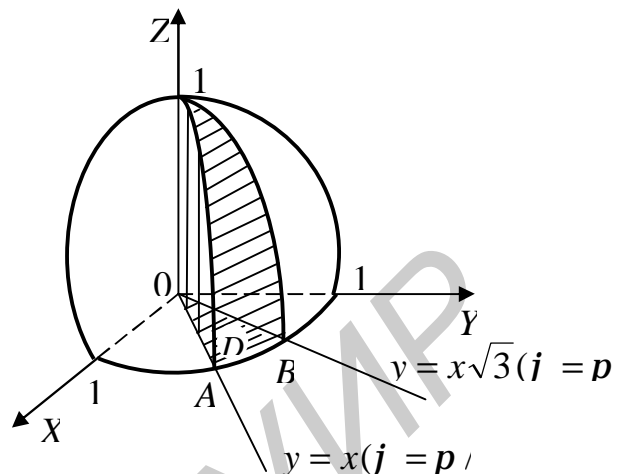


Рис.

$$v = \iint_D (1 - r^2) r dr dj = \int_{p/4}^{p/3} dj \int_0^1 (r - r^3) dr = \frac{p}{48}. \quad \text{р}$$

**1.26.** Найти объем тела, ограниченного поверхностями  $x^2 + y^2 = a^2, x^2 + z^2 = a^2$  (рис. 1.20).

г Для объема части заданного тела имеем

$$\frac{1}{8} v = \iint_D \sqrt{a^2 - x^2} dx dy = \int_0^a \sqrt{a^2 - x^2} dx \int_0^{\sqrt{a^2 - x^2}} dy = \int_0^a (a^2 - x^2) dx = \frac{2}{3} a^3 \Rightarrow v = \frac{16}{3} a^3. \quad \text{р}$$

**1.27.** Вычислить объем тела, ограниченного заданными поверхностями:

- 1)  $x^2 + y^2 = 8, x = y = z = 0, x + y + z = 4$ .
- 2)  $x^2 + 4y^2 + z = 1, z = 0$ .
- 3)  $x = 2y^2, x + 2y + z = 4, x = y = 0$ .
- 4)  $z = x^2 + y^2, y = x^2, y = 1, z = 0$ .
- 5)  $z = 4 - x^2, 2x + y = 4, x = y = z = 0$ .
- 6)  $z^2 = xy, y = 4, x = y = z = 0$ .
- 7)  $z = 5x, x^2 + y^2 = 9, z = 0$ .
- 8)  $x + y + z = 6, 3x + 2y = 12, 3x + y = 6, y = z = 0$ .
- 9)  $z = x + y + 1, y^2 = x, x = 1, y = 0, z = 0$ .
- 10)  $z = xy, x^2 + y^2 = 4, z = 0$ .
- 11)  $x^2/a^2 + y^2/b^2 = 1, y = 0, z = x/2, z = x$ .

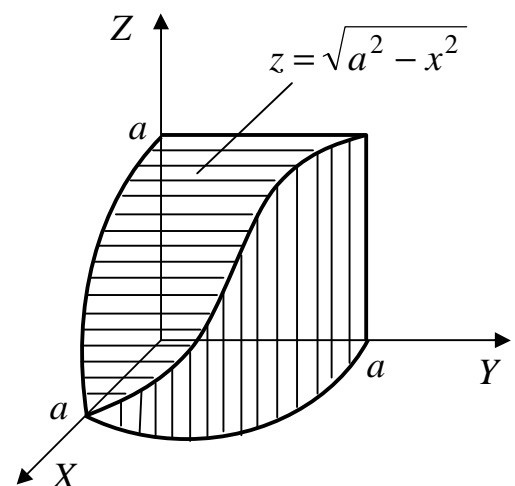


Рис. 1.20

**Отв.:** 1)  $8p - 32\sqrt{2}/3$ ; 2)  $p/4$ ; 3)  $17/5$ ; 4)  $88/105$ ; 5)  $40/3$ ; 6)  $39/9$ ; 7)  $90$ ; 8)  $12$ ; 9)  $79/60$ ; 10)  $4$ ; 11)  $a^2 b/3$ .

Если гладкая однозначная поверхность задана уравнением  $z = f(x, y)$ , то

площадь поверхности выражается формулой

$$S = \iint_D \sqrt{1 + z'_x{}^2 + z'_y{}^2} dx dy, \quad (1.35)$$

где  $D$  – проекция данной поверхности на плоскость  $XU$ . Аналогично, если поверхность задана уравнением  $x = f(y, z)$ , то

$$S = \iint_D \sqrt{1 + x'_y{}^2 + x'_z{}^2} dy dz, \quad (1.36)$$

где  $D$  – проекция поверхности на плоскость  $YZ$ . Если же уравнение поверхности имеет вид  $y = f(x, z)$ , то

$$S = \iint_D \sqrt{1 + y'_x{}^2 + y'_z{}^2} dx dz, \quad (1.37)$$

где  $D$  – проекция поверхности на плоскость  $XZ$ .

**1.28.** Найти площадь части сферы  $x^2 + y^2 + z^2 = a^2$ , заключенной внутри цилиндра  $x^2 + y^2 = ay$  (рис. 1.21).

**г** Из уравнения сферы (для 1-го октанта) имеем:  $z = \sqrt{a^2 - x^2 - y^2}$ ,

$$\frac{\partial z}{\partial x} = -\frac{x}{\sqrt{a^2 - x^2 - y^2}}, \quad \frac{\partial z}{\partial y} = -\frac{y}{\sqrt{a^2 - x^2 - y^2}},$$

$$\sqrt{1 + \left(\frac{\partial z}{\partial x}\right)^2 + \left(\frac{\partial z}{\partial y}\right)^2} = \frac{a}{\sqrt{a^2 - x^2 - y^2}}.$$

Часть сферы, расположенная в 1-м октанта, проектируется в полукруг, ограниченный окружностью  $x^2 + y^2 = ay$  и осью  $Y$ . Этот полукруг и является областью интегрирования  $D$ .

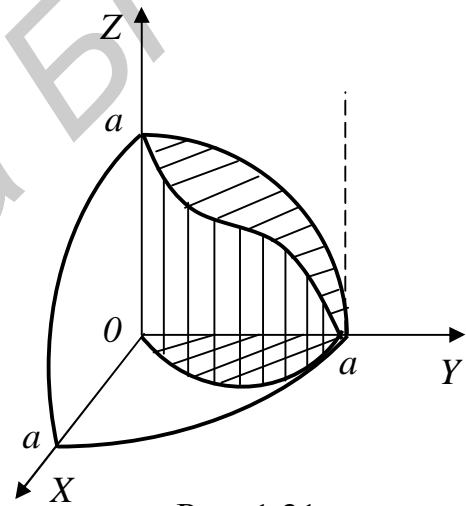


Рис. 1.21

Поверхность расположена в 4-х октантах, поэтому искомая площадь вычисляется по формуле (1.35):

$$S = 4a \iint_D \frac{dx dy}{\sqrt{a^2 - x^2 - y^2}}.$$

В ПСК уравнение окружности  $x^2 + y^2 = ay$  имеет вид  $r = a \sin \varphi$ , и в этой системе

$$S = 4a \int_0^{p/2} d\varphi \int_0^{a \sin \varphi} \frac{r dr}{\sqrt{a^2 - r^2}} = 2a^2(p - 2). \quad \text{р}$$

**1.29.** Вычислить площадь части поверхности параболоида  $x = 1 - y^2 - z^2$ , вырезанной цилиндром  $y^2 + z^2 = 1$  (рис. 1.22).

**г** Область интегрирования  $D$  –

окружность  $y^2 + z^2 = 1$ , расположенная в плоскости  $YZ$ . Из уравнения параболоида имеем  $x'_y = -2y, x'_z = -2z$ .

Тогда по формуле (1.36)  

$$S = \iint_D \sqrt{1 + 4(y^2 + z^2)} dydz.$$
 Вводим полярные координаты  $r$  и  $j$  по формулам  $y = r \cos j, z = r \sin j$ . В итоге

$$S = \int_0^{2\pi} dj \int_0^1 r \sqrt{1 + 4r^2} dr = \frac{5\sqrt{5} - 1}{6} \cdot \rho$$

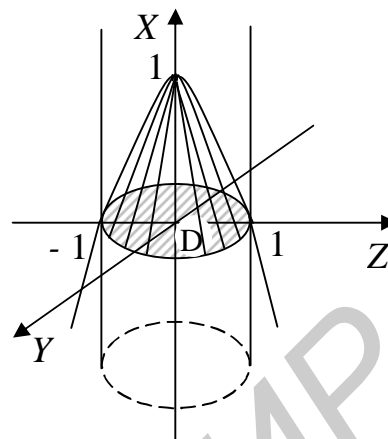


Рис. 1.22

**1.30.** Найти площадь части конуса  $z = \sqrt{x^2 + y^2}$ , заключенной внутри цилиндра  $x^2 + y^2 = 2x$ .

**Отв.:**  $\rho\sqrt{2}$ .

**1.31.** Вычислить площадь поверхности цилиндра  $x^2 = 2z$ , отсеченной плоскостями  $x = 2y, y = 2x, x = 2\sqrt{2}$ .

**Отв.:** 13.

**1.32.** Найти площадь части поверхности  $y = x^2 + z^2$ , вырезанной цилиндром  $x^2 + z^2 = 1$  и расположенной в 1-м октанте.

**Отв.:**  $\rho(5\sqrt{5} - 1)/24$ .

**1.33.** Найти площадь части поверхности цилиндра  $z = x^2$ , вырезанной плоскостями  $x + y = \sqrt{2}, x = 0, y = 0$ .

**Отв.:**  $5/6 + (\sqrt{2}/4) \cdot \ln(3 + 2\sqrt{2})$ .

**1.34.** Вычислить площадь поверхности конуса  $x^2 = y^2 + z^2$ , расположенной внутри цилиндра  $x^2 + z^2 = 1$ .

**Отв.:**  $\pi$ .

**1.35.** Найти площадь поверхности цилиндра  $x^2 + z^2 = 4$ , расположенной внутри цилиндра  $x^2 + y^2 = 4$ .

**Отв.:** 32.

**1.36.** Найти площадь части поверхности  $z^2 = 2xy$ , вырезанной плоскостями  $x = 1, y = 4, z = 0$ .

**Отв.:**  $40\sqrt{2}/3$ .

Если пластинка занимает область  $D$  в плоскости  $XY$  и имеет поверхностную плотность  $m(x, y)$ , то, согласно формуле (1.4), ее масса вычисляется по формуле

$$m = \iint_D m(x, y) dx dy.$$

Статические моменты пластинки  $D$  относительно осей  $X$  и  $Y$  находятся по формулам

$$M_x = \iint_D y m(x, y) dx dy, \quad M_y = \iint_D x m(x, y) dx dy. \quad (1.38)$$

Координаты  $x_c, y_c$  центра тяжести пластинки  $D$  вычисляются по формулам

$$x_c = \frac{M_y}{m}, \quad y_c = \frac{M_x}{m}, \quad (1.39)$$

где  $m$  – масса пластинки. Если пластинка  $D$  однородна ( $m(x, y) = const$ ), то формулы (1.39) принимают вид

$$x_c = \frac{1}{S} \iint_D x dx dy, \quad y_c = \frac{1}{S} \iint_D y dx dy, \quad (1.40)$$

где  $S$  – площадь пластинки  $D$ .

Моменты инерции пластинки  $D$  относительно осей  $X$  и  $Y$  вычисляются по формулам

$$I_x = \iint_D y^2 m(x, y) dx dy, \quad I_y = \iint_D x^2 m(x, y) dx dy, \quad (1.41)$$

а момент инерции относительно начала координат – по формуле

$$I_0 = I_x + I_y = \iint_D (x^2 + y^2) dx dy. \quad (1.42)$$

Положив в формулах (1.41), (1.42)  $m(x, y) = const$ , получим формулы для вычисления моментов инерции плоской однородной фигуры.

**1.37.** Найти координаты центра тяжести фигуры, ограниченной линиями  $y^2 = 4x + 4$ ,  $y^2 = -2x + 4$  (рис. 1.23),  $m = 1$ .

г Так как фигура симметрична относительно оси  $X$ , то  $y_c = 0$ . Находим площадь области  $D$ . Поскольку она симметрична относительно оси  $X$ , то ее площадь

$$S = \iint_D dx dy = 2 \int_0^2 dy \int_{(y^2-4)/4}^{(4-y^2)/2} dx = 8.$$

Находим статический момент  $M_y$  по формуле (1.38):

$$M_y = \iint_D x dx dy = 2 \int_0^2 dy \int_{(y^2-4)/4}^{(4-y^2)/2} x dx = \frac{16}{5}.$$

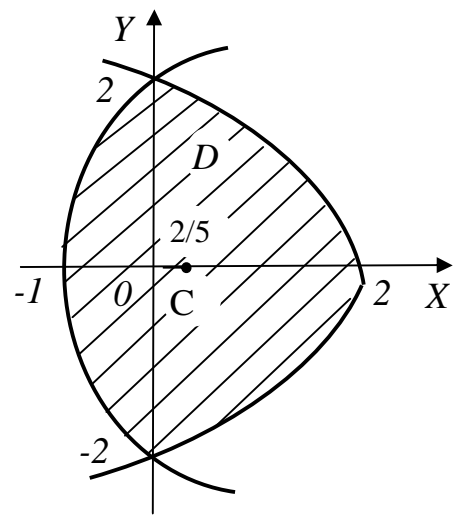


Рис. 1.23

Следовательно,  $x_c = M_y / s = 2/5$ . Итак, центр тяжести данной плоской фигуры расположен в точке  $C = (2/5, 0)$ . **Р**

**1.38.** Найти координаты центра тяжести и моменты инерции пластинки  $D = \{y \geq x^2, y \leq 1\}$ , изображенной на рис. 1.24, если плотность  $m(x, y) = x^2 y$ .

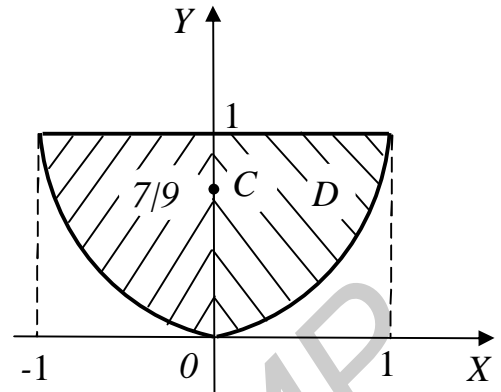


Рис. 1.24

△ Находим массу пластинки

$$m = \iint_D x^2 y dx dy = \int_{-1}^1 x^2 dx \int_{x^2}^1 y dy = \frac{4}{21}.$$

Координаты центра тяжести находим по формулам (1.40):

$$x_c = \frac{1}{m} \iint_D x^3 y dx dy = \frac{21}{4} \int_{-1}^1 x^3 dx \int_{x^2}^1 y dy = 0,$$

(этого и следовало ожидать, поскольку  $D$  и  $m(x, y)$  симметричны относительно оси  $Y$ ).

$$y_c = \frac{1}{m} \iint_D x^2 y^2 dx dy = \frac{21}{4} \int_{-1}^1 x^2 dx \int_{x^2}^1 y^2 dy = \frac{7}{9}.$$

Итак,  $C = (0, 7/9)$ .

По формулам (1.41), (1.42) определяем моменты инерции пластинки  $D$ :

$$I_x = \iint_D x^2 y^3 dx dy = \int_{-1}^1 x^2 dx \int_{x^2}^1 y^3 dy = \frac{4}{33};$$

$$I_y = \iint_D x^4 y dx dy = \int_{-1}^1 x^4 dx \int_{x^2}^1 y dy = \frac{4}{45};$$

$$I_0 = I_x + I_y = \frac{104}{495}. \quad \mathbf{Р}$$

**1.39.** Найти координаты центра тяжести фигуры, ограниченной эллипсом  $\frac{x^2}{25} + \frac{y^2}{9} = 1$  и его хордой  $x/5 + y/3 = 1$ . **Отв.:**  $\left( \frac{10}{3(p-2)}, \frac{2}{p-2} \right)$

**1.40.** Найти координаты центра тяжести фигуры, ограниченной линиями  $y = x$ ,  $y = 2x$ ,  $x = 2$ , если ее плотность  $m(x, y) = xy$ . **Отв.:**  $(8/5, 112/45)$ .

**1.41.** Найти координаты центра тяжести кардиоиды  $r = a(1 + \cos j)$  с плотностью  $m(x, y) = 1$ . **Отв.:**  $(5a/6, 0)$ .

**1.42.** Найти центр тяжести фигуры, ограниченной параболой  $y^2 = x$  и  $x^2 = y$ . **Отв.:**  $(9/20, 9/20)$ .

**1.43.** Найти центр тяжести фигуры, ограниченной замкнутой кривой  $y^2 = x^2 - x^4$ ,  $x \geq 0$ . **Отв.:**  $(3p/16, 0)$ .

**1.44.** Найти центр тяжести фигуры, ограниченной кривой

$x = a(t - \sin t), y = a(1 - \cos t), 0 \leq t \leq 2\pi$  и осью  $X$ . **Отв.:**  $(\pi a, 5a/6)$ .

**1.45.** Вычислить момент инерции  $I_0$  фигуры, ограниченной линиями  $\frac{x}{a} + \frac{y}{b} = 1, x = 0, y = 0$ . **Отв.:**  $ab(a^2 + b^2)/12$ .

**1.46.** Вычислить момент инерции  $I_x$  кардиоиды  $r = a(1 + \cos j)$ . **Отв.:**  $21\pi a^4/32$ .

**1.47.** Вычислить момент инерции  $I_0$  фигуры, ограниченной линией  $x^2 + y^2 - 2x = 0$ , если ее плотность  $m(x, y) = 3,5$ . **Отв.:**  $21\pi/4$ .

**1.48.** Вычислить момент инерции  $I_y$  эллипса  $\frac{x^2}{a^2} + \frac{y^2}{b^2} = 1 (m = 1)$ . **Отв.:**  $\pi a^3 b/4$ .

**1.49.** Вычислить момент инерции  $I_x$  треугольника, ограниченного прямыми  $x + y = 2, x = 2, y = 2 (m = 1)$ . **Отв.:**  $4$ .

**1.50.** Вычислить момент инерции  $I_x$  фигуры, ограниченной линиями  $y = 2\sqrt{x}, x + y = 3, y = 0 (m = 1)$ . **Отв.:**  $2,4$ .

Объем  $v$  тела  $V$  в пространстве обычно вычисляется по формуле (1.23):

$$v = \iiint_V dx dy dz,$$

в которой в тройном интеграле в случае необходимости можно переходить к различным координатам (цилиндрическим, сферическим и др.).

**1.51.** Вычислить объем тела, ограниченного поверхностями  $z = 1, z = 5 - x^2 - y^2$  (рис. 1.25).

**г** В ЦСК искомый объем  $v = \iiint_V r dr dj dz,$

где

$$V = \{0 \leq j \leq 2\pi, 0 \leq r \leq 2, 1 \leq z \leq 5 - r^2\}.$$

Тогда  $v = \int_0^{2\pi} dj \int_0^2 r dr \int_1^{5-r^2} dz = 8\pi \cdot \pi$

Масса  $m$  тела  $V$  вычисляется по формуле (1.24):

$$m = \iiint_V m(x, y, z) dx dy dz,$$

где  $m(x, y, z)$  – объемная плотность тела.

**1.52.** Найти массу шара радиусом  $R = 3$ , плотность которого пропорциональна расстоянию от центра шара, причем на расстоянии единицы от центра плотность равна двум.

**г** Поместим начало ССК в центр шара. В этой системе уравнение сферы есть  $r = 3$ . По условию задачи плотность  $m = kr$ , где  $k$  – коэффициент пропорциональности. При  $r = 1$  плотность  $m = 2$ , т. е.  $2 = k \cdot 1 \Rightarrow k = 2 \Rightarrow m = 2r$ .

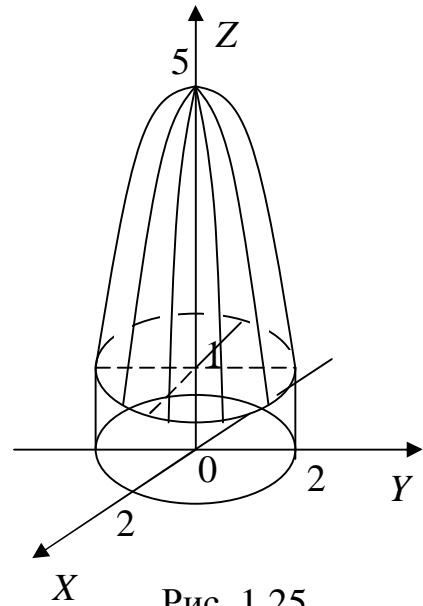


Рис. 1.25

Поэтому масса шара

$$m = \iiint_V 2r \cdot r^2 \sin q \, dr \, dq \, dj = 2 \int_0^{2p} dj \int_0^p \sin q \, dq \int_0^3 r^3 \, dr = 162p. \, p$$

**1.53.** Вычислить с помощью тройного интеграла объемы тел, ограниченных указанными поверхностями:

1)  $x^2 + y^2 + 4z^2 = 1$ .

2)  $z = x^2 + y^2, z = 2x^2 + 2y^2, y = x, y = x^2$ .

3)  $az = x^2 + y^2, z = \sqrt{x^2 + y^2}, a > 0$ .

4)  $x + y + z = a, x + y + z = 2a, x + y = z, x + y = 2z$ .

5)  $y^2 = 4a^2 - 3ax, y^2 = ax, z = \pm h$ .

6)  $y^2/b^2 + z^2/c^2 = 2x/a, x = a$ .

**Отв.:** 1)  $2p/3$ ; 2)  $3/35$ ; 3)  $pa^3/6$ ; 4)  $49a^3/864$ ; 5)  $32a^2h/9$ ; 6)  $abc$ .

**1.54.** Из октанта шара  $x^2 + y^2 + z^2 \leq c^2, x \geq 0, y \geq 0, z \geq 0$  вырезано тело, ограниченное координатными плоскостями и плоскостью  $x/a + y/b = 1, a \leq c, b \leq c$ . Найти массу этого тела, если плотность в каждой его точке  $(x, y, z)$  пропорциональна аппликате точки.

**Отв.:**  $ab(bc^2 - a^2 - b^2)/24$ .

**1.55.** Определить массу пирамиды, образованной плоскостями  $x + y + z = a, x = y = z = 0$ , если плотность в каждой ее точке пропорциональна аппликате этой точки. **Отв.:**  $a^4/24$ .

**1.56.** Определить массу тела, ограниченного поверхностями  $z = h, z^2 = x^2 + y^2$ , если плотность в каждой его точке пропорциональна аппликате этой точки.

**Отв.:**  $ph^4/4$ .

**1.57.** Вычислить массу цилиндра радиусом  $R$  и высотой  $H$ , если его плотность в любой точке пропорциональна квадрату расстояния этой точки от центра основания цилиндра. **Отв.:**  $pR^2H(3R^2 + 2H^2)/6$ .

**1.58.** Определить массу сферического слоя между сферами  $x^2 + y^2 + z^2 = a^2$  и  $x^2 + y^2 + z^2 = 4a^2$ , если плотность в каждой его точке обратно пропорциональна расстоянию точки от начала координат.

**Отв.:**  $6kra^2$ ,

где  $k$  – коэффициент пропорциональности.

Координаты центра тяжести  $C$  тела  $V$  с объемной плотностью  $m(x, y, z)$  вычисляются по формулам:

$$x_c = \frac{1}{m} \iiint_V x m(x, y, z) \, dv, \quad y_c = \frac{1}{m} \iiint_V y m(x, y, z) \, dv, \quad z_c = \frac{1}{m} \iiint_V z m(x, y, z) \, dv, \quad (1.43)$$

где  $m$  – масса тела.

Величины

$$M_{yz} = \iiint_V x m(x, y, z) dv, M_{xz} = \iiint_V y m(x, y, z) dv, M_{xy} = \iiint_V z m(x, y, z) dv \quad (1.44)$$

называются *статическими моментами тела* относительно плоскостей YOZ, XOZ, XOY соответственно.

Моменты инерции относительно координатных осей X, Y, Z тела V определяются соответственно:

$$I_x = \iiint_V (y^2 + z^2) m(x, y, z) dv, I_y = \iiint_V (x^2 + z^2) m(x, y, z) dv, \\ I_z = \iiint_V (x^2 + y^2) m(x, y, z) dv, \quad (1.45)$$

а момент инерции тела V относительно начала координат выражается формулой

$$I_0 = I_x + I_y + I_z = \iiint_V (x^2 + y^2 + z^2) m(x, y, z) dx dy dz. \quad (1.46)$$

Моменты инерции тела V относительно координатных плоскостей XY, YZ, XZ вычисляются по формулам соответственно:

$$I_{xy} = \iiint_V z^2 m(x, y, z) dv, I_{yz} = \iiint_V x^2 m(x, y, z) dv, I_{xz} = \iiint_V y^2 m(x, y, z) dv. \quad (1.47)$$

**1.59.** Найти координаты центра тяжести призматического тела, ограниченного плоскостями  $x=0, z=0, y=1, y=3, x+2z=3$ ; плотность  $m=1$  (рис. 1.26).

**г** Находим объем тела V (по сути дела его массу, поскольку плотность  $m=1$ ):

$$v = \iiint_V dx dy dz = \int_0^3 dx \int_1^3 dy \int_0^{(3-x)/2} dz = \frac{9}{2}.$$

Тогда

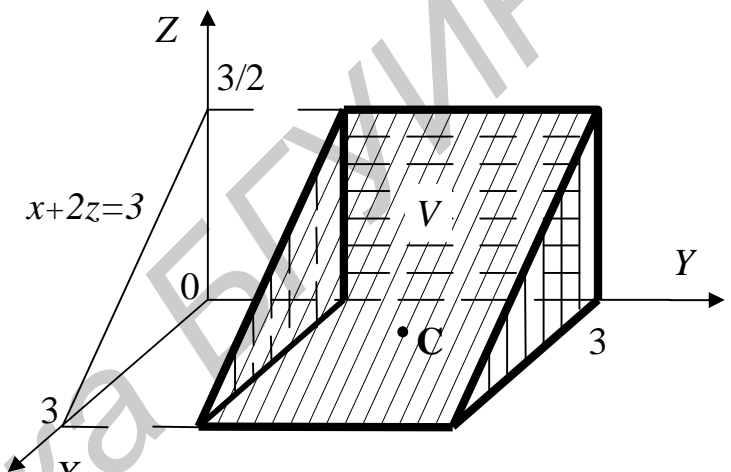
$$x_c = \frac{2}{9} \iiint_V x dx dy dz = \frac{2}{9} \int_0^3 x dx \int_1^3 dy \int_0^{(3-x)/2} dz = 1;$$

$$y_c = \frac{2}{9} \iiint_V y dx dy dz = \frac{2}{9} \int_0^3 dx \int_1^3 y dy \int_0^{(3-x)/2} dz = 2;$$

$$z_c = \frac{2}{9} \iiint_V z dx dy dz = \frac{2}{9} \int_0^3 dx \int_1^3 dy \int_0^{(3-x)/2} z dz = \frac{1}{2}.$$

Итак,  $C = (1, 2, 1/2)$ . **р**

**1.60.** Вычислить моменты инерции однородного шара радиусом R и весом P относительно его центра и диаметра.



г Очевидно, что плотность шара  $m = P/vg = 3P/4pgR^3$ . Поместим центр шара в начале координат, тогда его поверхность будет определяться уравнением  $x^2 + y^2 + z^2 = R^2$ . Момент инерции относительно центра шара вычислим в ССК:

$$I_0 = m \iiint_V (x^2 + y^2 + z^2) dv = m \iiint_{V'} r^4 \sin q dr dq dj = \\ = m \int_0^{2p} dj \int_0^p \sin q dq \int_0^R r^4 dr = m \cdot 2p \cdot 2 \cdot \frac{R^5}{5} = \frac{3PR^2}{5g}.$$

Ясно, что вследствие однородности ( $m = const$ ) и симметрии шара его моменты инерции относительно любого диаметра равны. Вычислим, к примеру, момент инерции относительно диаметра, лежащего на оси  $Z$ .

$$I_z = m \iiint_V (x^2 + y^2) dx dy dz = m \iiint_{V'} r^2 \sin^2 q r^2 \sin q dr dq dj = \\ = m \int_0^{2p} dj \int_0^p \sin^3 q dq \int_0^R r^4 dr = \frac{2PR^2}{5g} \cdot P$$

**1.61.** Найти центр тяжести тела с плотностью  $m$  ( $m_0 - const$ ):

- 1)  $x^2 + y^2 + z^2 \leq R^2, x \geq 0, m = m_0 / \sqrt{x^2 + y^2}$ .
- 2)  $\sqrt{x^2 + y^2} \leq z \leq h, m = m_0 z^2$ .
- 3)  $x^2 + y^2 \leq z \leq h, m = m_0 \sqrt{h - z}$ .
- 4)  $x^2 + y^2 - z^2 \leq a^2, 0 \leq z \leq h, m = m_0 z$ .
- 5)  $0 \leq z \leq x^2 - y^2, x^2 + y^2 \leq 1, x \geq 0, m = m_0 z$ .

**Отв.:** 1)  $(8R/3p^2, 0, 0)$ ; 2)  $(0, 0, 5h/6)$ ; 3)  $(0, 0, 4h/7)$ ;

4)  $\left(0, 0, \frac{4(5a^2 + 3h^2)}{15(2a^2 + h^2)} \cdot h\right)$ ; 5)  $(64\sqrt{2}/35p, 0, 4/3p)$ .

**1.62.** Найти момент инерции  $I_z$  однородных тел ( $m = 1$ ):

- 1)  $2ax \geq z^2, x^2 + y^2 \leq ax$ . 2)  $x^2 + y^2 \leq a^2, x + y + z \leq a\sqrt{2}, z \geq 0$ .
- 3)  $0 \leq z \leq x^2 + y^2, |x + y| \leq 1, |x - y| \leq 1$ . 4)  $x^2 + y^2 + z^2 \leq 2, z \geq \sqrt{x^2 + y^2}$ .
- 5)  $\sqrt{y^2/b^2 + z^2/c^2} \leq x/a \leq 1, a > 0, b > 0, c > 0$ .

**Отв.:** 1)  $\frac{64\sqrt{2}}{135} a^5$ ; 2)  $pa^5/\sqrt{2}$ ; 3)  $14/45$ ;

4)  $4p(4\sqrt{2} - 5)/15$ ; 5)  $pac(b^2 + 4a^2)/20$ .

**1.63.** Найти моменты инерции относительно координатных плоскостей однородных ( $m = 1$ ) тел:

- 1)  $x/a + y/b + z/c \leq 1, x \geq 0, y \geq 0, z \geq 0, a > 0, b > 0, c > 0$ .
- 2)  $\sqrt{x^2/a^2 + y^2/b^2} \leq z/c \leq 1$ .

$$3) \frac{1}{2}(x^2/a^2 + y^2/b^2) \leq z/c \leq x/a + y/b, a > 0, b > 0, c > 0.$$

**Отв.:**

$$1) I_{xy} = abc^3/60, I_{yz} = a^3bc/60, I_{zx} = ab^3c/60.$$

$$2) I_{xy} = pabc^3/5, I_{yz} = pa^3bc/20, I_{zx} = pab^3c/20.$$

$$3) I_{xy} = 7pabc^3/2, I_{yz} = 4pa^3bc/3, I_{zx} = 4pab^3c/3.$$

## 2. Криволинейные интегралы

### 2.1. Криволинейные интегралы 1-го (КрИ-1) и 2-го (КрИ-2) рода

**Определение и свойства КрИ-1. Вычисление КрИ-1 и их приложения.**

**Определение и свойства КрИ-2. Вычисление КрИ-2 и их приложения.**

Пусть на плоскости  $XU$  задана гладкая кривая  $l$ , в точках которой определена непрерывная функция  $f(x, y)$ . Кривую  $l$  произвольным образом разобьем на части  $l_i$  длиной  $\Delta l_i$ ,  $i = \overline{1, n}$ . В части  $l_i$  выберем произвольную точку  $(x_i, h_i)$  и составим интегральную сумму

$$s_n = \sum_{i=1}^n f(x_i, h_i) \Delta l_i. \quad (2.1)$$

Обозначим  $\Delta = \max_{1 \leq i \leq n} \Delta l_i$ . Если существует предел интегральной суммы (2.1) при  $\Delta \rightarrow 0$ , не зависящий ни от способа деления  $l$  на части  $l_i$ , ни от выбора точек  $(x_i, h_i) \in l_i$ , то этот предел называется *криволинейным интегралом 1-го рода* (КрИ-1) по дуге  $l$  от функции  $f(x, y)$  и обозначается  $\int_l f(x, y) dl$ .

Итак, по определению

$$\int_l f(x, y) dl = \lim_{\Delta \rightarrow 0} \sum_{i=1}^n f(x_i, h_i) \Delta l_i,$$

( $dl$  – дифференциал длины дуги).

Аналогично, если  $l$  – гладкая кривая в  $\mathbf{R}^3$ , а  $f(x, y, z)$  – непрерывная функция в точках этой кривой, то КрИ-1 по  $l$  определяется равенством

$$\int_l f(x, y, z) dl = \lim_{\Delta \rightarrow 0} \sum_{i=1}^n f(x_i, h_i, V_i) \Delta l_i.$$

Пусть  $A$  – начальная точка кривой  $l$ ,  $B$  – конечная. Если кривая  $AB$  задана явно уравнением  $y = g(x)$ ,  $a \leq x \leq b$ , то КрИ-1 вычисляется по формуле

$$\int_{AB} f(x, y) dl = \int_a^b f(x, g(x)) \sqrt{1 + g'^2(x)} dx. \quad (2.2)$$

Если кривая  $l$  задана в полярных координатах равенством  $r = r(j)$ ,  $a \leq j \leq b$ , то

$$\int_{AB} f(x, y) dl = \int_a^b f(r(j) \cos j, r(j) \sin j) \sqrt{r^2 + r'^2} dj, \quad (2.3)$$

где  $a, b$  – значения  $j$ , определяющие на кривой точки  $A$  и  $B$ .

В случае, если  $l$  задана параметрически уравнениями  $x = x(t)$ ,  $y = y(t)$  и параметр  $t$  изменяется монотонно на отрезке  $[a, b]$ , ( $a < b$ ) при перемещении по кривой  $l$  из  $A$  в  $B$ , верна следующая формула вычисления КрИ-1:

$$\int_{AB} f(x, y) dl = \int_a^b f(x(t), y(t)) \sqrt{x'^2 + y'^2} dt. \quad (2.4)$$

Для пространственной кривой  $l = l_{AB}$ , заданной параметрически уравнениями  $x = x(t)$ ,  $y = y(t)$ ,  $z = z(t)$ ,  $a \leq t \leq b$ , формула (2.4) заменяется формулой

$$\int_{AB} f(x, y, z) dl = \int_a^b f(x(t), y(t), z(t)) \sqrt{x'^2 + y'^2 + z'^2} dt. \quad (2.5)$$

КрИ-1 обладает следующими свойствами:

1. (Линейность). Если  $f(x, y)$  и  $g(x, y)$  – непрерывные функции вдоль кривой  $l$ , то  $\forall a, b \in \mathbf{R}$ :

$$\int_l (af(x, y) + bg(x, y)) dl = a \int_l f(x, y) dl + b \int_l g(x, y) dl.$$

2. (Аддитивность). Если кусочно-гладкая кривая  $l$  состоит из конечного числа  $k$  гладких дуг  $l_k$ ,  $k = \overline{1, m}$ , то

$$\int_l f(x, y) dl = \sum_{k=1}^m \int_{l_k} f(x, y) dl.$$

3. КрИ-1 не зависит от направления пути интегрирования, т. е.

$$\int_{AB} f(x, y) dl = \int_{BA} f(x, y) dl.$$

4. (Оценка модуля интеграла):

$$\left| \int_l f(x, y) dl \right| \leq \int_l |f(x, y)| dl.$$

5.  $\int_l dl = L$ , где  $L$  – длина кривой  $l$ .

6. (Теорема о среднем). Если  $f(x, y)$  непрерывна в точках кривой  $l$ , то  $\exists (x, h) \in l$ :  $\int_l f(x, y) dl = f(x, h)L$ , где  $L$  – длина кривой  $l$ .

**2.1. Вычислить КрИ-1:**

$I = \int_l \frac{x}{y} dl$ , где  $l$  – дуга параболы  $y^2 = 2x$ , соединяющая точки  $(1, \sqrt{2})$  и  $(2, 2)$ .

**г** Имеем:  $y = \sqrt{2x}$ ,  $y' = \frac{1}{\sqrt{2x}}$ ,  $dl = \sqrt{1 + y'^2} dx = \frac{\sqrt{1 + 2x}}{\sqrt{2x}} dx$ ,  $1 \leq x \leq 2$ .

По формуле (2.2) получаем

$$\int_l \frac{x}{y} dl = \int_1^2 \frac{x}{\sqrt{2x}} \frac{\sqrt{1+2x}}{\sqrt{2x}} dx = \frac{1}{6} (5\sqrt{5} - 3\sqrt{3}). \quad \text{р}$$

**2.2.** Вычислить КрИ-1:

$I = \int_l y^2 dl$ , где  $l$  – арка циклоиды  $x = a(t - \sin t)$ ,  $y = a(1 - \cos t)$ ,  $0 \leq t \leq 2\pi$ .

**г** Имеем:

$$dl = \sqrt{x'^2(t) + y'^2(t)} dt = \sqrt{a^2(1 - \cos t)^2 + a^2 \sin^2 t} dt = a\sqrt{2} \sqrt{1 - \cos t} dt,$$

и потому по формуле (2.4)

$$\int_l y^2 dl = \int_0^{2\pi} a^2(1 - \cos t)^2 a\sqrt{2} \sqrt{1 - \cos t} dt = \frac{256}{15} a^3. \quad \text{р}$$

**2.3.** Вычислить  $I = \int_l (2z - \sqrt{x^2 + y^2}) dl$ , где  $l$  – первый виток конической

винтовой линии  $x = t \cos t$ ,  $y = t \sin t$ ,  $z = t$ ,  $0 \leq t \leq 2\pi$ .

**г** Находим

$$dl = \sqrt{x'^2(t) + y'^2(t) + z'^2(t)} dt = \sqrt{(\cos t - t \sin t)^2 + (\sin t + t \cos t)^2 + 1} dt = \sqrt{2 + t^2} dt.$$

$$\text{Тогда } \int_0^{2\pi} (2t - t) \sqrt{2 + t^2} dt = \int_0^{2\pi} t \sqrt{2 + t^2} dt = \frac{2\sqrt{2}}{3} ((1 + 2\pi^2)^{3/2} - 1). \quad \text{р}$$

**2.4.** Вычислить КрИ-1:

$I = \int_l \sqrt{x^2 + y^2} dl$ , где  $l$  – кривая, заданная уравнением  $(x^2 + y^2)^{3/2} = a^2(x^2 - y^2)$ .

**г** Перейдем к полярным координатам:  $x = r \cos j$ ,  $y = r \sin j$ . Уравнение  $l$  примет вид  $r = a^2 \cos 2j$ , где  $j \in \Phi = \{j \mid -p/4 \leq j \leq p/4, 3p/4 \leq j \leq 5p/4\}$ .

Для вычисления интеграла применим формулу (2.3). Так как  $\sqrt{x^2 + y^2} = r = a^2 \cos 2j$ ,  $\sqrt{r^2 + r'^2} dj = a^2 \sqrt{1 + 3 \sin^2 2j} dj$ , то

$$\begin{aligned} I &= \int_{j \in \Phi} a^4 \cos 2j \sqrt{1 + 3 \sin^2 2j} dj = \\ &= \frac{2a^4}{2\sqrt{3}} \int_{-p/4}^{p/4} \sqrt{1 + 3 \sin^2 2j} d(\sqrt{3} \sin 2j) = 2a^4 + \frac{a^4}{\sqrt{3}} \ln(\sqrt{3} + 2). \quad \text{р} \end{aligned}$$

**2.5.** Вычислить  $I = \int_l z dl$ , где  $l$  – линия пересечения поверхностей

$x^2 + y^2 = z^2$ ,  $y^2 = ax$ , пробегаемая от точки  $(0, 0, 0)$  до точки  $(a, a, a\sqrt{2})$ .

**г** В качестве параметра возьмем  $x = t$ . Тогда параметрические

уравнения кривой  $l$  примут вид  $x = t, y = \sqrt{at}, z = \sqrt{t^2 + at}, 0 \leq t \leq a$ .

Поскольку  $dz = \frac{2t+a}{2\sqrt{t^2+at}} dt, dy = \frac{1}{2}\sqrt{\frac{a}{t}} dt, dl = \sqrt{dx^2 + dy^2 + dz^2},$  то

применив формулу (2.5), получим

$$I = \frac{1}{2} \int_0^a \sqrt{8t^2 + 9at + 2a^2} dt = \frac{1}{2} \int_0^a \sqrt{\left(2\sqrt{2}t + \frac{9a}{4\sqrt{2}}\right)^2 - \frac{17}{32}a^2} dt =$$

$$= \frac{1}{4\sqrt{2}} \left( \left(2\sqrt{2}t + \frac{9a}{4\sqrt{2}}\right) \sqrt{8t^2 + 9at + 2a^2} - \frac{17}{32} \ln \left(2\sqrt{2}t + \frac{9a}{4\sqrt{2}} + \sqrt{8t^2 + 9at + 2a^2}\right) \right) \Big|_0^a =$$

$$= \frac{a^2}{256\sqrt{2}} \left( 100\sqrt{38} - 72 - 17 \ln \frac{25 + 4\sqrt{38}}{17} \right). \text{ P}$$

**2.6.** Вычислить КрИ – 1 по плоской кривой  $\Gamma$ :

1)  $\int_{\Gamma} x dl, \Gamma$  – отрезок с концами  $(0,0)$  и  $(1,2)$ . **Отв.:**  $\sqrt{5}/2$ .

2)  $\int_{\Gamma} (2x+y) dl, \Gamma$  – ломаная  $ABOA$ , где  $A=(1,0), B=(0,2), O=(0,0)$ .

**Отв.:**  $3 + 2\sqrt{5}$ .

3)  $\int_{\Gamma} (x+y) dl, \Gamma$  – граница треугольника с вершинами  $(0,0), (1,0), (0,1)$ .

**Отв.:**  $1 + \sqrt{2}$ .

4)  $\int_{\Gamma} \frac{dl}{\sqrt{x^2 + y^2 + 4}}, \Gamma$  – отрезок с концами  $(0,0)$  и  $(1,2)$ .

**Отв.:**  $\ln((3 + \sqrt{5})/2)$ .

5)  $\int_{\Gamma} xy dl, \Gamma$  – граница прямоугольника с вершинами  $(0,0), (4,0), (4,2), (0,2)$ .

**Отв.:** 24.

6)  $\int_{\Gamma} x^2 dl, \Gamma$  – дуга окружности  $x^2 + y^2 = a^2, y \geq 0$ . **Отв.:**  $\pi a^3/2$ .

7)  $\int_{\Gamma} (x^2 + y^2)^n dl, \Gamma$  – окружность  $x^2 + y^2 = a^2, n > 0$ . **Отв.:**  $2\pi a^{2n+1}$ .

8)  $\int_{\Gamma} (x-y) dl, \Gamma$  – окружность  $x^2 + y^2 = ax$ . **Отв.:**  $\pi a^2/2$ .

9)  $\int_{\Gamma} \sqrt{x^2 + y^2} dl, \Gamma$  – окружность  $x^2 + y^2 = ax$ . **Отв.:**  $2a^2$ .

10)  $\int_{\Gamma} (x+y) dl, \Gamma$  – правый лепесток лемнискаты  $r = a^2 \cos 2\varphi$ .

**Отв.:**  $a^2\sqrt{2}$ .

11)  $\int_{\Gamma} x\sqrt{x^2 - y^2} dl, \Gamma$  – правый лепесток лемнискаты  $r = a^2 \cos 2\varphi$ .

**Отв.:**  $2a^3\sqrt{2}/3$ .

12)  $\int_{\Gamma} (x^{4/3} + y^{4/3}) dl$ ,  $\Gamma$  – астроида  $x^{2/3} + y^{2/3} = a^{2/3}$ . **Отв.:**  $4a^{7/3}$ .

13)  $\int_{\Gamma} y dl$ ,  $\Gamma$  – арка циклоиды  $x = a(t - \sin t)$ ,  $y = a(1 - \cos t)$ ,  $0 \leq t \leq 2\pi$ .

**Отв.:**  $32a^2/3$ .

14)  $\int_{\Gamma} (x^2 + y^2) dl$ ,  $\Gamma$  – дуга развертки окружности  $x = a(\cos t + t \sin t)$ ,

$y = a(\sin t - t \cos t)$ ,  $0 \leq t \leq 2\pi$ .

**Отв.:**  $2p^2 a^3 (1 + 2p^2)$ .

15)  $\int_{\Gamma} \sqrt{x^2 + y^2} dl$ ,  $\Gamma$  – дуга развертки окружности  $x = a(\cos t + t \sin t)$ ,

$y = a(\sin t - t \cos t)$ ,  $0 \leq t \leq 2\pi$ .

**Отв.:**  $\left( (1 + 4p^2)^{3/2} - 1 \right) a^2 / 3$ .

**2.7.** Вычислить КрИ-1 по пространственной кривой  $\Gamma$ :

1)  $\int_{\Gamma} \frac{z^2}{x^2 + y^2} dl$ ,  $\Gamma$  – первый виток винтовой линии  $x = a \cos t$ ,  $y = a \sin t$ ,

$z = bt$ .

**Отв.:**  $8p^3 b^2 \sqrt{a^2 + b^2} / (3a^2)$ .

2)  $\int_{\Gamma} z dl$ ,  $\Gamma$  – дуга конической винтовой линии  $x = t \cos t$ ,  $y = t \sin t$ ,  $z = t$ ,

$0 \leq t \leq 2\pi$ .

**Отв.:**  $\left( (1 + 2p^2)^{3/2} - 1 \right) 2\sqrt{2} / 3$ .

3)  $\int_{\Gamma} \sqrt{2y^2 + z^2} dl$ ,  $\Gamma$  – окружность  $x^2 + y^2 + z^2 = a^2$ ,  $x = y$ . **Отв.:**  $2pa^2$ .

4)  $\int_{\Gamma} xyz dl$ ,  $\Gamma$  – четверть окружности  $x^2 + y^2 + z^2 = a^2$ ,  $x = y$ ,

расположенная в первом октанте.

**Отв.:**  $a^4 / 6$ .

5)  $\int_{\Gamma} x^2 dl$ ,  $\Gamma$  – окружность  $x^2 + y^2 + z^2 = a^2$ ,  $x + y + z = 0$ . **Отв.:**  $2pa^3 / 3$ .

6)  $\int_{\Gamma} z dl$ ,  $\Gamma$  – дуга кривой  $x^2 + y^2 = z^2$ ,  $y^2 = ax$  от точки  $(0,0,0)$  до точки

$(a, a, a\sqrt{2})$ ,  $a > 0$ .

**Отв.:**  $100\sqrt{38} - 72 - 17 \ln((25 + 4\sqrt{38})/17) a^2 \sqrt{2} / 512$ .

КрИ-1 применяется в геометрии и физике:

1)  $\int_{l_{AB}} dl = L$ , где  $L$  – длина дуги  $AB$  (см. свойство 5 КрИ-1).

2) Масса дуги  $l_{AB}$  вычисляется по формуле

$$m = \int_{l_{AB}} m(x, y, z) dl, \quad (2.6)$$

где  $m(x, y, z)$  – линейная плотность дуги.

3) Координаты центра тяжести дуги  $l_{AB}$  с линейной плотностью  $m(x, y, z)$  вычисляются по следующим формулам:

$$x_c = \frac{1}{m} \int_{l_{AB}} x m(x, y, z) dl, \quad y_c = \frac{1}{m} \int_{l_{AB}} y m(x, y, z) dl, \quad z_c = \frac{1}{m} \int_{l_{AB}} z m(x, y, z) dl, \quad (2.7)$$

где  $m$  – масса дуги  $l_{AB}$ .

4) Моменты инерции относительно начала координат  $O$ , осей координат  $X, Y, Z$  и координатных плоскостей  $XY, XZ, YZ$  дуги  $l_{AB}$  с плотностью  $m(x, y, z)$  вычисляются соответственно по формулам

$$\begin{aligned} I_0 &= \int_{l_{AB}} (x^2 + y^2 + z^2) m dl, & I_x &= \int_{l_{AB}} (y^2 + z^2) m dl, \\ I_y &= \int_{l_{AB}} (x^2 + z^2) m dl, & I_z &= \int_{l_{AB}} (x^2 + y^2) m dl, \\ I_{xy} &= \int_{l_{AB}} z^2 m dl, & I_{xz} &= \int_{l_{AB}} y^2 m dl, & I_{yz} &= \int_{l_{AB}} x^2 m dl. \end{aligned} \quad (2.8)$$

Моменты инерции связаны следующими соотношениями:

$$2I_0 = I_x + I_y + I_z, \quad I_0 = I_{xy} + I_{xz} + I_{yz}.$$

Если дуга  $l_{AB}$  лежит в плоскости  $XY$ , то рассматриваются только моменты  $I_0, I_x, I_y$  (при условии, что  $z = 0$ ).

**2.8.** Найти массу  $m$  кривой  $l$ :  $y = \ln x$ ,  $1 \leq x \leq e$ , если линейная плотность ее в каждой точке пропорциональна квадрату абсциссы, т. е.  $m(x, y) = kx^2$ .

**р** Имеем

$$\begin{aligned} m &= \int_l kx^2 dl = \int_1^e kx^2 \sqrt{1 + y'^2} dx = k \int_1^e x^2 \frac{\sqrt{1 + x^2}}{x} dx = \\ &= \frac{k}{3} (1 + x^2)^{3/2} \Big|_1^e = \frac{k}{3} \left[ (1 + e^2)^{3/2} - 2\sqrt{2} \right]. \end{aligned} \quad \mathbf{p}$$

**2.9.** Найти координаты  $x_c, y_c, z_c$  центра тяжести первого полувитка винтовой линии  $l$ :  $x = a \cos t, y = a \sin t, z = bt, 0 \leq t \leq p$ , если ее линейная плотность постоянна и равна  $m$ .

**р** Находим массу  $m = \int_l m dl$  этой линии. Так как

$$\sqrt{x'^2 + y'^2 + z'^2} = \sqrt{a^2 \sin^2 t + a^2 \cos^2 t + b^2} = \sqrt{a^2 + b^2},$$

то 
$$m = m \int_0^p \sqrt{a^2 + b^2} dt = pm \sqrt{a^2 + b^2}.$$

Значения  $x_c, y_c, z_c$  находим по формулам (2.7):

$$x_c = \frac{m}{m} \int_l x dl = \frac{m}{pm \sqrt{a^2 + b^2}} \int_0^p a \sqrt{a^2 + b^2} \cos t dt = 0;$$

$$y_c = \frac{m}{m_l} \int_l y dl = \frac{m}{\rho m \sqrt{a^2 + b^2}} \int_0^p a \sqrt{a^2 + b^2} \sin t dt = 2a/p;$$

$$z_c = \frac{m}{m_l} \int_l z dl = \frac{m}{m \sqrt{a^2 + t^2}} \int_0^p bt \sqrt{a^2 + t^2} dt = \frac{pb^2}{2}.$$

Итак, центр тяжести  $C = (0, 2a/p, pb^2/2)$ . **Р**

**2.10.\*** Найти момент инерции  $I$  относительно диаметра окружности  $l$ :  $x^2 + y^2 = a^2$ , если ее линейная плотность  $m = 1$ .

**р** Зафиксируем какой-нибудь диаметр окружности. Тогда момент инерции  $I$  окружности  $l$  относительно этого диаметра выразится интегралом  $I = \int_l d^2(x, y) dl$ , где  $d(x, y)$  – расстояние от точки  $M = (x, y) \in l$  до диаметра (рис. 2.1).

Перейдем к полярным координатам:  $x = r \cos j$ ,  $y = r \sin j$ ,  $0 \leq j \leq 2\pi$ . В этих координатах уравнение окружности примет вид  $r = a$ . Пусть диаметр лежит на прямой, образующей угол  $j_0$  с осью  $X$ , где  $j_0 \in [0, \pi]$ .

При этом

$$d(x, y) = d(a \cos j, a \sin j) = a |\sin(j - j_0)|.$$

С учетом формулы (2.3) и так как

$$\sqrt{r^2 + r^2} = a, \text{ находим}$$

$$I = \int_0^{2\pi} a^2 \sin^2(j - j_0) a dj = a^3 \int_0^{2\pi} \left( \frac{1}{2} - \frac{1}{2} \cos(2j - 2j_0) \right) dj = \pi a^3. \text{ Р}$$

**2.11.** Найти массу дуги  $AB$  плоской кривой  $\Gamma$  с линейной плотностью  $m = m(x, y)$ , если:

1)  $\Gamma$  – отрезок  $AB$ ,  $A = (1, 1)$ ,  $B = (2, 3)$ ;  $m = 2x + y$ .

2)  $\Gamma$ :  $y = x^2/2$ ,  $A = (1; 3/2)$ ,  $B = (2, 2)$ ;  $m = y/x$ .

3)  $\Gamma$ :  $y^2 = x$ ,  $A = (1, 1)$ ,  $B = (4, 2)$ ;  $m = y$ .

4)  $\Gamma$ :  $y = \frac{2}{3} x^{3/2}$ ,  $A = (0, 0)$ ,  $B = \left( 4, \frac{16}{3} \right)$ ;  $m = kL$ , где  $L$  – длина дуги от точки

$(0, 0)$ .

**Отв.:** 1)  $5\sqrt{5}$ ; 2)  $(5\sqrt{5} - 2\sqrt{2})/6$ ; 3)  $(17\sqrt{17} - 5\sqrt{5})/12$ ; 4)  $4(63 - 5\sqrt{5})k/9$ .

**2.12.** Найти массу плоской кривой  $\Gamma$  с линейной плотностью  $m$ .

1)  $\Gamma$ :  $r = a\sqrt{\cos 2j}$ ;  $m = kr$ .

2)  $\Gamma$ :  $r = a\sqrt{1 + \cos j}$ ;  $m = \sqrt{kr}$ .

3)  $\Gamma$ :  $x = a(t - \sin t)$ ,  $y = a(1 - \cos t)$ ,  $0 \leq t \leq 2\pi$ ;  $m = y^{3/2}$ .

4)  $\Gamma$ :  $x = \ln(1 + t^2)$ ,  $y = 2 \arctgt - t$ ,  $0 \leq t \leq 1$ ,  $m = ye^{-x}$ .

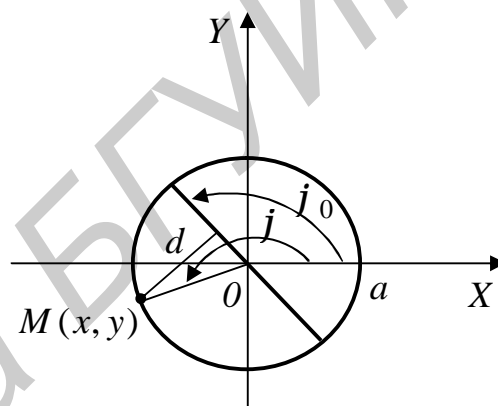


Рис. 2.1

5)  $\Gamma: x^{2/3} + y^{2/3} = a^{2/3}; m = |xy|.$

6)  $\Gamma: x^2 + y^2 = ax; m = \sqrt{x^2 + y^2}.$

**Отв.:** 1)  $kp a^2$ ; 2)  $pk(2a)^{3/2}$ ; 3)  $3\sqrt{2}pa^{5/2}$ ;  
4)  $(p^2 - 8\ln 2)/16$ ; 5)  $9pa^3/64$ ; 6)  $2a^2$ .

**2.13.** Найти массу пространственной кривой  $\Gamma$  с линейной плотностью  $m$ :

1)  $\Gamma: x = at, y = at^2/2, z = at^3/3, 0 \leq t \leq 1; m = \sqrt{2y/a}.$

2)  $\Gamma: x = t \cos t, y = t \sin t, z = t, 0 \leq t \leq 2p; m = \sqrt{x^2 + y^2 + z^2}.$

3)  $\Gamma: x = ae^t \cos t, y = ae^t \sin t, z = ae^t, |t| < \infty; m = kz.$

4)  $\Gamma$  – дуга кривой  $y = x^2/\sqrt{2}, z = x^3/3$  с началом в точке  $A = (0,0,0)$  и концом  $B = (4,8\sqrt{2},64/3)$ ;  $m = k\sqrt{x^2 + y^2}.$

5)  $\Gamma = \{x^2 + y^2 + z^2 = a^2, x + y + z = a\}, m = x^2.$

**Отв.:** 1)  $\frac{3a}{16} \left( \ln \frac{\sqrt{3} + 2}{\sqrt{3}} + 2\sqrt{3} - \frac{2}{3} \right)$ ; 2)  $4 \left( (1 + 2p^2)^{3/2} - 1 \right) / 3$ ;

3)  $\sqrt{3}ka^2/2$ ; 4)  $2644k/15$ ; 5)  $2\sqrt{6}pa^3/9$ .

**2.14.** Найти координаты центра тяжести кривой  $\Gamma$  с линейной плотностью  $m = 1$ :

1)  $\Gamma: y = a \operatorname{ch}(x/a), |x| \leq a.$

2)  $\Gamma: x = a(t - \sin t), y = a(1 - \cos t), 0 \leq t \leq 2p.$

3)  $\Gamma$  – дуга окружности  $r = R, |j| \leq j_0 \leq p.$

4)  $\Gamma$  – кардиоида  $r = a(1 + \cos j).$

5)  $\Gamma: \sqrt{x} + \sqrt{y} = \sqrt{a}.$

6)  $\Gamma: x^{2/3} + y^{2/3} = a^{2/3}, y \geq 0.$

7)  $\Gamma: y^2 = ax^3 - x^4.$

**Отв.:** 1)  $\left( 0, \frac{sh2 + 2}{4sh1} a \right)$ ; 2)  $(pa, 4a/3)$ ; 3)  $((R \sin j_0)/j_0, 0)$ ;

4)  $(4a/5, 0)$ ; 5)  $x_c = y_c = \frac{7\sqrt{2} + 3 \ln(1 + \sqrt{2})}{\sqrt{2} + \ln(1 + \sqrt{2})} \cdot \frac{a}{6}$ ; 6)  $(0, 2a/5)$ ; 7)  $2\sqrt{6}pa^3/9$ .

**2.15.\*** Найти координаты центра тяжести винтовой линии  $x = R \cos j, y = R \sin j, z = hj/2p, 0 \leq j \leq j_0$  с линейной плотностью  $m = m_0 e^{-z/h}$ , считая, что  $j_0 = 2pn, n \in N$ .

**Отв:**  $(R/(1 + 4p^2); 2pR/(1 + 4p^2); h(1 - (n + 1)e^{-n})/(1 - e^{-n}))$ .

**2.16.** Найти координаты центра тяжести:

1. Однородной ( $m = 1$ ) кривой  $x = e^{-t} \cos t, y = e^{-t} \sin t, z = e^{-t}, 0 \leq t < +\infty$ .



пути интегрирования.

2. (Аддитивность) Если кривая  $l$  разбита на две части  $l_1$  и  $l_2$ , т. е.  $l = l_1 + l_2$ , то

$$\int_l Pdx + Qdy = \int_{l_1} Pdx + Qdy + \int_{l_2} Pdx + Qdy.$$

Остальные свойства КрИ-2 аналогичны свойствам КрИ-1.

Если кривая  $l$  задана явно уравнением  $y = j(x), x \in [a, b]$ , то в этом случае КрИ-2 вычисляется по формуле

$$\int_l P(x, y)dx + Q(x, y)dy = \int_a^b \{P[x, j(x)] + j'(x)Q[x, j(x)]\}dx. \quad (2.9)$$

Если же кривая  $l$  задана параметрическими уравнениями  $x = x(t), y = y(t), t_1 \leq t \leq t_2$ , то

$$\int_l P(x, y)dx + Q(x, y)dy = \int_{t_1}^{t_2} \{P[x(t), y(t)]x'(t) + Q[x(t), y(t)]y'(t)\}dt. \quad (2.10)$$

Аналогичная формула имеет место для вычисления КрИ-2 по пространственной кривой  $l$ , заданной уравнениями  $x = x(t), y = y(t), z = z(t), t_1 \leq t \leq t_2$ :

$$\begin{aligned} & \int_l P(x, y, z)dx + Q(x, y, z)dy + R(x, y, z)dz = \\ & = \int_{t_1}^{t_2} \{P[x(t), y(t), z(t)]x'(t) + Q[x(t), y(t), z(t)]y'(t) + R[x(t), y(t), z(t)]z'(t)\}dt. \quad (2.11) \end{aligned}$$

**2.21.** Вычислить КрИ-2:  $I = \int_{AB} xydx + (x^2 + y)dy$ , если  $AB$  – дуга параболы  $y = x^2$ , расположенная между точками  $A = (0,0)$  и  $B = (2,4)$ .

**р** В данном случае  $j(x) = x^2, j'(x) = 2x, 0 \leq x \leq 2$ . Тогда по формулам (2.9) получаем

$$I = \int_0^2 (xx^2 + (x^2 + x^2)2x)dx = \int_0^2 5x^3 dx = 20. \quad \text{р}$$

**2.22.** Вычислить  $\oint_l ydx - x^2 dy + (x + y)dz$ , если  $l$  – линия пересечения цилиндра  $x^2 + y^2 = 4$  с плоскостью  $x + y - z = 0$ , «пробегаемая» в положительном направлении, когда при обходе этой линии (эллипса, очевидно) плоскость, ограниченная эллипсом, остается слева (рис. 2.2).

**Δ** Составим параметрические уравнения эллипса  $l$ . Так как проекцией

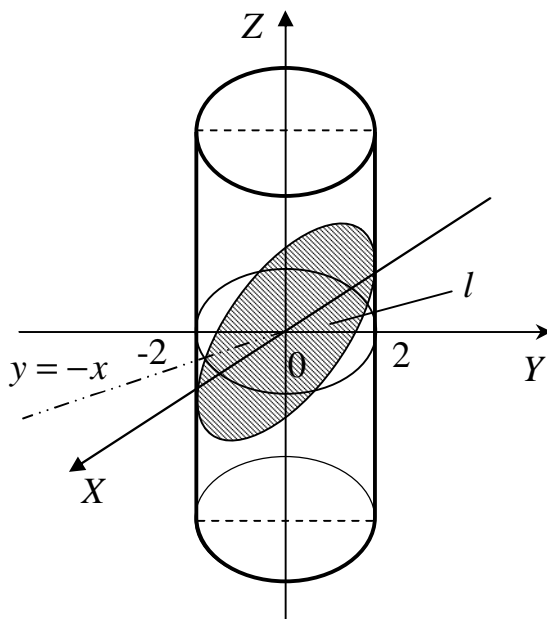


Рис. 2.2

$l$  на плоскость  $XU$  является окружность  $x^2 + y^2 = 4$ , то можно записать, что  $x = 2 \cos t, y = 2 \sin t$ . Тогда из уравнения плоскости находим, что  $z = 2(\cos t + \sin t)$ . Таким образом,

$$\begin{cases} x = 2 \cos t, \\ y = 2 \sin t, \\ z = 2(\cos t + \sin t), t \in [0, 2\pi] \end{cases} \Rightarrow \begin{cases} dx = -2 \sin t dt, \\ dy = 2 \cos t dt, \\ dz = 2(-\sin t + \cos t) dt. \end{cases}$$

Отсюда по формулам (2.11) имеем

$$\begin{aligned} I &= \int_0^{2\pi} (-4 \sin^2 t - 8 \cos^3 t + 4(\cos^2 t - \sin^2 t)) dt = \\ &= \int_0^{2\pi} (-2 + 2 \cos 2t - 8 \cos t + 8 \sin^2 t \cos t + 4 \cos 2t) dt = -4\pi. \quad \text{р} \end{aligned}$$

**2.23.** Вычислить  $I = \int_{AB} y dx + (x + z) dy + (x - y) dz$ , где  $AB$  – отрезок, соединяющий точки  $A = (1, -1, 1), B = (2, 3, 4)$ .

**р** Составим параметрические уравнения прямой, проходящей через точки  $A$  и  $B$ :  $x = 1 + t, y = -1 + 4t, z = 1 + 3t$ . На отрезке  $AB$  параметр  $0 \leq t \leq 1$ . Тогда по формуле (2.11)

$$I = \int_0^1 ((-1 + 4t) + (2 + 4t) \cdot 4 + (2 - 3t) \cdot 3) dt = \int_0^1 (13 + 11t) dt = 18,5. \quad \text{р}$$

**2.24.** Вычислить работу  $A$  силы  $F = yz\mathbf{i} + xz\mathbf{j} + xy\mathbf{k}$  вдоль отрезка прямой  $BC$ , если  $B = (1, 1, 1), C = (2, 3, 4)$ .

**р** Запишем параметрические уравнения отрезка  $BC$ :  $x = 1 + t, y = 1 + 2t, z = 1 + 3t, 0 \leq t \leq 1$ . Тогда работа  $A$  силы  $F$  на пути  $BC$  выразится интегралом

$$\begin{aligned} A &= \int_{BC} yz dx + xz dy + xy dz = \\ &= \int_0^1 [(1 + 2t)(1 + 3t) + (1 + t)(1 + 3t) \cdot 2 + (1 + t)(1 + 2t) \cdot 3] dt = 23. \quad \text{р} \end{aligned}$$

**2.25.** Вычислить КрИ-2 по кривой  $\Gamma$ , пробегаемой в направлении возрастания ее параметра  $x$ :

$$1) \int_{\Gamma} \left( x - \frac{1}{y} \right) dy, \quad \Gamma: y = x^2, 1 \leq x \leq 2.$$

$$2) \int_{\Gamma} x dy - y dx, \quad \Gamma: y = x^3, 0 \leq x \leq 2.$$

$$3) \int_{\Gamma} \frac{y}{x} dx + dy, \quad \Gamma: y = \ln x, 1 \leq x \leq e.$$

$$4) \int_{\Gamma} 2xy dx - x^2 dy, \quad \Gamma: y = \sqrt{x/2}, 0 \leq x \leq 2.$$

$$5) \int_{\Gamma} \cos y dx - \sin y dy, \quad \Gamma: y = -x, -2 \leq x \leq 2.$$

$$6) \int_{\Gamma} (x^2 + y^2) dx + (x^2 - y^2) dy, \quad \Gamma: y = 1 - |x - 1|, 0 \leq x \leq 2.$$

**Отв.:** 1)  $(14 - 3 \ln 4)3$ ; 2) 8; 3)  $3/2$ ; 4)  $12/5$ ; 5)  $2 \sin 2$ ; 6)  $4/3$ .

**2.26.** Вычислить КрИ-2 по кривой  $\Gamma$ , пробегаемой от точки  $A$  до точки  $B$ :

$$1) \int_{\Gamma} x dy - y dx, \quad \Gamma - \text{ломаная } ACB, \text{ где } A = (0,0), B = (1,2), C = (0,1).$$

$$2) \int_{\Gamma} \frac{3x}{y} dx - \frac{2y^3}{x} dy, \quad \Gamma: x = y^2, A = (4,2), B = (1,1).$$

$$3) \int_{\Gamma} x dy, \quad \Gamma: \{x^2 + y^2 = a^2, x \geq 0\}, A = (0, -a), B = (0, a).$$

$$4) \int_{\Gamma} \left( \frac{x}{x^2 + y^2} + y \right) dx + \left( \frac{y}{x^2 + y^2} + x \right) dy, \quad A = (1,0), B = (3,4).$$

$$5) \int_{\Gamma} (x + y) dx + (x - y) dy, \quad A = (0,1), B = (2,3).$$

**Отв.:** 1) 2; 2)  $-11$ ; 3)  $(5 - \ln 8)/3$ ; 4)  $12 + \ln 5$ ; 5) 4.

**2.27.** Вычислить КрИ-2 по кривой  $\Gamma$ , пробегаемой в направлении возрастания ее параметра  $t$ :

$$1) \int_{\Gamma} x dy + y dx, \quad \Gamma: \{x = R \cos t, y = R \sin t, 0 \leq t \leq p/2\}.$$

$$2) \int_{\Gamma} y^2 dx + x^2 dy, \quad \Gamma: \{x = a \cos t, y = b \sin t, 0 \leq t \leq p\}.$$

$$3) \int_{\Gamma} (2a - y) dx + (y - a) dy, \quad \Gamma - \text{дуга циклоиды } x = a(t - \sin t), y = a(1 - \cos t), \\ 0 \leq t \leq 2p.$$

$$4) \int_{\Gamma} \frac{x^2 dy - y^2 dx}{x^{5/3} + y^{5/3}}, \quad \Gamma - \text{дуга астроида } x = a \cos^3 t, y = a \sin^3 t, 0 \leq t \leq p/2.$$

**Отв.:** 1) 0; 2)  $-4ab^2/3$ ; 3)  $pa^2$ ; 4)  $3pa^{4/3}/16$ .

**2.28.** Вычислить КрИ-2 по замкнутой кривой  $\Gamma$ , пробегаемой так, что ее внутренность остается слева:

$$1) \oint_{\Gamma} (x^2 - 2xy) dx + (x - 2y)^2 dy, \quad \Gamma - \text{граница прямоугольника,}$$

образованного прямыми  $x = 0, x = 2, y = 0, y = 1$ .

$$2) \oint_{\Gamma} (3x^2 - y) dx + (1 - 2x) dy, \quad \Gamma - \text{граница треугольника с вершинами} \\ (0,0), (1,0), (1,1).$$

$$3) * \oint_{\Gamma} \frac{dx + dy}{|x| + |y|}, \quad \Gamma - \text{граница квадрата с вершинами } (1,0), (0,1), (-1,0), (0,-1).$$

$$4) \oint_{\Gamma} \frac{xy^2 dx - x^2 y dy}{x^2 + y^2}, \quad \Gamma - \text{правый лепесток лемнискаты } r^2 = a^2 \cos 2\varphi.$$

**Отв.:** 1) 4; 2)  $-1/2$ ; 3) 0; 4) 0.

**2.29.** Вычислить КрИ-2 по пространственной кривой  $\Gamma$ , пробегаемой в направлении возрастания ее параметра  $t$ :

$$1) \int_{\Gamma} (y^2 - z^2) dx + 2yz dy - x^2 dz, \quad \Gamma - \text{кривая } x = t, y = t^2, z = t^3, 0 \leq t \leq 1.$$

$$2) \int_{\Gamma} yz dx + z\sqrt{a^2 - y^2} dy + xy dz, \quad \Gamma - \text{дуга винтовой линии } x = a \cos t,$$

$$y = a \sin t, z = \frac{a}{2p} t, 0 \leq t \leq 2p.$$

$$3) \int_{\Gamma} x dx + (x + y) dy + (x + y + z) dz, \quad \Gamma - \text{кривая } x = a \sin t, y = a \cos t,$$

$$z = a(\sin t + \cos t), \quad 0 \leq t \leq 2p.$$

$$4) \int_{\Gamma} y dx + z dy + x dz, \quad \Gamma - \text{окружность } x = a \cos a \cos t, y = a \cos a \sin t,$$

$$z = a \sin a (a - \text{const}).$$

**Отв.:** 1)  $1/35$ ; 2) 0; 3)  $-pa^2$ ; 4)  $-pa^2 \cos^2 a$ .

**2.30.** Вычислить КрИ-2 по пространственной кривой  $\Gamma$ :

$$1) \int_{\Gamma} x dx + y dy + (x + y - 1) dz, \quad \Gamma - \text{отрезок } AB, \text{ соединяющий точки}$$

$$A = (1, 1, 1), B = (2, 3, 4).$$

$$2)* \int_{\Gamma} y^2 dx + z^2 dy + x^2 dz, \quad \Gamma - \text{линия пересечения поверхностей}$$

$x^2 + y^2 + z^2 = R^2, x^2 + y^2 = Rx (R > 0, z \geq 0)$ , пробегаемая против хода часовой стрелки, если смотреть из точки  $(0, 0, 0)$ .

$$3)* \int_{\Gamma} (y^2 - z^2) dx + (z^2 - x^2) dy + (x^2 - y^2) dz, \quad \Gamma - \text{граница части сферы}$$

$x^2 + y^2 + z^2 = 1$  (лежащей в первом октанте), пробегаемая по ходу часовой стрелки, если смотреть из точки  $(0, 0, 0)$ .

$$4) \int_{\Gamma} (y + z) dx + (z + x) dy + (x + y) dz, \quad \Gamma - \text{окружность}$$

$x^2 + y^2 + z^2 = a^2, x + y + z = 0$ , пробегаемая против хода часовой стрелки, если смотреть с положительной полуоси оси  $Y$ .

**Отв.:** 1) 13; 2)  $-pR^3/4$ ; 3)  $-4$ ; 4) 0.

**2.31.** Найти работу силы  $F$  вдоль дуги  $AB$ , если:

1)  $F = (xy, -y)$ ;  $\Gamma: y = x^2 - 1$ ,  $A = (1, 0)$ ,  $B = (2, 3)$ .

2)  $F = (3xy^2, -x - y)$ ;  $\Gamma: y^2 = x + 1$ ,  $A = (0, 1)$ ,  $B = (3, 2)$ .

3)  $F = (-y, x)$ ;  $\Gamma: x = a(t - \sin t)$ ,  $y = a(1 - \cos t)$ ,  $A = (0, 0)$ ,  $B = (2pa, 0)$ .

4)  $F = (y, -2x)$ ;  $\Gamma: x^2 + y^2 = 1$ ,  $y \geq 0$ ,  $A = (1, 0)$ ,  $B = (-1, 0)$ .

5)  $F = (0, 2x)$ ;  $\Gamma: x = a \cos t$ ,  $y = b \sin t$ ,  $y \geq 0$ ,  $A = (a, 0)$ ,  $B = (-a, 0)$ .

6)  $F = (yz, zx, xy)$ ;  $\Gamma$  – ломаная  $ABCD$  с вершинами

$A = (1, 1, 1)$ ,  $B = (2, 1, 1)$ ,  $C = (2, 3, 1)$ ,  $D = (2, 3, 4)$ .

7)  $F = (x^2 / y, y / x, \cos z)$ ;  $\Gamma$  – виток винтовой линии

$x = a \cos t$ ,  $y = a \sin t$ ,  $z = bt$ , от точки  $(a, 0, 0)$  до точки  $(0, 0, 2pb)$ .

8)  $F = (y, -z, x)$ ;  $\Gamma$  – кривая  $x^2 + y^2 + z^2 = 2a^2$ ,  $y = x$ , ориентированная против часовой стрелки, если смотреть с положительной полуоси оси  $X$ .

9)  $F = (z, x, y)$ ;  $\Gamma$  – окружность  $x^2 + y^2 + z^2 = R^2$ ,  $x + y + z = R$ , ориентированная против часовой стрелки, если смотреть с положительной полуоси оси  $Z$ .

**Отв.:** 1) 0; 2)  $113/3$ ; 3)  $-6pa^2$ ; 4)  $-3p/2$ ; 5)  $pab$ ;

6) 1; 7)  $\sin(2pb) - pa^2$ ; 8)  $2pa^2$ ; 9)  $2pR^2 / \sqrt{3}$ .

## 2.2. Формула Грина

**Независимость криволинейного интеграла от пути интегрирования. Восстановление функции по ее полному дифференциалу. Формула Грина и ее применение к вычислению площадей плоских фигур.**

Пусть  $V$  – область в  $\mathbf{R}^3$  и  $P(x, y, z), Q(x, y, z), R(x, y, z)$  – непрерывно дифференцируемые в  $V$  функции. Пусть  $l \in V$  – произвольная ориентированная кривая с начальной точкой  $M$  и конечной точкой  $N$  (рис. 2.3).

Криволинейный интеграл

$$\int_l Pdx + Qdy + Rdz \quad (2.12)$$

в общем случае зависит не только от положения начальной и конечной точек пути интегрирования, но и от пути, соединяющего эти точки. Если значение интеграла (2.12) одно и то же при любом выборе пути  $l$ , соединяющего  $M$  и  $N$ , то говорят, что *криволинейный интеграл не зависит от пути интегрирования.*

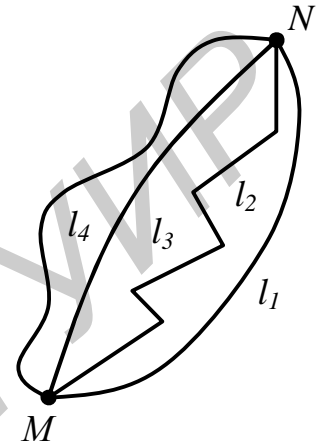


Рис. 2.3

**2.32.** Вычислить КрИ-2

$I = \int_{\Gamma} ydx + xdy$  по кривой  $\Gamma$  с началом

$O = (0,0)$  и концом  $A = (1,1)$ , если:

- 1)  $\Gamma$  – отрезок  $OA$ ;
- 2)  $\Gamma$  – дуга параболы  $y = x^2$ ;
- 3)  $\Gamma$  – дуга окружности радиусом 1 с центром в точке  $(1,0)$ .

г 1) Отрезок  $OA$  задается уравнением  $y = x, 0 \leq x \leq 1$ .

Тогда 
$$I = \int_0^1 xdx + \int_0^1 ydy = 1.$$

2) Если  $\Gamma$  – дуга параболы, то 
$$\int_{\Gamma} ydx = \int_0^1 x^2 dx, \int_{\Gamma} xdy = \int_0^1 2x^2 dx, I = \int_0^1 3x^2 dx = 1.$$

3) Так как уравнение дуги окружности можно записать в виде  $x = 1 + \cos t, y = \sin t, 0 \leq t \leq \pi/2$ , то

$$I = \int_0^{\pi/2} (\sin t(-\sin t) + (1 + \cos t)\cos t)dt = 1.$$

Таким образом, интеграл  $I$  оказался не зависящим от выбранных трех путей интегрирования. р

Напомним, что область  $V$  называется *односвязной*, если любой гладкий замкнутый контур, лежащий в области, является краем некоторой гладкой поверхности, целиком содержащейся в области  $V$ .

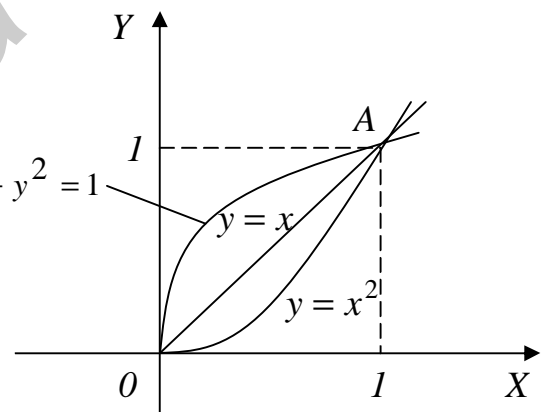


Рис. 2.4

Справедлива следующая

**Теорема 2.1.** Пусть  $P, Q, R$  – непрерывно дифференцируемые функции в односвязной области  $V$ . Тогда следующие четыре условия равносильны.

1. По любому замкнутому пути  $l \in V$

$$\oint_l Pdx + Qdy + Rdz = 0.$$

2. Интеграл (2.12) не зависит от пути интегрирования, т.е.

$$\int_{l_1} Pdx + Qdy + Rdz = \int_{l_2} Pdx + Qdy + Rdz,$$

где  $l_1$  и  $l_2$  – произвольные пути, расположенные в  $V$  и имеющие общие начало и конец.

3. Существует непрерывно дифференцируемая функция  $u = u(x, y, z)$  такая, что  $Pdx + Qdy + Rdz$  является ее полным дифференциалом, т.е.

$$(du = Pdx + Qdy + Rdz) \Leftrightarrow \frac{\partial u}{\partial x} = P, \quad \frac{\partial u}{\partial y} = Q, \quad \frac{\partial u}{\partial z} = R. \quad (2.13)$$

4. Для дифференциальной формы  $W = Pdx + Qdy + Rdz$  выполнены условия

$$\frac{\partial R}{\partial y} = \frac{\partial Q}{\partial z}, \quad \frac{\partial P}{\partial z} = \frac{\partial R}{\partial x}, \quad \frac{\partial Q}{\partial x} = \frac{\partial P}{\partial y}, \quad (2.14)$$

называемые условиями интегрируемости.

Если выполнены условия интегрируемости (2.14), то выражение  $P(x, y, z)dx + Q(x, y, z)dy + R(x, y, z)dz$  является полным дифференциалом функции  $u = u(x, y, z)$ , которую можно найти по формуле

$$u(x, y, z) = \int_{MN} Pdx + Qdy + Rdz + C = \int_{(x_0, y_0, z_0)}^{(x, y, z)} Pdx + Qdy + Rdz + C, \quad (2.15)$$

где  $M = (x_0, y_0, z_0)$  – начальная точка,  $N = (x, y, z)$  – конечная точка пути интегрирования, целиком лежащем в  $V$ .

Формуле (2.15) равносильна следующая:

$$u(x, y, z) = \int_{x_0}^x P(t, y_0, z_0)dt + \int_{y_0}^y Q(x, t, z_0)dt + \int_{z_0}^z R(x, y, t)dt + C. \quad (2.16)$$

Здесь путем интегрирования является некоторая ломаная линия  $MABN$ , составленная из отрезков, параллельных координатным осям  $X, Y$  и  $Z$  и где  $M = (x_0, y_0, z_0)$  – начальная точка,  $A = (x, y_0, z_0)$ ,  $B = (x, y, z_0)$  – промежуточные точки,  $N = (x, y, z)$  – конечная точка ломаной.

Эти результаты сформулируем для случая функций двух переменных.

При выполнении условия

$$\frac{\partial Q}{\partial x} = \frac{\partial P}{\partial y} \quad (2.17)$$

выражение  $W = P(x, y)dx + Q(x, y)dy$  является полным дифференциалом в односвязной области  $V$  некоторой функции  $u = u(x, y)$ , которая находится по

формуле

$$u(x, y) = \int_{(x_0, y_0)}^{(x, y)} P dx + Q dy + C = \int_{x_0}^x P(t, y_0) dt + \int_{y_0}^y Q(x, t) dt + C. \quad (2.18)$$

**2.33.** Восстановить функцию по ее полному дифференциалу

$$du = (1/x + 1/y) dx + (2/y - x/y^2) dy.$$

г Имеем  $P = 1/x + 1/y$ ,  $Q = 2/y - x/y^2 \Rightarrow \frac{\partial P}{\partial y} = -\frac{1}{y^2} = \frac{\partial Q}{\partial x}$ ,

т. е. условие (2.17) выполнено. В качестве точки  $(x_0, y_0)$  возьмем точку  $(1, 1)$ . Тогда по формуле (2.18) находим

$$\begin{aligned} u(x, y) &= \int_1^x \left( \frac{1}{t} + 1 \right) dt + \int_1^y \left( \frac{2}{t} - \frac{x}{t^2} \right) dt = \\ &= (\ln|t| + t) \Big|_1^x + \left( 2 \ln|t| + \frac{x}{t} \right) \Big|_{t=1}^{t=y} + C = \ln|x| + 2 \ln|y| + \frac{x}{y} - 1 + C. \quad \text{р} \end{aligned}$$

**2.34.** Показать, что КрИ-2  $I = \int_{(0;1)}^{(2;3)} (x+y) dx + (x-y) dy$  не зависит от пути

интегрирования и вычислить его.

Δ Функции  $P(x, y) = x + y$  и  $Q(x, y) = x - y$  вместе со своими частными производными  $\frac{\partial Q}{\partial x} = \frac{\partial P}{\partial y} = 1$  непрерывны на всей плоскости  $XY$ , и данный интеграл не зависит от пути интегрирования. Поэтому для вычисления интеграла  $I$  можно выбрать любой путь, соединяющий точки  $A = (0, 1)$  и  $B = (2, 3)$ . Поскольку удобнее всего вычислять КрИ по отрезкам, параллельным осям координат, то выберем путь в виде ломаной, состоящей из двух звеньев  $AC$  и  $CB$ , параллельных осям координат (рис. 2.5).

Тогда  $I = \int_{(0,1)}^{(2,1)} + \int_{(2,1)}^{(2,3)}$ . На  $AC$ :

$y = 1 \Rightarrow dy = 0$ . Тогда  $\int_{(0,1)}^{(2,1)} = \int_0^2 (x+1) dx = 4$ .

На  $CB$ :  $x = 2 \Rightarrow dx = 0$  и

$$\int_{(2,1)}^{(2,3)} = \int_1^3 (2-y) dy = 0.$$

Следовательно,  $I = 4$ . р

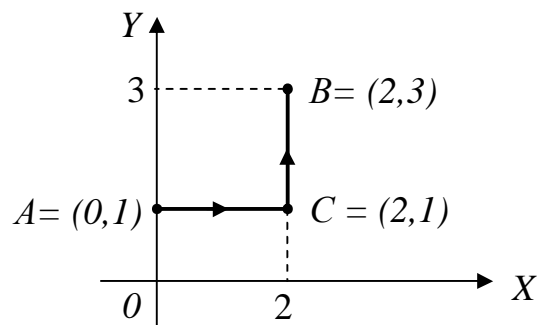


Рис. 2.5

**2.35.** Проверить, является ли выражение  $W = \left( 3x^2 y + \frac{1}{y} \right) dx + \left( x^3 - \frac{x}{y^2} \right) dy$

полным дифференциалом некоторой функции  $u = u(x, y)$ ; если да, то найти эту функцию.

Δ Частные производные  $\frac{\partial P}{\partial y} = \frac{\partial}{\partial y} \left( 3x^2 + y + \frac{1}{y} \right) = 3x^2 - \frac{1}{y^2}$  и

$\frac{\partial Q}{\partial x} = \frac{\partial}{\partial x} \left( x^3 - \frac{x}{y^2} \right) = 3x^2 - \frac{1}{y^2}$  равны между собой. Непрерывность функций

$P, Q, \frac{\partial P}{\partial y}, \frac{\partial Q}{\partial x}$  имеет место для всех точек плоскости  $XY$ , за исключением точек

оси  $X$ . Следовательно, КрИ-2  $\int_{\Gamma} \left( 3x^2 y + \frac{1}{y} \right) dx + \left( x^3 - \frac{x}{y^2} \right) dy$  не зависит от пути

интегрирования и его можно вычислять по любому пути от точки  $(x_0, y_0)$  до

точки  $(x, y)$ , лишь бы только сам путь интегрирования, как и эти точки,

находились в области непрерывности функций  $P, Q, \frac{\partial P}{\partial y}, \frac{\partial Q}{\partial x}$ . Выберем путь

интегрирования, как показано на рис.

2.6.

Тогда

$$u(x, y) = \int_{(0,1)}^{(x,y)} \left( 3x^2 y + \frac{1}{y} \right) dx + \left( x^3 - \frac{x}{y^2} \right) dy = A = (0,1)$$

$$= \int_{(0,1)}^{(0,y)} + \int_{(0,y)}^{(x,y)} = x^3 y + \frac{x}{y} + C. \text{ P}$$

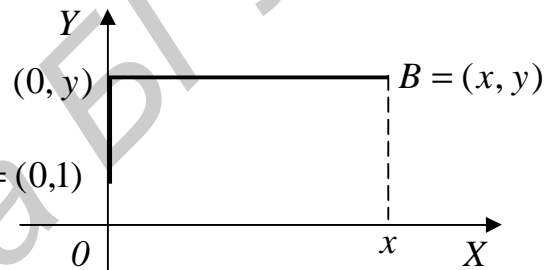


Рис. 2.6

При нахождении функции  $u = u(x, y)$  по ее полному дифференциалу  $du = Pdx + Qdy$  часто поступают

следующим образом. Из равенства  $\frac{\partial u}{\partial x} = P$  имеем  $u = \int P(x, y) dx + g(y)$ , где

$g(y)$  – некоторая дифференцируемая функция, играющая роль постоянной при

интегрировании по  $x$ . Дифференцируя последнее равенство по  $y$  с учетом

соотношения  $\frac{\partial u}{\partial y} = Q$ , получаем

$$\frac{\partial u}{\partial y} = \int \frac{\partial P(x, y)}{\partial y} dx + g'(y) = Q(x, y) \Rightarrow g(y) = \int \left( Q(x, y) - \int \frac{\partial P}{\partial y} dx \right) dy + C.$$

Таким образом,

$$u = \int P(x, y) dx + \int \left( Q(x, y) - \int \frac{\partial P}{\partial y} dx \right) dy + C.$$

**2.36.** Найти функцию  $u = u(x, y)$  по ее полному дифференциалу  $du = e^{-y} dx + (1 - xe^{-y}) dy$ .

г То, что это действительно полный дифференциал, следует из равенства  $\frac{\partial P}{\partial y} = \frac{\partial Q}{\partial x} = -e^{-y}$ , где  $P = e^{-y}, Q = 1 - xe^{-y}$ . В таком случае существует

функция  $u = u(x, y)$  такая, что  $\frac{\partial u}{\partial x} = e^{-y}$ ,  $\frac{\partial u}{\partial y} = 1 - xe^{-y}$ . Интегрированием по  $x$  обеих частей первого равенства находим

$$u = \int e^{-y} dx + g(y) = xe^{-y} + g(y) \Rightarrow \frac{\partial u}{\partial y} = -xe^{-y} + g'(y) = 1 - xe^{-y} \Rightarrow \\ \Rightarrow g'(y) = 1 \Rightarrow g(y) = y + C.$$

Тогда искомая функция  $u(x, y) = xe^{-y} + g(y) = xe^{-y} + y + C$ . **р**

По этой же методике можно восстанавливать функцию трех переменных по ее полному дифференциалу.

**2.37.** Является ли выражение  $W = (2xy + z)dx + (x^2 - 2y)dy + xdz$  полным дифференциалом некоторой функции  $u = u(x, y, z)$ ? Если да, то восстановить эту функцию.

**г** Здесь условия интегрируемости (2.14) выполнены:

$$\frac{\partial R}{\partial y} = \frac{\partial Q}{\partial z} = 0, \quad \frac{\partial P}{\partial z} = \frac{\partial R}{\partial x} = 1, \quad \frac{\partial Q}{\partial x} = \frac{\partial P}{\partial y} = 2x.$$

Тогда существует функция  $u = u(x, y, z)$ , для которой

$$\frac{\partial u}{\partial x} = 2xy + z, \quad \frac{\partial u}{\partial y} = x^2 - 2y, \quad \frac{\partial u}{\partial z} = x. \quad (2.19)$$

Из первого уравнения системы (2.19) интегрированием по  $x$  получим  $u = x^2 y + zx + j(y, z)$ , где  $j(y, z)$  – дифференцируемая функция, выполняющая роль константы при интегрировании по  $x$ . Ее найдем, используя второе уравнение системы (2.19):

$$\frac{\partial u}{\partial y} = x^2 + \frac{\partial j}{\partial y} = x^2 - 2y \Rightarrow \frac{\partial j}{\partial y} = -2y \Rightarrow j = \int -2y dy + y(z),$$

где  $y(z)$  – некоторая дифференцируемая функция, играющая роль константы при интегрировании по  $y$ . Таким образом,  $u = x^2 y + zx - y^2 + y(z)$ . Отсюда и из третьего уравнения системы (2.19) находим

$$\frac{\partial u}{\partial z} = x + y'(z) = x \Rightarrow y'(z) = 0 \Rightarrow y(z) = C - const.$$

Итак, окончательно, искомая функция  $u(x, y, z) = x^2 y + zx - y^2 + C$ . **р**

**2.38.** Убедившись в том, что подынтегральное выражение является полным дифференциалом, вычислить КрИ-2 по кривой  $\Gamma$  с началом в точке  $A$  и концом в точке  $B$ :

$$1) \int_{\Gamma} (x + y)dx + (x - y)dy, \quad A = (2, -1), B = (1, 0).$$

$$2) \int_{\Gamma} 2xydx + x^2 dy, \quad A = (0, 0), B = (-2, -1).$$

$$3) \int_{\Gamma} (x^2 + 2xy - y^2)dx + (x^2 - 2xy - y^2)dy, \quad A = (3, 0), B = (0, -3).$$

4)  $\int_{\Gamma} f(x+y)(dx+dy)$ ,  $f(t)$  – непрерывная функция,  $A=(0,0)$ ,  $B=(x_0, y_0)$ .

5)  $\int_{\Gamma} j(x)dx + y(y)dy$ ,  $j(t), y(t)$  – непрерывные функции,

$A=(x_1, y_1)$ ,  $B=(x_2, y_2)$ .

6)  $\int_{\Gamma} e^x \cos y dx - e^x \sin y dy$ ,  $A=(0,0)$ ,  $B=(x_0, y_0)$ .

7)  $\int_{\Gamma} x dx + y^2 dy - z^3 dz$ ,  $A=(-1,0,2)$ ,  $B=(0,1,-2)$ .

8)  $\int_{\Gamma} yz dx + xz dy + xy dz$ ,  $A=(2,-1,0)$ ,  $B=(1,2,3)$ .

9)  $\int_{\Gamma} \frac{xdx + ydy + zdz}{\sqrt{x^2 + y^2 + z^2}}$ ,  $A \in S_1$ ,  $B \in S_2$ , где

$S_1$  – сфера  $x^2 + y^2 + z^2 = R_1^2$ ,  $S_2$  – сфера  $x^2 + y^2 + z^2 = R_2^2$  ( $R_1 > 0, R_2 > 0$ ).

**Отв.:** 1) 1; 2) -4; 3) 0; 4)  $\int_0^{x_0+y_0} f(t)dt$ ; 5)  $\int_{x_1}^{x_2} j(t)dt + \int_{y_1}^{y_2} y(t)dt$ ;

6)  $e^{x_0} \cos y_0 - 1$ ; 7)  $-1/6$ ; 8) 6; 9)  $R_2 - R_1$ .

**2.39.** Найти функцию по ее заданному полному дифференциалу:

1)  $du = (e^{2y} - 5y^3 e^x)dx + (2xe^{2y} - 15y^2 e^x)dy$ .

2)  $du = \frac{2x(1-e^y)}{(1+x^2)^2} dx + \left( \frac{e^y}{1+x^2} + 1 \right) dy$ .

3)  $du = \frac{yz dx + zx dy + xy dz}{1+x^2 y^2 z^2}$ .

4)  $du = (x^2 - 2yz)dx + (y^2 - 2zx)dy + (z^2 - 2xy)dz$ .

5)  $du = \left( 1 - \frac{1}{y} + \frac{y}{z} \right) dx + \left( \frac{x}{z} + \frac{x}{y^2} \right) dy - \frac{xy}{z^2} dz$ .

**Отв.:** 1)  $u = xe^{2y} - 5y^3 e^x + C$ ; 2)  $u = \frac{e^y - 1}{1+x^2} + y + C$ ; 3)  $u = \arctg(xyz) + C$ ;

4)  $u = (x^3 + y^3 + z^3)/3 - 2xyz + C$ ;

5)  $u = x - x/y + xy/z + C$ .

**2.40.** Какому условию должна удовлетворять дифференцируемая функция  $F(x, y)$ , чтобы КрИ-2  $\int_{\Gamma_{AB}} F(x, y)(ydx + xdy)$  не

зависел от пути интегрирования  $\Gamma_{AB}$  между точками  $A$  и  $B$ ?

**Отв.:**  $x F_x' = y F_y'$ .

Пусть граница  $\Gamma$  плоской ограниченной области  $D$  состоит из конечного набора кусочно-гладких кривых. Тогда если

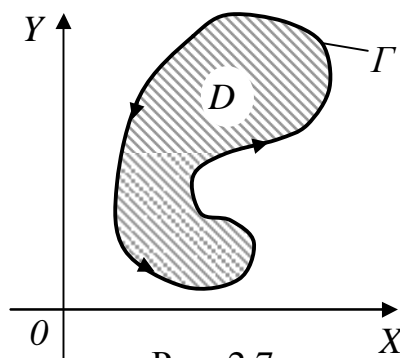


Рис. 2.7

функции  $P, Q, \frac{\partial P}{\partial y}, \frac{\partial Q}{\partial x}$  непрерывны в  $D$  вплоть до ее границы, то справедлива формула Грина

$$\iint_D \left( \frac{\partial Q}{\partial x} - \frac{\partial P}{\partial y} \right) dx dy = \oint_{\Gamma} P dx + Q dy, \quad (2.20)$$

где контур  $\Gamma$  ориентирован положительно, то есть при его обходе против часовой стрелки область  $D$  остается слева (рис. 2.7).

Из формулы (2.20) при  $Q = x, P = -y$  получаем, что площадь  $S$  области  $D$ , ограниченной контуром  $\Gamma$ , выражается через КРИ-2 формулой

$$S = \frac{1}{2} \oint_{\Gamma} x dy - y dx. \quad (2.21)$$

**2.41.** Вычислить с помощью формулы Грина КРИ-2  $I = \oint_{\Gamma} x^2 y dx - xy^2 dy$ , где

$\Gamma$  – окружность  $x^2 + y^2 = R^2$  (обход контура положителен).

$\Delta$  По формуле Грина (2.20), где  $P = x^2 y, Q = -xy^2, \frac{\partial Q}{\partial x} = -y^2, \frac{\partial P}{\partial y} = x^2$ ,

получаем  $I = \iint_D (x^2 + y^2) dx dy = - \int_0^{2p} dj \int_0^R r^3 dr = -pR^4 / 2$ .

**2.42.** Пользуясь формулой (2.21), найти площадь  $S$ , ограниченную астроидой  $x = a \cos^3 t, y = a \sin^3 t, 0 \leq t \leq 2p$ .

$\Delta$  Применяя формулы (2.21) и (2.10), получаем

$$\begin{aligned} S &= \frac{1}{2} \int_0^{2p} (x(t)y'(t) - y(t)x'(t)) dt = \frac{3a^2}{2} \int_0^{2p} (\cos^4 t \sin^2 t + \sin^4 t \cos^2 t) dt = \\ &= \frac{3a^2}{8} \int_0^{2p} \sin^2 2t dt = \frac{3a^2}{16} \int_0^{2p} (1 - \cos 4t) dt = \frac{3pa^2}{8}. \end{aligned}$$

**2.43.** Применяя формулу Грина, вычислить КРИ-2 по контуру  $\Gamma$  (обход контура положителен):

1)  $\oint_{\Gamma} (xy + x + y) dx + (xy + x - y) dy, \Gamma: x^2 + y^2 = ax.$

2)  $\oint_{\Gamma} (2xy - y) dx + x^2 dy, \Gamma: x^2/a^2 + y^2/b^2 = 1.$

3)  $\oint_{\Gamma} (x + y)^2 dx - (x^2 + y^2) dy, \Gamma$  – граница треугольника с вершинами  
(1,1), (3,2), (2,5).

4)  $\oint_{\Gamma} (y - x^2) dx - (x + y^2) dy, \Gamma$  – граница кругового сектора  
 $0 < r < R, 0 < j < a \leq p/2; (r, j)$  – полярные координаты.

5)  $\oint_{\Gamma} \frac{dx - dy}{x + y}, \Gamma$  – граница квадрата с вершинами (1,0), (0,1), (-1,0), (0,-1).

$$6) \int_{\Gamma} \sqrt{x^2 + y^2} dx + y(xy + \ln(x + \sqrt{x^2 + y^2})) dy, \quad \Gamma: x^2 + y^2 = R^2.$$

$$7) * \int_{\Gamma} (x + y)^2 dx - (x - y)^2 dy, \quad \Gamma - \text{граница области, образованной отрезком}$$

$[A, B]$ , где  $A = (1, 1)$ ,  $B = (2, 6)$ , и дугой параболы  $y = ax^2 + bx + c$ , проходящей через точки  $A, B, O = (0, 0)$ .

**Отв.:** 1)  $-pa^3/8$ ; 2)  $rab$ ; 3)  $-140/3$ ; 4) 0; 5)  $-4$ ; 6)  $pR^4/4$ ; 7)  $-2$ .

**2.44.** Применяя формулу Грина, найти площадь области, ограниченной плоскими кривыми:

$$1) y = 1 - x^2, x - y = 1.$$

$$2) x = 12 \sin^3 t, y = 3 \cos^3 t.$$

$$3) x = a \sin 2j \cos^2 j, y = a \cos 2j \cos^2 j, |j| \leq p/2.$$

$$4) x^2/a^2 + y^2/b^2 < 1, x/a - y/b < (\sqrt{3} - 1)/2.$$

$$5) * (y - x)^2 + x^2 = 1.$$

$$6) (x + y)^2 = ax, y = 0.$$

$$7) y^2 = x^2 - x^4.$$

$$8) (x^2 + y^2)^2 = a^2(x^2 - y^2), x \geq 0.$$

$$9) (x^2 + y^2)^2 = 2ax^3.$$

$$10) * x^3 + y^3 = x^2 + y^2, x = 0, y = 0.$$

**Отв.:** 1)  $9/2$ ; 2)  $27p/2$ ; 3)  $3pa^2/8$ ; 4)  $(7p + 3)ab/12$ ; 5)  $p$ ; 6)  $a^2/6$ ;

7)  $4/3$ ; 8)  $a^2$ ; 9)  $5pa^2/8$ ; 10)  $(3\sqrt{3} + 4p)/9\sqrt{3}$ .

**2.45.\*** Найти площадь области, ограниченной петлей кривой:

$$1) x = 3t/(1 + t^2), y = 3t^2/(1 + t^2). \quad \text{Отв.}: 3/2.$$

$$2) x = a \cos j, y = a \sin 2j, x \geq 0. \quad \text{Отв.}: 4a^2/3.$$

$$3) (\sqrt{x} + \sqrt{y})^{12} = xy. \quad \text{Отв.}: 1/30.$$

**2.46.** Найти площадь плоской фигуры, ограниченной следующими кривыми:

$$1) \text{ Кардиоидой } x = a(2 \cos t - \cos 2t), y = a(2 \sin t - \sin 2t).$$

$$2) * \text{ Петлей декартова листа } x^3 + y^3 = 3axy (a > 0) \text{ (положить } y = tx).$$

$$3) \text{ Лемнискатой } (x^2 + y^2)^2 = a^2(x^2 - y^2) \text{ (положить } y = xtgj).$$

$$4) \text{ Параболой } (x + y)^2 = ax (a > 0) \text{ и осью } X.$$

**Отв.:** 1)  $6pa^2$ ; 2)  $3a^2/2$ ; 3)  $a^2$ ; 4)  $a^2/3$ .

### 3. Поверхностные интегралы

#### 3.1. Поверхностные интегралы 1-го рода (ПИ-1)

**Определение ПИ-1 и его основные свойства. Вычисление ПИ-1 в случае явного и неявного задания поверхности. Приложения ПИ-1**

Пусть  $S \subset \mathbf{R}^3$  – гладкая поверхность и  $f(x, y, z)$  – непрерывная в точках  $S$  функция. Разобьем поверхность  $S$  на части  $S_i$ , площадь каждой из которых равна  $\Delta S_i, i = \overline{1, n}$ . В каждой части  $S_i$  произвольно выберем точку  $M_i = (x_i, y_i, z_i)$

и составим интегральную сумму  $S_n = \sum_{i=1}^n f(x_i, y_i, z_i) \Delta S_i$ . Пусть

$\Delta = \max_{1 \leq i \leq n} \text{diam} \Delta S_i$ . Если существует предел интегральных сумм  $S_n$  при  $\Delta \rightarrow 0$ ,

не зависящий ни от способа разбиения  $S$  на части  $S_i$ , ни от выбора точек  $M_i \in S_i$ , то он называется *поверхностным интегралом 1-го рода* (ПИ-1) от функции  $f(x, y, z)$  по поверхности  $S$  и обозначается  $\iint_S f(x, y, z) ds$ .

Таким образом  $\iint_S f(x, y, z) ds = \lim_{\Delta \rightarrow 0} \sum_{i=1}^n f(x_i, y_i, z_i) \Delta S_i$ .

ПИ-1 обладают свойствами линейности, аддитивности, для них справедлива теорема о среднем, их величина не зависит от выбора стороны поверхности (см. [3]).

Если поверхность задана явно уравнением  $z = g(x, y), (x, y) \in D_{xy}$ , где  $D_{xy}$  – проекция  $S$  на плоскость  $XY$ , то ПИ-1 вычисляется следующим образом:

$$\iint_S f(x, y, z) ds = \iint_{D_{xy}} f(x, y, g(x, y)) \sqrt{1 + g'_x{}^2 + g'_y{}^2} dx dy. \quad (3.1)$$

В случае задания поверхности явно уравнением  $x = j(y, z)$  или уравнением  $y = y(x, z)$ , где  $(y, z) \in D_{yz}$  – проекция  $S$  на плоскость  $YZ$ , а  $(x, z) \in D_{xz}$  – проекция  $S$  на плоскость  $XZ$ , то ПИ-1 вычисляется по формуле соответственно

$$\iint_S f(x, y, z) ds = \iint_{D_{yz}} f(j(y, z), y, z) \sqrt{1 + j'_y{}^2 + j'_z{}^2} dy dz, \quad (3.2)$$

$$\iint_S f(x, y, z) ds = \iint_{D_{xz}} f(x, y(x, z), z) \sqrt{1 + y'_x{}^2 + y'_z{}^2} dx dz. \quad (3.3)$$

Если же поверхность  $S$  задана неявно уравнением  $F(x, y, z) = 0, F'_z \neq 0, \forall (x, y, z) \in S$ , тогда формула (3.1) принимает вид

$$\iint_S f(x, y, z) ds = \iint_{D_{xy}} f(x, y, z) \frac{1}{|F'_z|} \sqrt{F'_x{}^2 + F'_y{}^2 + F'_z{}^2} dx dy, \quad (3.4)$$

где  $D_{xy}$  – проекция  $S$  на плоскость  $XY$ .

При вычислении интеграла в правой части формулы (3.4) необходимо  $z$  выразить из уравнения поверхности  $F(x, y, z) = 0$  (предполагаем, что это возможно).

**3.1.** Вычислить ПИ-1  $I = \iint_S z ds$ , где  $S$  – часть гиперболического параболоида  $z = xy$ , вырезанная цилиндром  $x^2 + y^2 = 4$ .

**г** Поверхность  $S$  задана явно, ее проекцией  $r^3 \cos j \sin j \sqrt{1 + r^2} dr$

$D_{xy}$  на плоскость  $XU$  является круг  $x^2 + y^2 = 4$ . Применяв формулу (3.1) и перейдя к полярным координатам, получим

$$I = \iint_{D_{xy}} z \sqrt{1 + z'_x{}^2 + z'_y{}^2} dx dy = \iint_{D_{xy}} xy \sqrt{1 + y^2 + x^2} dx dy = \\ = \int_0^{2\pi} dj \int_0^2 r^3 \cos j \sin j \sqrt{1 + r^2} dr = \frac{1}{2} \int_0^{2\pi} \sin 2j dj \int_0^2 r^3 \sqrt{1 + r^2} dr = 0. \text{ р}$$

**3.2.\*** Вычислить интеграл  $I = \iint_S y ds$ , где  $S$  – часть поверхности цилиндра  $x = 2y^2 + 1$  при  $y > 0$ , вырезанная поверхностями  $x = y^2 + z^2$ ,  $x = 2$ ,  $x = 3$ .

**р** Вычислим  $I$  двойным интегрированием по области  $D_{xz}$  – проекции  $S$  на плоскость  $XZ$ . Для отыскания границы области  $D_{xz}$  исключим переменную  $y$  из уравнений  $x = 2y^2 + 1$  и  $x = y^2 + z^2$ ; получим  $2z^2 = x + 1$ . Граница области  $D_{xz}$  состоит из двух дуг этой параболы и отрезков прямых  $x = 2$ ,  $x = 3$  (рис. 3.1).

Из уравнения поверхности  $S: y = \sqrt{\frac{x-1}{2}}$  следует, что

$$\sqrt{1 + y'_x{}^2 + y'_z{}^2} = \sqrt{\frac{8x-7}{8x-8}}.$$

Воспользовавшись формулой (3.3), получим

$$I = \iint_{D_{xz}} \sqrt{\frac{x-1}{2}} \cdot \sqrt{\frac{8x-7}{8x-8}} dx dz = \\ = \frac{1}{2\sqrt{2}} \int_2^3 \sqrt{8x^2 + x - 7} dx = \\ = \int_2^3 \sqrt{\left(x + \frac{1}{16}\right)^2 - \left(\frac{15}{16}\right)^2} dx =$$

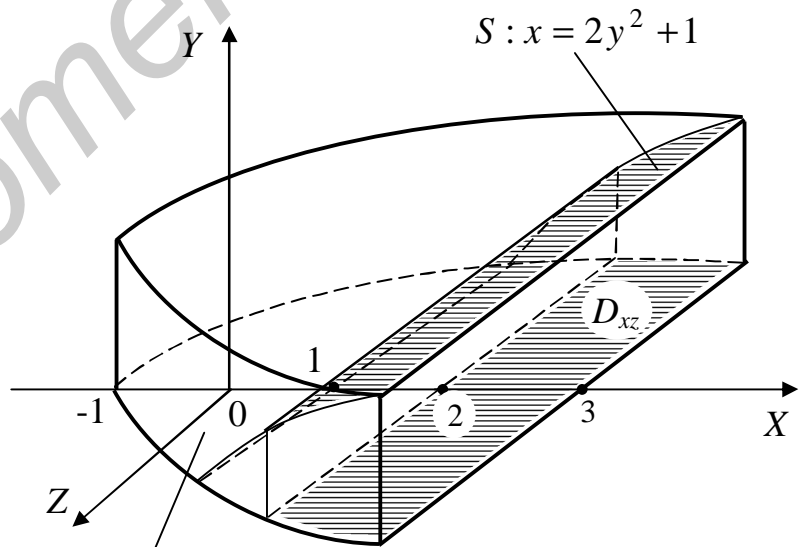


Рис. 3.1

$$= \left( \frac{x+1/16}{2} \sqrt{x^2 + x/8 - 7/8} - \left(\frac{15}{16}\right)^2 \cdot \frac{1}{2} \ln \left| x + \frac{1}{16} + \sqrt{x^2 + x/8 - 7/8} \right| \right) \Big|_{x=2}^{x=3} = \\ = \frac{98\sqrt{17} - 99\sqrt{3}}{64\sqrt{2}} + \left(\frac{15}{16}\right)^2 \ln \frac{33 + 12\sqrt{6}}{49 + 8\sqrt{3} \cdot 4} \approx 2,2. \text{ р}$$

**3.3.** Вычислить интеграл  $I = \iint_S \sqrt{x^2 + y^2} ds$ , где  $S$  – часть конической

поверхности  $x^2 + y^2 - z^2 = 0$ ,  $0 \leq z \leq 1$ .

г Поверхность  $S$  задана неявно уравнением  $F(x, y, z) = x^2 + y^2 - z^2 = 0$ . Ее проекция  $D_{xy}$  на плоскость  $XY$  есть круг  $x^2 + y^2 \leq 1$ . Так как

$F'_x = 2x$ ,  $F'_y = 2y$ ,  $F'_z = -2z$  и для конуса  $z = \sqrt{x^2 + y^2}$ , то по формуле (3.4)

$$I = \iint_{D_{xy}} \frac{1}{2z} 2\sqrt{x^2 + y^2 + z^2} dx dy = \sqrt{2} \iint_{D_{xy}} \sqrt{x^2 + y^2} dx dy = \sqrt{2} \int_0^{2p} dj \int_0^1 r^2 dr = \frac{2\sqrt{2}p}{3}. \text{ P}$$

**3.4.** Вычислить ПИ-1:

1.  $\iint_S (x + y + z) ds$ , где:

1)  $S$  – часть плоскости  $x + 2y + 4z = 1$ , определяемая условием  $x \geq 0, y \geq 0, z \geq 0$ . **Отв.:  $7\sqrt{21}/3$ .**

2)  $S$  – часть сферы  $x^2 + y^2 + z^2 = 1$ , определяемая условием  $z \geq 0$ . **Отв.:  $p$ .**

2.  $\iint_S (x^2 + y^2) ds$ , где:

1)  $S$  – сфера  $x^2 + y^2 + z^2 = R^2$ . **Отв.:  $8pR^4/3$ .**

2)  $S$  – поверхность конуса  $\sqrt{x^2 + y^2} \leq z \leq 1$ . **Отв.:  $p(1 + \sqrt{2})/2$ .**

3.  $\iint_S (x^2 + y^2 + z^2) ds$ , где:

1)  $S$  – сфера  $x^2 + y^2 + z^2 = R^2$ , **Отв.:  $4pR^4$ .**

2)  $S$  – поверхность куба  $|x| \leq a, |y| \leq a, |z| \leq a$ . **Отв.:  $40a^4$ .**

3)  $S$  – поверхность октаэдра  $|x| + |y| + |z| \leq a$ . **Отв.:  $2\sqrt{3}a^4$ .**

4)  $S$  – полная поверхность цилиндра  $x^2 + y^2 \leq R^2$ ,  $0 \leq z \leq H$ .

**Отв.:  $pR(R^3 + 2R^2H + RH^2 + 2H^3/3)$ .**

4. 1)  $\iint_S (xy + yz + zx) ds$ . 2)  $\iint_S (x^2y^2 + y^2z^2 + z^2x^2) ds$ .

$S$  – часть конической поверхности  $z = \sqrt{x^2 + y^2}$ , расположенная внутри цилиндра  $x^2 + y^2 = 2x$ . **Отв.: 1)  $64\sqrt{2}/15$ ; 2)  $29p\sqrt{2}/8$ .**

**3.5.\*** Доказать формулу Пуассона

$$\iint_S f(ax + by + cz) ds = 2p \int_{-1}^1 f(\sqrt{a^2 + b^2 + c^2} t) dt,$$

где  $f(t)$ ,  $|t| \leq \sqrt{a^2 + b^2 + c^2}$  – непрерывная функция,  $S$  – сфера  $x^2 + y^2 + z^2 = 1$ .

Отметим следующие геометрические и механические приложения ПИ-1. Пусть  $S$  – материальная поверхность с поверхностной плотностью  $m(x, y, z)$  в каждой точке  $(x, y, z) \in S$ . Тогда справедливы следующие формулы:

$$1^\circ. \iint_S ds = s, \text{ где } s - \text{ площадь поверхности } S;$$

$$2^\circ. m = \iint_S m(x, y, z) ds - \text{ масса поверхности } S;$$

$$3^\circ. M_{xy} = \iint_S zm(x, y, z) ds, \quad M_{xz} = \iint_S ym(x, y, z) ds, \quad M_{yz} = \iint_S xm(x, y, z) ds -$$

статические моменты поверхности относительно координатных плоскостей  $XY, XZ, YZ$  соответственно.

4°.  $x_c = M_{yz}/m, \quad y_c = M_{xz}/m, \quad z_c = M_{xy}/m$  – координаты центра тяжести поверхности;

$$5^\circ. I_x = \iint_S (y^2 + z^2) m(x, y, z) ds,$$

$$I_y = \iint_S (x^2 + z^2) m(x, y, z) ds,$$

$$I_z = \iint_S (x^2 + y^2) m(x, y, z) ds,$$

$$I_0 = \iint_S (x^2 + y^2 + z^2) m(x, y, z) ds$$

– моменты инерции поверхности относительно координатных осей  $X, Y, Z$  и начала координат соответственно.

**3.6.** Найти координаты центра тяжести плоскости  $z = x$ , ограниченной плоскостями  $x + y = 1, y = 0, x = 0$  (рис. 3.2).

Поверхностная плотность  $m = 1$ .

г Так как  $m = 1$ , то масса этой части плоскости численно равна ее площади. Найдем ее. Имеем  $z'_x = 1, z'_y = 0$ . Тогда

$$S = \iint_{D_{xy}} \sqrt{1 + z'_x{}^2 + z'_y{}^2} dx dy = \sqrt{2} \int_0^1 dx \int_0^{1-x} dy = \frac{\sqrt{2}}{2}.$$

Далее находим

$$x_c = \frac{1}{S} \iint_S x ds = \frac{2}{\sqrt{2}} \int_0^1 x dx \int_0^{1-x} \sqrt{2} dy = \frac{1}{3}; \quad y_c = \frac{1}{S} \iint_S y ds = \frac{2}{\sqrt{2}} \int_0^1 x dx \int_0^{1-x} \sqrt{2} y dy = \frac{1}{3};$$

$$z_c = \frac{1}{S} \iint_S z ds = \frac{1}{S} \iint_S x ds = \frac{1}{3}.$$

Итак, центр тяжести  $C = (1/3, 1/3, 1/3)$ . р

**3.7.** Определить массу, распределенную:

1) по поверхности куба  $0 \leq x \leq a, 0 \leq y \leq a, 0 \leq z \leq a$  с плотностью  $m = m_0xyz$ . **Отв.:**  $3m_0a^3/4$ ;

2) по сфере  $x^2 + y^2 + z^2 = R^2$  с плотностью  $m = m_0\sqrt{x^2 + y^2}$ .

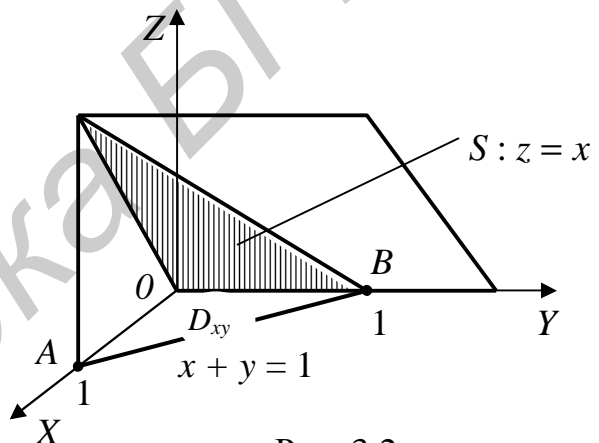


Рис. 3.2

**Отв.:**  $m_0 p^2 R^3$ ;

3) по части эллиптического параболоида  $x^2 + y^2 = 2z$ ,  $z \leq 1$  с плотностью  $m = m_0 z$ . **Отв.:**  $2p(1 + 6\sqrt{3})m_0 / 15$ .

4) по части гиперболического параболоида  $x^2 - y^2 = 2z$ , вырезаемой цилиндром  $x^2 + y^2 = 1$ , с плотностью  $m = m_0 |z|$ . **Отв.:**  $8(1 + \sqrt{2})m_0 / 15$ .

**3.8.** Определить статический момент относительно плоскости  $z = 0$  однородной ( $m = m_0 = const$ ) поверхности:

1)  $x + y + z = a$ ,  $x \geq 0$ ,  $y \geq 0$ ,  $z \geq 0$ .

**Отв.:**  $\sqrt{3}m_0 a^3 / 6$ .

2)  $x^2 + y^2 + z^2 = R^2$ ,  $z \geq 0$ .

**Отв.:**  $pm_0 R^3$ .

**3.9.** Определить аппликату  $z_c$  центра тяжести  $S$  полусферы  $x^2 + y^2 + z^2 = R^2$ ,  $z \geq 0$  с поверхностной плотностью:

1)  $m = m_0$ , 2)  $m = m_0 \sqrt{x^2 + y^2}$ , 3)  $m = m_0(x^2 + y^2)$ ,  $m_0 = const$ .

**Отв.:** 1)  $R/2$ ; 2)  $4R/3p$ ; 3)  $3R/8$ .

**3.10.** Определить координаты центра тяжести однородных поверхностей ( $m = 1$ ):

1)  $x^2 + y^2 + z^2 = R^2$ ,  $x \geq 0$ ,  $y \geq 0$ ,  $z \geq 0$ .

2)  $z = \sqrt{R^2 - x^2 - y^2}$ ,  $x \geq 0$ ,  $y \geq 0$ ,  $y + x \leq R$ .

3)  $z = \sqrt{x^2 + y^2}$ ,  $x^2 + y^2 \leq x$ .

4)  $z = 2 - (x^2 + y^2)/2$ ,  $z \geq 0$ .

**Отв.:** 1)  $(R/2, R/2, R/2)$ ; 2)  $(R\sqrt{2}/4, R\sqrt{2}/4, R(\sqrt{2} + 1)/4)$ ;

3)  $(1/2, 0, 16/(9p))$ ; 4)  $(0, 0, (307 - 15\sqrt{5})/310)$ .

**3.11.** Вычислить момент инерции относительно координатных плоскостей однородной ( $m = m_0 = const$ ) поверхности  $x + y + z = 1$ ,  $x \geq 0$ ,  $y \geq 0$ ,  $z \geq 0$ . **Отв.:**

$m_0 \sqrt{3} / 12$ .

**3.12.** Вычислить момент инерции однородной ( $m = m_0 = const$ ) поверхности  $x^2 + y^2 = 2az$ ,  $z \leq a$  относительно оси  $Z$ .

**Отв.:**  $4p(6\sqrt{3} + 1)m_0 a^4 / 15$ .

**3.13.** Вычислить момент инерции  $I_z$  относительно оси  $Z$  части однородной конической поверхности  $x^2 + z^2 = y^2$ ,  $y > 0$ , плотности  $m_0$ , заключенной внутри цилиндра  $x^2 + y^2 = a^2$ . **Отв.:**  $pa^4 m_0 / 2$ .

**3.14.\*** Вычислить момент инерции однородной конической поверхности  $x^2/a^2 + y^2/a^2 - z^2/b^2 = 0$ ,  $0 \leq z \leq b$  с плотностью  $m_0$  относительно прямой  $x/1 = y/0 = (z-b)/0$ .

**Отв.:**

$(1/12)pm_0 a(3a^2 + 2b^2)\sqrt{a^2 + b^2}$ .

**3.15.** Вычислить моменты инерции относительно начала координат однородных поверхностей  $S_1, S_2$  плотности  $m=1$ , где  $S_1$  – поверхность куба с центром в начале координат и ребром  $2a$ ;  $S_2$  – полная поверхность цилиндра  $x^2 + y^2 \leq R^2, 0 \leq z \leq H$ .  
**Отв.:**  $40a^4$ ;  $pR(R(R+H)^2 + 2H^3/3)$ .

### 3.2. Поверхностные интегралы 2-го рода (ПИ-2)

#### Ориентация и нормаль к поверхности. Определение ПИ-2 и его основные свойства. Вычисление ПИ-2

Пусть в пространстве  $R^3$  задана гладкая поверхность  $S$ , описываемая явно, неявно или параметрически, причем нормаль к  $S$  отлична от нуля  $\forall (x, y, z) \in S$ . Тогда в каждой точке  $(x, y, z)$  поверхности определен единичный вектор нормали  $\mathbf{n}^0 = \mathbf{n}^0(x, y, z)$ , являющийся непрерывной функцией точек поверхности (рис. 3.3).

Если  $\mathbf{n}$  – вектор нормали к поверхности, то единичный вектор  $\mathbf{n}^0 = \pm \frac{\mathbf{n}}{|\mathbf{n}|}$ .

Знаку «+» соответствует одна сторона поверхности  $S$ , а знаку «-» – другая сторона. Выбор вектора  $\mathbf{n}^0$  с определенным знаком называется *ориентацией поверхности*. Одна из двух ориентаций с помощью  $\mathbf{n}^0$  или  $(-\mathbf{n}^0)$  называется *положительной*, а другая *отрицательной*.

Гладкая поверхность, у которой выбрана одна ориентация, называется *ориентированной* при помощи  $\mathbf{n}^0$ . Сторона поверхности  $S$ , обращенная в сторону вектора  $+\mathbf{n}^0$ , называется *положительной* или *внешней* и обозначается  $S^+$ . Другая сторона  $S$ , обращенная в сторону вектора  $-\mathbf{n}^0$ , называется *отрицательной* или *внутренней* и обозначается  $S^-$ . Поверхности, у которых различаются положительные и отрицательные стороны, называются *двусторонними*. К ним относятся, например, плоскость, сфера, параболоиды, гиперboloиды, конусы, цилиндры и т. д. Двусторонние поверхности характеризуются тем, что

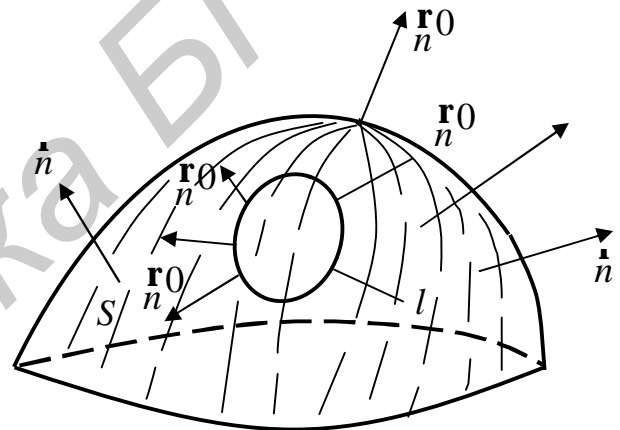


Рис. 3.3

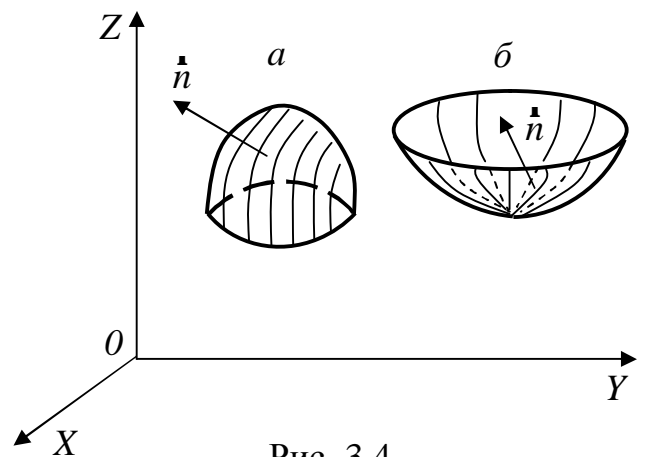


Рис. 3.4

если вектор  $\mathbf{n}^0$  перемещать по любому замкнутому контуру  $l$ , лежащему на поверхности, то он всегда возвращается в исходную точку с первоначальным направлением (рис. 3.3).

Примером *односторонней* поверхности является *лист Мёбиуса* (см. [3]).

В каждой точке гладкой двусторонней поверхности  $S$  определены два направления вектора нормали  $\mathbf{n}$  к  $S$ , являющиеся взаимно противоположными. При выборе  $\mathbf{n}$  необходимо следить за тем, чтобы он имел нужное направление, что соответствует правильному выбору нужной стороны поверхности. Так на рис. 3.4,  $a$ ,  $b$  вектор  $\mathbf{n}$  определяет положительную (верхнюю) сторону поверхности. Часто при выборе стороны поверхности указывается, какой угол, острый или тупой, составляет нормаль  $\mathbf{n}$  к поверхности  $S$  с осью  $Z$ . Координатами единичного вектора нормали являются его направляющие косинусы, то есть  $\mathbf{n}^0 = (\cos a, \cos b, \cos g)$ . Поэтому для верхней (положительной) стороны поверхности  $\cos g > 0, 0 < g < p/2$ , а для нижней (отрицательной) стороны поверхности  $\cos g < 0, p/2 < g < p$ . Координаты вектора нормали для различных способов задания поверхности имеют следующую запись.

1. Поверхность  $S$  задана явно уравнением  $z = f(x, y), (x, y) \in D_{xy}$  – проекция  $S$  на плоскость  $XY$ :

$$\mathbf{n} = (-f'_x, -f'_y, 1), \cos g > 0; \quad (3.5)$$

$$\mathbf{n} = (f'_x, f'_y, -1), \cos g < 0. \quad (3.6)$$

2. Поверхность  $S$  задана неявно уравнением  $F(x, y, z) = 0, F'_z \neq 0, \forall (x, y, z) \in S$ :

$$\mathbf{n} = \frac{1}{F'_z} (F'_x, F'_y, F'_z) = \frac{1}{F'_z} \mathbf{grad} F, \cos g > 0; \quad (3.7)$$

$$\mathbf{n} = -\frac{1}{F'_z} (F'_x, F'_y, F'_z) = -\frac{1}{F'_z} \mathbf{grad} F, \cos g < 0. \quad (3.8)$$

3. Поверхность  $S$  задана параметрически равенствами  $x = x(u, v), y = y(u, v), z = z(u, v), (u, v) \in W$ . Вектор нормали имеет вид [3]:

$$\mathbf{n} = \left( \left| \frac{D(y, z)}{D(u, v)} \right|, \left| \frac{D(z, x)}{D(u, v)} \right|, \left| \frac{D(x, y)}{D(u, v)} \right| \right) \quad (3.9)$$

где

$$\frac{D(y, z)}{D(u, v)} = \begin{vmatrix} y'_u & z'_u \\ y'_v & z'_v \end{vmatrix}, \frac{D(z, x)}{D(u, v)} = \begin{vmatrix} z'_u & x'_u \\ z'_v & x'_v \end{vmatrix}, \frac{D(x, y)}{D(u, v)} = \begin{vmatrix} x'_u & y'_u \\ x'_v & y'_v \end{vmatrix}.$$

Пусть теперь в точках гладкой ориентированной поверхности  $S$  определена непрерывная вектор-функция:

$\mathbf{a} = \mathbf{a}(x, y, z) = (P(x, y, z), Q(x, y, z), R(x, y, z)) = (P, Q, R)$  и  $\mathbf{n}^0 = \mathbf{n}^0(x, y, z)$  – единичный вектор ориентации этой поверхности.

Для скалярной непрерывной функции

$$f(x, y, z) = (\mathbf{a}(x, y, z), \mathbf{n}^0(x, y, z)) = (\mathbf{a}, \mathbf{n}^0)$$

интеграл

$$\iint_S f(x, y, z) ds = \iint_S (\mathbf{a}, \mathbf{n}^0) ds \quad (3.10)$$

называется *поверхностным интегралом второго рода (ПИ-2)* от вектора-функции  $\mathbf{a} = (P, Q, R)$  по поверхности  $S$ . Он обладает следующими *свойствами*.

$$1^\circ. \text{ Если } \mathbf{a} = a_1 \mathbf{a}^1 + a_2 \mathbf{a}^2, \text{ то } \iint_S (\mathbf{a}, \mathbf{n}^0) ds = a_1 \iint_S (\mathbf{a}^1, \mathbf{n}^0) ds + a_2 \iint_S (\mathbf{a}^2, \mathbf{n}^0) ds.$$

$$2^\circ. \iint_{S^+} (\mathbf{a}, \mathbf{n}^0) ds = - \iint_{S^-} (\mathbf{a}, \mathbf{n}^0) ds, \text{ т. е. при смене ориентации } S \text{ знак ПИ-2}$$

*меняется на противоположный.*

$$3^\circ. \text{ Если } S = \bigcup_{k=1}^n S_k, \text{ то } \iint_S (\mathbf{a}, \mathbf{n}^0) ds = \sum_{k=1}^n \iint_{S_k} (\mathbf{a}, \mathbf{n}^0) ds.$$

Приведем формулы вычисления ПИ-2 для различных способов задания поверхностей.

Пусть в пространстве  $S$  поверхность задана *явно* уравнением  $z = f(x, y)$  или *неявно* соотношением  $F(x, y, z) = 0$  и  $D_{xy}$  – проекция  $S$  на плоскость  $XU$ .

Тогда

$$\iint_S (\mathbf{a}, \mathbf{n}^0) ds = \iint_{D_{xy}} (\mathbf{a}, \mathbf{n}) dx dy, \quad (3.11)$$

где  $\mathbf{n}$  – выбранная нормаль к поверхности.

При параметрическом задании поверхности  $S$  в виде  $x = x(u, v)$ ,  $y = y(u, v)$ ,  $z = z(u, v)$ ,  $(u, v) \in W$  ( $u, v$  – параметры) вычисление ПИ-2 осуществляется по формуле

$$\iint_S (\mathbf{a}, \mathbf{n}^0) ds = \iint_W (\mathbf{a}, \mathbf{n}) dudv = \iint_W \left( P \left| \frac{D(y, z)}{D(u, v)} \right| + Q \left| \frac{D(z, x)}{D(u, v)} \right| + R \left| \frac{D(x, y)}{D(u, v)} \right| \right) dudv. \quad (3.12)$$

Элемент площади  $dudv$  в криволинейных координатах связан с элементами площадей  $dx dy, dy dz, dz dx$  соотношениями

$$\left| \frac{D(x, y)}{D(u, v)} \right| dudv = dx dy, \quad \left| \frac{D(y, z)}{D(u, v)} \right| dudv = dy dz, \quad \left| \frac{D(z, x)}{D(u, v)} \right| dudv = dz dx.$$

Поэтому формула (3.12) принимает вид

$$\iint_S (\mathbf{a}, \mathbf{n}^0) ds = \iint_S P dy dz + Q dz dx + R dx dy. \quad (3.13)$$

Поскольку  $(\mathbf{a}, \mathbf{n}^0) = P \cos a + Q \cos b + R \cos g$ , то равенство (3.13) приводится к виду

$$\begin{aligned} \iint_S (\mathbf{a}, \mathbf{n}^0) ds &= \iint_S (P \cos a + Q \cos b + R \cos g) ds = \\ &= \iint_S P dy dz + Q dz dx + R dx dy. \end{aligned} \quad (3.14)$$

Формула (3.14) устанавливает *связь между ПИ-1 и ПИ-2*.

И, наконец, из формул (3.11) и (3.14) получаем равенство

$$\iint_S Pdydz + Qdzdx + Rdx dy = \iint_{D_{xy}} (\mathbf{a}, \mathbf{n}) dx dy. \quad (3.15)$$

*Замечание.* Если же поверхность  $S$  проектируется на плоскость  $YZ$  или  $ZX$ , то соответствующим образом изменяется двойной интеграл в правой части (3.15): в первом случае интегрирование проводится по проекции  $D_{yz}$  поверхности  $S$  на плоскость  $YZ$  от выражения  $(\mathbf{a}, \mathbf{n}) dy dz$ . Кроме того, в первом случае уравнение поверхности задается в виде  $x = f(x, y)$ , а во втором – в виде  $y = f(x, z)$ . Далее, для первого случая вектор нормали ( $\cos a > 0$ )

$$\mathbf{n} = (1, -f'_y, -f'_z), \quad (3.16)$$

а во втором случае ( $\cos b > 0$ ) –

$$\mathbf{n} = (-f'_x, 1, -f'_z). \quad (3.17)'$$

**3.16.** Вычислить ПИ-2  $I = \iint_S z dy dz - 4y dz dx + 8x^2 dx dy$ , где  $S$  – часть

поверхности  $z = x^2 + y^2, 0 \leq z \leq 1$ . Нормаль указана на рис. 3.5.

$\Delta$  В данном случае  $\mathbf{a} = (P, Q, R) = (z, -4y, 8x^2)$ . Вектор нормали имеет вид (3.6), так как он составляет тупой угол с осью  $Z$ . Тогда  $\mathbf{n} = (f'_x, f'_y, -1) = (2x, 2y, -1)$ , и по формуле (3.15) находим

$$\begin{aligned} I &= \iint_{D_{xy}} (\mathbf{a}, \mathbf{n}) dx dy = \iint_{x^2+y^2 \leq 1} (z2x - 8y^2 - 8x^2) dx dy = \\ &= -2 \iint_{D_{xy}} (x^2 + y^2)(4 - x) dx dy. \end{aligned}$$

Перейдя в этом двойном интеграле к полярным координатам  $x = r \cos j, y = r \sin j, 0 \leq j \leq 2\pi, 0 \leq r \leq 1$ , получим

$$I = -2 \int_0^{2\pi} dj \int_0^1 r^3 (4 - r \cos j) dr = -2 \int_0^{2\pi} \left( 1 - \frac{1}{5} \cos j \right) dj = -4\pi.$$

**3.17.** Вычислить ПИ-2:  $I = \iint_S (x + y) dy dz + (y - x) dz dx + (z - 2) dx dy$ , где  $S$  –

часть конуса  $x^2 + y^2 - z^2 = 0, 0 \leq z \leq 1$ . Нормаль указана на рис. 3.6.

$\Delta$  Поверхность задана неявно уравнением  $F = x^2 + y^2 - z^2 = 0$ . Согласно (3.8), вектор нормали  $\mathbf{n}$  к  $S$  имеет вид

$$\mathbf{n} = -\frac{1}{F'_z} (F'_x, F'_y, F'_z) = -\frac{1}{2z} (2x, 2y, -2z) = \frac{1}{z} (x, y, -z).$$

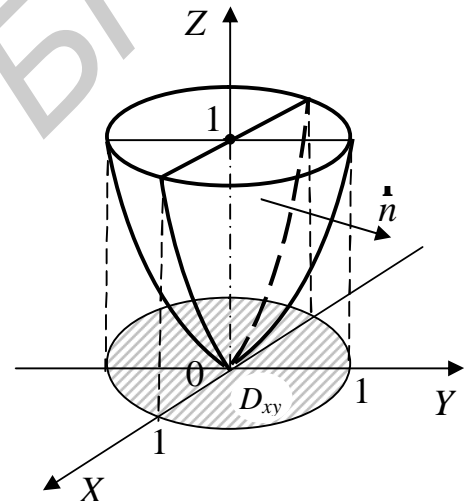


Рис. 3.5

По формуле (3.15) ПИ-2

$$I = \iint_{D_{xy}} \frac{1}{z} (x(x+y) + y(y-x) - z(z-2)) dx dy =$$

$$= \iint_{x^2+y^2 \leq 1} \frac{1}{z} (x^2 + y^2 - z^2 + 2z) dx dy.$$

Подставив в это выражение  $z$  из уравнения поверхности  $x^2 + y^2 - z^2 = 0$ , получим  $I = 2 \iint_{D_{xy}} dx dy = 2p$ , где  $p$  – площадь круга  $x^2 + y^2 \leq 1$ .  $p$

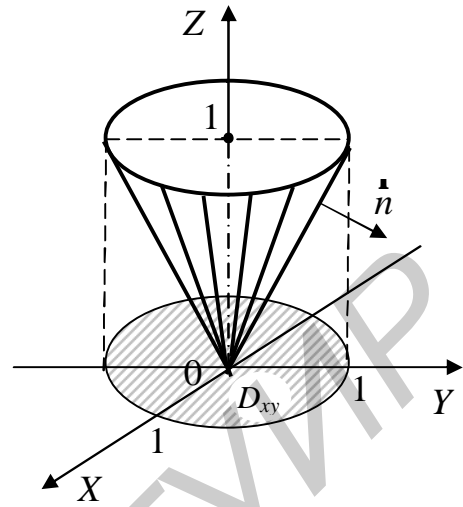


Рис. 3.6

**3.18.** Вычислить ПИ-2:  $I = \iint_S x dy dz + (y+z) dz dx + (z-y) dx dy$ , где  $S$  –

внешняя сторона верхней полусферы  $x^2 + y^2 + z^2 = 9$ .

$r$  Запишем уравнение сферы параметрически (рис. 3.7):

$$x = 3 \sin q \cos j, y = 3 \sin q \sin j, z = 3 \cos q;$$

$$W = \{0 \leq q \leq p/2, 0 \leq j \leq 2p\}.$$

Роль параметров здесь играют  $u = q, v = j$ . Так как в нашем случае

$$P = x, Q = y + z, R = z - y \text{ и}$$

$$\left| \frac{D(y, z)}{D(q, j)} \right| = 9 \sin^2 q \cos j,$$

$$\left| \frac{D(z, x)}{D(q, j)} \right| = 9 \sin^2 q \sin j,$$

$$\left| \frac{D(x, y)}{D(q, j)} \right| = 9 \cos q \sin j,$$

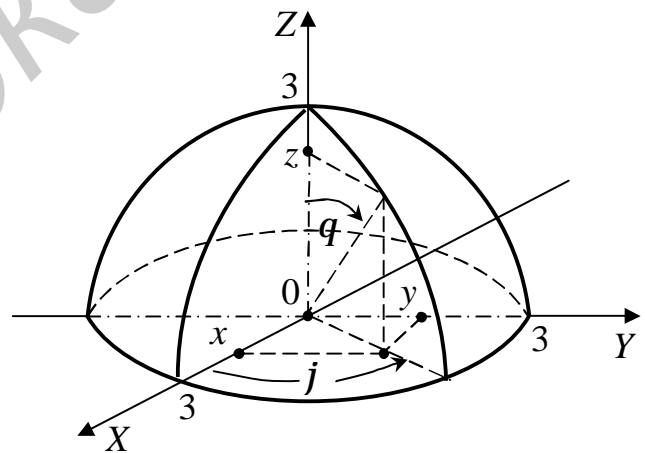


Рис. 3.7

то

$$I = \iint_W (3 \sin q \cos j \left| \frac{D(y, z)}{D(q, j)} \right| + (3 \sin q \sin j + 3 \cos q) \left| \frac{D(z, x)}{D(q, j)} \right| +$$

$$+ (3 \cos q - 3 \sin q \sin j) \left| \frac{D(x, y)}{D(q, j)} \right|) dq dj =$$

$$= 27 \iint_W (\sin^3 q + \sin q \cos^2 q) dq dj = 27 \int_0^{2p} dj \int_0^{p/2} \sin q dq = 54p. p$$

**3.19.** Вычислить ПИ-2:

$$I = \iint_S xdydz + zdx dy, \text{ где } S \text{ – сторона}$$

боковой поверхности цилиндра  $y = \sqrt{R^2 - x^2}$ ,  
ограниченной плоскостями  $z = 0$  и  
 $z = h > 0$  (рис. 3.8).

$\mathbf{r}$  Имеем  $\mathbf{a} = (x, 0, z)$ . Так как поверхность  
 $S$  задана явно в виде  $y = \sqrt{R^2 - x^2}$  и  $\cos b > 0$ ,  
согласно условию, то

$$\mathbf{n} = (-f'_x, 1, -f'_z) = \left( \frac{x}{\sqrt{R^2 - x^2}}, 1, 0 \right)$$

Тогда  $(\mathbf{a}, \mathbf{n}) = x^2 / \sqrt{R^2 - x^2}$  и, значит,

$$I = \iint_{D_{xz}} \frac{x^2}{\sqrt{R^2 - x^2}} dx dz = \int_0^h dz \int_{-R}^R \frac{x^2 dx}{\sqrt{R^2 - x^2}} = \frac{1}{2} p R^2 h. \quad \text{Р}$$

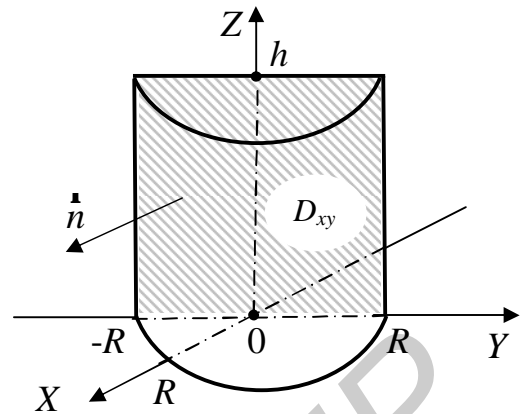


Рис. 3.8

**3.20.** Вычислить ПИ-2 по поверхности  $S$ :

1)  $I = \iint_S xdydz + z^3 dx dy$ ;  $S$  – сфера  $x^2 + y^2 + z^2 = 1$  (нормаль внешняя).

**Отв.:**  $32p/15$ .

2\*)  $I = \iint_S xdydz + yz dx + z dx dy$ ;  $S$  – внешняя сторона части цилиндра

$x^2 + y^2 = 9$ , заключенная между плоскостями  $z = 0$  и  $z = h$ . **Отв.:**  $18ph$ .

3)  $I = \iint_S z dy dz - 4y dz dx + 8x^2 dx dy$ ;  $S$  – часть поверхности  $z = x^2 + y^2 + 1$ ,

отсеченной плоскостью  $z = 2$  (нормаль внешняя). **Отв.:**  $-4p$ .

4\*)  $I = \iint_S \frac{1}{x} dy dz + \frac{1}{y} dz dx + \frac{1}{z} dx dy$ ;  $S$  – внешняя часть эллипсоида

$x = a \cos u \cos v, y = b \sin u \cos v, z = c \sin v, u \in [p/4, p/3], v \in [p/6, p/4]$ .

**Отв.:**  $\frac{p(\sqrt{2}-1)}{24} \left( \frac{ab}{c} + \frac{ac}{b} + \frac{bc}{a} \right)$

5)  $I = \iint_S x dy dz + dz dx + xz^2 dx dy$ ;  $S$  – внешняя сторона части сферы

$x^2 + y^2 + z^2 = 1$ , расположенная в первом октанте. **Отв.:**  $5p/12 + 2/15$ .

6)  $I = \iint_S (y^2 + z^2) dy dz$ ;  $S$  – часть поверхности параболоида  $x = 9 - y^2 - z^2$ ,

нормальный вектор  $\mathbf{n}$  которой образует острый угол с осью  $X$ , отсеченная  
плоскостью  $x = 0$ . **Отв.:**  $81p/2$ .

7)  $I = \iint_S z^2 dx dy$ ;  $S$  – внешняя сторона поверхности эллипсоида

$x^2 + y^2 + 2z^2 = 2$ .

**Отв.:** 0.

8)  $I = \iint_S xzdydz + xydzdx + yzdx dy$ ;  $S$  – внешняя поверхность цилиндра

$x^2 + y^2 = 1$ , отсеченная плоскостями  $z = 0, z = 5$ . **Отв.:** 25*p*.

9)  $I = \iint_S xzdydz + x^2 ydzdx + y^2 zdx dy$ ;  $S$  – часть поверхности параболоида

$z = x^2 + y^2$ , нормальный вектор  $\vec{n}$  которой образует тупой угол с осью  $Z$ , вырезаемая цилиндром  $x^2 + y^2 = 1$ . **Отв.:**  $p/8$ .

10)  $I = \iint_S \frac{dx dy}{\sqrt{x^2 + y^2 - 1}}$ ;  $S$  – часть поверхности гиперболоида

$x^2 + y^2 = z^2 + 1$ , отсекаемая плоскостями  $z = 0, z = \sqrt{3}$  ( $\cos g < 0$ ). **Отв.:**  $-2\sqrt{3}/p$ .

11\*)  $I = \iint_S 2x dy dz + (1 - z) dx dy$ ;  $S$  – внутренняя сторона цилиндра

$x^2 + y^2 = 4$ , отсекаемая плоскостями  $z = 0, z = 1$ . **Отв.:**  $-8p$ .

12)  $I = \iint_S (y^2 + z^2) dy dz - y^2 dz dx + 2yz^2 dx dy$ ;  $S$  – часть поверхности конуса

$x^2 + z^2 = y^2$ , отсекаемая плоскостями  $y = 0, y = 1$  ( $\cos g < 0$ ). **Отв.:**  $p/2$ .

13)  $I = \iint_S (y - z) dy dz + (z - x) dz dx + (x - y) dx dy$ ;  $S$  – одна из сторон

поверхности  $x^2 + y^2 = z^2, 0 < z < H$ .

**Отв.:** 0.

14\*)  $I = \iint_S x dy dz + y dz dx + z dx dy$ ;  $S$  – верхняя сторона части

гиперболического параболоида  $z = x^2 - y^2, |y| \leq x \leq a$ .

**Отв.:**  $-a^4/3$ .

### 3.3. Формула Остроградского–Гаусса. Формула Стокса

Пусть функции  $z_1(x, y)$  и  $z_2(x, y)$  определены и непрерывны в ограниченной замкнутой области  $D$  и  $z_1(x, y) \leq z_2(x, y)$ . Область  $V = \{(x, y, z) | (x, y) \in D, z_1(x, y) \leq z \leq z_2(x, y)\}$  называется  $z$ -цилиндрической (рис. 3.9). Аналогично определяются  $x$ -цилиндрическая и  $y$ -цилиндрическая области.

Область  $V$  называется *простой*, если ее можно разбить на конечное число как  $x$ -цилиндрических, так и  $y$ -цилиндрических и  $z$ -цилиндрических областей.

**Теорема 3.1.** Пусть функции  $P(x, y, z), Q(x, y, z), R(x, y, z)$  и их частные производные  $\frac{\partial P}{\partial x}, \frac{\partial Q}{\partial y}, \frac{\partial R}{\partial z}$  непрерывны в простой замкнутой области  $V$ , ограниченной кусочно-гладкой поверхностью  $S$ . Тогда справедлива формула

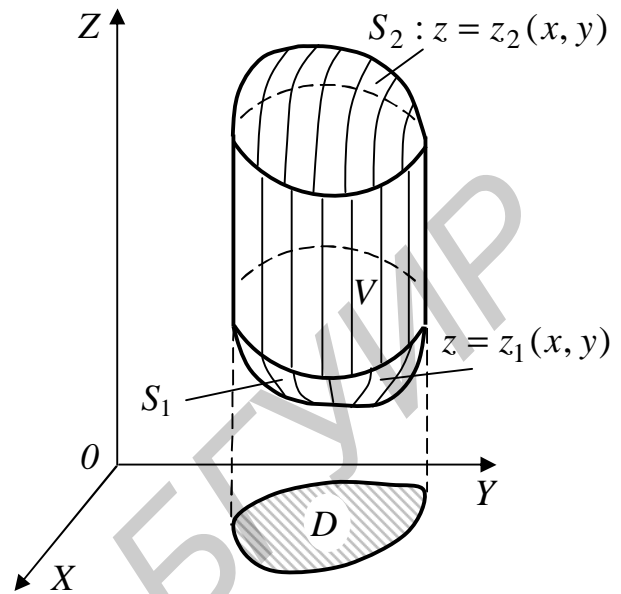


Рис. 3.9

$$\oiint_S Pdydz + Qdxdz + Rdx dy = \iiint_V \left( \frac{\partial P}{\partial x} + \frac{\partial Q}{\partial y} + \frac{\partial R}{\partial z} \right) dv, \quad (3.17)$$

где поверхностный интеграл берется по внешней стороне поверхности (знак  $\oiint_S$  означает, что поверхностный интеграл вычисляется по замкнутой поверхности  $S$ ).

Формула (3.17) называется *формулой Остроградского–Гаусса*.

При  $P = x, Q = y, R = z$  из формулы (3.17) вытекает, что объём  $n$  области  $V$ , ограниченной кусочно-гладкой поверхностью  $S$ , можно вычислить с помощью ПИ-2 по формуле

$$n = \frac{1}{3} \oiint_S xdydz + ydzdx + zdx dy, \quad (3.18)$$

где ПИ-2 вычисляется по внешней стороне  $S$ .

**3.21.** Пользуясь формулой Остроградского–Гаусса, вычислить ПИ-2

$$I = \oiint_S x^2 dydz + y^2 dzdx + z^2 dx dy,$$

где  $S$  – внешняя сторона сферы  $(x - a)^2 + (y - b)^2 + (z - c)^2 = R^2$ .

Δ Применяя формулу (3.17), получаем

$$I = \iiint_V (2x + 2y + 2z) dx dy dz,$$

где  $V$  – шар  $(x - a)^2 + (y - b)^2 + (z - c)^2 \leq R^2$ . Для вычисления интеграла  $I$  перейдём к сферическим координатам

$x = a + r \cos j \sin q, y = b + r \sin j \sin q, z = c + r \cos q, 0 \leq r \leq R, 0 \leq j \leq 2p, 0 \leq q \leq p.$

Якобиан перехода  $J = r^2 \sin q$ . Тогда

$$I = 2 \int_0^{2p} dj \int_0^p \sin q dq \int_0^R r^2 [a + b + c + r(\cos j \sin q + \sin j \sin q + \cos q)] dr = \frac{8}{3} p(a + b + c) R^3. \quad \text{Р}$$

**3.22.\*** Вычислить ПИ-2  $I = \iint_S x^3 dydz + y^3 dzdx + z^2 dxdy$ , где  $S$  – нижняя

сторона части параболоида  $z = x^2 + y^2$ , отсекаемая плоскостью  $z = 2x$ .

Δ Дополним поверхность  $S$  до замкнутой частью плоскости  $z = 2x$ . Обозначим плоскую часть через  $S_1$  и выберем её верхнюю сторону. Для вычисления интеграла по замкнутой кусочно-гладкой поверхности  $S \cup S_1$  применим формулу Остроградского–Гаусса. Тогда с учётом свойства аддитивности ПИ-2 для интеграла  $I$  получим

$$I = \iiint_V (3x^2 + 3y^2 + 2z) dxdydz - \iint_{S_1} x^3 dydz + y^3 dzdx + x^2 dxdy,$$

где  $V$  – тело, ограниченное поверхностями  $z = x^2 + y^2, z = 2x$ . Область  $V$  проецируется на плоскость  $XY$  в область  $D$ , границей которой является окружность  $2x = x^2 + y^2 \Leftrightarrow (x - 1)^2 + y^2 = 1$ .

Находим

$$\begin{aligned} I_1 &= \iiint_V (3x^2 + 3y^2 + 2z) dv = \\ &= \iint_D dxdy \int_{x^2+y^2}^{2x} [3(x^2 + y^2) + 2z] dz = \\ &= \iint_D [6x(x^2 + y^2) + 4x^2 - 4(x^2 + y^2)^2] dxdy. \end{aligned}$$

Двойной интеграл вычислим в ПСК (рис. 3.10). В этой системе уравнение окружности имеет вид  $r = 2 \cos j$ , и поэтому двойной интеграл равен

$$\begin{aligned} I_1 &= \int_{-p/2}^{p/2} dj \int_0^{2 \cos j} r [6r^3 \cos j + 4r^2 \cos^2 j - 4r^4] dr = \\ &= \int_{-p/2}^{p/2} \left( \frac{6}{5} r^5 \cos j + r^4 \cos^2 j - \frac{2}{3} r^6 \right) \Big|_{r=0}^{r=2 \cos j} dj = \frac{176}{15} \int_{-p/2}^{p/2} \cos^6 j dj = \frac{11}{3} p. \end{aligned}$$

Вычислим теперь интеграл по верхней стороне поверхности  $S_1 : z = 2x$ . Для неё вектор нормали ( $\cos g > 0$ ) есть  $\vec{n} = (-z'_x, -z'_y, 1) = (-2, 0, 1)$ , и по формуле (3.14) будем иметь

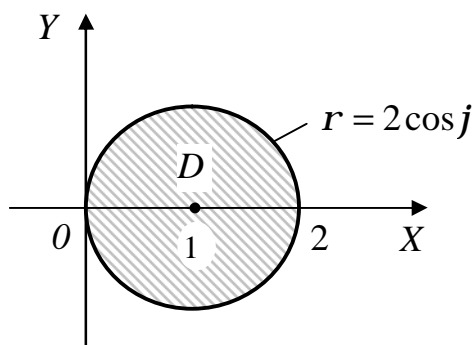


Рис. 3.10

$$I_2 = \iint_{S_1} x^3 dydz + y^3 dzdx + z^2 dxdy = \iint_D (-2x^3 + z^2) dxdy = \iint_D (-2x^3 + 4x^2) dxdy =$$

$$= \int_{-p/2}^{p/2} dj \int_0^{2\cos j} (-2r^3 \cos^3 j + 4r^2 \cos^2 j) r dr = \int_{-p/2}^{p/2} \left(-\frac{64}{5} \cos^8 j + 16 \cos^6 j\right) dj = \frac{3}{2} p.$$

Таким образом, данный интеграл  $I = I_1 - I_2 = \frac{11}{3} p - \frac{3}{2} p = \frac{13}{6} p \cdot p$

**3.23.** Пользуясь формулой Остроградского–Гаусса, вычислить ПИ-2 по внешней стороне поверхности  $S$  (если поверхность не замкнутая, дополнить её до замкнутой):

1)  $\iint_S (y - z) dydz + (z - x) dzdx + (x - y) dxdy$ ,  $S$  – часть конической

поверхности  $x^2 + y^2 = z^2, 0 \leq z \leq h$ .

**Отв.: 0.**

2)  $\iint_S x dydz + y dzdx + z dxdy$ ,  $S$  – часть поверхности  $z = 1 - \sqrt{x^2 + y^2}, 0 \leq z \leq 1$ .

**Отв.: p.**

3)  $\iint_S y dydz + z dzdx + x dxdy$ ,  $S$  – поверхность пирамиды, ограниченной

плоскостями  $x + y + z = a (a > 0), x = 0, y = 0, z = 0$ .

**Отв.: 0.**

4)  $\iint_S x^3 dydz + y^3 dzdx + z^3 dxdy$ ,  $S$  – сфера  $x^2 + y^2 + z^2 = x$ . **Отв.: p/5.**

5)  $\iint_S x^3 dydz + y^3 dzdx + z^3 dxdy$ ,  $S$  – сфера  $x^2 + y^2 + z^2 = a^2$ . **Отв.: 12pa^5/5.**

6)  $\iint_S x^2 dydz + y^2 dzdx + z^2 dxdy$ ,  $S$  – поверхность куба

$0 \leq x \leq a, 0 \leq y \leq a, 0 \leq z \leq a$ .

**Отв.: 3a^4.**

7)  $\iint_S z dxdy + (5x + y) dydz$ , где  $S$ :

а) внутренняя сторона эллипсоида  $x^2/4 + y^2/9 + z^2 = 1$ .

**Отв.: -48p.**

б) внешняя сторона границы области  $1 < x^2 + y^2 + z^2 < 4$ .

**Отв.: 56p.**

**3.24.** Вычислить интеграл Гаусса

$$I = \iint_S \frac{\cos g}{r^2} ds,$$

где  $S$  – поверхность ограничивающая простую замкнутую область  $V$ ,  $N = (x, h, z)$  – фиксированная точка вне области  $V$ ,  $M = (x, y, z) \in S$

$\vec{r} = (x - x, y - h, z - z), r = |\vec{r}|, \vec{h}^0 = (\cos a, \cos b, \cos g)$  – вектор

внешней

единичной нормали к поверхности  $S$  в точке  $M$ .

**Отв.: 0.**

Формула Стокса связывает криволинейный интеграл по замкнутой пространственной кривой  $\Gamma$  с поверхностным интегралом по поверхности, краем которой является  $\Gamma$ . При этом ориентации кривой  $\Gamma$  и поверхности  $S$  считаются согласованными, если наблюдатель, «идущий» по контуру  $\Gamma$  в указанном направлении, видит поверхность  $S$  слева от себя. Другими словами, вектор  $\vec{n}$  нормали к поверхности  $S$  и направление, идущее от ног к голове наблюдателя, составляют между собой острый угол (рис. 3.11).

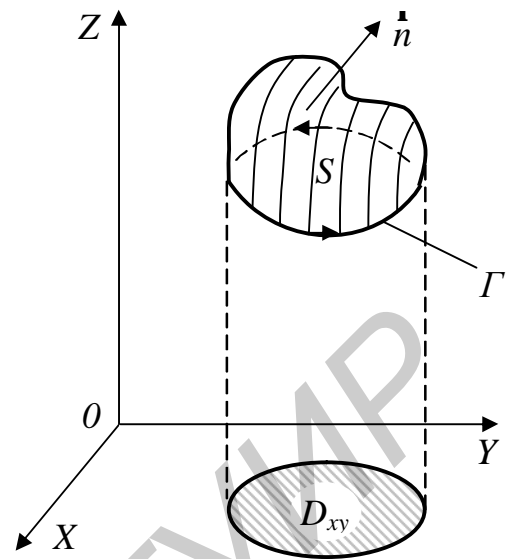


Рис. 3.11

Справедлива следующая

**Теорема 3.2.** Пусть  $\Gamma$  – замкнутая кусочно-гладкая кривая в  $R^3$  и  $S$  – гладкая поверхность с краем  $\Gamma$ , причем ориентации  $\Gamma$  и  $S$  согласованы (рис. 3.11).

Пусть, далее, в окрестности  $S$  задана вектор-функция  $\vec{a} = (P, Q, R)$ , координатные функции  $P, Q, R$  которой непрерывны вместе со своими первыми частными производными в этой окрестности. Тогда имеет место **формула Стокса**:

$$\oint_{\Gamma} Pdx + Qdy + Rdz = \iint_S \left( \frac{\partial R}{\partial y} - \frac{\partial Q}{\partial z} \right) dydz + \left( \frac{\partial P}{\partial z} - \frac{\partial R}{\partial x} \right) dzdx + \left( \frac{\partial Q}{\partial x} - \frac{\partial P}{\partial y} \right) dxdy. \quad (3.19)$$

Формула Стокса легко запоминается, если воспользоваться следующим приёмом. Формально составим определитель

$$\begin{vmatrix} dydz & dzdx & dxdy \\ \frac{\partial}{\partial x} & \frac{\partial}{\partial y} & \frac{\partial}{\partial z} \\ P & Q & R \end{vmatrix}. \quad (3.20)$$

Раскладывая его по элементам первой строки и учитывая, что произведение  $\frac{\partial}{\partial x}, \frac{\partial}{\partial y}, \frac{\partial}{\partial z}$  на функцию понимается как операция частного дифференцирования по соответствующей переменной, получаем подынтегральное выражение в правой части формулы Стокса (3.19). Таким образом, формально формула

Стокса может быть записана в виде

$$\oint_{\Gamma} Pdx + Qdy + Rdz = \iint_S \begin{vmatrix} dydz & dzdx & dxdy \\ \frac{\partial}{\partial x} & \frac{\partial}{\partial y} & \frac{\partial}{\partial z} \\ P & Q & R \end{vmatrix}. \quad (3.21)$$

Отметим, что в формуле Стокса вид поверхности  $S$  с краем  $\Gamma$  не играет никакой роли. Важна лишь ориентация  $S$  в пространстве. Поэтому при решении конкретных примеров поверхность выбирается такой, чтобы ПИ по ней вычислялся наиболее простым способом.

Учитывая связь ПИ-1 и ПИ-2 (3.13), формулу Стокса можно переписать в виде

$$\oint_{\Gamma} Pdx + Qdy + Rdz = \iint_S \left( \left( \frac{\partial R}{\partial y} - \frac{\partial Q}{\partial z} \right) \cos a + \left( \frac{\partial P}{\partial z} - \frac{\partial R}{\partial x} \right) \cos b + \left( \frac{\partial Q}{\partial x} - \frac{\partial P}{\partial y} \right) \cos g \right) ds,$$

где  $\mathbf{n}^0 = (\cos a, \cos b, \cos g)$  – единичный вектор нормали к  $S$ .

**3.25.** Вычислить КРИ-2, используя формулу Стокса

$$I = \oint_{\Gamma} (x + 3y + 2z)dx + (2x + z)dy + (x - y)dz,$$

где  $\Gamma$  – контур треугольника с вершинами  $A = (2, 0, 0)$ ,  $B = (0, 3, 0)$ ,  $C = (0, 0, 1)$  (обход контура указан на рис. 3.12).

По условию  $P = x + 3y + 2z$ ,  $Q = 2x + z$ ,  $R = x - y$ . За поверхность  $S$  примем плоскость треугольника  $ABC$ , уравнение которой (в отрезках) имеет

вид  $\frac{x}{2} + \frac{y}{3} + \frac{z}{1} = 1$  или

$F = 3x + 2y + 6z - 6 = 0$ . По формуле

Стокса (3.19) (или (3.20)) имеем

$$I = \iint_S -2dydz + dzdx - dx dy.$$

Вектор нормали к  $S$  (градиент) имеет координаты  $F'_x = 3$ ,  $F'_y = 2$ ,  $F'_z = 6$ , т.е.

$$\mathbf{n} = \frac{1}{6}(3, 2, 6).$$

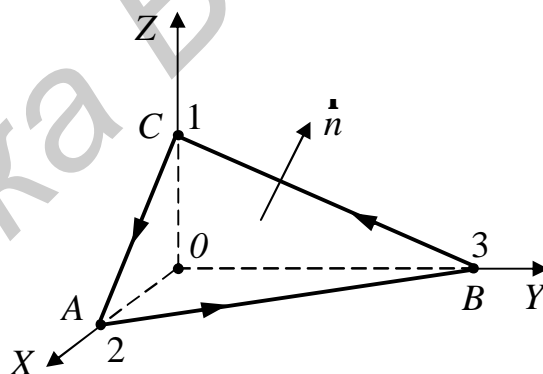


Рис. 3.12

Тогда по формуле (3.14)

$$I = \int_{\Delta AOB} \frac{1}{6}(-2 \cdot 3 + 1 \cdot 2 - 1 \cdot 6) dx dy = -\frac{5}{3} \iint_{\Delta AOB} dx dy = -5,$$

так как площадь треугольника  $AOB$  равна 3. р

**3.26.** Вычислить интеграл

$$I = \oint_{\Gamma} (z^2 - x^2)dx + (x^2 - y^2)dy + (y^2 - z^2)dz$$

по контуру  $\begin{cases} x^2 + y^2 + z^2 = 4, \\ x^2 + y^2 = z^2, z > 0, \end{cases}$  пробегаемому против часовой стрелки.

$\Delta$  Контур интегрирования  $\Gamma$  есть окружность  $x^2 + y^2 = 2$ ,  $z = \sqrt{2}$  – результат пересечения сферы  $x^2 + y^2 + z^2 = 4$  и конуса  $x^2 + y^2 = z^2$  (рис. 3.13)

За поверхность  $S$  возьмём плоскость круга с краем  $\Gamma$ . По формуле Стокса

$$I = 2 \iint_S y dy dz + z dz dx + x dx dy.$$

Так как  $z = \sqrt{2}$  – уравнение поверхности  $S$  (плоскости), то вектор нормали к ней  $\vec{n} = (0,0,1)$ . По формуле (3.14) получаем

$$I = 2 \iint_{D_{xy}} x dx dy = 2 \int_0^{2p} dj \int_0^{\sqrt{2}} r^2 \cos j dr = 0. \text{ р}$$

**3.27.** Пользуясь формулой Стокса, вычислить КрИ-2:

1)

$$\oint_{\Gamma} (y^2 - z^2) dx + (z^2 - x^2) dy + (x^2 - y^2) dz,$$

где  $\Gamma$  – кривая пересечения параболоида  $x^2 + y^2 + z = 3$  с плоскостью  $x + y + z = 2$ ,

ориентированная положительно относительно вектора  $\vec{n} = (1,0,0)$ . **Отв.:**  $-12p$ .

2)  $\oint_{\Gamma} (y - z) dx + (z - x) dy + (x - y) dz$ , где  $\Gamma$  – окружность  $x^2 + y^2 + z^2 = a^2$ ,

$x = xtga$ ,  $0 < a < p/2$ , обход которой совершается против хода часовой стрелки, если смотреть из точки  $(2a, 0, 0)$ . **Отв.:**  $2\sqrt{2}pa^2 \sin(p/4 - a)$ .

3\*)  $\int_{\Gamma} y dx + z dy + x dz$ , где  $\Gamma$  – виток винтовой линии  $x = \cos t$ ,  $y = \sin t$ ,

$z = t$ ,  $0 \leq t \leq 2p$ , пробегаемый от точки  $(1,0,0)$  до точки  $(1,0,2p)$ . **Отв.:**  $-2p$ .  
Указание. Дополнить кривую  $\Gamma$  отрезком так, чтобы контур стал замкнутым.

4)  $\oint_{\Gamma} (y^2 + z^2) dx + (x^2 + z^2) dy + (x^2 + y^2) dz$ , где  $\Gamma$  – линия пересечения

верхней полусферы  $x^2 + y^2 + z^2 = 2Rx$  ( $z > 0$ ) с цилиндром  $x^2 + y^2 = 2rx$ ,  $0 < r < R$ . Линия  $\Gamma$  пробегается против хода часовой стрелки, если смотреть из точки  $(0,0,2R)$ . **Отв.:**

$2pRr^2$ .

5)  $\oint_{\Gamma} (y^2 - z^2) dx + (z^2 - x^2) dy + (x^2 - y^2) dx$ , где  $\Gamma$  – граница сечения куба

$\{0 \leq x \leq a, 0 \leq y \leq a, 0 \leq z \leq a\}$  плоскостью  $x + y + z = 3a/2$ , пробегаемая против хода часовой стрелки, если смотреть из точки  $(2a,0,0)$ . **Отв.:**  $-9a^3/2$ .

6)  $\oint_{\Gamma} (y^2 - z^2) dx + (z^2 - x^2) dy + (x^2 - y^2) dx$ , где  $\Gamma$  – контур,

ограничивающий часть сферы  $x^2 + y^2 + z^2 = 1$  при  $x \geq 0, y \geq 0, z \geq 0$ . Направление обхода  $\Gamma$  берётся против хода часовой стрелки, если смотреть из точки  $(2,0,0)$ . **Отв.:**  $-4$ .

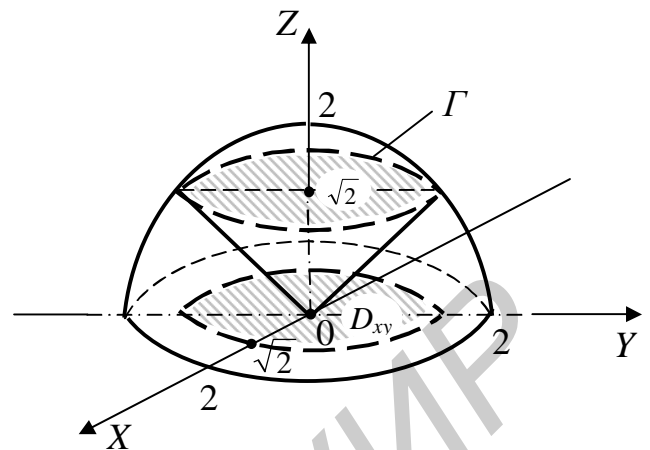


Рис. 3.13

**3.28.\*** Пользуясь формулой Стокса, вычислить КрИ-2:

$I = \int_{OA} yzdx + 3xzdy + 2xydz$ , где  $OA$  – кривая

$$x = t \cos t, \quad y = t \sin t, \quad z = t^2, \quad 0 \leq t \leq 2p,$$

$$O = (0,0,0), \quad A = (2p, 0, 4p^2).$$

$\Delta$  Незамкнутая кривая  $OA = OB \cup BC \cup CA$  лежит на поверхности параболоида  $z = x^2 + y^2$ . Действительно,

$$x^2 + y^2 = t^2(\cos^2 t + \sin^2 t) = t^2, \quad \text{т.е.}$$

$$x^2 + y^2 = z.$$

Дополним кривую интегрирования  $OA$  до замкнутого контура  $\Gamma$  дугой  $AO$  параболы  $z = x^2$ , лежащей в плоскости  $XZ$ . Заметим, что эта парабола лежит также на поверхности  $z = x^2 + y^2$  (рис. 3.14). Тогда

$$I = \oint_{\Gamma} yzdz + 3xzdy + 2xydz - \int_{A_0} yzdz + 3xzdy + 2xydz.$$

Но так как вдоль кривой  $AO$   $y = 0, dy = 0$ , то  $\int_{AO} = 0$ , и поэтому

$$I = \oint_{\Gamma} yzdz + 3xzdy + 2xydz.$$

Контур  $\Gamma$  лежит на параболоиде  $S: z = x^2 + y^2$  и обходится в направлении, указанном на рис. 3.14.

Выберем на части параболоида непрерывное множество единичных нормалей  $\mathbf{n}^0(M) = \{\cos a, \cos b, \cos g\}$  так, чтобы обход контура был положительным, т.е. внутреннюю сторону параболоида.

Находим  $\mathbf{n} = (-2x, -2y, 1) \Rightarrow$

$$\mathbf{n}^0 = \left\{ \frac{-2x}{\sqrt{4x^2 + 4y^2 + 1}}, \frac{-2y}{\sqrt{4x^2 + 4y^2 + 1}}, \frac{1}{\sqrt{4x^2 + 4y^2 + 1}} \right\}.$$

Для нахождения КрИ-2 по замкнутому контуру  $\Gamma$  применим формулу Стокса. Так как  $P = yz, Q = 3xz, R = 2xy$ , то

$$\frac{\partial R}{\partial y} - \frac{\partial Q}{\partial z} = -x, \quad \frac{\partial P}{\partial z} - \frac{\partial R}{\partial x} = -y, \quad \frac{\partial Q}{\partial x} - \frac{\partial P}{\partial y} = 2z.$$

По формуле Стокса (3.19) находим  $I = \oint_{\Gamma} yzdx + 3xzdy + 2xydz =$

$$= \iint_S \left[ \frac{-2x}{\sqrt{4x^2 + 4y^2 + 1}} (-x) + \frac{-2y}{\sqrt{4x^2 + 4y^2 + 1}} (-y) + \frac{2z}{\sqrt{4x^2 + 4y^2 + 1}} \right] ds =$$

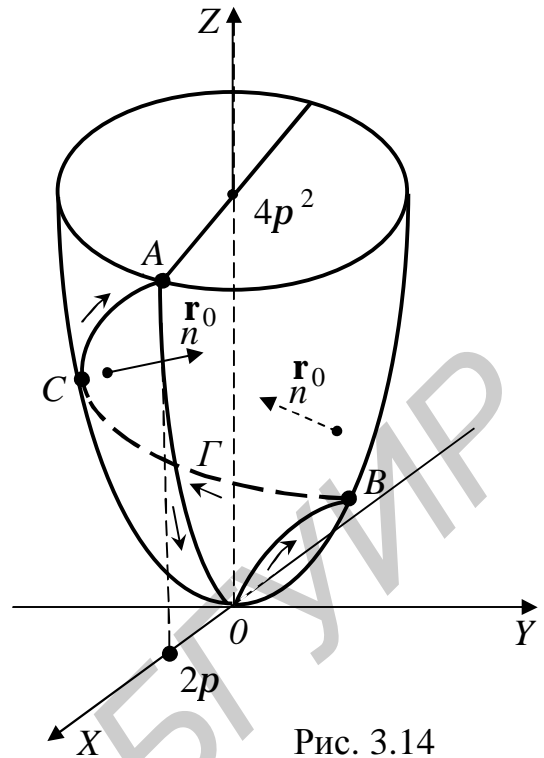


Рис. 3.14

$$= 2 \iint_S \frac{x^2 + y^2 + z}{\sqrt{4x^2 + 4y^2 + 1}} dx. \quad (3.22)$$

Этот интеграл вычислим по формуле

$$\iint_S f(x, y, z) ds = \iint_{D_{xy}} f(x, y, z(x, y)) \sqrt{1 + z'_x{}^2 + z'_y{}^2} dx dy,$$

где  $z = z(x, y)$  – явное уравнение поверхности  $S$ ,  $D_{xy}$  – проекция  $S$  на плоскость  $XU$ . В нашем случае

$$z = x^2 + y^2, \quad z'_x = 2x, \quad z'_y = 2y, \quad \sqrt{1 + z'_x{}^2 + z'_y{}^2} = \sqrt{4x^2 + 4y^2 + 1}.$$

Поэтому из (3.22) имеем 
$$I = 2 \iint_S \frac{x^2 + y^2 + z}{\sqrt{4x^2 + 4y^2 + 1}} ds = 4 \iint_{D_{xy}} (x^2 + y^2) dx dy,$$

где  $D_{xy}$  – область на плоскости, ограниченная кривой  $g: x = t \cos t, y = t \sin t$ , ( $0 \leq t \leq 2p$ ) и отрезком  $[0, 2p]$  оси  $X$  (см. рис. 3.14).

Двойной интеграл по  $D_{xy}$  вычислим в ПСК. Перейдя к полярным координатам  $x = r \cos j, y = r \sin j$  и подставив эти выражения для  $x$  и  $y$  в уравнения кривой  $\Gamma$ , получим  $r \cos j = t \cos t, r \sin j = t \sin t$

Отсюда, учитывая, что  $t$  и  $j$  изменяются в одних и тех же пределах от 0 до  $2p$  находим  $r = t, j = t$ , т.е. уравнение кривой  $\Gamma$  в ПСК имеет вид

$$r = j, 0 \leq j \leq 2p. \text{ Таким образом, } I = 4 \iint_{D_{xy}} (x^2 + y^2) dx dy = 4 \int_0^{2p} dj \int_0^j r^3 dr = \frac{32}{5} p^5. \text{ P}$$

## 4. Элементы векторного анализа

### 4.1. Скалярные и векторные поля

**Скалярное поле. Линии и поверхности уровня скалярного поля. Градиент скалярного поля. Единичный вектор нормали к поверхности. Векторное поле и его векторные линии**

Пространство (или часть его  $V$ ), в каждой точке которого определена скалярная величина, называется *скалярным полем*. Таким образом, скалярное поле определяется числовой функцией  $u = u(x, y, z)$ , заданной в некоторой области  $V$  пространства. В этом случае говорят, что в  $V$  задано скалярное поле. Если скалярное поле задано функцией двух переменных  $u = u(x, y)$ , то оно называется *плоским*.

Графически скалярное поле  $u$  изображается с помощью *поверхностей уровня*, определяемых равенством  $u(x, y, z) = C$ , где  $C = const$ . Если поле  $u$  плоское, то равенство  $u(x, y) = C$  определяет *линию уровня* поля.

Пусть  $u = u(x, y, z)$  – гладкая функция, определяющая скалярное поле. Напомним, что *производной скалярного поля  $u$  по направлению вектора*

$\dot{l} = (l_x, l_y, l_z)$  в точке  $M_0 = (x_0, y_0, z_0)$  называется число

$$\frac{\partial u(M_0)}{\partial l} = \frac{\partial u(M_0)}{\partial x} \cos a + \frac{\partial u(M_0)}{\partial y} \cos b + \frac{\partial u(M_0)}{\partial z} \cos g, \quad (4.1)$$

$\cos a, \cos b, \cos g$  – направляющие косинусы вектора  $\dot{l}$ .

Градиентом скалярного поля  $U$  в точке  $M_0$  называется вектор

$$\mathbf{grad} U(M_0) = \left( \frac{\partial u}{\partial x}, \frac{\partial u}{\partial y}, \frac{\partial u}{\partial z} \right)_{M_0} = \frac{\partial u(M_0)}{\partial x} \mathbf{i} + \frac{\partial u(M_0)}{\partial y} \mathbf{j} + \frac{\partial u(M_0)}{\partial z} \mathbf{k}. \quad (4.2)$$

Из равенств (4.1) и (4.2) следует, что  $\frac{\partial u}{\partial l} = (\mathbf{grad} u, \dot{l})$ . (4.3)

Вектор  $(\mathbf{grad} u)$  часто обозначается  $\nabla u$  (читается «набла»  $u$ ). Итак,  $\nabla u = (u'_x, u'_y, u'_z)$ .

Производная поля в данной точке  $M_0$  по направлению  $\dot{l}$  характеризует скорость изменения поля в направлении вектора  $\dot{l}$ . Градиент скалярного поля в точке  $M_0$  есть вектор, в направлении которого производная поля максимальна и равна  $|\mathbf{grad} u(M_0)|$ . Вектор-градиент, как известно, направлен по нормали к поверхности уровня поля в сторону наибольшего возрастания функции  $u$ . Отсюда следует, что единичный вектор нормали к поверхности определяется формулой

$$\frac{\mathbf{r}_0}{n} = \pm \frac{\mathbf{grad} u(M_0)}{|\mathbf{grad} u(M_0)|}. \quad (4.4)$$

**4.1.** Найти и изобразить на чертеже линии уровня скалярного поля  $u = xy$ . Вычертить и изобразить на чертеже градиент этой функции в точках  $(1, 1)$  и  $(1, -1)$ .

Δ Линии уровня функции  $u = xy$  задаются соотношением  $xy = C - \text{const}$ , т.е. семейство гипербол  $y = C/x$ , а также две прямые  $x = 0, y = 0$  (рис. 4.1).

Далее, по формуле (4.2)  $\mathbf{grad} u = y\mathbf{i} + x\mathbf{j}$ . Тогда  $\mathbf{grad} u(1,1) = \mathbf{i} + \mathbf{j} = (1,1)$ ,  $\mathbf{grad} u(1,-1) = -\mathbf{i} + \mathbf{j} = (-1,1)$ .

На рисунке видно, что в указанных точках  $\mathbf{grad} u$  перпендикулярен линиям уровня, проходящим через эти точки. В точке  $(1,1)$  функция  $u = xy$  быстрее всего возрастает в направлении от начала координат по биссектрисе 1-го квадранта, и скорость её возрастания в этом направлении равна

$$\frac{\partial u(1,1)}{\partial l} = |\mathbf{grad} u(1,1)| = \sqrt{2}.$$

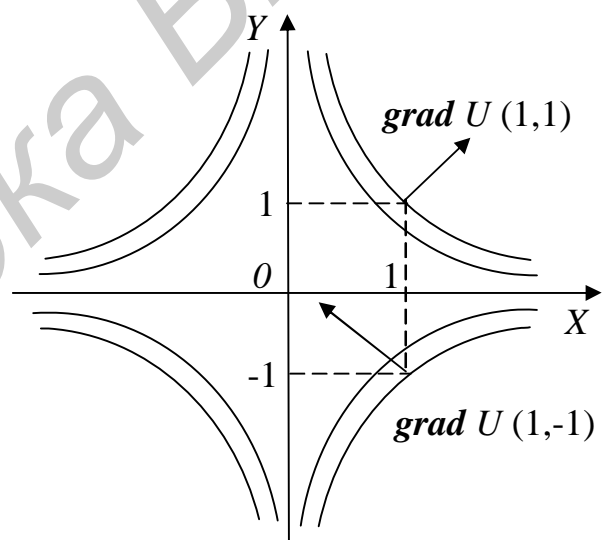


Рис. 4.1

В точке  $(1, -1)$  функция  $u = xy$  возрастает быстрее всего в направлении к началу координат по биссектрисе 4-го квадранта и скорость её возрастания в этом направлении также равна  $\sqrt{2}$ . **P**

**4.2.** Найти градиент скалярного поля  $u = xuz$  в точке  $M = (-2, 3, 4)$ . Чему равна в этой точке производная поля  $u$  в направлении вектора  $\dot{a} = (3, -4, 12)$ ?

$\Delta$  По формуле (4.2) имеем  $\mathbf{grad} u(M) = \left( \frac{\partial u(M)}{\partial x}, \frac{\partial u(M)}{\partial y}, \frac{\partial u(M)}{\partial z} \right) = (yz, zx, xy)|_M = (12, -8, -6)$ .

Находим теперь орт  $\mathbf{a}^0$  вектора  $\dot{a}$ :  $\mathbf{a}^0 = \frac{\dot{a}}{|\dot{a}|} = (3/13, -4/13, 12/13)$ .

По формуле (4.3) получаем  $\frac{\partial u(M)}{\partial l} = \frac{3}{13} \cdot 12 + \frac{4}{13} \cdot 8 - \frac{12}{13} \cdot 6 = -\frac{4}{13}$ . **P**

**4.3.** Найти градиент функции  $f(r)$ , где  $r = |\dot{r}|$ ,  $\dot{r} = (x, y, z)$  - радиус-вектор точки  $(x, y, z)$ .

**r** Имеем

$$\mathbf{grad} f(r) = \frac{\partial f}{\partial r} \cdot \frac{\partial r}{\partial x} \mathbf{i} + \frac{\partial f}{\partial r} \cdot \frac{\partial r}{\partial y} \mathbf{j} + \frac{\partial f}{\partial r} \cdot \frac{\partial r}{\partial z} \mathbf{k} = \frac{\partial f}{\partial r} \left( \frac{x}{r} \mathbf{i} + \frac{y}{r} \mathbf{j} + \frac{z}{r} \mathbf{k} \right) = \frac{1}{r} \cdot \frac{\partial f}{\partial r} \dot{r} = f'(r) \frac{\dot{r}}{r}.$$

Итак,  $\mathbf{grad} f(r) = f'(r) \frac{\dot{r}}{r}$ . **P** (4.5)

**4.4.** Найти поверхность уровня поля  $u = x^2 - y^2 + z^2$ , содержащую точку  $(1, 2, 1)$ . **Отв.:**  $x^2 - y^2 + z^2 = -2$ .

**4.5.** Написать уравнение нормали в точке  $(2, 2, -2)$  к поверхности уровня поля  $u = \arccos \frac{z}{\sqrt{x^2 + y^2}}$ , проходящей через эту точку.

**Отв.:**  $x - 2 = y - 2 = (z + 2)/2$ .

**4.6.\*** Пусть  $\dot{a}$  и  $\dot{b}$  - постоянные векторы,  $\dot{a} \neq 0$ ,  $\dot{b} \neq 0$ ,  $\dot{r} = (x, y, z)$ . Найти поверхности уровня поля  $u = e^{(\dot{r}, \dot{a}, \dot{b})}$ , где  $(\dot{r}, \dot{a}, \dot{b})$  - смешанное произведение векторов. **Отв.:** плоскости  $(\dot{r}, \dot{a}, \dot{b}) = C$ .

**4.7.** Найти линии уровня скалярного поля  $u = e^{\frac{2x}{x^2 + y^2}}$  и нарисовать линии уровня  $u(x, y) = e$  и  $u(x, y) = e^{1/2}$ . Вычислить и начертить вектор  $\mathbf{grad} u$  в точках  $(1, 1), (2, 0), (1, -1)$ .

**Отв.:**  $(x - c)^2 + y^2 = c^2, x^2 + y^2 \neq 0, (x - 1)^2 + y^2 = 1, (x - 2)^2 + y^2 = 4,$   
 $\mathbf{grad} u(2, 0) = -(e/2)\dot{i}$ ,  $\mathbf{grad} u(1, -1) = e\dot{j}$ ,  $\mathbf{grad} u(1, 1) = -e\dot{j}$ .

**4.8.** Найти  $\mathbf{grad} u(M_0)$ , если:

- 1)  $u = xy + yz + zx$ ,  $M_0 = (1,1,1)$ .      2)  $u = \ln(x^2 + y^2 + z^2)$ ,  $M_0 = (1,1,-1)$ .  
 3)  $u = \frac{9(x+y+z)}{\sqrt{x^2 + y^2 + z^2}}$ ,  $M_0 = (1,-2,-2)$ .    4)  $u = ze^{x^2+y^2+z^2}$ ,  $M_0 = (0,0,0)$ .

**Отв.:** 1) (2,2,2); 2)  $(\frac{2}{3}, \frac{2}{3}, -\frac{2}{3})$ ; 3) (4,1,1); 4) (0,0,1).

**4.9.** Найти угол между  $\mathbf{grad} u(M_1)$  и  $\mathbf{grad} u(M_2)$ , если:

1)  $u = \operatorname{arctg} \frac{x}{y+z}$ ,  $M_1 = (1,1,0)$ ,  $M_2 = (-1,0,1)$ .

2)  $u = \frac{z}{\sqrt{x^2 + y^2 + z^2}}$ ,  $M_1 = (3, \sqrt{3}, -2)$ ,  $M_2 = (\sqrt{3}, 1, 2\sqrt{3})$ .

**Отв.:** 1)  $\arccos(-1/3)$ ; 2)  $\pi/2$ .

**4.10.** На поверхности уровня поля  $u = \frac{x}{x^2 + y^2 + z^2}$ , проходящей через точку (1,1,1), найти наименьшее значение  $|\mathbf{grad} u|$ . **Отв.:**  $1/9$ .

**4.11.** Доказать, что: а)  $\mathbf{grad} r = \frac{\mathbf{r}}{r}$ ; б)  $\mathbf{grad} \frac{1}{r} = -\frac{\mathbf{r}}{r^3}$ ;

в)  $\mathbf{grad} \sin r = \cos r \cdot \frac{\mathbf{r}}{r}$ ; где  $\mathbf{r} = (x, y, z)$ .

**4.12.** Для скалярного поля  $u = u(x, y)$  найти  $\mathbf{grad} u$ , если функция  $u(x, y)$  определяется неявно уравнением

а)  $u^3 - 3xyu = a^2$ ; б)  $x + y + u = e^u$ ; в)  $x + y + u = e^{-(x+y+u)}$ .

**Отв.:** а)  $\frac{u}{u^2 - xy} (yi + xj)$ ; б)  $(e^u - 1)^{-1} (i + j)$ ; в)  $-i - j$ .

**4.13.** Найти производную поля  $u$  по направлению единичного вектора  $\mathbf{n}^0 = (\cos a, \cos b, \cos b)$ , если  $r = \sqrt{x^2 + y^2 + z^2}$ ,  $\mathbf{r} = (x, y, z)$ :

1)  $u = r$ . 2)  $u = 1/r$ . 3)  $u = (\mathbf{a}, \mathbf{r})$ ,  $\mathbf{a} = \text{const}$ . 4)  $u = f(r)$ .

**Отв.:** 1)  $(\mathbf{r}, \mathbf{n}^0)/r$ ; 2)  $-(\mathbf{r}, \mathbf{n}^0)/r^3$ ; 3)  $(\mathbf{n}^0, \mathbf{a})$ ; 4)  $f'(r)(\mathbf{n}^0, \mathbf{r})/r$ .

**4.14.** Найти производную поля  $u = x^2/a^2 + y^2/b^2 + z^2/c^2$  в точке  $M = (x, y, z)$  по направлению радиус-вектора  $\mathbf{r}$  этой точки.

**Отв.:**  $2u/r$ ,  $r = |\mathbf{r}|$ .

**4.15.** Пусть  $u$  и  $v$  – дифференцируемые поля. Найти производную поля  $u$  по направлению вектора  $\mathbf{grad} v$ .

**Отв.:**  $(\mathbf{grad} u, \mathbf{grad} v)/|\mathbf{grad} v|$ .

**4.16.\*** Пусть  $u$  – дифференцируемое поле,  $f(t)$  – дифференцируемая функция,  $t \in R$ .

Доказать, что  $\nabla f(u) = f'(u)\nabla u$ .

**4.17.\*** Пусть  $u$  и  $v$  – дифференцируемые поля,  $f(t, s)$  – дифференцируемая функция,  $(t, s) \in R^2$ . Доказать, что

$$\nabla f(u, v) = \frac{\partial f(t, s)}{\partial t} \nabla u + \frac{\partial f(t, s)}{\partial s} \nabla v.$$

Если в каждой точке пространства или его части  $v$  определен вектор  $\dot{\mathbf{a}} = (P, Q, R)$ , где  $P = P(x, y, z)$ ,  $Q = Q(x, y, z)$ ,  $R = R(x, y, z)$  – скалярные функции, то говорят, что в пространстве или в области  $v$  задано *векторное поле*  $\dot{\mathbf{a}}$ .

Одной из важных характеристик векторного поля  $\dot{\mathbf{a}}$  является векторная или силовая линия поля. *Векторной (силовой) линией поля* называется кривая, в каждой точке  $M$  которой касательная к ней совпадает с направлением поля  $\dot{\mathbf{a}}$  (рис. 4.2).

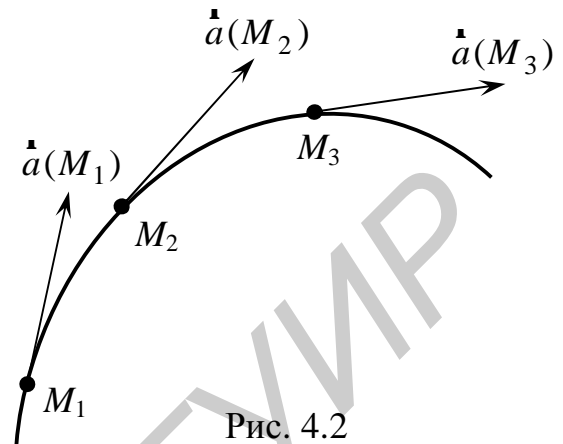


Рис. 4.2

Для составления уравнений векторных линий поля  $\dot{\mathbf{a}} = (P, Q, R)$  нужно составить соотношения

$$\frac{dx}{P} = \frac{dy}{Q} = \frac{dz}{R}, \quad (4.6)$$

называемые *дифференциальными уравнениями (ДУ) векторных линий*.

**4.18.** Найти векторные линии поля:

1)  $\dot{\mathbf{a}} = (y + z, -x, -x)$ ;    2)  $\dot{\mathbf{a}} = \mathbf{grad} u$ ,  $u = xyz$ .

г а) Согласно соотношениям (4.6) имеем

$$\left( \frac{dx}{y+z} = \frac{dy}{-x} = \frac{dz}{-x} \right) \Rightarrow \begin{cases} xdy = xdz, \\ xdx = -(y+z)dy \end{cases} \Rightarrow \begin{cases} x(dy - dz) = 0, \\ xdx = -(y+z)dy. \end{cases} \quad (4.7)$$

Из первого уровня этой системы получаем  $dy - dx = 0 \Rightarrow y - z = C - const$ .

Согласно равенству  $dy = dz$ , из второго уровня системы (4.7) находим  $(xdx + ydy + zdz = 0) \Rightarrow x^2 + y^2 + z^2 = R^2$ ,  $R - const$ .

Таким образом, векторными линиями поля  $\dot{\mathbf{a}}$  являются линии пересечения сфер  $x^2 + y^2 + z^2 = R^2$  и параллельных плоскостей  $y - z = C$  т.е. окружности  $\{x + y + z = R, y - z = C\}$ .

Δ б) Для поля  $\dot{\mathbf{a}}(M) = \nabla u = yz\mathbf{i} + zx\mathbf{j} + xy\mathbf{k}$  из уравнений (4.6) находим  $\frac{dx}{yz} = \frac{dy}{zx} = \frac{dz}{xy}$  или  $xdx = ydy$  и  $ydy = zdz$ , откуда  $\frac{x^2}{2} = \frac{y^2}{2} + C_1$ ,  $\frac{y^2}{2} = \frac{z^2}{2} + C_2$ . Эти

уравнения определяют два семейства гиперболических цилиндров с образующими, параллельными соответственно осям  $Z$  и  $X$ , а также (при  $C_1 = C_2 = 0$ ) две пары плоскостей  $x = \pm y$  и  $y = \pm z$ . Любая векторная линия поля  $\dot{\mathbf{a}}(M)$  является линией пересечения этих двух поверхностей при некоторых фиксированных значениях  $C_1$  и  $C_2$ . Например, при  $C_1 = C_2 = 0$  линия пересечения  $x = y$  и  $y = z$  представляет собой прямую, проходящую через начало координат:  $x = y = z$ . В точках этой прямой  $\dot{\mathbf{a}}(M) = (x^2, x^2, x^2)$ . Р

**4.19.** Найти векторные линии поля  $\vec{a}$ :

1) Кулоновского поля  $\vec{a} = \frac{ke}{r^3} \vec{r}$  точечного заряда  $e$ , находящегося в начале

координат  $\vec{r} = (x, y, z)$ ,  $r = |\vec{r}|$ .

**Отв.:** Лучи, исходящие из начала координат.

2\*) Векторного поля  $\vec{a} = [\vec{c}, \vec{r}]$ , где  $\vec{c}$  – постоянный вектор.

**Отв.:** Окружности, лежащие в плоскостях, перпендикулярных прямой  $l \parallel \vec{c}$  и проходящей через начало координат; центры этих окружностей лежат на  $l$ .

3) Векторного поля  $\vec{a} = (-a^2 y, b^2 x)$ ,  $a, b \in \mathbf{R}$ . **Отв.:**  $\frac{x^2}{a^2} + \frac{y^2}{b^2} = 1$ .

4) Векторного поля  $\vec{a} = (x^2, y^2)$ . **Отв.:**  $\frac{1}{x} - \frac{1}{y} = C_1$ ,  $z = C_2$ .

5) Векторного поля  $\vec{a} = (z - y, x - z, y - x)$ .

**Отв.:**  $x^2 + y^2 + z^2 = R^2$ ,  $x + y + z = C$ .

**4.20.** Найти векторную линию поля  $\vec{a}$ , проходящую через точку  $M_0$ , если

1)  $\vec{a} = (-y, x, c)$ ,  $c = \text{const}$ ,  $M_0 = (1, 0, 0)$ .

2)  $\vec{a} = (x^2, -y^3, z^2)$ ,  $M_0 = \left(\frac{1}{2}, -\frac{1}{2}, 1\right)$ .

3)  $\vec{a} = (xz, yz, x^2 + y^2)$ ,  $M_0 = (1, 1, 0)$ .

**Отв.:** 1)  $x = \cos t$ ,  $y = \sin t$ ,  $z = ct$ .

2)  $\frac{1}{x} - \frac{1}{y} = 1$ ,  $\frac{1}{x} + \frac{1}{2y^2} = 4$ . 3)  $y = x$ ,  $z^2 = 2(x^2 - 1)$ .

**4.21.** Найти линии наискорейшего изменения скалярных полей:

1)  $u = x^2 - y^2$ . 2)  $u = \frac{x^2}{2} + y^2$ . 3)  $u = x^2 + 2y^2 + z^2$ .

**Отв.:** 1)  $xy = C$ ; 2)  $y = Cx^2$  и  $x = 0$ ,  $x^2 + y^2 \neq 0$ ; 3)  $z^2 = 2(x^2 - 1)$ .

## 4.2. Поток векторного поля через поверхность

**Поток векторного поля через ориентированную поверхность. Поток векторного поля через замкнутую поверхность. Дивергенция векторного поля и её некоторые свойства**

Пусть  $\vec{a} = (P, Q, R)$  – векторное поле, а  $S$  – ориентированная гладкая поверхность в  $\mathbf{R}^3$ . *Потоком векторного поля  $\vec{a}$  (или вектора  $\vec{a}$ ) через поверхность  $S$  в направлении единичного вектора  $\vec{n}^0$  нормали  $\vec{n}$  к поверхности называется ПИ-2*

$$\begin{aligned} \Pi &= \iint_S (\vec{a}(M), \vec{n}^0) ds = \iint_S P dydz + Q dzdx + R dxdy = \\ &= \iint_S (P \cos \alpha + Q \cos \beta + R \cos \gamma) ds, \end{aligned} \quad (4.8)$$

где  $M = (x, y, z) \in S$ ;  $\cos a, \cos b, \cos g$  – направляющие косинусы вектора нормали к  $S$ .

Поток – скалярная величина. При этом, если  $(\mathbf{a}, \mathbf{n}^0) < \pi/2$ , то  $\Pi > 0$ . В этом случае поток вектора  $\mathbf{a}$  идёт с внутренней на внешнюю сторону поверхности  $S$ . Если же  $(\mathbf{a}, \mathbf{n}^0) > \pi/2$ , то  $\Pi < 0$ , и значит, поток вектора идёт с внешней на внутреннюю сторону поверхности  $S$ . При смене ориентации поверхности  $S$  знак потока  $\Pi$  изменяется на противоположный. Способы вычисления ПИ-2, выражающих поток  $\Pi$ , в случае явного, неявного и параметрического заданий поверхности изложены в п. 3.2. Для этих способов ещё раз приведём соответствующие формулы. Пусть  $g = \left( \mathbf{n}, z \right) \leq \frac{\pi}{2}$ .

1°. Если  $S$  задана явно уравнением  $z = f(x, y)$ ,  $(x, y) \in D_{xy}$  – проекция  $S$  на плоскость  $XY$ , то  $\mathbf{n} = (-f'_x, -f'_y, 1)$ , и из формулы (4.8) получаем

$$\Pi = \iint_{D_{xy}} (-f'_x P(x, y, f(x, y)) - f'_y Q(x, y, z(f(x, y))) + R(x, y, f(x, y))) dx dy. \quad (4.9)$$

2°. Если  $S$  задана неявно уравнением

$F(x, y, z) = 0, F'_z \neq 0$ , то  $\mathbf{n} = \frac{1}{F'_z} (F'_x, F'_y, F'_z) = -\frac{1}{F'_z} \nabla F$  и, следовательно,

$$\Pi = \iint_{D_{xy}} \left( \frac{1}{F'_z} (F'_x P(x, y, z) + F'_y Q(x, y, z) + F'_z R(x, y, z)) \right) dx dy, \quad (4.10)$$

где  $z$  необходимо выразить из уравнения поверхности  $S$ .

*Замечание.* Если  $g > \pi/2$ , то в  $1^0 \mathbf{n} = (f'_x, f'_y, -1)$ , а в  $2^0 \mathbf{n} = -\frac{1}{F'_z} \nabla F$ .

Соответствующим образом изменятся формулы (4.9) и (4.10).

3°. Если поверхность  $S$  задана параметрически в виде  $x = x(u, v), y = y(u, v), z = z(u, v), (u, v) \in W$ , то, согласно формуле (3.11),

$$\Pi = \iint_W \left( P(u, v) \left| \frac{D(y, z)}{D(u, v)} \right| + Q(u, v) \left| \frac{D(z, x)}{D(u, v)} \right| + R(u, v) \left| \frac{D(x, y)}{D(u, v)} \right| \right) du dv, \quad (4.11)$$

где  $P(u, v) = P(x(u, v), y(u, v), z(u, v)), Q(u, v) = Q(x(u, v), y(u, v), z(u, v)), R(u, v) = R(x(u, v), y(u, v), z(u, v))$ .

**4.22.** Вычислить поток вектора  $\mathbf{a} = (y, x, z^2)$  через часть поверхности параболоида  $1 - z = x^2 + y^2$ , отсекаемой от него плоскостью  $z = 0$  (рис 4.3, нормаль внешняя).

Δ Так как  $P = y, Q = x, R = z^2, z'_x = -2x, z'_y = -2y$  и проекцией  $D_{xy}$  поверхности параболоида на плоскость  $XY$  является круг  $x^2 + y^2 \leq 1$ , то по формуле (4.9) с последующим переходом к полярным координатам получаем

$$\Pi = \iint_{D_{xy}} (2xy + 2yx + z^2) dx dy = \iint_{D_{xy}} (4xy + (1 - (x^2 + y^2))^2) dx dy =$$

$$= \int_0^{2p} dj \int_0^1 (4r^2 \cos j \sin j - (1 - r^2)^2) r dr =$$

$$= \int_0^{2p} dj \int_0^1 (2r^3 \sin 2j - r(1 - r^2)^2) dr = p/3. \text{ p}$$

**4.23.** Найти поток векторного поля  $\vec{a} = (2, -x, 5z)$  через верхнюю сторону треугольника, полученного при пересечении плоскости  $x + 2y + 3z = 6$  с координатными плоскостями (рис. 4.4).

**г** Поверхность  $S$  треугольника  $ABC$  задана неявно уравнением

$$F = x + 2y + 3z - 6 = 0. \text{ Так как}$$

$P = 2, Q = -x, R = 5z$  и  $F'_x = 1, F'_y = 2, F'_z = 3$ , то по формуле (4.10) ( $g < p/2$ )

$$\Pi = \iint_{D_{xy}} \frac{1}{3} (2 - 2x + 15z) dx dy, \text{ где } D_{xy} -$$

треугольник  $AOB$ . Из уравнения плоскости имеем  $z = 2 - x/3 - 2y/3$ . Поэтому

$$\begin{aligned} \Pi &= \iint_{D_{xy}} (32 - 7x - 10y) dx dy = \\ &= \frac{1}{3} \int_0^3 dy \int_0^{6-2y} (32 - 7x - 10y) dx = 24. \text{ p} \end{aligned}$$

**4.24.** Найти поток вектора  $\vec{a} = (x + xy^2, y - yx^2, z)$  через полусферу  $x^2 + y^2 + z^2 = 9, z \geq 0$ . Нормаль внешняя.

**г** Зададим полусферу параметрически в виде  $x = 3 \sin q \cos j, y = 3 \sin q \sin j,$

$z = 3 \cos q, W: \{0 \leq q \leq p/2, 0 \leq j \leq 2p\}$ . Так как

$$\left| \frac{D(y, z)}{D(q, j)} \right| = 9 \sin^2 q \cos j, \left| \frac{D(z, x)}{D(q, j)} \right| = 9 \sin^2 q \sin j, \left| \frac{D(x, y)}{D(q, j)} \right| = 9 \cos q \sin q.$$

$P = x(1 + y^2), Q = y(1 - y^2), R = z$ , то по формуле (4.11) получаем

$$\Pi = \iint_W (3 \sin q \cos j (1 + 9 \sin^2 q \sin^2 j) + 3 \sin q \sin j (1 - 9 \sin^2 q \cos^2 j) + 9 \sin^2 q \sin j +$$

$$+ 3 \cos q 9 \cos q \sin q) dq dj = 27 \iint_W \sin q dq dj = 27 \int_0^{2p} dj \int_0^{p/2} \sin q dq = 54p. \blacktriangle$$

**4.25.** Найти поток вектора электрической напряженности  $\vec{E} = q \cdot \frac{\vec{r}}{r^3}$ ,

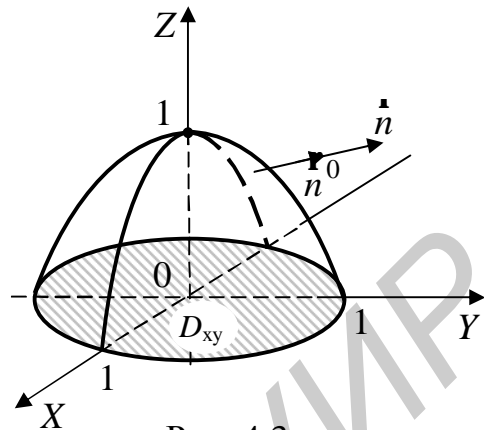


Рис. 4.3

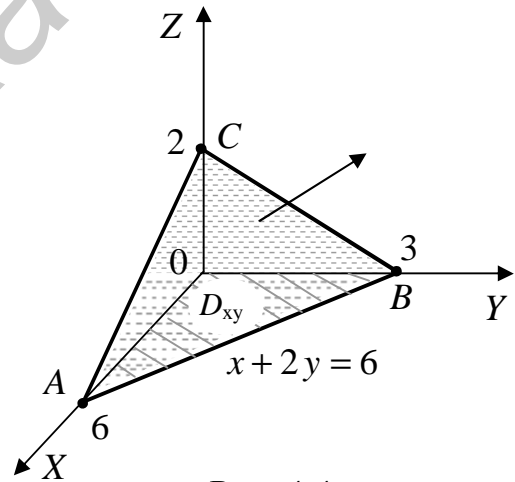


Рис. 4.4

$r = |\mathbf{r}|$ , точечного заряда  $q$  через поверхность сферы радиусом  $R$  в направлении внешней нормали к сфере, если заряд  $q$  расположен в её центре.

$\mathbf{r}$  В нашем случае  $\mathbf{a} = \mathbf{E}$ . В каждой точке сферы вектор внешней нормали совпадает с её радиус-вектором  $\mathbf{r}$ , если за начало координат принять центр сферы. Тогда  $\mathbf{n}^0 = \frac{\mathbf{r}}{r}$  и по формуле (4.8) поток

$$\Pi = \iint_S (\mathbf{E}, \mathbf{n}^0) ds = \iint_S \left( q \frac{\mathbf{r}}{r^3}, \frac{\mathbf{r}}{r} \right) ds = q \iint_S \frac{|\mathbf{r}|^2}{r^4} ds = q \iint_S \frac{ds}{r^2} = q \iint_S \frac{ds}{R^2} = \frac{q}{R^2} \iint_S ds = \frac{q}{R^2} \cdot 4\pi R^2 = 4\pi q,$$

так как на сфере  $r = R$ , а интеграл  $\iint_S ds$  равен  $4\pi R^2$  – площади поверхности

сферы радиусом  $R$ .  $\square$

**4.26.** Найти поток поля  $\mathbf{a}$  через ориентированную нормалью  $\mathbf{n}$  поверхность  $S$  ( $\mathbf{r} = (x, y, z)$ ,  $r = |\mathbf{r}|$ ):

1)  $\mathbf{a} = (a_x, a_y, a_z)$  – постоянный вектор,  $S$  – круг радиусом  $R$ , лежащий в плоскости  $(\mathbf{r}, \mathbf{n}) = d$ . **Отв.:  $\pi R^2 (\mathbf{a}, \mathbf{n})$ .**

2)  $\mathbf{a} = \mathbf{r}$ ;  $S$  – внешняя сторона конуса  $\sqrt{x^2 + y^2} \leq z \leq h$ . **Отв.:  $\pi h^3$ .**

3)  $\mathbf{a} = \mathbf{r}$ ;  $S$  – внешняя сторона поверхности цилиндра  $x^2 + y^2 \leq R^2$ ,  $0 \leq z \leq h$ .

**Отв.:  $3\pi h R^2$ .**

4\*)  $\mathbf{a} = f(r)\mathbf{r}$ ;  $S$  – внешняя сторона сферы  $x^2 + y^2 + z^2 = R^2$ .

**Отв.:  $4\pi R^3 f(R)$ .**

5)  $\mathbf{a} = (y^2, x^2, z^2)$ ;  $S$  – часть внешней стороны цилиндра  $x^2 + y^2 = a^2$ , расположенная в 1-м октанте между плоскостями  $z = 0$  и  $z = a$ ,  $a > 0$ .

**Отв.:  $2a^4/3$ .**

6)  $\mathbf{a} = (0, y^2, z)$ ;  $S$  – ограниченная часть внешней стороны параболоида  $z = x^2 + y^2$ , отсеченная плоскостью  $z = 2$ . **Отв.:  $-2\pi$ .**

7)  $\mathbf{a} = (x, y, \sqrt{x^2 + y^2 - 1})$ ;  $S$  – часть внешней стороны гиперboloида  $x^2 + y^2 - z^2 = 1$ , заключенная между плоскостями  $z = 0$ ,  $z = \sqrt{3}$ . **Отв.:  $2\pi\sqrt{3}$ .**

8\*)  $\mathbf{a} = (y, z, x)$ ;  $S$  – часть внутренней стороны цилиндра  $x^2 + y^2 = R^2$ , расположенная в области  $x > |z|$ . **Отв.: 0.**

9)  $\mathbf{a} = (3x, -y, -z)$ ;  $S$  – часть внешней стороны параболоида  $x^2 + y^2 = 9 - z$ , расположенная в 1-м октанте. **Отв.:  $81\pi/8$ .**

10)  $\mathbf{a} = (xz, yz, z^2)$ ;  $S$  – часть внешней стороны сферы  $x^2 + y^2 + z^2 = 9$ , расположенная в области  $z > 2$ . **Отв.:  $45\pi$ .**

11\*)  $\mathbf{a} = (x, y, xyz)$ ;  $S$  – часть внешней стороны цилиндра  $x^2 + y^2 = R^2$ , расположенная в области  $x > |y|$  и отсеченная плоскостью  $z = 0$  и параболоидом

$$z = x^2 - y^2.$$

Отв.:  $R^4$ .

12\*)  $\mathbf{r} \cdot \mathbf{a} = (xy - y^2, -x^2 + xy + 2x, z)$ ;  $S$  – часть внешней стороны цилиндра  $x^2 + y^2 = 1$ , отсеченная конусом  $z^2 = x^2/2 + y^2$

Отв.: 0.

Пусть  $S$  – замкнутая кусочно-гладкая поверхность с единичным вектором внешней нормали  $\mathbf{n}^0$ . Тогда поток  $\Pi$  вектора  $\mathbf{a} = (P, Q, R)$  через замкнутую поверхность  $S$  можно вычислить с помощью формулы Остроградского–Гаусса (3.17):

$$\Pi = \oiint_S (\mathbf{r}, \mathbf{n}^0) ds = \iiint_V \left( \frac{\partial P}{\partial x} + \frac{\partial Q}{\partial y} + \frac{\partial R}{\partial z} \right) dx dy dz. \quad (4.12)$$

Пусть  $\mathbf{a}(M)$  – поле скоростей несжимаемой жидкости. Если  $\Pi > 0$ , то из (4.12) следует, что из области  $V$  вытекает больше жидкости, чем втекает. Это означает, что внутри области  $V$  имеются *источники* – точки, из которых жидкость вытекает. Если  $\Pi < 0$ , то из области  $V$  вытекает меньше жидкости, чем втекает в неё. В этом случае говорят, что внутри  $V$  имеются *стоки*, т.е. точки, в которые жидкость втекает. При  $\Pi = 0$  в  $V$  втекает столько же жидкости, сколько вытекает.

Пусть в области  $V$  задано векторное поле  $\mathbf{a}(M) = (P, Q, R)$ , где функции  $P(x, y, z)$ ,  $Q(x, y, z)$ ,  $R(x, y, z)$  имеют непрерывные частные производные в точке  $M = (x, y, z) \in V$  по  $x, y, z$  соответственно. *Дивергенцией или расходимостью векторного поля  $\mathbf{a}(M)$  в точке  $M$* , обозначаемой  $\text{div} \mathbf{a}(M)$ , называется скалярная величина

$$\text{div} \mathbf{a}(M) = \left( \frac{\partial P}{\partial x} + \frac{\partial Q}{\partial y} + \frac{\partial R}{\partial z} \right)_M. \quad (4.13)$$

С физической точки зрения  $\text{div} \mathbf{a}(M)$  характеризует плотность источников и стоков векторного поля  $\mathbf{a}(M)$  в точке  $M$ . Если  $\text{div} \mathbf{a}(M) > 0$ , то точка  $M$  является источником, если  $\text{div} \mathbf{a}(M) < 0$ , то – стоком. Если  $\text{div} \mathbf{a}(M) = 0$ , то в точке  $M$  нет ни источников, ни стоков.

**4.27.** Найти  $\text{div} \mathbf{a}(M)$ , если  $\mathbf{a} = (x, y^2, z^3)$ ,  $M = (-2, 4, 5)$ .

**р** По формуле (4.13) находим

$$\text{div} \mathbf{a}(M) = (1 + 2y + 3z^2)|_M = 1 + 2 \cdot 4 + 3 \cdot 25 = 84.$$

**4.28.** Найти дивергенцию электрического поля  $\mathbf{E} = \frac{ke}{r^3} \mathbf{r}$ ,  $\mathbf{r}$  – радиус-вектор

точки  $M = (x, y, z)$ ,  $r = |\mathbf{r}|$ ,  $e$  – точечный заряд, помещённый в начале координат.

$\Delta$  Имеем по определению:

$$\begin{aligned} \text{div} \mathbf{E} &= ke \left[ \frac{\partial}{\partial x} \left( \frac{x}{r^3} \right) + \frac{\partial}{\partial y} \left( \frac{y}{r^3} \right) + \frac{\partial}{\partial z} \left( \frac{z}{r^3} \right) \right] = ke \left( \frac{r^2 - 3x^2}{r^5} + \frac{r^2 - 3y^2}{r^5} + \frac{r^2 - 3z^2}{r^5} \right) = \\ &= ke \frac{3r^2 - 3(x^2 + y^2 + z^2)}{r^5} = ke \frac{3r^2 - 3r^2}{r^5} = 0 \quad (\text{при } r \neq 0). \end{aligned}$$

Физически это означает отсутствие источников электрического поля, кроме начала координат. В нём  $\text{div } \mathbf{E} = \infty$  (бесконечная плотность заряда).

Дивергенция обладает следующими свойствами:

1<sup>0</sup>.  $\text{div } \mathbf{c} = 0$ ,  $\mathbf{c}$  – постоянный вектор.

2<sup>0</sup>.  $\text{div}(\mathbf{a}\mathbf{a} + \mathbf{b}\mathbf{b}) = \mathbf{a} \text{div } \mathbf{a} + \mathbf{b} \text{div } \mathbf{b}$ ,  $\mathbf{a}, \mathbf{b} \in \mathbf{R}$ .

3<sup>0</sup>.  $\text{div}(j \mathbf{a}) = j \text{div } \mathbf{a} + (\mathbf{a}, \text{grad } j)$ ,  $j = j(x, y, z)$  – скалярная функция.

4.29. Найти  $\text{div}(x^2 y \mathbf{i} + xy^2 \mathbf{j} + z^2 \mathbf{k})$  в точке  $M = (1, 2, -1)$ . **Отв.:** 14.

4.30. Найти  $\text{div} \left( \frac{\mathbf{i} + \mathbf{j} + \mathbf{k}}{\sqrt[3]{(x+y+z)^2}} \right)$ . **Отв.:**  $-2/(x+y+z)^{5/3}$ .

4.31. Магнитное поле, создаваемое электрическим током силы  $I$ , текущим по бесконечному проводу, определяется формулой

$\mathbf{H}(M) = \mathbf{H}(x, y) = 2I \cdot \frac{x\mathbf{j} - y\mathbf{i}}{x^2 + y^2}$ . Вычислить  $\text{div } \mathbf{H}(M)$ . **Отв.:** 0.

4.32. Найти  $(\mathbf{r} = (x, y, z), r = |\mathbf{r}|)$ :

1)  $\text{div grad } r^2$ ; 2)  $\text{div grad}(1/r)$ ; 3)  $\text{div } r\mathbf{c}, \mathbf{c} - \text{const}$ ;

4)  $\text{div grad } f(r)$ ; 5)  $\text{div}(f(r)\mathbf{c}), \mathbf{c} - \text{const}$ ; 6)  $\text{div}[\mathbf{c}, \mathbf{r}]$ ; 7)  $\text{div}[\mathbf{r}, [\mathbf{c}, \mathbf{r}]]$ .

**Отв.:** 1) 6; 2) 0; 3)  $(\mathbf{r}, \mathbf{c})/r$ ; 4)  $f''(r) + 2f'(r)/r$ ; 5)  $(\mathbf{r}, \mathbf{c})f'(r)/r$ ; 6) 0; 7)  $-2(\mathbf{c}, \mathbf{r})$ .

4.33. Найти поток поля  $\mathbf{a}$  через полную поверхность  $S$ :

1)  $\mathbf{a} = (x^3, y^3, z^3)$ ;  $S$  – внешняя поверхность куба  $|x| \leq a, |y| \leq a, |z| \leq a$ .

2)  $\mathbf{a} = (z - y, x - z, y - x)$ ;  $S$  – внешняя поверхность тетраэдра, ограниченного плоскостями  $x + y + z = 1, x + y - z = 1, x = 0, y = 0$ .

3)  $\mathbf{a} = (y^2 z, -yz^2, x(y^2 + z^2))$ ;  $S$  – внешняя поверхность цилиндра  $y^2 + z^2 \leq a^2, 0 \leq x \leq a$ .

4)  $\mathbf{a} = (2x, 2y, -z)$ ;  $S$  – внешняя поверхность конуса  $\sqrt{x^2 + y^2} \leq z \leq H$ .

5)  $\mathbf{a} = (x + z, y + x, z + y)$ ;  $S$  – поверхность тела  $x^2 + y^2 \leq R^2, 0 \leq z \leq y$ .

6)  $\mathbf{a} = (x^2 y, xy^2, xyz)$ ;  $S$  – поверхность тела  $x^2 + y^2 + z^2 \leq R^2, x \geq 0, y \geq 0, z \geq 0$ .

**Отв.:** 1)  $24a^5$ ; 2) 0; 3)  $-pa^{5/4}$ ; 4)  $pH^3$ ; 5)  $2R^3$ ; 6)  $R^5/3$ .

Если замкнутая поверхность  $S$  образована двумя поверхностями  $S_1$  и  $S_2$ , т.е.  $S = S_1 \cup S_2$ , то вследствие аддитивности ПИ-2 поток вектора  $\mathbf{a} = (P, Q, R)$ , например, через поверхность  $S_1$  можно вычислить по формуле

$$\iint_{S_1} (\mathbf{a}, \mathbf{n}^0) ds = \iiint_S (\mathbf{a}, \mathbf{n}^0) ds - \iint_{S_2} (\mathbf{a}, \mathbf{n}^0) ds = \iiint_V \text{div } \mathbf{a} dx dy dz - \iint_{S_2} (\mathbf{a}, \mathbf{n}^0) ds, \quad (4.14)$$

где  $V$  – тело, ограниченное поверхностью  $S$ .

**4.34.** Найти поток поля  $\mathbf{a} = (x - y, x + y, z^2)$  через боковую поверхность цилиндра  $x^2 + y^2 = 1$ , заключенную между плоскостями  $z = 0$  и  $z = 2$  (рис. 4.5, нормаль внешняя).

$\Delta$  В нашем случае  $P = x - y, Q = x + y, R = z^2, \operatorname{div} \mathbf{a} = (2 + 2z)$ . Образует замкнутую поверхность  $S$ , состоящую из цилиндрической поверхности  $x^2 + y^2 = 1$  и плоскостей  $P_1: z = 0$  и  $P_2: z = 2$ . Тогда в соответствии с формулой (4.14) искомый поток  $\Pi = \iiint_V 2(1 + z) dx dy dz - \iint_{P_1} (\mathbf{a}, \mathbf{n}_1^0) ds - \iint_{P_2} (\mathbf{a}, \mathbf{n}_2^0) ds$ .

Вычислим каждый из интегралов по отдельности. Для тройного интеграла переходом к цилиндрическим координатам находим

$$2 \iiint_V (1 + z) dx dy dz = 2 \int_0^{2\pi} dj \int_0^1 r dr \int_0^2 (1 + z) dz = 8\pi. \text{ Так как}$$

нормаль к плоскости  $P_1$  имеет вид  $\mathbf{n}_1^0 = (0, 0, -1)$ , то  $\iint_{P_1} (\mathbf{a}, \mathbf{n}_1^0) ds = - \iint_{x^2 + y^2 \leq 1} z^2 dx dy = 0$ , поскольку  $z = 0$  в плоскости  $P_1$ .

Далее, на плоскости  $P_2$  имеем  $z = 2, \mathbf{n}_2^0 = (0, 0, 1)$ . Поэтому

$$\iint_{P_2} (\mathbf{a}, \mathbf{n}_2^0) ds = \iint_{x^2 + y^2 \leq 1} z^2 dx dy = 4 \iint_{x^2 + y^2 \leq 1} dx dy = 4\pi.$$

Таким образом,  $\Pi = 8\pi - 0 - 4\pi = 4\pi$ .

**4.35.** Найти поток поля  $\mathbf{a} = (x^2 yz, xy^2 z, xyz^2)$  через часть внешней стороны эллипсоида  $x^2/a^2 + y^2/b^2 + z^2/c^2 = 1$ , расположенную в первом октанте.

**Отв.:**  $a^2 b^2 c^2 / 8$ .

**4.36.** Найти поток поля  $\mathbf{a} = (x^3, y^3, z^3)$  через половину внешней стороны сферы  $x^2 + y^2 + z^2 = 2x, z \geq 0$ .

**Отв.:** 0.

**4.37.** Найти поток поля  $\mathbf{a} = (x + xy^2, y - yx^2, z - 3)$  через часть поверхности  $S$ , вырезаемую плоскостью  $P$  (нормаль внешняя к замкнутой поверхности, образуемой данными поверхностями):

1)  $\mathbf{a} = (x + xy^2, y - yx^2, z - 3); S: x^2 + y^2 = z^2 (z \geq 0), P: z = 1$ .

2)  $\mathbf{a} = (x + xz, y, z - x^2); S: x^2 + y^2 + z^2 = 4 (z \geq 0), P: z = 0$ .

**Отв.:** 1)  $3\pi$ ; 2)  $16\pi$ .

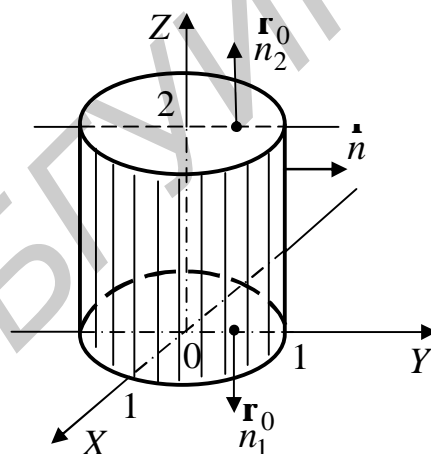


Рис. 4.5

### 4.3. Циркуляция векторного поля

**Циркуляция векторного поля вдоль контура и её физический смысл. Ротор векторного поля и его некоторые свойства**

Пусть в прямоугольной ДСК определено векторное поле  $\vec{a} = (P, Q, R)$ . Криволинейный интеграл

$$C = \oint_{\Gamma} (\vec{a}, \vec{t}^0) dl = \oint_{\Gamma} Pdx + Qdy + Rdz, \quad (4.15)$$

взятый по замкнутому контуру  $\Gamma$ , называется *циркуляцией вектора  $\vec{a}$  вдоль этого контура*. Здесь  $\vec{t}^0$  – единичный вектор касательной к контуру  $\Gamma$ , указывающий направление движения вдоль этого контура. Если  $\vec{a}$  – вектор силы, то циркуляция (4.15) представляет собой работу этой силы по замкнутому контуру  $\Gamma$ . В этом и состоит *физический смысл циркуляции*. Если контур  $\Gamma$  не является замкнутым, то КрИ  $\int_{\Gamma} (\vec{a}, \vec{t}^0) dl$  обычно называют

*линейным интегралом* от вектора  $\vec{a}$  вдоль ориентированной с помощью  $\vec{t}^0$  кривой  $\Gamma$ .

**4.38.** Вычислить циркуляцию поля  $\vec{a}(M) = (x, -2z^2, y)$  вдоль линии  $\Gamma$  пересечения цилиндра  $x^2/16 + y^2/9 = 1$  с плоскостью  $z = x + 2y + 2$  в положительном направлении обхода относительно вектора нормали плоскости  $\vec{n} = (-1, -2, 1)$ .

Δ Составим параметрические уравнения кривой  $\Gamma$ . Параметрические уравнения направляющей цилиндра  $x^2/16 + y^2/9 = 1$  имеют вид  $x = 4 \cos t$ ,  $y = 3 \sin t$ ,  $t \in [0, 2\pi]$ . Тогда параметрическими уравнениями кривой  $\Gamma$  (в плоскости сечения – это эллипс) будут  $x = 4 \cos t$ ,  $y = 3 \sin t$ ,  $z = 4 \cos t + 6 \sin t + 2$ ,  $0 \leq t \leq 2\pi$ . Поэтому искомая циркуляция будет равна

$$\begin{aligned} C &= \oint_{\Gamma} xdx - 2z^2 dy + ydz = \\ &= \int_0^{2\pi} (4 \cos t (-4 \sin t) - 2(4 \cos t + 6 \sin t + 2)^2 3 \cos t + 3 \sin t (-4 \sin t + 6 \cos t)) dt = \\ &= - \int_0^{2\pi} (96 \cos^2 t + 12 \sin^2 t) dt = - \int_0^{2\pi} 48(1 + \cos 2t) dt - 6 \int_0^{2\pi} (1 - \cos 2t) dt = \\ &= -48 \cdot 2\pi - 6 \cdot 2\pi = -108\pi. \quad \text{р} \end{aligned}$$

**4.39.** Найти циркуляцию поля  $\vec{a}$  вдоль контура  $\Gamma$  в направлении, соответствующем возрастанию параметра  $t$ :

- 1)  $\vec{a} = (x, -z^2, y)$ ;  $\Gamma: x = 2 \cos t, y = 3 \sin t, z = 4 \cos t - 3 \sin t - 3$ .
- 2)  $\vec{a} = (y - z, z - x, x - y)$ ;  $\Gamma: x = 2 \cos t, y = 2 \sin t, z = 3(1 - \cos t)$ .
- 3)  $\vec{a} = (-2z, -x, x^2)$ ;  $\Gamma: x = (\cos t)/3, y = (\sin t)/3, z = 8$ .
- 4)  $\vec{a} = (x, -3z^2, y)$ ;  $\Gamma: x = \cos t, y = 4 \sin t, z = 2 \cos t - 4 \sin t + 3$ .

5)  $\mathbf{r} = (x, -2z^2, y)$ ;  $\Gamma: x = 3 \cos t, y = 4 \sin t, z = 6 \cos t - 4 \sin t + 1$ .

Отв.: 1)  $60p$ ; 2)  $-20p$ ; 3)  $-p/9$ ; 4)  $-152p$ ; 5)  $-120p$ .

4.40. Вычислить циркуляцию вектора  $\mathbf{a} = (y, -z, x)$  вдоль эллипса  $\left\{ \frac{(x^2 + y^2)}{2} + z^2 = a^2, z = x \right\}$  в положительном направлении относительно орта  $\mathbf{i}$ .

Отв.:  $2pa^2$ .

Ротором или вихрем векторного поля  $\mathbf{a}(M) = (P, Q, R)$  называется вектор

$$\mathbf{rot} \mathbf{a}(M) = \left( \frac{\partial R}{\partial y} - \frac{\partial Q}{\partial z} \right) \mathbf{i} + \left( \frac{\partial P}{\partial z} - \frac{\partial R}{\partial x} \right) \mathbf{j} + \left( \frac{\partial Q}{\partial x} - \frac{\partial P}{\partial y} \right) \mathbf{k}. \quad (4.16)$$

Этот вектор можно символически (формально) получить из определителя

$$\mathbf{rot} \mathbf{a} = \begin{vmatrix} \mathbf{i} & \mathbf{j} & \mathbf{k} \\ \frac{\partial}{\partial x} & \frac{\partial}{\partial y} & \frac{\partial}{\partial z} \\ P & Q & R \end{vmatrix},$$

разложив его по элементам первой строки.

Используя понятие ротора и циркуляции, формулу Стокса (3.19) можно записать в векторной форме:

$$C = \oint_{\Gamma} (\mathbf{a}, \mathbf{t}^0) dl = \iint_S (\mathbf{rot} \mathbf{a}, \mathbf{n}^0) ds, \quad (4.17)$$

т. е. циркуляция векторного поля  $\mathbf{a}(M)$  вдоль замкнутого контура  $\Gamma$  равна потоку ротора этого поля через любую гладкую поверхность  $S$ , краем которой является  $\Gamma$  (направление обхода по  $\Gamma$  и сторона поверхности  $S$  согласованы).

Если  $\mathbf{rot} \mathbf{a} \neq 0$ , то это свидетельствует о вращении поля  $\mathbf{a}(M)$ , то есть поле носит вихревой характер.

Отметим некоторые свойства ротора векторного поля.

1.  $\mathbf{rot} \mathbf{c} = \mathbf{0}$ , где  $\mathbf{c}$  – постоянный вектор.

2.  $\mathbf{rot}(a\mathbf{a} + b\mathbf{b}) = a \mathbf{rot} \mathbf{a} + b \mathbf{rot} \mathbf{b}$ ,  $a, b \in \mathbf{R}$ .

3.  $\mathbf{rot}(j\mathbf{a}) = j \mathbf{rot} \mathbf{a} + [\mathbf{grad} j, \mathbf{a}]$ , где  $j(x, y, z)$  – скалярная гладкая функция.

4.41. Вычислить циркуляцию векторного поля  $\mathbf{a}(M) = (y, x^2, -z)$  по окружности  $\Gamma: x^2 + y^2 = 4, z = 3$  в положительном направлении обхода относительно орта  $\mathbf{k}$  двумя способами: 1) по формуле (4.15); 2) по формуле Стокса (4.17).

Δ 1) При возрастании параметра  $t$  от 0 до  $2\pi$  движение по окружности  $\Gamma$  происходит против хода часовой стрелки относительно орта  $\mathbf{k}$  (рис. 4.6).

Поэтому параметрические уравнения  
 есть  $x = 2 \cos t, y = 2 \sin t, z = 3, 0 \leq t \leq 2\pi$ .

Тогда

$$C = \oint_{\Gamma} y dx + x^2 dy - z dz = \int_0^{2\pi} (2 \sin t (-2 \sin t) +$$

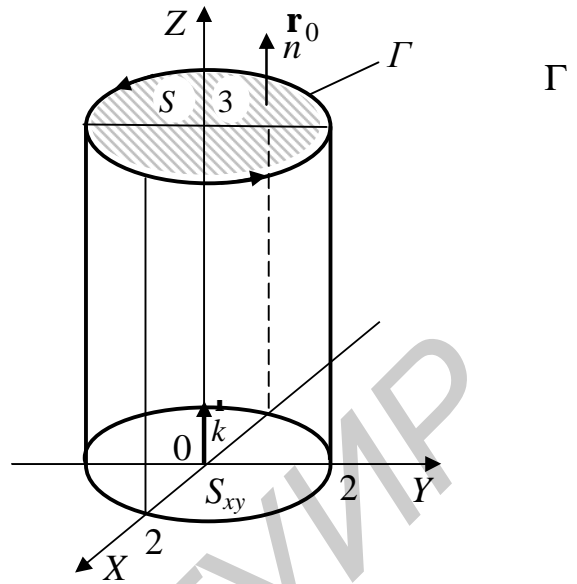


Рис. 4.6

$$+ 4 \cos^2 t 2 \cos t) dt = 8 \int_0^{2\pi} \cos^3 t dt - 4 \int_0^{2\pi} \sin^2 t dt = -4\pi.$$

2) В качестве поверхности  $S$  с краем  $\Gamma$  удобнее всего выбрать круг  $x^2 + y^2 \leq 4, z = 3$  (рис. 4.6). Тогда  $\mathbf{n}^0 = \mathbf{k}$ . Далее  $\text{rot } \mathbf{a} = (2x - 1)\mathbf{k}$ , и тогда, применив полярные координаты, получим

$$C = \iint_S (\text{rot } \mathbf{a}, \mathbf{n}^0) ds = \iint_{S_{xy}} (2x - 1) dx dy =$$

$$= \iint_S (2r \cos j - 1) dr dj = \int_0^{2\pi} dj \int_0^2 (2r \cos j - 1) r dr = -4\pi. \quad \text{Р}$$

**4.42.** Вершины  $D, B, A'$  куба  $ABCD A' B' C' D'$  находятся соответственно в точках  $(1, 0, 0), (0, 1, 0), (0, 0, 1)$ . Применяя формулу Стокса, вычислить циркуляцию векторного поля  $\mathbf{a} = (y, z, x)$  вдоль ломаной  $C'CDABB'A'D'$  (рис. 4.7).

Δ Обозначим данную ломаную через  $L_1$ . Чтобы сделать возможным применение формулы Стокса для вычисления искомого интеграла

$$\int_{L_1} (\mathbf{a}, \mathbf{t}^0) dl,$$

выражающего работу, дополним ломаную  $L_1$  до замкнутой кривой  $L$  отрезком  $L_2$  прямой, соединяющим точки  $D'$  и  $C'$ . На контур  $L$  «натянем» кусочно-гладкую поверхность  $S$ , состоящую из квадратов  $C'CDD', D'DAA'$

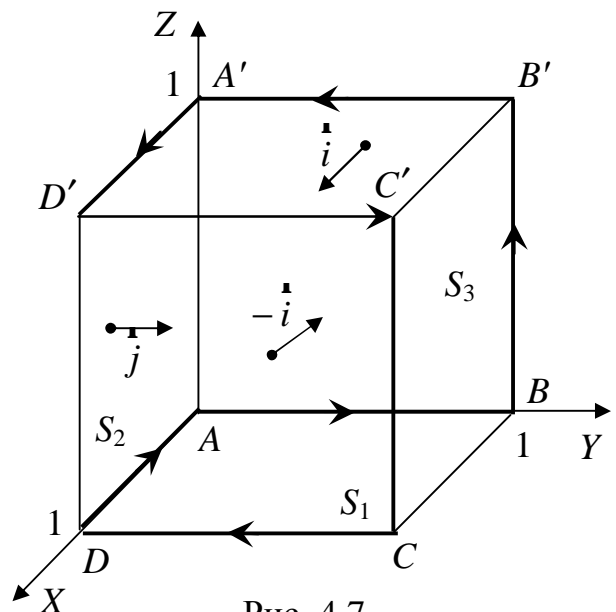


Рис. 4.7

и  $A'ABB'$ . Их обозначим соответственно  $S_1, S_2, S_3$ . Применяя формулу (4.17) к контуру  $L$  и поверхности  $S$ , имеем

$$\int_{L_1} (\mathbf{a}, \mathbf{t}^0) dl + \int_{L_2} (\mathbf{a}, \mathbf{t}^0) dl = \iint_{S_1} (\mathbf{rot} \mathbf{a}, \mathbf{n}^0) ds + \iint_{S_2} (\mathbf{rot} \mathbf{a}, \mathbf{n}^0) ds + \iint_{S_3} (\mathbf{rot} \mathbf{a}, \mathbf{n}^0) ds. \quad (4.18)$$

Находим  $\mathbf{rot} \mathbf{a} = (-1, -1, -1)$ . Орты нормалей на частях  $S_1, S_2, S_3$  поверхности  $S$  с учетом направления обхода контура  $L_1$  имеют вид  $\mathbf{n}^0(S_1) = -\mathbf{i}, \mathbf{n}^0(S_2) = \mathbf{j}, \mathbf{n}^0(S_3) = \mathbf{i}$ . Вычисляем поток вектора  $\mathbf{rot} \mathbf{a}$  через поверхность  $S$ , т. е. величину выражения в правой части (4.18):

$$\iint_S (\mathbf{rot} \mathbf{a}, \mathbf{n}^0) ds = \iint_{S_1} ds - \iint_{S_2} ds - \iint_{S_3} ds = -1.$$

Находим теперь циркуляцию поля  $\mathbf{a}$  вдоль отрезка  $L_2$  от точки  $D'$  до точки  $C'$ . На этой прямой вектор  $\mathbf{a} = (y, 1, 1), \mathbf{t}^0 = \mathbf{j}, dl = dy$  и, значит,  $\int_{L_2} (\mathbf{a}, \mathbf{t}^0) dl = \int_0^1 dy = 1$ .

Из формулы (4.18) следует, что искомый интеграл  $\int_{L_1} (\mathbf{a}, \mathbf{t}^0) dl$  (циркуляция поля  $\mathbf{a}$  вдоль  $L_1$ ) равен разности ПИ (поток  $\mathbf{rot} \mathbf{a}$  через поверхность  $S$ ) и КРИ  $\int_{L_2} (\mathbf{a}, \mathbf{t}^0) dl$  (циркуляция вдоль  $L_2$ ):  $\int_{L_1} (\mathbf{a}, \mathbf{t}^0) dl = -1 - 1 = -2$ . р

**4.43.** Проверить указанные равенства в координатной форме ( $\mathbf{a}, \mathbf{b} \in \mathbf{R}; j, a, b$  – дифференцируемые скалярное и векторные поля,  $\mathbf{c}$  – постоянный вектор):

$$1) \mathbf{rot} j \mathbf{c} = [\mathbf{grad} j, \mathbf{c}]. \quad 2) \mathbf{rot} [\mathbf{c}, \mathbf{a}] = \mathbf{c} \operatorname{div} \mathbf{a} - (\mathbf{c}, \nabla) \mathbf{a}.$$

$$3*) \mathbf{rot} [\mathbf{a}, \mathbf{b}] = \mathbf{a} \operatorname{div} \mathbf{b} - \mathbf{b} \operatorname{div} \mathbf{a} + (\mathbf{b}, \nabla) \mathbf{a} - (\mathbf{a}, \nabla) \mathbf{b}.$$

$$4) \operatorname{div} [\mathbf{a}, \mathbf{b}] = \mathbf{b} (\mathbf{rot} \mathbf{a}) - (\mathbf{a}, \mathbf{rot} \mathbf{b}).$$

**4.44.** Найти  $(\mathbf{r} = (x, y, z), r = |\mathbf{r}|; \mathbf{a}, \mathbf{b}$  – постоянные векторы,  $j(r)$  – дифференцируемое поле):

$$1) \mathbf{rot}(\mathbf{r} \mathbf{a}). \quad 2) \mathbf{rot}((\mathbf{r}, \mathbf{a}) \mathbf{b}). \quad 3) \mathbf{rot}(j(r) \mathbf{a}). \quad 4) \mathbf{rot}(j(r) \mathbf{r}).$$

$$\text{Отв.: } 1) [\mathbf{r}, \mathbf{a}]/r; \quad 2) [\mathbf{a}, \mathbf{b}]; \quad 3) j'(r) [\mathbf{r}, \mathbf{a}]/r; \quad 4) 0.$$

**4.45.** Найти угол между  $\mathbf{rot} \mathbf{a}(M_1)$  и  $\mathbf{rot} \mathbf{a}(M_2)$  если

$$1) \mathbf{a} = (x^2 + y^2, y^2 + z^2, z^2 + x^2); M_1 = (1, 2, 3), M_2 = (1, 1, -1).$$

$$2) \mathbf{a} = (z^3, x^3 + y^3, xyz); M_1 = (1, 2, 0), M_2 = (1, 1, 2, 4).$$

$$\text{Отв.: } 1) p/2; \quad 2) \arccos(3/5).$$

**4.46.** Показать, что поле  $\mathbf{rot} \mathbf{a}(M)$  свободно от источников и стоков.

**4.47.** Найти функцию  $f(x, z)$ , если  $\mathbf{rot}(yz, f(x, z), xy) = (-1, 0, 1)$ .

$$\text{Отв.: } f(x, z) = xz + x + z + c, c - const.$$

#### 4.4. Соленоидальные и потенциальные векторные поля

**Соленоидальные векторные поля. Потенциальные векторные поля. Потенциалы. Криволинейный интеграл в потенциальном поле**

Векторное поле  $\mathbf{a}(M)$  называется *соленоидальным* в области  $V$ , если в этой области

$$\operatorname{div}(\mathbf{a}(M)) = 0. \quad (4.19)$$

Равенство (4.19) называется *условием соленоидальности* векторного поля  $\mathbf{a}(M)$  в  $V$ .

Так как  $\operatorname{div}(\mathbf{a}(M))$  характеризует плотность источников поля  $\mathbf{a}$ , то в области соленоидальности поля нет источников и стоков этого поля. Например, электрическое поле  $\mathbf{E}$  точечного заряда соленоидально, ибо  $\operatorname{div}\mathbf{E} = 0$  всюду вне точки нахождения заряда (в этой точке  $\operatorname{div}\mathbf{E} = \infty$ ).

В соленоидальном поле  $V$  векторные (силовые) линии не могут начинаться или заканчиваться. Они могут быть либо замкнутыми кривыми, либо иметь концы на границе поля.

Из формулы Остроградского–Гаусса следует, что в соленоидальном поле поток векторного поля  $\mathbf{a}(M)$  через любую замкнутую поверхность  $S$ , лежащую в этом поле, равен нулю:

$$\oiint_S (\mathbf{a}, \mathbf{n}^0) ds = 0.$$

Если векторное поле  $\mathbf{a}(M)$  можно представить в виде ротора некоторого векторного поля  $\mathbf{b}(M)$ , то  $\mathbf{b}(M)$  называется *векторным потенциалом* поля  $\mathbf{a}(M)$ .

Легко проверить, что  $\operatorname{div} \operatorname{rot} \mathbf{b} = 0$ , т.е. поле вектора  $\mathbf{a} = \operatorname{rot} \mathbf{b}$  является соленоидальным.

**4.48.** Является ли векторное поле  $\mathbf{a}$  соленоидальным, если

- 1)  $\mathbf{a} = (x(z^2 - y^2), y(x^2 - z^2), z(y^2 - x^2))$ .
- 2)  $\mathbf{a} = (y^2, -(x^2 + y^3), z(3y^2 + 1))$ .
- 3)  $\mathbf{a} = (1 + 2xy, -y^2z, z^2 - 2zy + 1)$ .
- 4)  $\mathbf{a} = [\mathbf{u}, \mathbf{v}]$ ,  $\mathbf{u} = (x, y, z)$ ,  $\mathbf{v} = (y, z, x)$ .

**Отв.:** 1) Да. 2) Нет. 3) Да. 4) Нет.

**4.49.** Найти дивергенцию *сферического векторного поля*  $\mathbf{a} = f(r) \cdot \mathbf{r}$ ,  $\mathbf{r} = (x, y, z)$ ,  $r = |\mathbf{r}|$ . Определить вид функции  $f(r)$ , для которой поле  $\mathbf{a}$  является соленоидальным.

**Отв.:**  $\operatorname{div}\mathbf{a} = f'(r)r + 3f(r)$ ;  $f(r) = c/r^3$ ,  $c = \text{const}$ .

**4.50.** Показать, что поле вектора  $\mathbf{E} = \frac{q}{r^2} \mathbf{r}^0$ ,  $\mathbf{r} = (x, y, z)$ ,  $r = |\mathbf{r}|$  является

соленоидальным во всякой области, не содержащей начала координат  $O = (0,0,0)$ .

Векторное поле  $\mathbf{a} = (P, Q, R)$  называется *потенциальным* или *безвихревым* в некоторой области  $V$ , если

$$\mathbf{rot} \mathbf{a}(M) = \mathbf{0}, \forall M \in V. \quad (4.20)$$

Равенство (4.20) называется *условием потенциальности* поля  $\mathbf{a}$ . Это условие, согласно определению ротора, равносильно выполнению равенств

$$\frac{\partial R}{\partial y} = \frac{\partial Q}{\partial z}, \frac{\partial P}{\partial z} = \frac{\partial R}{\partial x}, \frac{\partial Q}{\partial x} = \frac{\partial P}{\partial y}. \quad (4.21)$$

Имеет место следующее утверждение: *если в односвязной области  $V$  задано векторное поле  $\mathbf{a} = (P, Q, R)$ , где  $P, Q, R$  – гладкие функции, то для того, чтобы поле  $\mathbf{a}$  было потенциальным, в  $V$  необходимо и достаточно, чтобы существовала дважды непрерывно дифференцируемая скалярная функция  $u = u(x, y, z)$ , такая, что*

$$\mathbf{a} = \mathbf{grad} u. \quad (4.22)$$

Функция  $u = u(x, y, z)$ , удовлетворяющая в области  $V$  равенству (4.22), называется *потенциалом* или *потенциальной функцией* векторного поля  $\mathbf{a}$ .

Соотношение (4.22) равносильно следующим трем скалярным равенствам:

$$\frac{\partial u}{\partial x} = P(x, y, z), \quad \frac{\partial u}{\partial y} = Q(x, y, z), \quad \frac{\partial u}{\partial z} = R(x, y, z). \quad (4.23)$$

Потенциал поля определяется неоднозначно с точностью до постоянной.

В случае потенциальности поля  $\mathbf{a} = (P, Q, R)$  задача нахождения потенциала  $u$  равносильна восстановлению функции  $u$  по ее полному дифференциалу  $du = Pdx + Qdy + Rdz$ .

Потенциал  $u$  поля  $\mathbf{a} = (P, Q, R)$  можно найти по формуле

$$u(x, y, z) = \int_{(x_0, y_0, z_0)}^{(x, y, z)} P(x, y, z)dx + Q(x, y, z)dy + R(x, y, z)dz, \quad (4.24)$$

где  $(x_0, y_0, z_0)$  – некоторая фиксированная точка поля, а  $(x, y, z)$  – произвольная текущая точка. Обычно в качестве пути, соединяющего точку  $M_0 = (x_0, y_0, z_0)$  и  $M = (x, y, z)$ , выбирают ломаную  $M_0ABM$ , звенья которой параллельны координатным осям и не выходят за пределы области:  $M_0A$  параллельно  $X$ ,  $AB$  параллельно  $Y$ ,  $BM$  параллельно  $Z$  (рис. 4.8). Тогда формула (4.24) примет вид

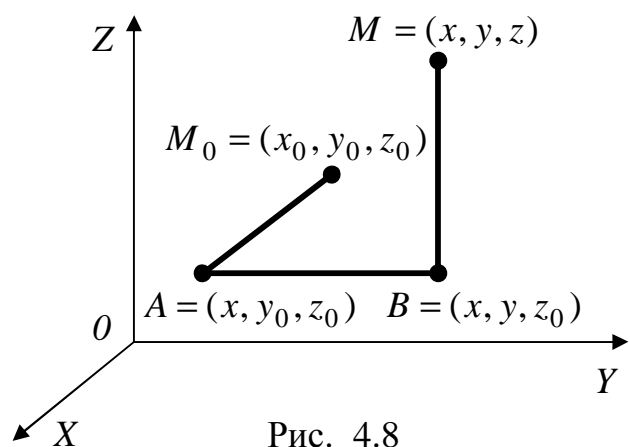


Рис. 4.8



$$\frac{\partial u}{\partial z} = x + y. \quad (4.29)$$

Интегрируя (4.27) по  $x$ , получаем

$$u(x, y, z) = \int_0^x (y + z) dx = xy + xz + f(y, z), \quad (4.30)$$

где  $f(y, z)$  – произвольная дифференцируемая функция, играющая роль константы при интегрировании по  $x$ . Дифференцируя обе части (4.30) по  $y$  с учетом (4.28), получаем

$$\frac{\partial u}{\partial y} = x + \frac{\partial f}{\partial y} \Leftrightarrow x + z = x + \frac{\partial f}{\partial y} \Rightarrow z = \frac{\partial f}{\partial y}. \quad (4.31)$$

Равенство (4.31) интегрируем по  $y$ :

$$f(y, z) = \int_0^y f(y, z) dy = \int_0^y z dy = zy + F(z), \quad (4.32)$$

где  $F(z)$  – неопределенная пока функция от  $z$ . Из (4.32) и (4.30) имеем

$$u(x, y, z) = xy + xz + F(z).$$

Это равенство дифференцируем по  $z$  и с учетом (4.29) получим

$$x + y = x + y + \frac{\partial F}{\partial z} \Rightarrow \frac{\partial F}{\partial z} = 0 \Rightarrow F = c - const.$$

Итак,  $u(x, y, z) = xy + xz + zy + c$ . **Р**

**4.54.** Вычислить криволинейный интеграл в поле вектора  $\vec{a} = (yz + 1, xz, xy)$  вдоль отрезка прямой, соединяющей точки  $O = (0, 0, 0)$  и  $A = (1, 2, 3)$ .

Δ Убедившись, что поле  $\vec{a}$  потенциально, как и в примере 4.53, найдем его потенциал  $u(x, y, z) = x + xyz + c$ . По формуле (4.26) искомый КрИ

$$\int_0^A (yz + 1) dx + xz dy + xy dz = u(A) - u(O) = (1 \cdot 2 \cdot 3 + 1 + c) - c = 7. \quad \mathbf{P}$$

**4.55.** Доказать потенциальность поля и найти его потенциал:

1)  $\vec{a} = (3x^2y - y^3, x^3 - 3xy^2)$ .

2)  $\vec{a} = \left( \frac{\sin 2x \cos 2y}{\sqrt{\cos^2 x \sin^2 y + \sin^2 x \cos^2 y}}, \frac{\cos 2x \sin 2y}{\sqrt{\cos^2 x \sin^2 y + \sin^2 x \cos^2 y}} \right)$

3)  $\vec{a} = (yz - xy, xz - x^2/2 + yz^2, xy + y^2z)$ .

4\*)  $\vec{a} = \left( \frac{1}{z} - \frac{y}{x^2}, \frac{1}{x} - \frac{z}{y^2}, \frac{1}{y} - \frac{x}{z^2} \right)$

5\*)  $\vec{a} = \left( \frac{z}{y^2} - \frac{y}{z^2} - \frac{2yz}{x^3}, \frac{z}{x^2} - \frac{x}{z^2} - \frac{2xz}{y^3}, \frac{y}{x^2} + \frac{x}{y^2} + \frac{2xy}{z^3} \right)$

**Отв.:** 1)  $xy(x^2 - y^2) + c$ ; 2)  $\sqrt{\cos^2 x \sin^2 y + \sin^2 x \cos^2 y} + c$ ;

$$3) \quad xyz - \frac{1}{2}(x^2y + y^2z^2) + c; \quad 4) \quad \frac{y}{x} + \frac{z}{y} + \frac{x}{z} + c; \quad 5) \quad \frac{yz}{x^2} + \frac{xz}{y^2} - \frac{xy}{z^2} + c.$$

**4.56.** Доказать потенциальность поля  $\mathbf{a}(M)$ , найти его потенциал и вычислить значения соответствующего КрИ-2 по дуге  $AB$ , где  $A$  – начало дуги,  $B$  – ее конец:

$$1) \quad \mathbf{a} = (2xyz, x^2z, x^2y), \quad A = (1, -1, 2), B = (-2, 4, 2).$$

$$2) \quad \mathbf{a} = (x^2 - 2yz, y^2 - 2xz, z^2 - 2xy), \quad A = (1, -1, 1), B = (-2, 2, 3).$$

$$3) \quad \mathbf{a} = (2xy + z^2, 2xy + x^2, 2xz + y^2), \quad A = (0, 1, -2), B = (2, 3, 1).$$

Отв.: 1) 34; 2) 92/3; 3) 25.

#### 4.5. Дифференциальные операции 2-го порядка. Векторные операции в криволинейных ортогональных координатах

**Оператор Гамильтона «набла».** Дифференциальные операции второго порядка. Оператор Лапласа. Гармонические функции. Криволинейные ортогональные координаты в пространстве. Коэффициенты Ламэ в различных ортогональных системах координат. Градиент, дивергенция, ротор и оператор Лапласа в цилиндрической и сферической системах координат

Операции  $\mathbf{grad} u$ ,  $\mathit{div} \mathbf{a}$ ,  $\mathit{rot} \mathbf{a}$ ,  $\mathbf{a} = (P, Q, R)$  выражаются через частные производные первого порядка:

$$\mathbf{grad} u = \left( \frac{\partial u}{\partial x}, \frac{\partial u}{\partial y}, \frac{\partial u}{\partial z} \right); \quad \mathit{div} \mathbf{a} = \frac{\partial P}{\partial x} + \frac{\partial Q}{\partial y} + \frac{\partial R}{\partial z}; \quad \mathit{rot} \mathbf{a} = \begin{vmatrix} \mathbf{i} & \mathbf{j} & \mathbf{k} \\ \frac{\partial}{\partial x} & \frac{\partial}{\partial y} & \frac{\partial}{\partial z} \\ P & Q & R \end{vmatrix}.$$

Эти соотношения могут быть записаны кратко с помощью символического вектора «набла» (оператора Гамильтона):

$$\nabla = \frac{\partial}{\partial x} \mathbf{i} + \frac{\partial}{\partial y} \mathbf{j} + \frac{\partial}{\partial z} \mathbf{k} = \left( \frac{\partial}{\partial x}, \frac{\partial}{\partial y}, \frac{\partial}{\partial z} \right) \quad \text{т. е.}$$

$$\nabla u = \mathbf{grad} u.$$

Для производной поля  $u$  в точке  $M$  по направлению произвольного единичного вектора  $\mathbf{l}^0 = (l_x^0, l_y^0, l_z^0)$  верна формула

$$\frac{\partial u}{\partial l} = (\mathbf{l}^0, \mathbf{grad} u). \quad (4.33)$$

Вводя скалярный дифференциальный символ  $(\mathbf{l}^0, \nabla)$ , имеющий координатный вид

$$(\mathbf{l}^0, \nabla) = l_x^0 \frac{\partial u}{\partial x} + l_y^0 \frac{\partial u}{\partial y} + l_z^0 \frac{\partial u}{\partial z},$$

равенство (4.33) записывают в виде

$$\frac{\partial u}{\partial l} = (\mathbf{l}^0, \nabla)u. \quad (4.34)$$

Далее,

$$(\nabla, \mathbf{a}) = \frac{\partial}{\partial x} P + \frac{\partial}{\partial y} Q + \frac{\partial}{\partial z} R = \frac{\partial P}{\partial x} + \frac{\partial Q}{\partial y} + \frac{\partial R}{\partial z},$$

т. е.

$$(\nabla, \mathbf{a}) = \text{div } \mathbf{a}. \quad (4.35)$$

Кроме того,  $[\nabla, \mathbf{a}] = \begin{vmatrix} \mathbf{i} & \mathbf{j} & \mathbf{k} \\ \frac{\partial}{\partial x} & \frac{\partial}{\partial y} & \frac{\partial}{\partial z} \\ P & Q & R \end{vmatrix}$ , т. е.

$$[\nabla, \mathbf{a}] = \text{rot } \mathbf{a}. \quad (4.36)$$

Если символический оператор  $\nabla$  действует на произведение, то необходимо применять его к каждому сомножителю отдельно, считая другой сомножитель постоянным. Затем, пользуясь правилами векторной алгебры, следует преобразовать каждое слагаемое так, чтобы оператор  $\nabla$  стоял перед последним сомножителем.

**4.57.** Используя правила действия с  $\nabla$ , показать, что

а)  $\text{grad}(uv) = v \text{ grad } u + u \text{ grad } v$ ;

б)  $\text{rot}[\mathbf{a}, \mathbf{c}] = (\mathbf{c}, \nabla)\mathbf{a} - \mathbf{c} \text{ div } \mathbf{a}$ ,  $\mathbf{c} = \text{const}$ .

г а) Имеем:  $\text{grad}(uv) = \nabla(\mathbf{i}, v) + \nabla(u, \mathbf{j})$  («шапочка»  $\cap$  указывает функцию, на которую «действует» оператор). Но

$$\nabla(\mathbf{i}, v) = v \nabla \mathbf{i} = v \text{ grad } u, \quad \nabla(u, \mathbf{j}) = u \nabla \mathbf{j} = u \text{ grad } v, \text{ и формула а) доказана.}$$

б) По известной формуле векторной алгебры  $[\mathbf{a}, [\mathbf{b}, \mathbf{c}]] = (\mathbf{a}, \mathbf{c})\mathbf{b} - (\mathbf{a}, \mathbf{b})\mathbf{c}$ .

Учитывая соотношение  $[\nabla, [\mathbf{a}, \mathbf{c}]] = 0$ ,  $(\mathbf{c} = \text{const})$ , и поэтому результат действия  $\nabla$  на  $\mathbf{c}$  есть нуль), имеем:

$$\text{rot}[\mathbf{a}, \mathbf{c}] = [\nabla, [\mathbf{a}, \mathbf{c}]] = [\nabla, [\mathbf{a}, \mathbf{c}]] + [\nabla, [\mathbf{a}, \mathbf{c}]] = (\nabla, \mathbf{c})\mathbf{a} - (\nabla, \mathbf{a})\mathbf{c}.$$

Но  $(\nabla, \mathbf{c})\mathbf{a} = (\mathbf{c}, \nabla)\mathbf{a}$ , а это и есть производная вектора  $\mathbf{a}$  по направлению вектора  $\mathbf{c}$  (см. 4.34). Таким образом, равенство б) доказано. р

**4.58.** С помощью оператора  $\nabla$  доказать следующие равенства ( $\mathbf{c} = \text{const}$ ,  $\mathbf{a}$  и  $\mathbf{b}$  – переменные векторы):

1)  $\text{div}(\mathbf{c}u) = (\mathbf{c}, \text{grad } u)$ .      2)  $\text{div}(\mathbf{a}u) = u \text{ div } \mathbf{a} + (\mathbf{a}, \text{grad } u)$ .

3)  $\text{grad}(\mathbf{a}, \mathbf{c}) = [\mathbf{c}, \text{rot } \mathbf{a}] + (\mathbf{c}, \nabla)\mathbf{a}$ .

4)  $\text{grad}(\mathbf{a}, \mathbf{b}) = [\mathbf{b}, \text{rot } \mathbf{a}] + [\mathbf{a}, \text{rot } \mathbf{b}] + (\mathbf{b}, \nabla)\mathbf{a} + (\mathbf{a}, \nabla)\mathbf{b}$ .

5)  $\text{div}[\mathbf{a}, \mathbf{c}] = (\mathbf{c}, \text{rot } \mathbf{a})$ .

6)  $\text{div}[\mathbf{a}, \mathbf{b}] = (\mathbf{b}, \text{rot } \mathbf{a}) - (\mathbf{a}, \text{rot } \mathbf{b})$ .

7)  $\text{rot}(\mathbf{c}u) = [\text{grad } u, \mathbf{c}]$ .

8)  $\text{rot}(\mathbf{a}u) = u \text{ rot } \mathbf{a} + [\text{grad } u, \mathbf{a}]$ .

$$9) \text{rot} [\overset{\mathbf{r}}{a}, \overset{\mathbf{r}}{b}] = (\overset{\mathbf{r}}{b}, \nabla) \overset{\mathbf{r}}{a} - (\overset{\mathbf{r}}{a}, \nabla) \overset{\mathbf{r}}{b} + \overset{\mathbf{r}}{a} \text{div} \overset{\mathbf{r}}{b} - \overset{\mathbf{r}}{b} \text{div} \overset{\mathbf{r}}{a}.$$

Пусть  $u = u(x, y, z)$  – скалярное поле,  $\overset{\mathbf{r}}{a} = (P, Q, R)$  – векторное поле. Предполагаем, что в области задания  $V$  этих полей функции  $u, P, Q, R$  имеют непрерывные частные производные второго порядка. Тогда  $\text{grad} u(M)$  и  $\text{rot} \overset{\mathbf{r}}{a}(M)$  являются дифференцируемыми векторными полями, а  $\text{div} \overset{\mathbf{r}}{a}(M)$  – дифференцируемым скалярным полем.

К дифференциальным операциям второго порядка относятся следующие:

$$\text{div grad } u, \text{rot grad } u, \text{grad div } \overset{\mathbf{r}}{a}, \text{div rot } \overset{\mathbf{r}}{a}, \text{rot rot } \overset{\mathbf{r}}{a}.$$

Эти операции с помощью оператора Гамильтона  $\nabla$  записываются следующим образом:

$$\begin{aligned} \text{div grad } u &= (\nabla, \nabla u); \quad \text{rot grad } u = [\nabla, \nabla u]; \quad \text{grad div } \overset{\mathbf{r}}{a} = \nabla((\nabla, \overset{\mathbf{r}}{a})); \\ \text{div rot } \overset{\mathbf{r}}{a} &= (\nabla, [\nabla, \overset{\mathbf{r}}{a}]); \quad \text{rot rot } \overset{\mathbf{r}}{a} = [\nabla, [\nabla, \overset{\mathbf{r}}{a}]]. \end{aligned} \quad (4.37)$$

Символ  $\nabla$  может встречаться в выражении не раз, создавая дифференциальные символы второго и более высоких порядков.

Символ  $\text{div grad} = (\nabla, \nabla) = \nabla^2$  обозначается  $\Delta$  и называется оператором Лапласа, или лапласианом. Нетрудно видеть, что

$$\Delta u = \nabla^2 u = \text{div grad } u = \frac{\partial^2 u}{\partial x^2} + \frac{\partial^2 u}{\partial y^2} + \frac{\partial^2 u}{\partial z^2}. \quad (4.38)$$

Уравнение  $\Delta u = 0$  называется уравнением Лапласа. Оно используется в уравнениях математической физики. Функция  $u = u(x, y, z)$ , удовлетворяющая в области  $V$  уравнению Лапласа, называется гармонической в этой области.

Можно легко показать, что

$$\text{div rot } \overset{\mathbf{r}}{a} \equiv 0, \quad \text{rot grad } u \equiv \overset{\mathbf{r}}{0}. \quad (4.39)$$

**4.59.** Доказать следующие равенства ( $u$  и  $v$  – скалярные поля):

а)  $\text{div}(u \text{ grad } v) = (\text{grad } u, \text{grad } v) + u \Delta v;$

б)\*  $\Delta(uv) = v \Delta u + 2(\text{grad } u, \text{grad } v) + u \Delta v.$

г а) Используя оператор Гамильтона, получаем

$$\text{div}(u \text{ grad } v) = (\nabla, (u \nabla v)) = (\nabla u, \nabla v) + u \nabla^2 v = (\text{grad } u, \text{grad } v) + u \Delta v.$$

б) Используя формулы

$$\Delta u = \nabla^2 u = (\nabla, \nabla u), \quad \nabla(uv) = v \nabla u + u \nabla v, \quad (\nabla, v \nabla u) = (\nabla u, \nabla v) + v \nabla^2 u,$$

находим

$$\begin{aligned} \Delta(uv) &= (\nabla, \nabla(uv)) = (\nabla, (v \nabla u + u \nabla v)) = (\nabla, v \nabla u) + (\nabla, u \nabla v) = \\ &= (\nabla v, \nabla u) + v \nabla^2 u + u \nabla^2 v = v \nabla^2 u + 2(\nabla u, \nabla v) + u \nabla^2 v = \\ &= v \Delta u + 2(\text{grad } u, \text{grad } v) + u \Delta v. \quad \text{р} \end{aligned}$$

**4.60.\*** Доказать, что для векторного поля  $\overset{\mathbf{r}}{a}$  справедлива формула

$$\text{rot rot } \overset{\mathbf{r}}{a} = \text{grad div } \overset{\mathbf{r}}{a} - \Delta \overset{\mathbf{r}}{a}.$$

**4.61.** Вычислить:

1)  $\Delta(1/r)$ , где  $r = \sqrt{x^2 + y^2 + z^2}, r \neq 0$ .

**Отв.:** 0.

2)  $\Delta \overset{\mathbf{r}}{a}$ , если  $\overset{\mathbf{r}}{a} = ((y^2 + z^2)x, (x^2 + z^2)y, (x^2 + y^2)z)$ .

**Отв:**  $4\overset{\mathbf{r}}{r} = 4(x, y, z)$ .

4.62. Доказать гармоничность плоского поля

$$\mathbf{a} = \mathbf{r} / r^2, \quad \mathbf{r} = (x, y), r = |\mathbf{r}|.$$

4.63. Доказать гармоничность поля сил тяготения точечной массы и поля кулоновских сил точечного заряда.

Пусть  $x, y, z$  – прямоугольные координаты точки  $M$ . Как отмечено в п. 1.2, ее положение можно задать также с помощью криволинейных координат  $q_1, q_2, q_3$ , связь которых с  $x, y, z$  запишем в виде

$$x = x(q_1, q_2, q_3), \quad y = y(q_1, q_2, q_3), \quad z = z(q_1, q_2, q_3). \quad (4.40)$$

При изменении  $q_1$  и фиксированных значениях  $q_2, q_3$  точка с координатами  $x, y, z$ , определяемая формулами (4.40), описывает в пространстве некоторую кривую, называемую *координатной линией*  $q_1$ . Аналогично определяются координатные линии  $q_2, q_3$ . Криволинейные координаты называются *ортогональными*, если в любой точке три координатные линии, проходящие через нее, попарно ортогональны, т. е. попарно ортогональны касательные к координатным линиям в этой точке.

Элементы  $dl_1, dl_2, dl_3$  длин дуг координатных линий  $q_1, q_2, q_3$  выражаются формулами  $dl_1 = H_1 dq_1, dl_2 = H_2 dq_2, dl_3 = H_3 dq_3$ , соответственно. Здесь величины

$$\begin{aligned} H_1 &= \sqrt{\left(\frac{\partial x}{\partial q_1}\right)^2 + \left(\frac{\partial y}{\partial q_1}\right)^2 + \left(\frac{\partial z}{\partial q_1}\right)^2}, \\ H_2 &= \sqrt{\left(\frac{\partial x}{\partial q_2}\right)^2 + \left(\frac{\partial y}{\partial q_2}\right)^2 + \left(\frac{\partial z}{\partial q_2}\right)^2}, \\ H_3 &= \sqrt{\left(\frac{\partial x}{\partial q_3}\right)^2 + \left(\frac{\partial y}{\partial q_3}\right)^2 + \left(\frac{\partial z}{\partial q_3}\right)^2} \end{aligned} \quad (4.41)$$

называются *параметрами Ламэ* криволинейных координат  $q_1, q_2, q_3$ . Они характеризуют в каждой точке пространства изменение длины координатной линии  $dl_i$  в зависимости от изменения  $dq_i$  соответствующей криволинейной координаты  $q_i, i=1,2,3$ .

В цилиндрической системе координат  $q_1 = r, q_2 = j, q_3 = z$  формулы (4.41) дают  $H_1 = 1, H_2 = r, H_3 = 1$ , а в сферической системе координат  $q_1 = r, q_2 = q, q_3 = j$  –  $H_1 = 1, H_2 = r, H_3 = r \sin q$ .

Запишем теперь операции **grad**, **div**, **rot**,  $\Delta$  в цилиндрической и сферической системах координат.

*Цилиндрическая система координат (ЦСК)*

Пусть  $\{\mathbf{e}_r, \mathbf{e}_j, \mathbf{e}_z\}$  – базис в точке  $M$  (базисные единичные векторы  $\mathbf{e}_r, \mathbf{e}_j, \mathbf{e}_z$  направлены по касательным к координатным линиям в точке  $M$  в сторону возрастания  $r, j, z$ ). Тогда в ЦСК для скалярного поля  $u(M)$  и

векторного поля  $\dot{\mathbf{a}}(M) = (P, Q, R)$ :

$$\begin{aligned} \mathbf{grad} u &= \frac{\partial u}{\partial r} \mathbf{e}_r + \frac{1}{r} \frac{\partial u}{\partial j} \mathbf{e}_j + \frac{\partial u}{\partial z} \mathbf{e}_z; \\ \mathbf{div} \mathbf{a} &= \frac{1}{r} \frac{\partial(rP)}{\partial r} + \frac{1}{r} \frac{\partial Q}{\partial j} + \frac{1}{r} \frac{\partial R}{\partial z}; \\ \mathbf{rot} \mathbf{a} &= \left( \frac{1}{r} \frac{\partial R}{\partial j} - \frac{\partial Q}{\partial z} \right) \mathbf{e}_r + \left( \frac{\partial P}{\partial z} - \frac{\partial R}{\partial j} \right) \mathbf{e}_j + \frac{1}{r} \left( \frac{\partial(rQ)}{\partial r} - \frac{\partial P}{\partial j} \right) \mathbf{e}_z; \\ \Delta u &= \frac{1}{r} \frac{\partial}{\partial r} \left( r \frac{\partial u}{\partial r} \right) + \frac{1}{r^2} \frac{\partial^2 u}{\partial j^2}. \end{aligned} \quad (4.42)$$

*Сферическая система координат (ССК)*

Пусть теперь  $\{\mathbf{e}_r, \mathbf{e}_q, \mathbf{e}_j\}$  – базис в точке  $M$  в ССК  $r, q, j$ . Тогда

$$\begin{aligned} \mathbf{grad} u &= \frac{\partial u}{\partial r} \mathbf{e}_r + \frac{1}{r} \frac{\partial u}{\partial q} \mathbf{e}_q + \frac{1}{r \sin q} \frac{\partial u}{\partial j} \mathbf{e}_j; \\ \mathbf{div} \mathbf{a} &= \frac{1}{r^2} \frac{\partial(r^2 P)}{\partial r} + \frac{1}{r \sin q} \frac{\partial(Q \sin q)}{\partial q} + \frac{1}{r \sin q} \frac{\partial R}{\partial j}; \\ \mathbf{rot} \mathbf{a} &= \frac{1}{r \sin q} \left( \frac{\partial(R \sin q)}{\partial q} - \frac{\partial Q}{\partial j} \right) \mathbf{e}_r + \frac{1}{r} \left( \frac{1}{\sin q} \frac{\partial P}{\partial j} - Q \frac{\partial(rR)}{\partial r} \right) \mathbf{e}_q + \\ &\quad + \frac{1}{r} \left( \frac{\partial(rQ)}{\partial r} - \frac{\partial P}{\partial q} \right) \mathbf{e}_j; \\ \Delta u &= \frac{1}{r^2} \frac{\partial}{\partial r} \left( r^2 \frac{\partial u}{\partial r} \right) + \frac{1}{r^2 \sin q} \frac{\partial}{\partial q} \left( \sin q \frac{\partial u}{\partial q} \right) + \frac{1}{r^2 \sin^2 q} \frac{\partial^2 u}{\partial j^2}. \end{aligned} \quad (4.43)$$

**4.64.** Найти общий вид потенциального поля  $\dot{\mathbf{a}}$  в сферических координатах с проекциями, зависящими только от радиальной координаты  $r$  (*сферически симметричное поле*).

В ССК поле  $\dot{\mathbf{a}} = a_r \mathbf{e}_r + a_q \mathbf{e}_q + a_j \mathbf{e}_j$ , где по условию

$$a_r = a_r(r), a_q = a_q(q), a_j = a_j(r). \quad (4.44)$$

Для поля  $\dot{\mathbf{a}}$ , согласно (4.43) и условию задачи, имеем

$$\mathbf{rot} \mathbf{a} = \frac{1}{r \sin q} \left( \frac{\partial(a_j \sin q)}{\partial q} - \frac{\partial a_q}{\partial j} \right) \mathbf{e}_r + \frac{1}{r} \left( \frac{1}{\sin q} \frac{\partial a_r}{\partial j} - \frac{\partial(r a_j)}{\partial r} \right) \mathbf{e}_q + \frac{1}{r} \left( \frac{\partial(r a_q)}{\partial r} - \frac{\partial a_r}{\partial q} \right) \mathbf{e}_j = \mathbf{0}.$$

Отсюда, приравнявая к нулю координаты, с учетом (4.44), получаем

$$\left. \begin{aligned} \frac{a_j(r)}{r} \operatorname{ctg} q &= 0, \\ -\frac{da_j(r)}{dr} - \frac{a_j(r)}{r} &= 0, \\ \frac{da_q(r)}{dr} + \frac{a_q(r)}{r} &= 0 \end{aligned} \right\} \quad (4.45)$$

(здесь принято обозначение дифференцирования через  $d$ , так как функции  $a_r, a_q, a_j$  зависят только от  $r$ ). Из первого равенства системы (4.45) имеем

$a_j(r) = 0$ , а из третьего равенства получим

$$\frac{da_q}{dr} = -\frac{a_q}{r} \Rightarrow \frac{da_q}{a_q} = -\frac{dr}{r} \Rightarrow d \ln a_q = d(-\ln r).$$

Так как функции с равными дифференциалами отличаются на постоянную, которую для удобства обозначим  $\ln c, c > 0$ , то

$$\ln a_q = -\ln r + \ln c \Rightarrow a_q = \frac{c}{r}, \quad c - const.$$

Таким образом, искомое поле имеет вид

$$\mathbf{a} = f(r)\mathbf{e}_r + \frac{c}{r}\mathbf{e}_q, \text{ где } f(r) - \text{произвольная дифференцируемая функция. } \mathbf{p}$$

**4.65.** Найти сферически симметричное решение уравнения Пуассона  $\Delta u = 1/r$ , т. е. решение, зависящее только от  $r$ .

**Отв.:**  $u = r/2 - c_1/r + c_2; \quad c_1, c_2 - const.$

**4.66.** \*Перейти к цилиндрическим координатам в выражении для  $\mathbf{a} = \dot{\mathbf{r}}/r, \dot{\mathbf{r}} = (x, y, 0), r = |\dot{\mathbf{r}}|$  и найти  $div \mathbf{a}$  и  $rot \mathbf{a}$ .

**Отв.:**  $div \mathbf{a} = 2z^2 / (r^2 + z^2)^{3/2}, \quad rot \mathbf{a} = -(2rz / (r^2 + z^2)^{3/2})\mathbf{e}_j.$

**4.67.** Найти все гармонические функции вида: а)  $u = f(r)$ ; б)  $u = f(j)$ ; в)  $u = f(z)$ .  $(r, j, z)$  – цилиндрические координаты.

**Отв.:** а)  $u = c_1 \ln r + c_2$ ; б)  $u = c_1 j + c_2$ ; в)  $u = c_1 z + c_2$ .

**4.68.** Найти все гармонические функции вида: а)  $u = f(q)$ ; б)  $u = f(j)$ .  $(q, j)$  – две из трех сферических координат  $r, q, j$ .

**Отв.:** а)  $u = c_1 \ln \operatorname{tg} \frac{q}{2} + c_2$ ; б)  $u = c_1 j + c_2$ .

**4.69.** Перейти к сферическим координатам в выражении  $\mathbf{a} = (xj - yi) / \sqrt{x^2 + y^2 + z^2}$  и найти  $\mathbf{a}, div \mathbf{a}, rot \mathbf{a}$ .

**Отв.:**  $\mathbf{a} = \sin q \mathbf{e}_j, \quad div \mathbf{a} = 0, \quad rot \mathbf{a} = \frac{1}{r}(2 \cos q \mathbf{e}_r - \sin q \mathbf{e}_q).$

**4.70.** Найти градиенты скалярных полей в цилиндрических координатах:

1)  $u = r + z \cos j.$

2)  $u = r^2 + 2r \cos j - e^z \sin j.$

3)  $u = r \cos j + z \sin^2 j - 3^r.$

**Отв.:**

1)  $\mathbf{e}_r - \frac{1}{r} \sin j \mathbf{e}_j + \cos j \mathbf{e}_z.$

2)  $2(r + \cos j) \mathbf{e}_r - \left( 2 \sin j + \frac{1}{r} e^z \cos j \right) \mathbf{e}_j - e^z \sin j \mathbf{e}_z.$

3)  $(\cos j - 3^r \ln 3) \mathbf{e}_r + \left( \frac{z}{r} \sin 2j - \sin j \right) \mathbf{e}_j - e^z \sin j \mathbf{e}_z.$

**4.71.** Найти градиенты скалярных полей в сферических координатах:

$$1) u = r + \frac{\sin q}{r} - \sin q \cos j. \quad 2) u = r^2 \cos q.$$

$$3) u = 3r^2 \sin q + e^g \cos j. \quad 4) u = m \frac{\cos q}{r^2}, m - const.$$

$$\text{Отв.: 1) } \left(1 - \frac{\sin q}{r}\right) \mathbf{e}_r + \frac{\cos q}{r} \left(\frac{1}{r} - \cos j\right) \mathbf{e}_q + \frac{\sin j}{r} \mathbf{e}_j; \quad 2) 2r \cos q \mathbf{e}_r - r \sin q \mathbf{e}_q;$$

$$3) (6r \sin q + e^r \cos j - 1) \mathbf{e}_r + 3r \cos q \mathbf{e}_q - \frac{e^r \sin j}{r \sin q} \mathbf{e}_j; \quad 4) -m \left(\frac{2 \cos q}{r^3} \mathbf{e}_r + \frac{\sin q}{r^3}\right) \mathbf{e}_q.$$

4.72. Вычислить дивергенцию векторов:

$$1) \mathbf{a} = r \mathbf{e}_r + z \sin j \mathbf{e}_j + e^j \cos z \mathbf{e}_z. \quad 2) \mathbf{a} = 2 \arctg r \mathbf{e}_r + 2 \mathbf{e}_j + z^2 e^z \mathbf{e}_z.$$

$$3) \mathbf{a} = r^2 \mathbf{e}_r - 2 \cos^2 j \mathbf{e}_q + \frac{j}{r^2 + 1} \mathbf{e}_j.$$

$$\text{Отв.: 1) } 2 + \frac{z}{r} \cos j - \mathbf{e}^j \sin z; \quad 2) \frac{j}{r} \arctg r + \frac{j}{1 + r^2} - (z^2 + 2z) \mathbf{e}^z;$$

$$3) 4r - \frac{2}{r} \cos^2 j \operatorname{ctg} q + \frac{1}{r(r^2 + 1) \sin q}.$$

4.73. Вычислить ротор векторного поля  $\mathbf{a}$ :

$$1) \mathbf{a} = (2r + a \cos j) \mathbf{e}_r - a \sin q \mathbf{e}_q + r \cos q \mathbf{e}_j, a - const.$$

$$2) \mathbf{a} = r^2 \mathbf{e}_r + 2 \cos q \mathbf{e}_q - j \mathbf{e}_j. \quad 3) \mathbf{a} = \cos j \mathbf{e}_r - \frac{\sin j}{r} \mathbf{e}_j + r^2 \mathbf{e}_z.$$

$$\text{Отв.: 1) } \frac{\cos 2q}{\sin q} \mathbf{e}_r - \left(2 \cos q + \frac{a \sin j}{r \sin q}\right) \mathbf{e}_q - \frac{a \sin q}{r} \mathbf{e}_j;$$

$$2) -\frac{j}{r} \operatorname{ctg} q \mathbf{e}_r + \frac{j}{r} \mathbf{e}_q + \frac{2 \cos q}{r} \mathbf{e}_j; \quad 3) -2r \mathbf{e}_j + \frac{\sin j}{r} \mathbf{e}_z.$$

4.74. Доказать потенциальность поля  $\mathbf{a} = \frac{2 \cos q}{r^3} \mathbf{e}_r + \frac{\sin q}{r^3} \mathbf{e}_q$ .

Пусть  $S$  – часть координатной поверхности  $u = c - const$ , ограниченная координатными линиями

$$q_1 = a_1, \quad q_2 = a_2 (a_1 < a_2);$$

$$q_3 = b_1, \quad q_3 = b_2 (b_1 < b_2).$$

Тогда поток вектора  $\mathbf{a} = P(q_1, q_2, q_3) \mathbf{e}_1 + Q(q_1, q_2, q_3) \mathbf{e}_2 + R(q_1, q_2, q_3) \mathbf{e}_3$  через поверхность  $S$  в направлении вектора  $\mathbf{e}_1$  вычисляется по формуле

$$\Pi = \int_{a_1}^{a_2} \int_{b_1}^{b_2} P(c, q_2, q_3) H_2(c, q_2, q_3) H_3(c, q_2, q_3) dq_1 dq_2, \quad (4.46)$$

где  $H_2, H_3$  – коэффициенты Ламэ.

Аналогично вычисляется поток через часть поверхности  $q_2 = c$  или через часть поверхности  $q_3 = c$ , где  $c = const$ .

**4.75.** Найти поток векторного поля, заданного в сферических координатах:  $\mathbf{a} = r^2 q \mathbf{e}_r + r^2 e^{2q} \mathbf{e}_q$  через внешнюю сторону верхней полусферы  $S$  радиусом  $R$  с центром в начале координат.

Δ Полусфера  $S$  – часть координатной поверхности  $r = const$ , именно,  $r = R$ . На  $S$  имеем

$$q_1 = r = R, q_2 = q, q_3 = j; 0 \leq q \leq p/2, 0 \leq j \leq 2p.$$

Учитывая, что в сферических координатах  $H_1 = H_r = 1, H_2 = H_q = r, H_3 = H_j = r \sin q$ , по формуле (4.46) найдем

$$\Pi = \int_0^{p/2} dq \int_0^{2p} R^4 q \sin q dj = 2pR^4 \int_0^{p/2} q \sin q dq = 2pR^4. \quad \text{Р}$$

**4.76.** Вычислить поток векторного поля, заданного в цилиндрических координатах:  $\mathbf{a} = r \mathbf{e}_r + z \mathbf{e}_j$  через замкнутую поверхность  $S = \{z = 0, z = 1, r = 1\}$  по формуле Гаусса–Остроградского.

Δ Искомый поток  $\Pi = \iiint_V \operatorname{div} \mathbf{a} dv.$

Так как в цилиндрических координатах

$$\operatorname{div} \mathbf{a} = \frac{1}{r} \frac{\partial}{\partial r} (rP) + \frac{1}{r} \frac{\partial Q}{\partial j} + \frac{\partial R}{\partial z},$$

в нашем случае получим

$$\operatorname{div} \mathbf{a} = \frac{1}{r} \frac{\partial}{\partial r} (r^2) + \frac{1}{r} \frac{\partial z}{\partial j} = 2.$$

Поэтому искомый поток  $\Pi = \iiint_V 2 dv = 2p. \quad \text{Р}$

**4.77.** Вычислить поток векторного поля  $\mathbf{a}$ , заданного в цилиндрических координатах, через данную поверхность  $S$  непосредственно и с помощью формулы Гаусса–Остроградского.

1.  $\mathbf{a} = r \mathbf{e}_r - \cos j \mathbf{e}_j + z \mathbf{e}_z; S = \{r = 2, z = 0, z = 2\}.$  **Отв.:**  $24p.$

2.  $\mathbf{a} = r \mathbf{e}_r + rj \mathbf{e}_j - 2z \mathbf{e}_z; S = \{r = 1, j = 0, j = p/2, z = -1, z = 1\}.$  **Отв.:**  $p/2.$

**4.78.** Найти поток вектора  $\mathbf{a} = r \mathbf{e}_r + r \sin q \mathbf{e}_q - 3rj \sin q \mathbf{e}_j$ , заданного в сферических координатах, через замкнутую поверхность  $S$ , ограниченную верхней полусферой радиуса  $R$  и поверхностью  $q = p/2$ .

**Отв.:**  $2pR^3/3.$  *Указание.* При непосредственном вычислении потока надо рассматривать потоки через все координатные поверхности  $r = 0, r = R,$

$$q = 0, q = p/2, j = 0, j = 2p.$$

**4.79.** Найти поток вектора  $\mathbf{a} = r^2 \mathbf{e}_r + R^2 r \sin q \cos j \mathbf{e}_j$ , заданного в сферических координатах, через замкнутую поверхность, ограниченную координатными поверхностями  $r = R, j = 0, j = p/2, q = p/2$ , непосредственно и с помощью формулы Остроградского–Гаусса.

$$\text{Отв.: } \frac{1}{2} pR^4 - \frac{R^5}{3}.$$

Пусть в криволинейных координатах  $q_1, q_2, q_3$  задано векторное поле  $\mathbf{a}(M) = P(q_1, q_2, q_3)\mathbf{e}^1 + Q(q_1, q_2, q_3)\mathbf{e}^2 + R(q_1, q_2, q_3)\mathbf{e}^3$ , которое является потенциальным в некоторой области  $\Omega$  изменения переменных  $q_1, q_2, q_3$ , т.е.  $\mathbf{rot} \mathbf{a} = \mathbf{0}$  в  $\Omega$ .

Для нахождения потенциала  $u = u(q_1, q_2, q_3)$  этого поля равенство  $\mathbf{a}(M) = \mathbf{grad} u(M)$  записывается в виде

$$P\mathbf{e}^1 + Q\mathbf{e}^2 + R\mathbf{e}^3 = \frac{1}{H_1} \frac{\partial u}{\partial q_1} \mathbf{e}^1 + \frac{1}{H_2} \frac{\partial u}{\partial q_2} \mathbf{e}^2 + \frac{1}{H_3} \frac{\partial u}{\partial q_3} \mathbf{e}^3.$$

Отсюда следует, что

$$\frac{\partial u}{\partial q_1} = PH_1, \quad \frac{\partial u}{\partial q_2} = QH_2, \quad \frac{\partial u}{\partial q_3} = RH_3. \quad (4.47)$$

Система уравнений (4.47) решается так же, как при нахождении потенциала в декартовых координатах.

В цилиндрических координатах ( $q_1 = r, q_2 = j, q_3 = z$ ) система (4.47) имеет вид

$$\frac{\partial u}{\partial r} = a_r, \quad \frac{\partial u}{\partial j} = r a_j, \quad \frac{\partial u}{\partial z} = a_z; \quad (4.48)$$

в сферических координатах ( $q_1 = r, q_2 = q, q_3 = j$ ) – вид

$$\frac{\partial u}{\partial r} = a_r, \quad \frac{\partial u}{\partial q} = r a_q, \quad \frac{\partial u}{\partial j} = r \sin q a_j. \quad (4.49)$$

**4.80.** Найти потенциал векторного поля:

$$1) \mathbf{a} = \left( \frac{\arctg z}{r} + \cos j \right) \mathbf{e}_r - \sin j \mathbf{e}_j + \frac{\ln r}{1+z^2} \mathbf{e}_z.$$

$$2) \mathbf{a} = \frac{1}{r} e^{qj} \mathbf{e}_r + \frac{q \ln r}{r \sin q} e^{qj} \mathbf{e}_j + \frac{\ln r}{r} j e^{qj} \mathbf{e}_q.$$

Δ По формуле (4.42) для  $\mathbf{rot} \mathbf{a}$  в цилиндрических координатах убеждаемся, что  $\mathbf{rot} \mathbf{a} = \mathbf{0}$ , то есть поле  $\mathbf{a}$  потенциально. Согласно (4.48), его потенциал  $u = u(r, j, z)$  является решением следующей системы:

$$\frac{\partial u}{\partial r} = \frac{\arctg z}{r} + \cos j, \quad \frac{\partial u}{\partial j} = -\sin j \cdot r, \quad \frac{\partial u}{\partial z} = \frac{\ln r}{1+z^2}. \quad (4.50)$$

Из первого уравнения этой системы интегрированием по  $r$  находим, что

$$u = \ln r \cdot \arctg z + r \cos j + c(j, z) \quad (4.51)$$

( $c(j, z)$  играет роль константы при интегрировании по  $r$ ). Дифференцируя (4.51) по  $j$  и используя второе соотношение из (4.50), получаем

$$\frac{\partial u}{\partial j} = -r \sin j + \frac{\partial c}{\partial j} = -r \sin j \Rightarrow \frac{\partial c}{\partial j} \equiv 0, \text{ т. е. } c(j, z) = c_1(z).$$

Тем самым,

$$u = \ln r \cdot \operatorname{arctgz} + r \cos j + c_1(z) \Rightarrow \frac{\partial u}{\partial z} = \frac{\ln r}{1+z^2} + c_1'(z) = \frac{\ln r}{1+z^2}$$

в силу третьего соотношения из (4.51). Значит,  $c_1'(z) \equiv 0 \Rightarrow c_1(z) = c - \text{const}$ .

Итак, потенциал данного поля  $u(r, j, z) = \ln r \cdot \operatorname{arctgz} + r \cos j + c$ .

По формуле (4.43) для  $\operatorname{rot} \dot{\mathbf{a}}$  в ССК убеждаемся, что  $\operatorname{rot} \dot{\mathbf{a}} = \dot{\mathbf{0}}$ , т. е. поле потенциально в области  $\{r > 0, q \neq np; n \in \mathbf{Z}\}$ .

Система равенств (4.49) для отыскания потенциала  $u = u(r, q, j)$  имеет вид

$$\frac{\partial u}{\partial r} = \frac{e^{qj}}{r}, \quad \frac{\partial u}{\partial q} = j e^{qj} \ln r, \quad \frac{\partial u}{\partial j} = q e^{qj} \ln r. \quad (4.52)$$

Интегрируя по  $r$  первое из равенств этой системы, получаем  $u = e^{qj} \ln r + c(q, j)$ . Отсюда и из второго уравнения системы (4.52) имеем

$$\frac{\partial u}{\partial q} = j e^{qj} \ln r = j e^{qj} \ln r + \frac{\partial c}{\partial q} \Rightarrow \frac{\partial c}{\partial q} \equiv 0, \text{ т. е. } c(q, j) \equiv c_1(j), \text{ и, значит,}$$

$u = e^{qj} \ln r + c_1(j)$ . Отсюда с учетом третьего уравнения системы (4.52) находим

$$\frac{\partial u}{\partial j} = q e^{qj} \ln r = q e^{qj} \ln r + c_1'(j) \Rightarrow c_1'(j) = 0, \text{ то есть } c_1(j) = c - \text{const}.$$

Искомый потенциал равен  $u(r, q, j) = e^{qj} \ln r + C$ .  $\quad \text{P}$

**4.81.** Установить потенциальность следующих векторных полей и найти их потенциалы:

1)  $\dot{\mathbf{a}} = r \dot{\mathbf{e}}_r + \frac{j}{r} \dot{\mathbf{e}}_j + z \dot{\mathbf{e}}_z.$

2)  $\dot{\mathbf{a}} = j z \dot{\mathbf{e}}_r + z \dot{\mathbf{e}}_j + rj \dot{\mathbf{e}}_z.$

3)  $\dot{\mathbf{a}} = e^r \sin j \dot{\mathbf{e}}_r + \frac{1}{r} e^r \cos j \dot{\mathbf{e}}_j + 2z \dot{\mathbf{e}}_z.$  4)  $\dot{\mathbf{a}} = j \cos z \dot{\mathbf{e}}_r + \cos z \dot{\mathbf{e}}_j - rj \sin z \dot{\mathbf{e}}_z.$

5)  $\dot{\mathbf{a}} = 2r \dot{\mathbf{e}}_r + \frac{1}{r \sin q} \dot{\mathbf{e}}_j + \frac{1}{r} \dot{\mathbf{e}}_q.$

6)  $\dot{\mathbf{a}} = \frac{1}{2} j^2 \dot{\mathbf{e}}_r + \frac{j}{\sin q} \dot{\mathbf{e}}_j + \frac{q}{r} \dot{\mathbf{e}}_q.$

7)  $\dot{\mathbf{a}} = \cos j \sin q \dot{\mathbf{e}}_r + \cos j \cos q \dot{\mathbf{e}}_q - \sin j \dot{\mathbf{e}}_j.$

8)  $\dot{\mathbf{a}} = e^r \sin q \dot{\mathbf{e}}_r + \frac{1}{r} e^r \cos q \dot{\mathbf{e}}_q + \frac{2j}{(1+j^2)r \sin q} \dot{\mathbf{e}}_j.$

**Отв.:** 1)  $u = (r^2 + j^2 + z^2)/2 + c;$  2)  $u = rj z + c;$

3)  $u = e^r \sin j + z^2 + c;$  4)  $u = rj \cos z + c;$  5)  $u = r^2 + j + q + c;$

6)  $u = (rj^2 + q^2)/2 + c;$  7)  $u = r \cos j \sin q + c;$  8)  $u = e^r \sin q + \ln(1+j^2) + c.$

Пусть векторное поле  $\dot{\mathbf{a}}$  в криволинейных координатах  $q_1, q_2, q_3$  определено и непрерывно в области  $\Omega$  их изменения и имеет вид

$$\dot{\mathbf{a}}(M) = P(q_1, q_2, q_3) \dot{\mathbf{e}}^1 + Q(q_1, q_2, q_3) \dot{\mathbf{e}}^2 + R(q_1, q_2, q_3) \dot{\mathbf{e}}^3.$$

Как известно [4], дифференциал  $d\dot{\mathbf{r}}$  радиуса-вектора  $\dot{\mathbf{r}}$  любой точки  $M \in \Omega$  равен

$$d\dot{\mathbf{r}} = H_1 dq_1 \dot{\mathbf{e}}^1 + H_2 dq_2 \dot{\mathbf{e}}^2 + H_3 dq_3 \dot{\mathbf{e}}^3.$$

Поэтому линейный интеграл вектора  $\mathbf{a}(M)$  по ориентированной гладкой или кусочно-гладкой кривой  $L \subset \Omega$  будет равен

$$\int_L (\mathbf{a}, d\mathbf{r}) = \int_L PH_1 dq_1 + QH_2 dq_2 + RH_3 dq_3. \quad (4.53)$$

В частности, для цилиндрических координат  $q_1 = r, q_2 = j, q_3 = z$  будем иметь

$$\begin{aligned} \mathbf{a} &= a_r(r, j, z) \mathbf{e}_r + a_j(r, j, z) \mathbf{e}_j + a_z(r, j, z) \mathbf{e}_z, \\ d\mathbf{r} &= dr \mathbf{e}_r + r dj \mathbf{e}_j + dz \mathbf{e}_z. \end{aligned}$$

Поэтому в ЦСК линейный интеграл

$$\int_L (\mathbf{a}, d\mathbf{r}) = \int_L a_r dr + a_j r dj + a_z dz. \quad (4.54)$$

Для сферических координат  $q_1 = r, q_2 = q, q_3 = j$  имеем

$$\begin{aligned} \mathbf{a} &= a_r(r, q, j) \mathbf{e}_r + a_q(r, q, j) \mathbf{e}_q + a_j(r, q, j) \mathbf{e}_j, \\ d\mathbf{r} &= dr \mathbf{e}_r + r dq \mathbf{e}_q + r \sin q dj \mathbf{e}_j, \end{aligned}$$

и, значит, в ССК линейный интеграл

$$\int_L (\mathbf{a}, d\mathbf{r}) = \int_L a_r dr + r a_q dq + r a_j \sin q dj. \quad (4.55)$$

Циркуляция  $S$  поля  $\mathbf{a}(M)$  в криволинейных координатах  $q_1, q_2, q_3$  в общем случае вычисляется по формуле (4.53), а в ЦСК или ССК – по формулам (4.54) или (4.55).

**4.82.** Вычислить линейный интеграл в поле  $\mathbf{a} = 4r \sin j \mathbf{e}_r + ze^r \mathbf{e}_j + (r+j) \mathbf{e}_z$  вдоль прямой  $L = \{j = p/4, z = 0\}$  от точки  $O = (0, p/4, 0)$  до точки  $A = (1, p/4, 0)$ .

**р** В нашем случае  $a_r = 4r \sin j, a_j = ze^r, a_z = r+j$ . По формуле (4.54) искомый линейный интеграл

$$I = \int_L (\mathbf{a}, d\mathbf{r}) = \int_L 4r \sin j dr + rze^r dj + (r+j) dz.$$

На прямой  $L$  имеем  $j = p/4, dj = 0; z = 0, dz = 0; 0 \leq r \leq 1$ .

Поэтому

$$I = \int_L 2\sqrt{2} r dr = \sqrt{2} \int_0^1 2r dr = \sqrt{2}. \quad \mathbf{p}$$

**4.83.** Вычислить циркуляцию поля

$\mathbf{a} = r \sin j \mathbf{e}_r + r z \mathbf{e}_j + r^3 \mathbf{e}_z$  по кривой

$L = \{z = 0, r = \sin j, 0 \leq j \leq p\}$  непосредственно и по формуле Стокса.

**р** Контур  $L$  есть окружность с центром в точке  $(0,1)$ , расположенная в плоскости  $z = 0$  (рис. 4.9). Координаты вектора

$\mathbf{a}$ :  $a_r = r \sin j, a_j = r z, a_z = r^3$ .

1. Вычисляем циркуляцию непосредственно. По формуле (4.54) имеем

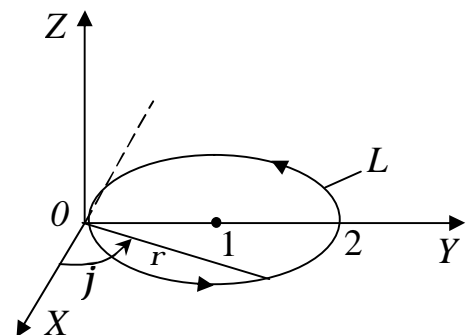


Рис. 4.9

$$C = \oint_L r \sin j \, dr + r^2 z \, dj + r^3 \, dz.$$

На кривой  $L$ :  $z = 0, dz = 0; r = \sin j, dr = \cos j \, dj, 0 \leq j \leq p$ . Поэтому

$$C = \oint_L r \sin j \, dr = \int_0^p \sin^2 j \cos j \, dj = 0.$$

2. Вычисляем циркуляцию по формуле Стокса:

$$C = \oint_L (\mathbf{a}, d\mathbf{r}) = \iint_S (\mathbf{rot} \mathbf{a}, \mathbf{n}^0) \, ds,$$

где  $S$  – поверхность, натянутая на контур  $L$ .

Находим далее:

$$\mathbf{rot} \mathbf{a} = \frac{1}{r} \begin{vmatrix} \mathbf{e}_r & r\mathbf{e}_j & \mathbf{e}_z \\ \frac{\partial}{\partial r} & \frac{\partial}{\partial j} & \frac{\partial}{\partial z} \\ r \sin j & r^2 z & r^3 \end{vmatrix} = -r\mathbf{e}_r - 3r^2\mathbf{e}_j + (2z - \cos j)\mathbf{e}_z, \quad r \neq 0.$$

При  $r = 0$  имеем  $\mathbf{rot} \mathbf{a}(0, j, z) = (2z - \cos j)\mathbf{e}_z$ .

В качестве поверхности  $S$  возьмем часть плоскости  $z = 0$ , ограниченной контуром  $L$ . Тогда  $\mathbf{n}^0 = \mathbf{e}_z$ , и, значит,

$$(\mathbf{rot} \mathbf{a}, \mathbf{n}^0) = (-r\mathbf{e}_r - 3r^2\mathbf{e}_j + (2z - \cos j)\mathbf{e}_z, \mathbf{e}_z) = 2z - \cos j,$$

в силу ортонормированности базиса  $\{\mathbf{e}_r, \mathbf{e}_j, \mathbf{e}_z\}$ .

Искомая циркуляция равна:  $C = \iint_S (2z - \cos j) \, dS$ .

Учитывая, что  $z = 0$  на  $S$  и элемент площади  $dS$  координатной поверхности  $z = 0$  равен  $dS = r \, dr \, dj$ , окончательно получаем

$$C = - \iint_S \cos j \, dS = - \int_0^p \cos j \, dj \int_0^{\sin j} r \, dr = 0. \quad \text{р}$$

**4.84.** Вычислить циркуляцию вектора  $\mathbf{a} = r\mathbf{e}_r + (R+r)\sin q \mathbf{e}_j$  по окружности  $L = \{r = R, q = p/2\}$  в направлении возрастания угла  $j$ .

р В данном случае  $a_r = r, a_q = 0, a_j = (R+r)\sin q$ . По формуле (4.55) искомая циркуляция равна

$$C = \oint_L r \, dr + (R+r)\sin q \int_L r \sin q \, dj = \oint_L r \, dr + r(R+r)\sin^2 q \, dj.$$

На данной окружности  $L$ , центр которой находится в начале координат, имеем:

$$r = R, dr = 0; q = p/2; 0 \leq j < 2p, \text{ и, значит, } C = 2R^2 \oint_L dj = 2R^2 \int_0^{2p} dj = 4pR^2. \quad \text{р}$$

**4.85.** Вычислить линейный интеграл по данным линиям  $L$  в векторных полях, заданных в цилиндрических или сферических координатах:

1)  $\mathbf{a} = z\mathbf{e}_r + rj \mathbf{e}_j + \cos j \mathbf{e}_z$ ;  $L$  – отрезок прямой  $\{r = a, j = 0, 0 \leq z \leq 1\}$ .

2)  $\mathbf{a} = e^r \cos j \mathbf{e}_r + r \sin j \mathbf{e}_j + r \mathbf{e}_z$ ;  $L$  – виток винтовой линии  
 $\{r = R, z = j, 0 \leq j \leq 2p\}$ .

3)  $\mathbf{a} = e^r \cos q \mathbf{e}_r + 2q \cos j \mathbf{e}_q + j \mathbf{e}_j$ ;  $L$  – полуокружность  
 $\{r = 1, j = 0, 0 \leq q \leq p\}$ .

4)  $\mathbf{a} = \sin^2 q \mathbf{e}_r + \sin q \mathbf{e}_q + rj q \mathbf{e}_j$ ;  $L$  – отрезок прямой  
 $\{j = p/2, r = 1/\sin q, p/4 \leq q \leq p/2\}$ .

Отв.: 1) 1; 2)  $2pR$ ; 3)  $p^2$ ; 4)  $p/4 + \sqrt{2}/2 - 1$ .

## Самостоятельная работа

### «Интегральное исчисление функций многих переменных»

#### Структура

1. Изменить порядок интегрирования в двойном интеграле.
2. Вычислить площадь фигуры  $D$  с помощью двойного интеграла.
3. Пластика  $D$  задана неравенствами,  $m$  – поверхностная плотность. Найти массу пластинки.
4. С помощью двойного интеграла найти объем тела  $V$ , заданного ограничивающими его поверхностями.
5. Вычислить тройной интеграл в ПДСК.
6. Найти объем тела  $V$ , заданного ограничивающими его поверхностями, перейдя: а) к цилиндрическим координатам; б) к сферическим координатам.
7. Тело  $V$  задано ограничивающими его поверхностями,  $m$  – плотность. Найти массу тела.
8. Вычислить КрИ-1 по плоской кривой  $\Gamma$ .
9. Вычислить КрИ-2 по кривой  $\Gamma$ .
10. Применяя формулу Грина, вычислить криволинейный интеграл (обход контура положителен).
11. Найти векторные линии поля  $\mathbf{a}$ .
12. Найти поток векторного поля  $\mathbf{a}$  через часть плоскости  $P$ , расположенную в первом октанте (нормаль образует острый угол с осью  $Z$ ).
13. Найти поток векторного поля  $\mathbf{a}$  через замкнутую поверхность  $S$  (нормаль внешняя).
14. Найти циркуляцию векторного поля  $\mathbf{a}$  вдоль контура  $\Gamma$  (в направлении, соответствующем возрастанию параметра  $t$ ).
15. Доказать потенциальность векторного поля  $\mathbf{a}$  и найти его потенциал.

## Вариант 1

1.  $\int_{-1}^1 dx \int_{-\sqrt{1-x^2}}^{1-x^2} f(x, y) dy.$  **Отв.:**  $\int_0^1 dy \int_{-\sqrt{1-y}}^{\sqrt{1-y}} f(x, y) dx + \int_{-1}^0 dy \int_{-\sqrt{1-y^2}}^{\sqrt{1-y^2}} f(x, y) dx.$
2.  $D$  – фигура, лежащая в первом квадранте, ограниченная окружностью  $x^2 + y^2 = 2ax$ , параболой  $y^2 = 2ax$  и прямой  $x = 2a$ . **Отв.:**  $8a^2/3 - pa^2/2.$
3.  $D = \{x^2/4 + y^2 \leq 1, x \geq 0, y \geq 0\}, m = 6x^3y^3.$  **Отв.:** 1.
4.  $V = \{y = 1 + x^2, z = 3x, y = 5, z \geq 0, y \geq 0, x \geq 0\}.$  **Отв.:** 12.
5.  $\iiint_V (4 + 8z^3) dx dy dz; V = \{y = x, y = 0, x = 1, z = 0, z = \sqrt{xy}\}.$  **Отв.:** 1.
6. а)  $V = \{z = \sqrt{9 - x^2 - y^2}, 9z/2 = x^2 + y^2\}.$  **Отв.:**  $171p/16.$   
 б)  $V = \{1 \leq x^2 + y^2 + z^2 \leq 49, -\sqrt{(x^2 + y^2)/35} \leq z \leq \sqrt{(x^2 + y^2)/3}\}.$  **Отв.:**  $19p.$
7.  $V$  – цилиндр радиусом  $R$  и высотой  $h$ . Плотность  $m$  в каждой точке пропорциональна высоте этой точки и равна 1 на нижнем основании. **Отв.:**  $pR^2h(kh + 2)/2.$
8.  $\int_{\Gamma} \frac{x}{y} ds,$  где  $\Gamma$  – дуга параболы  $y^2 = 2x$ , лежащая между точками  $(1, \sqrt{2})$  и  $(2, 2).$  **Отв.:**  $(5\sqrt{5} - 3\sqrt{3})/6.$
9.  $\oint_{\Gamma} (xy - y^2) dx + x dy,$   $\Gamma$  – кривая  $y = 2\sqrt{x}$ , пробегаемая от точки  $(0, 0)$  до точки  $(1, 2).$  **Отв.:**  $8/15.$
10.  $\int_{\Gamma} (x^2 - y^2) dx + (x^2 + y^2) dy,$   $\Gamma$  – эллипс  $\frac{x^2}{a^2} + \frac{y^2}{b^2} = 1.$  **Отв.:** 0.
11.  $\vec{a} = (4y, -9x).$  **Отв.:**  $9x^2 + 4y^2 = C.$
12.  $\vec{a} = (2x, 5y, 5z), P: x/2 + y/3 + z = 1.$  **Отв.:** 23.
13.  $\vec{a} = (y + 6x, 5x + 5z, 4y), S: \{y = x, y = 2x, y = 2, z = x^2 + y^2, z = 0\}$  **Отв.:** 19.
14.  $\vec{a} = (4y, -3x, x), \Gamma: \{x = 4 \cos t, y = 4 \sin t, z = 4 - 4 \cos t\}.$  **Отв.:**  $-128p.$
15.  $\vec{a} = (2xy, x^2 - 2yz, -y^2).$  **Отв.:**  $u = x^2y - y^2z + c.$

## Вариант 2

1.  $\int_{-6}^2 dx \int_{x^2/4}^{2-x} f(x, y) dy.$  **Отв.:**  $\int_{-1}^0 dy \int_{-2\sqrt{1+y}}^{2\sqrt{1+y}} f(x, y) dx + \int_0^8 dy \int_{-2\sqrt{1+y}}^{2-y} f(x, y) dx.$
2.  $D = \{x = \sqrt{36 - y^2}, x = 6 - \sqrt{36 - y^2}\}$  **Отв.:**  $24p - 18\sqrt{3}.$
3.  $D = \{1 \leq x^2/4 + y^2 \leq 25, x \geq 0, y \geq x/2\}, m = x/y^2.$  **Отв.:**  $2 \ln 5.$
4.  $V = \{z = 1 - x^2 - y^2, y = x, y = x\sqrt{3}, z \geq 0, y \geq 0, x \geq 0\}$  **Отв.:**  $p/48.$

5.  $\iiint_V (1+2x^3) dx dy dz$ ;  $V = \{y = 36x, y = 0, x = 1, z = 0, z = \sqrt{xy}\}$ . **Отв.:** 96.
6. а)  $V = \{z = \sqrt{4-x^2-y^2}, z = \sqrt{(x^2+y^2)/255}\}$ . **Отв.:** 5р.  
 б)  $V = \{4 \leq x^2 + y^2 + z^2 \leq 64, z \leq \sqrt{(x^2+y^2)/3}, -x\sqrt{3} \leq y \leq 0\}$ . **Отв.:** 42р.
7.  $V$  – шар  $x^2 + y^2 + z^2 = 2x$ , плотность  $m$  в каждой точке равна расстоянию от начала координат до этой точки. **Отв.:** 8р/5.
8.  $\int_{\Gamma} y^3 ds$ , где  $\Gamma$  – арка циклоиды  $x = a(t - \sin t), y = a(1 - \cos t), 0 \leq t \leq 2\pi$ .  
**Отв.:**  $256a^3/15$ .
9.  $\int_{\Gamma} (y+x^2)dx + (2x-y)dy$ ,  $\Gamma$  – дуга параболы  $y = 2x - x^2$ , расположенная между точками (1,1) и (3,-3). **Отв.:** 12.
10.  $\oint_{\Gamma} (y+x^5)dx + (3x+y^8)dy$ ,  $\Gamma: \{x^2 + y^2 = 1, x^2 + y^2 = 4, y = 0, (y \geq 0)\}$ .  
**Отв.:** 3р.
11.  $\dot{a} = (2y, 3x)$ . **Отв.:**  $3x^2 - 2y^2 = c$ .
12.  $\dot{a} = (x, y, z)$ ,  $P: 2x + y/2 + z = 1$ . **Отв.:** 25.
13.  $\dot{a} = (y + 2z, -y, 3x)$ ,  $S: \{3z = 27 - 2(x^2 + y^2), z = x^2 + y^2 (z \geq 0)\}$ . **Отв.:** -36р.
14.  $\dot{a} = (-z, -x, xz)$ ,  $\Gamma: \{x = 5 \cos t, y = 5 \sin t, z = 4\}$ . **Отв.:** -25р.
15.  $\dot{a} = (3x^2 y - y^3, x^3 - 3xy^2)$ . **Отв.:**  $u = x^3 y - xy^3 + c$ .

### Вариант 3

1.  $\int_0^{2/3} dx \int_{2x}^{2-x} f(x, y) dy$ . **Отв.:**  $\int_0^{4/3} dy \int_0^{y/2} f(x, y) dx + \int_{4/3}^2 dy \int_0^{2-y} f(x, y) dx$ .
2.  $D = \{x^2 + y^2 = 72, 6y = -x^2 (y \leq 0)\}$ . **Отв.:** 18р + 12.
3.  $D = \{x^2/9 + y^2/4 \leq 1\}, m = x^2 y^2$ . **Отв.:** 9р.
4. \*  $V = \{x^2 + y^2 = a^2, x^2 + z^2 = a^2\}$ . **Отв.:**  $16a^3/3$ .
5.  $\iiint_V 21xz dx dy dz$ ;  $V = \{y = 0, y = x, x = 2, z = 0, z = xy\}$ . **Отв.:** 64.
6. а)  $V = \left\{z = \sqrt{\frac{16}{9} - x^2 - y^2}, 2z = x^2 + y^2\right\}$ . **Отв.:**  $\frac{76}{81}p$ .  
 б)  $V = \{1 \leq x^2 + y^2 + z^2 \leq 36, z \geq \sqrt{(x^2+y^2)/99}, -x\sqrt{3} \leq y \leq x\sqrt{3}\}$  **Отв.:** 43р.
7. \*  $V$  – конус высотой  $h$  и радиусом основания  $R$ , плотность  $m$  в каждой точке пропорциональна расстоянию от вершины до этой точки.

$$\text{Отв.: } \frac{kph^4}{6} \left[ \left( \frac{R^2}{h^2} + 1 \right)^{3/2} - 1 \right].$$

8.  $\int_{\Gamma} \frac{ds}{x+y}$ , где  $\Gamma$  – отрезок прямой  $y = x + 2$ , соединяющей точки  $(2,4)$  и  $(1,3)$ .

Отв.:  $\frac{\sqrt{2}}{2} \ln 2$ .

9.  $\int_{\Gamma} (x^2 - 2xy)dx + (2xy + y^2)dy$ ,  $\Gamma$  – отрезок прямой, соединяющей точки  $(1,1)$  и  $(2,3,4)$ .

Отв.: 13.

10.  $\oint_{\Gamma} e^{-(x^2+y^2)} (\cos 2xy dx + \sin 2xy dy)$ ,  $\Gamma$  – контур  $x^2 + y^2 = R^2$ .

Отв.: 0.

11.  $\vec{a} = (2x, 4y)$ .

Отв.:  $y = cx^2$ .

12.  $\vec{a} = (2x, y, -2z)$ ,  $P: 2x + y/2 + z = 1$ .

Отв.: 34.

13.  $\vec{a} = (z, 3y - x, -z)$ ,  $S: \{x^2 + y^2 = 1, z = x^2 + y^2 + 2, z = 0\}$ .

Отв.: 5р.

14.  $\vec{a} = (z, x, y)$ ,  $\Gamma: \{x = 2 \cos t, y = 2 \sin t, z = 0\}$ .

Отв.: 4р.

15.  $\vec{a} = (y + 2, x + z, y + x)$ .

Отв.:  $u = xy + yz + xz + c$ .

#### Вариант 4

1.  $\int_0^1 dx \int_{x^2/9}^x f(x, y) dy + \int_1^3 dx \int_{x^2/9}^1 f(x, y) dy$ .

Отв.:  $\int_0^1 dy \int_y^{3\sqrt{y}} f(x, y) dx$ .

2.  $D = \{y^2 = 4ax + 4a^2, x + y = 2a (a > 0)\}$ .

Отв.:  $64a^2/3$ .

3.  $D = \{x^2/16 + y^2 \leq 1, x \geq 0, y \geq 0\}$ ,  $m = 5xy^7$ .

Отв.: 1.

4.  $V = \{x = 2y^2, x + 2y + z = 4, y = 0, z = 0\}$ .

Отв.: 17/5.

5.  $\iiint_V \frac{dx dy dz}{\left(1 + \frac{x}{10} + \frac{y}{8} + \frac{z}{3}\right)^6}$ ;  $V = \left\{\frac{x}{10} + \frac{y}{8} + \frac{z}{3} = 1, x = 0, y = 0, z = 0\right\}$ .

Отв.: 2.

6. а)  $V = \{z = \sqrt{25 - x^2 - y^2}, z = \sqrt{(x^2 + y^2)/99}\}$ .

Отв.: 75р.

б)  $V = \{25 \leq x^2 + y^2 + z^2 \leq 49, 0 \leq z \leq \sqrt{(x^2 + y^2)/24}, y \leq -x/\sqrt{3}, y \leq -x\sqrt{3}\}$

Отв.: 175р.

7.  $V = \{(z - 2)^2 = x^2 + y^2, z = 0\}$ ;  $m = z$ .

Отв.: 8р/3.

8.  $\int_{\Gamma} x^2 ds$ , где  $\Gamma$  – верхняя половина окружности  $x^2 + y^2 = a^2$ .

Отв.:  $\pi a^3/2$ .

9.  $\int_{\Gamma} \frac{x^2 dy - y^2 dx}{\sqrt[3]{x^5 + \sqrt[3]{y^5}}}$ ,  $\Gamma$  – дуга астроида  $x = 2 \cos^3 t, y = 2 \sin^3 t$  от точки  $(2,0)$  до

точки  $(0,2)$ .

Отв.:  $3\sqrt[3]{2\pi}/8$ .

10.  $\oint_{\Gamma} 2(x^2 + y^2) dx + (x + y)^2 dy$ ,  $\Gamma$  – контур треугольника с вершинами в точках

$A = (1,1), B = (2,2), C = (1,3)$ .

Отв.:  $-4/3$ .

11.  $\vec{a} = (x, 3y)$ . **Отв.:**  $y = cx^3$ .
12.  $\vec{a} = (x, y, 2z)$ ,  $P: 2x + y/2 + z = 1$ . **Отв.:** 128.
13.  $\vec{a} = (y, x + 2y, x)$ ,  $S: \{x^2 + y^2 = 2x, z = x^2 + y^2, z = 0\}$  **Отв.:** 3р.
14.  $\vec{a} = (y - z, z - x, x - y)$ ,  $\Gamma: \{x = 3 \cos t, y = 3 \sin t, z = 2(1 - \cos t)\}$  **Отв.:**  $-30\pi$ .
15.  $\vec{a} = \left( e^{y/x}, \frac{1}{z} (e^{y/x} (x+1)) + ze^{yz}, -\frac{e^{y/x} (x+1)}{z^2} y + ye^{yz} + e^{-z} \right)$ .  
**Отв.:**  $u = e^{y/x} (x+1) + e^{yz} + e^{-z} + c$ .

### Вариант 5

1.  $\int_{-3}^0 dx \int_{-x}^3 f(x, y) dy + \int_0^3 dx \int_x^3 f(x, y) dy$ . **Отв.:**  $\int_1^3 dy \int_{-y}^y f(x, y) dx$ .
2.  $D = \left\{ y = \frac{8a^3}{x^2 + 4a^2}, x = 2y, x = 0, (a > 0) \right\}$ . **Отв.:**  $a^2(p - 1)$ .
3.  $D = \{x^2/4 + y^2 \leq 1, x \geq 0, y \geq 0\}$ ,  $m = 30x^3y^7$ . **Отв.:** 1.
4.  $V = \{x^2 + 4y^2 + z = 1, z = 0\}$  **Отв.:**  $p/4$ .
5.  $\iiint_V (x^2 + 3y^2) dx dy dz$ ;  $V = \{z = 10x, x + y = 1, x = 0, y = 0, z = 0\}$ . **Отв.:** 1.
6. а)  $V = \{z = 21\sqrt{x^2 + y^2}/2, z = 23/2 - x^2 - y^2\}$  **Отв.:** 4р.  
 б)  $V = \{1 \leq x^2 + y^2 + z^2 \leq 49, 0 \leq z \leq \sqrt{(x^2 + y^2)}/24, y \leq -x/\sqrt{3}, y \leq -x\sqrt{3}\}$   
**Отв.:** 112р.
7.  $V = \{x + y + z = 1, x = y = z = 0\}$ ;  $m = 1/(x + y + z + 1)^4$ . **Отв.:** 1/48.
8.  $\int_{\Gamma} \sqrt{x^2 + y^2} ds$ , где  $\Gamma$  – кривая  $x = a(\cos t + t \sin t)$ ,  $y = a(\sin t - t \cos t)$ ,  $0 \leq t \leq 2\pi$ .  
**Отв.:**  $a^2 \left[ (1 + 4p^2)^{3/2} - 1 \right] / 6$ .
9.  $\int_{\Gamma} (x^2 + y^2) dx + (x + y^2) dy$ ,  $\Gamma$  – ломаная  $ABC$ ;  $A = (1, 2), B = (3, 2), C = (3, 5)$ .  
**Отв.:** 194/3.
10.  $\oint_{\Gamma} (x + y) dx - (x - y) dy$ ,  $\Gamma$  – контур, образованный параболой  $AmB$  и хордой  $AnB$ , где  $A = (1, 0), B = (2, 3)$ .
11.  $\vec{a} = (x, 4y)$ . **Отв.:**  $y = cx^4$ .
12.  $\vec{a} = (-x, y, 12z)$ ,  $P: 2x + y/2 + z = 1$ .
13.  $\vec{a} = (x + y + z, 2y - x, 3z + y)$ ,  $S: \{y = x, y = 2x, x = 1, z = x^2 + y^2, z = 0\}$   
**Отв.:** 5.
14.  $\vec{a} = (2y, -z, x)$ ,  $\Gamma: \{x = \cos t, y = \sin t, z = 4 - \cos t - \sin t\}$ . **Отв.:**  $-2\pi$ .
15.  $\vec{a} = (yz \cos xy, xz \sin xy, \sin xy)$ . **Отв.:**  $u = z \sin xy + c$ .

### Вариант 6

1.  $\int_0^{\sqrt{2}/2} dy \int_y^{\sqrt{1-y^2}} f(x, y) dx + \int_{-\sqrt{2}/2}^0 dy \int_{-y}^{\sqrt{1-y^2}} f(x, y) dx.$

**Отв.:**  $\int_0^{\sqrt{2}/2} dx \int_{-x}^x f(x, y) dy + \int_{-\sqrt{2}/2}^1 dx \int_{-\sqrt{1-x^2}}^{\sqrt{1-x^2}} f(x, y) dy.$

2.  $D = \{x^2 + y^2 = 2ax, x^2 + y^2 = 2bx, y = x, y = 0, (0 < a < b)\}.$

**Отв.:**  $\frac{1}{4}(b^2 - a^2)(p + 2).$

3.  $D = \{1 \leq x^2/9 + y^2/4 \leq 3, y \geq 0, y \leq 2x/3\}, m = y/x.$

**Отв.:**  $2 \ln 2.$

4.  $V = \{z = 4 - x^2, 2x + y = 4, x = 0, y = 0, z = 0\}$

**Отв.:**  $40/3.$

5.  $\iiint_V (60y + 90z) dx dy dz; V = \{y = x, y = 0, x = 1, z = x^2 + y^2, z = 0\}.$

**Отв.:**  $23.$

6. а)  $V = \{z = \sqrt{9 - x^2 - y^2}, z = \sqrt{(x^2 + y^2)}/80\}.$

**Отв.:**  $16\rho.$

б)  $V = \{16 \leq x^2 + y^2 + z^2 \leq 100, z \leq \sqrt{(x^2 + y^2)}/3, -x\sqrt{3} \leq y \leq -x/\sqrt{3}\}.$

**Отв.:**  $78\rho.$

7.  $V$  – круговой цилиндр радиусом  $R$  и высотой  $h$ ; плотность  $m$  в каждой точке равна квадрату расстояния от этой точки до центра основания цилиндра.

**Отв.:**  $\rho R^2 h (3R^2 + 2h^2) / 6.$

8.  $\int_{\Gamma} \frac{ds}{\sqrt{x^2 + y^2 + 4}}$ , где  $\Gamma$  – отрезок прямой, соединяющей точки  $(0,0)$  и  $(1,2)$ .

**Отв.:**  $\ln \frac{\sqrt{5} + 3}{2}.$

9.  $\int_{\Gamma} xy dx + yz dy + zxdz$ ,  $\Gamma$  – четверть окружности  $OA: x = \cos t, y = \sin t, z = 1$ ,

пробегаемая в направлении возрастания  $t$ .

**Отв.:**  $1/6.$

10.  $\oint_{\Gamma} (x+y)^2 dx - (x^2 + y^2) dy$ ,  $\Gamma$  – контур треугольника с вершинами в точках

$A = (1,1), B = (3,2), C = (2,5).$

**Отв.:**  $-140/3.$

11.  $\vec{a} = (3x, 6z).$

**Отв.:**  $y = cx^2.$

12.  $\vec{a} = (x, 3y, 8z); P: x + 2y + z/2 = 1.$

**Отв.:**  $1.$

13.  $\vec{a} = (7x, z, x - y + 5z), S: \{z = x^2 + y^2, z = x^2 + 2y^2, y = x, y = 2x, x = 1\}$

**Отв.:**  $7.$

14.  $\vec{r} = (xz, x, z^2), \Gamma: \{x = \cos t, y = \sin t, z = \sin t\}.$

**Отв.:**  $p.$

15.  $\vec{a} = (yz + 1, xz, xy).$

**Отв.:**  $u = x + xyz + c.$

### Вариант 7

$$1. \int_0^2 dx \int_0^{x^2} f(x, y) dy + \int_2^4 dx \int_0^{10-x} f(x, y) dy + \int_4^7 dx \int_{x-4}^{10-x} f(x, y) dy.$$

$$\text{Отв.: } \int_0^3 dy \int_{\sqrt[3]{y}}^{y+4} f(x, y) dx + \int_3^8 dy \int_{\sqrt[3]{y}}^{10-y} f(x, y) dx.$$

$$2. D = \{y = \sqrt{x}/2, y = 1/(2x), x = 16\}$$

$$\text{Отв.: } 21 - \ln 4.$$

$$3. D = \{x^2 + y^2 / 25 \leq 1, y \geq 0\}, m = 7x^4 y.$$

$$\text{Отв.: } 10.$$

$$4. V = \{z = 5x, x^2 + y^2 = 9, z = 0\}$$

$$\text{Отв.: } 90.$$

$$5. \iiint_V \left( \frac{10}{3}x + \frac{5}{3} \right) dx dy dz; \quad V = \{y = 9x, y = 0, x = 1, z = \sqrt{xy}, z = 0\}$$

$$\text{Отв.: } 25.$$

$$6. \text{ а) } V = \{z = \sqrt{1 - x^2 - y^2}, 3z/2 = x^2 + y^2\}.$$

$$\text{Отв.: } 19\pi/48.$$

$$\text{ б) } V = \{4 \leq x^2 + y^2 + z^2 \leq 49, z \geq \sqrt{(x^2 + y^2)/99}, y \leq 0, y \leq x\sqrt{3}\}.$$

$$\text{Отв.: } 78\pi.$$

7.  $V$  – тело, вырезанное из октанта шара  $x^2 + y^2 + z^2 \leq c^2$ ,  $x \geq 0, y \geq 0, z \geq 0$ , ограниченное координатными плоскостями и плоскостью  $x/a + y/b = 1, (a \leq c, b \leq c)$ ; плотность  $m$  в каждой точке пропорциональна

аппликату этой точки.  $\text{Отв.: } \frac{ab}{24}(bc^2 - a^2 - b^2).$

$$8. \int_{\Gamma} (x + y) ds, \text{ где } \Gamma \text{ – правый лепесток лемнискаты } r^2 = a^2 \cos 2\varphi.$$

$$\text{Отв.: } \frac{1}{54}(56\sqrt{7} - 1).$$

$$9. \int_{\Gamma} \frac{xdx + ydy + zdz}{\sqrt{x^2 + y^2 + z^2 - x - y + 2z}}, \Gamma \text{ – отрезок, пробегаемый от точки } (1,1,1) \text{ до}$$

точки  $(4,4,4).$

$$\text{Отв.: } 3\sqrt{3}.$$

$$10. \oint_{\Gamma} e^x ((1 - \cos y) dx - (y - \sin y) dy), \Gamma = \{0 \leq x \leq p, 0 \leq y \leq \sin x\}.$$

$$\text{Отв.: } (1 - p)/5.$$

$$11. \vec{a} = (4z, -9x).$$

$$\text{Отв.: } 9x^2 + 4z^2 = c.$$

$$12. \vec{a} = (x, -y, 6z); \quad P: x + 2y + z/2 = 1.$$

$$\text{Отв.: } 17.$$

$$13. \vec{a} = (17x, 7y, 11z), \quad S: \{z = x^2 + y^2, z = 2(x + y^2), y = x^2, y = x\}$$

$$\text{Отв.: } 3.$$

$$14. \vec{a} = (-x^2 y^3, 3, y), \quad \Gamma: \{x = \cos t, y = \sin t, z = 5\}.$$

$$\text{Отв.: } \pi/8.$$

$$15. \vec{a} = (2x + 5yz, 5xz - 6y, 5xy + 4z). \text{ Отв.: } u = x^2 - 3y^2 + 5xyz + 2z^2 + c.$$

### Вариант 8

$$1. \int_1^e dx \int_0^{\ln x} f(x, y) dy.$$

$$\text{Отв.: } \int_0^1 dy \int_{e^y}^e f(x, y) dx.$$

2.  $D = \{x = 4y - y^2, x + y = 6\}$ . **Отв.:** 1/6.

3.  $D = \{x^2 + y^2 / 9 \leq 1, y \geq 0\}, m = 35x^4y^3$ . **Отв.:** 36.

4.  $V = \{x + y + z = 6, 3x + 2y = 12, 3x + y = 6, y = 0, z = 0\}$ . **Отв.:** 12.

5.  $\iiint_V (9 + 18z) dx dy dz; V = \{y = 4x, y = 0, x = 1, z = \sqrt{xy}, z = 0\}$ . **Отв.:** 34.

6. а)  $V = \{z = \sqrt{36 - x^2 - y^2}, z = \sqrt{(x^2 + y^2) / 63}\}$ . **Отв.:** 126р.

б)  $V = \{4 \leq x^2 + y^2 + z^2 \leq 64, 0 \leq z \leq \sqrt{(x^2 + y^2) / 24}, y \leq x\sqrt{3}, y \leq x / \sqrt{3}\}$ . **Отв.:** 28р.

7.  $V = \{x + y + z = a, x = 0, y = 0, z = 0\}$ ; плотность  $m$  в каждой точке пропорциональна аппликате этой точки. **Отв.:**

$a^4 / 24$ .

8.  $\int_{\Gamma} \sqrt{x^2 + y^2} ds$ , где  $\Gamma$  – окружность  $x^2 + y^2 = ax$ . **Отв.:**  $2a^2$ .

9.  $\int_{\Gamma} x(z - y) dx + y(x - z) dy + z(y - x) dz$ , где  $\Gamma$  – ломаная

$ABCA: A = (a, 0, 0), B = (0, a, 0), C = (0, 0, a)$ .

**Отв.:**  $a^3$ .

10.  $\oint_{\Gamma} (y - x^2) dx + (x + y^2) dy$ ,  $\Gamma$  – контур, ограничивающий круговой сектор

радиусом  $R$  с углом  $0 \leq \varphi \leq \pi / 2$ .

**Отв.:**  $2/3$ .

11.  $\vec{a} = (2z, 3x)$ .

**Отв.:**  $z = cx^4$ .

12.  $\vec{a} = (x, 2y, 5z); P: x + 2y + z / 2 = 1$ .

**Отв.:** 32.

13.  $\vec{a} = (x, -2y, 3z), S: \{z = x^2 + y^2, z = 2x\}$ .

**Отв.:**  $\rho$ .

14.  $\vec{a} = (7z, -x, yz), \Gamma: \{x = 6 \cos t, y = 6 \sin t, z = 1/3\}$ .

**Отв.:**  $-3\rho$ .

15.  $\vec{a} = (yz, xz, xy)$ .

**Отв.:**  $u = xyz + c$ .

### Вариант 9

1.  $\int_0^1 dy \int_{2-y}^{1+\sqrt{1-y^2}} f(x, y) dx$ .

**Отв.:**  $\int_1^2 dx \int_{2-x}^{\sqrt{2x-x^2}} f(x, y) dy$ .

2.  $D = \{x = y^2 - 2y, x + y = 0\}$ .

**Отв.:** 1/6.

3.  $D = \{x^2 / 4 + y^2 / 9 \leq 1\}, m = x^2$ .

**Отв.:** 6р.

4.  $V = \{z = x + y + 1, y^2 = x, x = 1, y = 0, z = 0\}$ .

**Отв.:** 79/60.

5.  $\iiint_V 3y^2 dx dy dz; V = \{y = 2x, y = 0, x = 2, z = xy, z = 0\}$ .

**Отв.:** 128.

6. а)  $V = \{z = \sqrt{144 - x^2 - y^2}, 18z = x^2 + y^2\}$ .

**Отв.:** 684р.

б)  $V = \{9 \leq x^2 + y^2 + z^2 \leq 81, -\sqrt{(x^2 + y^2) / 3} \leq z \leq -\sqrt{(x^2 + y^2) / 15}, 0 \leq y \leq -x\sqrt{3}\}$ .

**Отв.:** 39р.

7.  $V = \{z = h, x^2 + y^2 = z^2\}$ ; плотность  $m$  в каждой точке пропорциональна

аппликате этой точки.

Отв.:  $ph^4/4$ .

8.  $\int_{\Gamma} \frac{y ds}{\sqrt{x}}$ , где  $\Gamma$  - дуга полукубической параболы  $y^2 = (4/9)x^3$  от  $A = (3, 2\sqrt{3})$  до

$B = (8, 32\sqrt{2}/3)$ .

Отв.: 2152/45.

9.  $\int_{\Gamma} (y^2 - z^2) dx + (z^2 - x^2) dy + (x^2 - y^2) dz$ ,  $\Gamma$  - граница части сферы

$x^2 + y^2 + z^2 = 1$ , (лежащей в первом октанте), пробегаемая по ходу часовой стрелки с положительной полуоси  $Y$ .

Отв.: 0.

10.  $\oint_{\Gamma} \sqrt{x^2 + y^2} dx + y [xy + \ln(x + \sqrt{x^2 + y^2})] dy$ ,  $\Gamma$  - контур прямоугольника

$\{0 \leq x \leq 4, 0 \leq y \leq 2\}$ .

Отв.: 8.

11.  $\dot{a} = (4y, 8z)$ .

Отв.:  $3x^2 - 2z^2 = c$ .

12.  $\dot{a} = (x, 4y, 5z)$ ;  $P: x + 2y + z/2 = 1$ .

Отв.: 16.

13.  $\dot{a} = (2x + y, 0, y + 2z)$ ,  $S: \{z = 2 - 4(x^2 + y^2), z = 4(x^2 + y^2)\}$ .

Отв.:  $p$ .

14.  $\dot{a} = (xy, x, y^2)$ ,  $\Gamma: \{x = \cos t, y = \sin t, z = \sin t\}$ .

Отв.:  $p$ .

15.  $\dot{a} = (y + z, x + z, x + y)$ .

Отв.:  $u = xy + xz + yz + c$ .

### Вариант 10

1.  $\int_0^1 dx \int_{(1-x)^2/2}^{\sqrt{1-x^2}} f(x, y) dy$ .

Отв.:  $\int_1^{1/2} dy \int_{\sqrt{1-2y}}^{\sqrt{1-y^2}} f(x, y) dx + \int_{1/2}^1 dy \int_0^{\sqrt{1-y^2}} f(x, y) dx$ .

2.  $D = \{y^2 = 4x - x^2, y^2 = 2x\}$  (вне параболы).

Отв.:  $2p - 16/3$ .

3.  $D = \{1 \leq x^2 + y^2/16 \leq 9, y \geq 0, y \geq 4x\}$ ,  $m = y/x^3$ .

Отв.:  $8 \ln 3$ .

4.  $V = \{x^2/a^2 + y^2/b^2 = 1, y = 0, z = x/2, z = x\}$

Отв.:  $a^2 b/3$ .

5.  $\iiint_V \frac{dx dy dz}{(1 + x/2 + y/4 + z/6)^4}$ ;  $V = \{x/2 + y/4 + z/6 = 1, x = y = z = 0\}$ .

Отв.: 1.

6. а)  $V = \{z = x^2 + y^2, z = 2(x^2 + y^2), y = x, y^2 = x\}$ .

Отв.: 3/35.

б)\*  $V = \{(x^2 + y^2 + z^2)^2 = 2axyz, (a > 0)\}$

Отв.:  $a^3/45$ .

7.  $V$  - сферический слой между поверхностями  $x^2 + y^2 + z^2 = a^2$ ,  $x^2 + y^2 + z^2 = 4a^2$ ; плотность  $m$  в каждой точке обратно пропорциональна расстоянию точки от начала координат.

Отв.:  $61pa^2$ .

8.  $\int_{\Gamma} xy ds$ , где  $\Gamma$  - контур прямоугольника, ограниченного прямыми

$x = 0, y = 0, x = 4, y = 2$ .

Отв.: 24.

9.  $\int_{\Gamma} y dx + z dy + x dz$ ,  $\Gamma$  - отрезок  $CO$ , где  $C = (0, 0, a)$ .

Отв.:  $-3a^2/2$ .

10.  $\oint_{\Gamma} y^2 dx + (x + y)^2 dy$ ,  $\Gamma$  - контур треугольника с вершинами

$$A = (2,0), B = (2,2), C = (0,2).$$

$$\text{Отв.: } 16/3.$$

$$11. \dot{\mathbf{a}} = (y, 3z).$$

$$\text{Отв.: } z = cy^3.$$

$$12. \dot{\mathbf{a}} = (x, y, z); \quad P: 2x + 3y + z = 1.$$

$$\text{Отв.: } 5.$$

$$13. \dot{\mathbf{a}} = (2y - 3z, 3x + 2z, x + y + z), \quad S: \{x^2 + y^2 = 1, z = 4 - x - y, z = 0\}.$$

$$\text{Отв.: } 4p.$$

$$14. \dot{\mathbf{r}} = (x, -z^2, y), \quad \Gamma: \{x = 2 \cos t, y = 3 \sin t, z = 4 \cos t - 3 \sin t - 3\}.$$

$$\text{Отв.: } 60p.$$

$$15. \dot{\mathbf{r}} = (2xyz, x^2z, x^2y).$$

$$\text{Отв.: } u = x^2yz + c.$$

### Вариант 11

$$1. \int_0^1 dx \int_{1-x}^1 f(x, y) dy + \int_1^e dx \int_{\ln x}^1 f(x, y) dy.$$

$$\text{Отв.: } \int_0^1 dy \int_{\sqrt{1-y}}^{e^y} f(x, y) dx.$$

$$2. D = \{y^2 + 2y - 3x + 1 = 0, 3x - 3y = 7\}.$$

$$\text{Отв.: } 125/18.$$

$$3. D = \{x^2/9 + y^2 \leq 1, x \geq 0\}, \quad m = 11xy^8.$$

$$\text{Отв.: } 2.$$

$$4. V = \{z = x^2 + y^2 + 1, x = 4, x = 0, y = 4, y = 0, z = 0\}.$$

$$\text{Отв.: } 560/3.$$

$$5. \iiint_V x^2 dx dy dz; \quad V = \{z = 10(x + 3y), x + y = 1, x = y = z = 0\}.$$

$$\text{Отв.: } 1.$$

$$6. \text{ а) } V = \{x^2/a^2 + y^2/b^2 + z^2/c^2 = 1\}.$$

$$\text{Отв.: } \frac{4}{3} abc.$$

$$\text{ б) } V = \left\{ 36 \leq x^2 + y^2 + z^2 \leq 144, z \leq \sqrt{\frac{x^2 + y^2}{3}}, x\sqrt{3} \leq y \leq \frac{x}{\sqrt{3}} \right\}.$$

$$\text{Отв.: } 126p.$$

$$7. V = \{25(x^2 + y^2) = z^2, x^2 + y^2 = 4, x = 0, y = 0, z = 0\}; \quad m = 2(x^2 + y^2).$$

$$\text{Отв.: } 32p.$$

$$8. \int_{\Gamma} (x^{4/3} + y^{4/3}) ds, \quad \text{где } \Gamma \text{ — дуга астроиды } x^{2/3} + y^{2/3} = a^{2/3}, a > 0.$$

$$\text{Отв.: } 4a^{7/3}.$$

$$9. \int_{\Gamma} (y - z) dx + (z - x) dy + (x - y) dz, \quad \Gamma \text{ — виток винтовой линии}$$

$$x = a \cos t, y = a \sin t, z = bt, 0 \leq t \leq 2\pi.$$

$$\text{Отв.: } -2\pi a(a + b).$$

$$10. \oint_{\Gamma} x dy - y dx, \quad \Gamma \text{ — контур, ограниченный параболой } y^2 = x, x^2 = y.$$

$$\text{Отв.: } 2/3.$$

$$11. \dot{\mathbf{a}} = (2x, 8z).$$

$$\text{Отв.: } z = cx^4.$$

$$12. \dot{\mathbf{a}} = (2x, y, z); \quad P: 2x + 3y + z = 1.$$

$$\text{Отв.: } 4.$$

$$13. \dot{\mathbf{a}} = (-2x, z, x + y), \quad S: \{x^2 + y^2 = 2y, z = x^2 + y^2, z = 0\}$$

$$\text{Отв.: } -3p.$$

$$14. \dot{\mathbf{a}} = (y - z, z - x, x - y), \quad \Gamma: \{x = 2 \cos t, y = 2 \sin t, z = 3(1 - \cos t)\}.$$

$$\text{Отв.: } -20p.$$

$$15. \dot{\mathbf{r}} = (yz - xy, xz - x^2/2, xy + y^2z).$$

$$\text{Отв.: } u = xyz - x^2y/2 + y^2z^2/2 + c.$$

### Вариант 12

1.  $\int_0^1 dy \int_0^{\sqrt[3]{y}} f(x, y) dx + \int_1^2 dy \int_0^{2-y} f(x, y) dx.$  **Отв.:**  $\int_0^1 dx \int_{x^3}^{2-x} f(x, y) dy.$
2.  $D = \{y = 4x - x^2, y = 2x^2 - 5x\}.$  **Отв.:** 27/2.
3.  $D = \{1 \leq x^2/4 + y^2/16 \leq 5, x \geq 0, y \geq 2x\}, m = x/y.$  **Отв.:**  $4 \ln 2.$
4.  $V = \{z = y^2/2, 2x + 3y - 12 = 0\}.$  **Отв.:** 16.
5.  $\iiint_V (8y + 12z) dx dy dz; V = \{y = x, y = 0, x = 1, z = 3x^2 + 2y^2, z = 0\}$  **Отв.:** 17.
6. а)  $V = \{z = x^2 + y^2, z = 0, y = 1, y = 2x, y = 6 - x\}$  **Отв.:**  $78 \frac{15}{32}.$
- б)  $V = \{(x^2 + y^2 + z^2)^2 = a^2(x^2 + y^2)\}.$  **Отв.:**  $\frac{p^2 a^3}{4}.$
7.  $V = \{x^2 + y^2 + z^2 = 9, x^2 + y^2 \leq 4, y \geq 0\}$  **Отв.:** 14p.
8.  $\int_{\Gamma} xy ds,$  где  $\Gamma$  - контур квадрата  $|x| + |y| = a, a > 0.$  **Отв.:** 0.
- 9.\*  $\int_{\Gamma} y dx + z dy + x dz,$   $\Gamma$  - окружность:  $x = R \cos a \cos t, y = R \cos a \sin t,$   
 $z = R \sin a, (a = const),$  пробегаемая в направлении возрастания параметра. **Отв.:**  
 $-pR^2 \cos^2 a.$
10.  $\oint_{\Gamma} x dy - y dx,$   $\Gamma$  - астроида:  $x = a \cos^3 t, y = a \sin^3 t, 0 \leq t \leq 2\pi.$  **Отв.:**  $3\pi a^2/4.$
11.  $\vec{a} = (x, 3z).$  **Отв.:**  $z = cx^3.$
12.  $\vec{a} = (2x, 3y, z); P: 2x + 3y + z = 1.$  **Отв.:** 1.
13.  $\vec{a} = (2y - 5x, z - y, 3y - x), S: \{z = 3x^2 + y^2 + 1, x^2 + y^2 = 1/4, z = 0\}$   
**Отв.:** -5p.
14.  $\vec{a} = (-2z, -x, x^2), \Gamma: \{x = \frac{1}{3} \cos t, y = \frac{1}{3} \sin t, z = 8\}.$  **Отв.:** -p/9.
15.  $\vec{a} = \left( \frac{yz}{1+x^2y^2z^2}, \frac{zx}{1+x^2y^2z^2}, \frac{xy}{1+x^2y^2z^2} \right)$  **Отв.:**  $u = c + \arctg(xyz).$

### Вариант 13

1.  $\int_0^{p/4} dy \int_0^{\sin y} f(x, y) dx + \int_{p/4}^{p/2} dy \int_0^{\cos y} f(x, y) dx.$  **Отв.:**  $\int_0^{1/\sqrt{2}} dx \int_{\arcsin x}^{\arccos x} f(x, y) dy.$
2.  $D = \{y = 2/x, y = 5e^x, y = 2, y = 5\}.$  **Отв.:** 3.
3.  $D = \{1 \leq x^2/9 + y^2/4 \leq 5, x \geq 0, y \geq 2x/3\}, m = x/y.$  **Отв.:**  $9 \ln 2.$

4.  $V = \{z = 4 - y^2, y = x^2 / 2, z = 0\}$ . **Отв.:**  $12 \frac{4}{21}$ .
5.  $\iiint_V 63(1 + 2\sqrt{y}) dx dy dz$ ;  $V = \{y = x, y = 0, x = 1, z = \sqrt{xy}, z = 0\}$  **Отв.:** 32.
6. а)  $V = \{z = \sqrt{(x^2 + y^2)^3}, z = 8, z \geq 0\}$ . **Отв.:**  $96\pi / 5$ .  
 б)  $V = \{(x^2 + y^2 + z^2)^3 = a^3 xyz\}$ . **Отв.:**  $a^3 / 6$ .
7.  $V = \{x^2 + y^2 = 1, x^2 + y^2 = 6z, z = 0, x \geq 0, y \geq 0\}$ ;  $m = 90\pi$ . **Отв.:** 3.
8.  $\int_{\Gamma} (x^2 + y^2) ds$ , где  $\Gamma$  – дуга логарифмической спирали  $r = ae^{3j}$  от  $A = (a, 0)$  до  $O = (0, 0)$ . **Отв.:**  $a^5 \sqrt{10} / 15$ .
- 9.\*  $\int_{\Gamma} xy dx + yz dy + zxdz$ ,  $\Gamma$  – дуга окружности  $x^2 + y^2 + z^2 = 2Rx, z = x$ , расположенная по ту сторону от плоскости  $XZ$ , где  $y > 0$ .  
**Отв.:**  $(1/6 + p\sqrt{2}/16)R^3$ .

10.  $\oint_{\Gamma} \frac{dx + dy}{|x| + |y|}$ ,  $\Gamma$  – граница квадрата с вершинами  $(1, 0), (0, 1), (-1, 0), (0, -1)$ . **Отв.:** 0.
11.  $\vec{a} = (4z, -9y)$ . **Отв.:**  $9y^2 + 4z^2 = c$ .
12.  $\vec{a} = (2x, 3y, 4z)$ ;  $P: 2x + 3y + z = 1$ . **Отв.:** 13.
13.  $\vec{a} = (y + z, x - 2y + z, x)$ ,  $S: \{x^2 + y^2 = 1, z = x^2 + y^2 - 1, z = 0\}$ . **Отв.:**  $-\pi$ .
14.  $\vec{a} = (x, -3z^2, y)$ ,  $\Gamma: \{x = \cos t, y = 4 \sin t, z = 2 \cos t - 4 \sin t + 3\}$ . **Отв.:**  $-152\pi$ .
15.  $\vec{a} = (y, x, e^z)$ . **Отв.:**  $u = xy + e^z + c$ .

#### Вариант 14

1.  $\int_{-2}^{-1} dx \int_{-(2+x)}^0 f(x, y) dy + \int_{-1}^0 dx \int_{\sqrt[3]{x}}^0 f(x, y) dy$ . **Отв.:**  $\int_{-1}^0 dy \int_{-(2+y)}^y f(x, y) dx$ .
2.  $D = \{x^2 + y^2 = 12, x\sqrt{6} = y^2, (x \geq 0)\}$ . **Отв.:**  $3\pi + 2$ .
3.  $D = \{x^2/4 + y^2/9 \leq 1, x \geq 0, y \geq 0\}$ ,  $m = x^5 y$ . **Отв.:** 12.
4.  $V = \{x^2 + y^2 = r^2, z = x^3 / a^2, z \geq 0\}$ . **Отв.:**  $4r^5 / (15a^2)$ .
5.  $\iiint_V (x + y) dx dy dz$ ;  $V = \{y = x, y = 0, x = 1, z = 30x^2 + 60y^2, z = 0\}$ . **Отв.:** 16.
- 6.\* а)  $V = \{z^2 = x^2 + y^2, x^2 + y^2 + a^2 = 2z^2, a > 0, (z > 0)\}$ . **Отв.:**  $\pi(2 - \sqrt{2})a^3 / 3$ .  
 б)  $V = \{x^2 + y^2 + z^2 = 2az, z \geq \sqrt{x^2 + y^2}\}$ . **Отв.:**  $\pi a^3$ .
7.  $V = \{x^2 + y^2 + z^2 = 4, x^2 + y^2 = 9z^2, x \geq 0, y \geq 0, z \geq 0\}$ ,  $m = 10z$ . **Отв.:**  $9\pi$ .

8.  $\int_{\Gamma} xydz$ , где  $\Gamma$  – четверть эллипса  $x^2/a^2 + y^2/b^2 = 1$ , лежащая в первом квадранте. **Отв.:**  $ab(a^2 + ab + b^2)/(3(a + b))$ .

9.\*  $\int_{\Gamma} (y^2 + z^2)dx + (x^2 + z^2)dy + (x^2 + y^2)dz$ ,  $\Gamma$  – линия пересечения поверхностей  $x^2 + y^2 + z^2 = 2Rx, x^2 + y^2 = 2rx, 0 < r < R, z \geq 0$ , пробегаемая против хода часовой стрелки, если смотреть с положительной полуоси  $Z$ .

10.  $\oint_{\Gamma} \frac{(x+y)dx + (y-x)dy}{x^2 + y^2}$ ,  $\Gamma$  – окружность  $x^2 + y^2 = R^2$ . **Отв.:**  $-2\pi$ .

11.  $\dot{\mathbf{a}} = (2z, 3y)$ . **Отв.:**  $3y^2 - 2z^2 = c$ .

12.  $\dot{\mathbf{a}} = (x, 9y, 8z)$ ;  $P: x + 2y + 3z = 1$ . **Отв.:** 9.

13.  $\dot{\mathbf{a}} = (3x - y - z, 3y, 2z)$ ,  $S: \{z = x^2 + y^2, z = 2y\}$ . **Отв.:**  $4\pi$ .

14.  $\dot{\mathbf{r}} = (x, -2z^2, y)$ ,  $\Gamma: \{x = 6\cos t, y = 4\sin t, z = 6\cos t - 4\sin t + 1\}$ . **Отв.:**  $-120\pi$ .

15.  $\dot{\mathbf{r}} = \frac{1}{\sqrt{x^2 + y^2 + z^2}}(x, y, z)$ . **Отв.:**  $u = \sqrt{x^2 + y^2 + z^2} + c$ .

### Вариант 15

1.  $\int_0^1 dy \int_0^{\sqrt{y}} f(x, y)dx + \int_1^e dy \int_{\ln y}^1 f(x, y)dx$ . **Отв.:**  $\int_0^1 dx \int_{x^2}^{e^x} f(x, y)dy$ .

2.  $D = \{x = \sqrt{72 - y^2}, 6x = y^2, y = 0, (y \geq 0)\}$  **Отв.:**  $9\pi + 6$ .

3.  $D = \{x^2/4 + y^2/25 \leq 1\}$ ,  $m = x^4$ . **Отв.:**  $20\pi$ .

4.  $V = \{z = xy/a, x^2 + y^2 = ax, z = 0\}$ . **Отв.:**  $a^3/24$ .

5.  $\iiint_V \frac{dxdydz}{(1 + x/6 + y/4 + z/16)^5}$ ;  $V = \{x/6 + y/4 + z/16 = 1, x = y = z = 0\}$ .

**Отв.:** 5.

6. **а\*)**  $V = \{x^2 + y^2 = 1, x^2 + y^2 = 4, z(x + y) = ax + by\}$ ,  $\{z = 0, x > 0, y > 0\}$ ,  $\{a > 0, b > 0\}$ . **Отв.:**  $3\pi(a + b)/8$ .

**б)**  $V = \{(x^2 + y^2 + z^2)^2 = a^3x, a > 0\}$  **Отв.:**  $\pi a^3/3$ .

7.  $V = \{x^2 + y^2 + z^2 = 16, x^2 + y^2 \leq 4\}$ ;  $m = |z|$ . **Отв.:**  $56\pi$ .

8.  $\int_{\Gamma} |y|ds$ , где  $\Gamma$  – лемниската  $r^2 = a^2 \cos 2\varphi$ . **Отв.:**  $2a^2(2 - \sqrt{2})$ .

9.  $\int_{\Gamma} yzdx + xzdy + xydz$ ,  $\Gamma$  – окружность  $x^2 + y^2 + z^2 = 9, x^2 + y^2 = 9$ . **Отв.:** 0.

10\*.  $\oint_{\Gamma} \frac{xy^2 dx - x^2 y dy}{x^2 + y^2}$ ,  $\Gamma$  – правый лепесток лемнискаты  $r^2 = a^2 \cos 2j$ . **Отв.:** 0.

11.  $\dot{a} = (5x, 10y)$ .

**Отв.:**  $y = cx^2$ .

12.  $\dot{a} = (8x, 11y, 17z)$ ;  $P: x + 2y + 3z = 1$ .

**Отв.:** 1.

13.  $\dot{a} = (x + y, y + z, z + x)$ ,  $S: \{y = 2x, y = 4x, x = 1, z = y^2, z = 0\}$ . **Отв.:** 14.

14.  $\dot{a} = (-x^2 y^3, 4, x)$ ,  $\Gamma: \{x = 2 \cos t, y = 2 \sin t, z = 4\}$ .

**Отв.:**  $8\pi$ .

15.  $\dot{a} = \sqrt{x^2 + y^2 + z^2} (x, y, z)$ .

**Отв.:**  $u = \sqrt{(x^2 + y^2 + z^2)^3} + c$ .

Библиотека БГУИР

## Литература

1. Сборник задач по математике для втузов. Специальные разделы математического анализа : учеб. пособие для втузов. В 3-х ч. Ч. 2./ В. А. Болгов [и др.]; под ред. А. В. Ефимова и Б. П. Демидовича. – Изд. 2-е – М. : Наука, 1986.
2. Данко, П. Е. Высшая математика в упражнениях и задачах. В 2-х ч. Ч. 2 : учеб. пособие для студентов втузов. / П. Е. Данко [и др.] – 3-е изд., перераб. и доп. – М. : Высш. школа, 1980.
3. Жевняк, Р. М. Высшая математика: Функции многих переменных. Интегральное исчисление функций одной и многих переменных / Р. М. Жевняк // Векторный анализ. – Минск, Выш. шк., 1993.
4. Краснов, М. Л. Векторный анализ : сб. задач / М. Л. Краснов, А. И. Киселев, Г. И. Макаренко. – М. : Наука, 1978.
5. Кузнецов, Л. А. Сборник заданий по высшей математике (Типовые расчеты) : учеб. пособие для втузов. / Л. А. Кузнецов – М. : Высш. шк., 1994.
6. Кудрявцев, Л. Д. Сборник задач по математическому анализу. Функции нескольких переменных : учеб. пособие для втузов / Л. Д. Кудрявцев; под ред. Л. Д. Кудрявцева. – СПб. : ИЧП «Кристалл», 1994.
7. Сборник индивидуальных заданий по высшей математике: учеб. пособие. В 3 ч. Ч. 3. / А. П. Рябушко [и др.]; под общ. ред. А. П. Рябушко. – Минск : Выш. шк., 2004.

# Содержание

<b>Введение</b> .....	3
<b>1. Кратные интегралы</b> .....	4
1.1. Двойные интегралы.....	4
1.2. Тройные интегралы.....	16
1.3. Приложения кратных интегралов.....	23
<b>2. Криволинейные интегралы</b> .....	32
2.1. Криволинейные интегралы 1-го (КрИ-1) и 2-го (КрИ-2) рода.....	32
2.2. Формула Грина.....	46
<b>3. Поверхностные интегралы</b> .....	53
3.1. Поверхностные интегралы 1-го рода (ПИ-1) .....	53
3.2. Поверхностные интегралы 2-го рода (ПИ-2) .....	59
3.3. Формула Остроградского–Гаусса. Формула Стокса.....	65
<b>4. Элементы векторного анализа</b> .....	72
4.1. Скалярные и векторные поля.....	72
4.2. Поток векторного поля через поверхность.....	77
4.3. Циркуляция векторного поля .....	84
4.4. Соленоидальные и потенциальные векторные поля .....	87
4.5. Дифференциальные операции 2-го порядка. Векторные операции в криволинейных ортогональных координатах.....	92
<b>Самостоятельная работа</b> «Интегральное исчисление функций многих переменных» .....	104
<b>Литература</b> .....	117

Учебное издание

**Карпук Андрей Андреевич**  
**Цегельник Владимир Владимирович**  
**Баркова Елена Александровна**

**СБОРНИК ЗАДАЧ ПО ВЫСШЕЙ МАТЕМАТИКЕ**

В 10-ти частях

Часть 7

**ИНТЕГРАЛЬНОЕ ИСЧИСЛЕНИЕ  
ФУНКЦИЙ МНОГИХ ПЕРЕМЕННЫХ**

Учебное пособие

Редактор *Т. П. Андрейченко*  
Корректор *М. В. Тезина*  
Компьютерная верстка *Е. Н. Мирошниченко*

Подписано в печать 14.08.2007. Формат 60×84 1/16. Бумага офсетная. Гарнитура «Таймс».  
Печать ризографическая. Усл. печ. л. 7,09. Уч.-изд. л. 7,0. Тираж 500 экз. Заказ 1.

Издатель и полиграфическое исполнение: Учреждение образования  
«Белорусский государственный университет информатики и радиоэлектроники»  
ЛИ № 02330/0056964 от 01.04.2004. ЛП № 02330/0131666 от 30.04.2004.  
220013, Минск, П. Бровка, 6